



UNIVERSITAT DE
BARCELONA

El Malm i el Cretaci inferior entre el Massís de Garraf i la Serra d'Espadà: anàlisi de conca

Ramon Salas Roig



Aquesta tesi doctoral està subjecta a la llicència [Reconeixement 4.0. Espanya de Creative Commons.](#)

Esta tesis doctoral está sujeta a la licencia [Reconocimiento 4.0. España de Creative Commons.](#)

This doctoral thesis is licensed under the [Creative Commons Attribution 4.0. Spain License.](#)

UNIVERSITAT DE BARCELONA

DEPARTAMENT DE GEOQUÍMICA, PETROLOGIA I PROSPECCIÓ GEOLÒGICA

BIBLIOTECA DE GEOLOGIA

Demanda el material complementari
al taulell de préstec.

**EL MALM I EL CRETACI INFERIOR
ENTRE EL MASSÍS DE GARRAF
I LA SERRA D'ESPADÀ .**

ANÀLISI DE CONCA

RAMON SALAS ROIG

Barcelona, juny 1987

2. EL MARC GEOLÒGIC

243 SAI

R. 3304

X

BIBLIOTECA DE LA UNIVERSITAT DE BARCELONA



0700051703

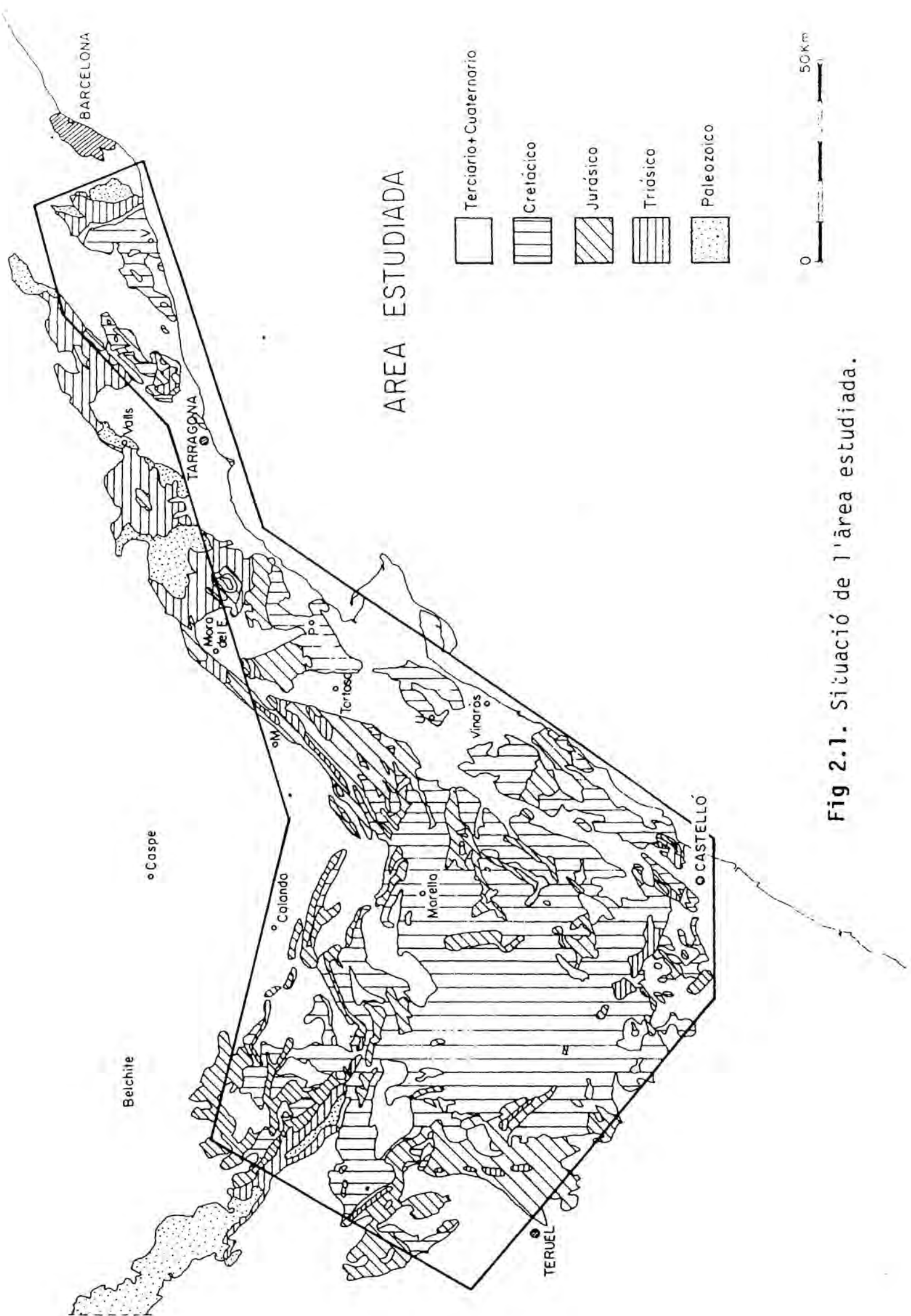


Fig 2.1. Situació de l'àrea estudiada.

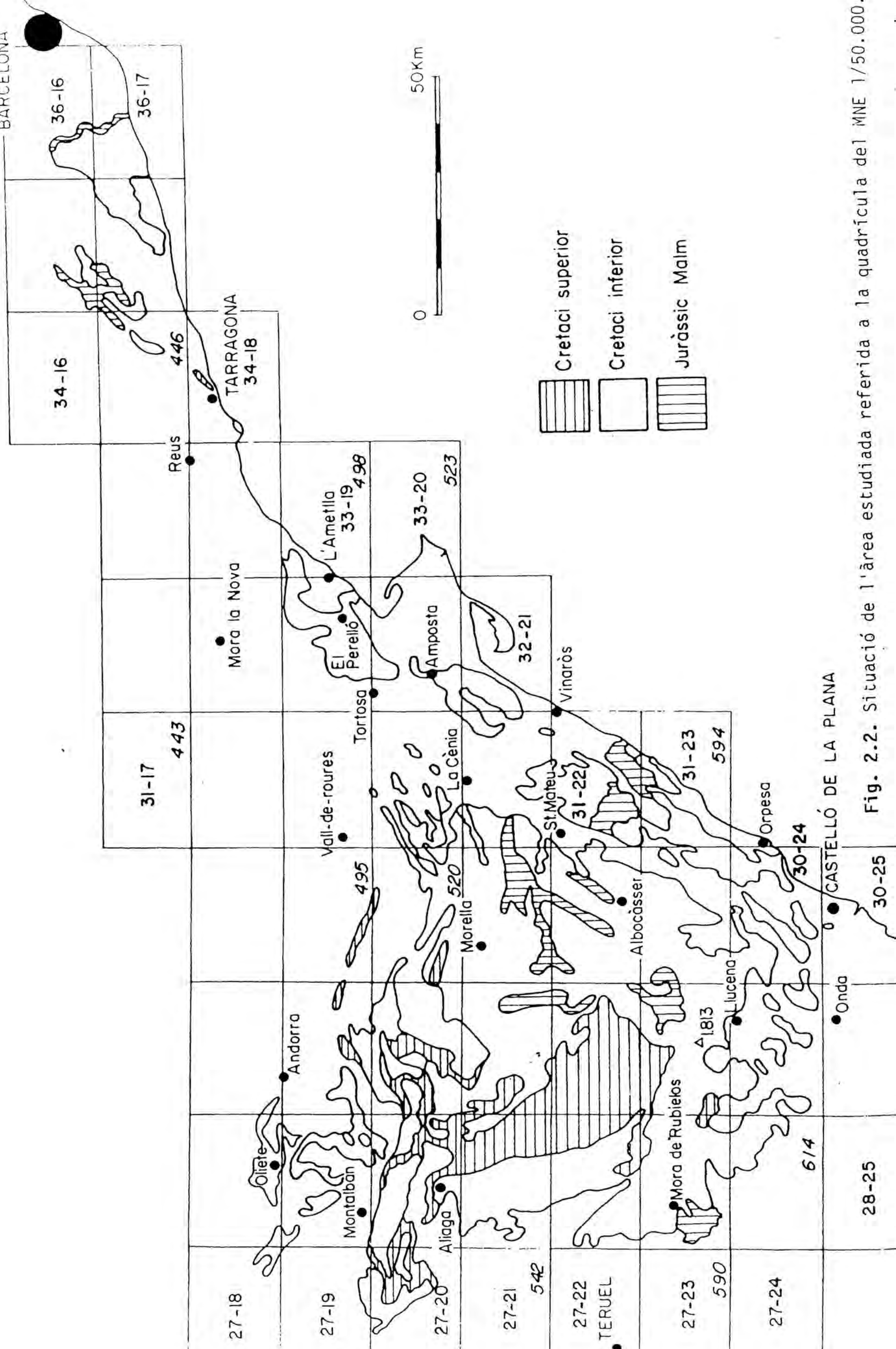


Fig. 2.2. Situació de l'àrea estudiada referida a la quadrícula del MNE 1/50.000.

28-25

30-25
CASTELLÓ DE LA PLANA

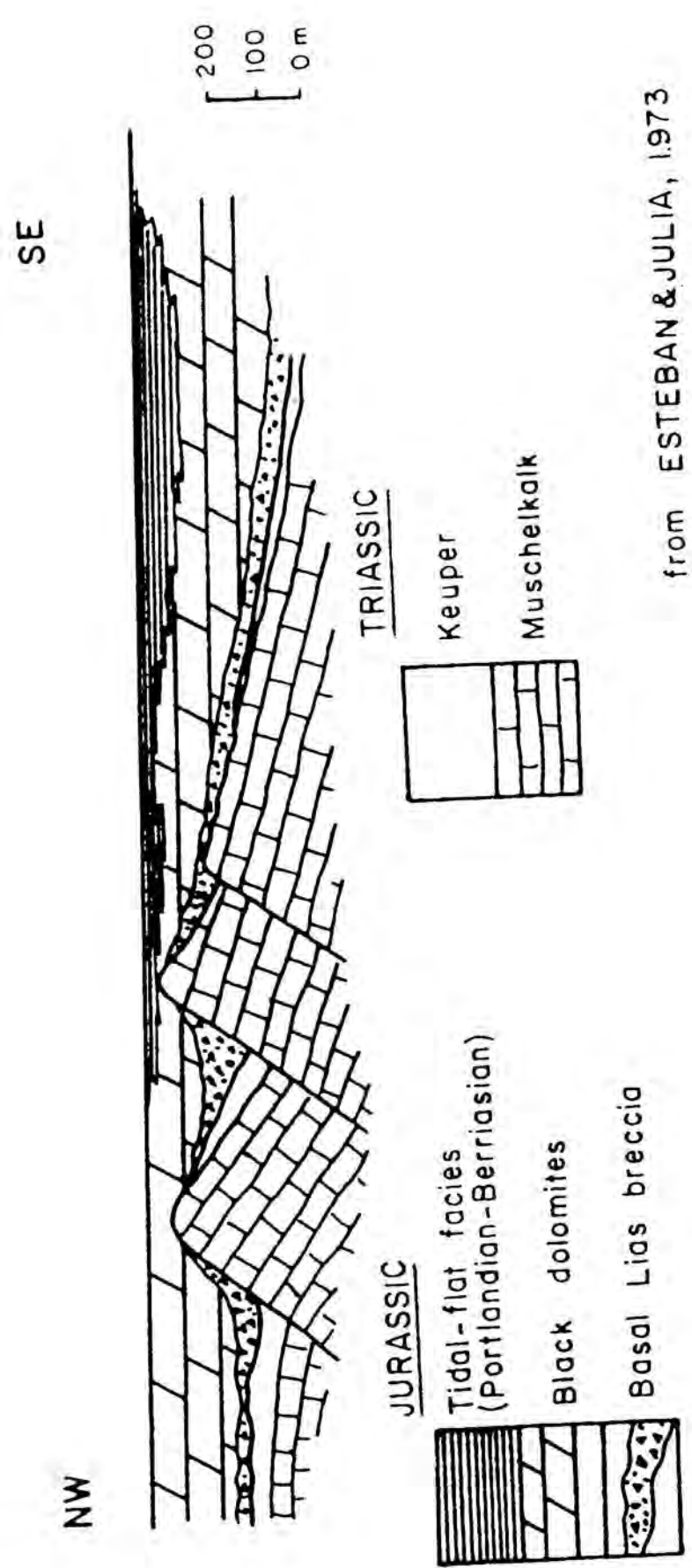


Fig. 2.3. Discordància de les dretxes de la base del Lias al massís de Garraf.

EDAT m.a.	ERATEMA	SISTEMA	SERIE	ESTATGES	SEQÜENCIES DEPOSICIONALS	DISC.	SUPERSEQÜENCIA DEPOSICIONAL	EDAT m.a.
	CENOZOIC	TERCIARI	PALEOCE	DANIA		D4		
70				SENONIÀ	K 2.3			70
80				TURONIÀ	K 2.2	d13		80
90				CENOMANIÀ		d12		90
100				ALBIÀ	K 2.1			100
110				MIT.	K 1.6	D3		110
				INF.	K 1.5	d11		
				APTIÀ	K 1.4	d10		
				SUP.	K 1.3	d9		
				INF.		d8		
120				BARREMIÀ	K 1.2			120
130				HAUTERIVIÀ	K 1.1			130
140				VALANGINIÀ	J 3.4	D2		140
				BERRIASIÀ		d6		
				NEOCOMIA				
150				PORTLANDIÀ	J 3.3			150
160				KIMMERIDGIÀ	J 3.2	d5		160
170				OXFORDIÀ	J 3.1	d4		170
180				CALLOVIÀ		d3		180
190				BATHONIÀ				190
200				BAJOCIÀ				200
210				AAELENIÀ				210
220				TOÀRCIÀ	J 1.3			220
230				PLIENSBAQUIÀ	J 1.2	d1		230
240				SINEMURIÀ	J 1.1	d0		240
250				HETTANGIÀ		d0		250
	PALEOZOIC	PERMIÀ	SUPERIOR	RETIÀ	TR 4			
				NORIÀ				
				CARNIÀ		diii		
				LADINIÀ	TR 3	dii		
				ANISIÀ	TR 2	di		
				ESCITIÀ	TR 1			
				TURINGIÀ		D0		

Fig. 2.4. Les seqüències deposicionals del Mesozoic de les conques del marge oriental d'Ibèria.

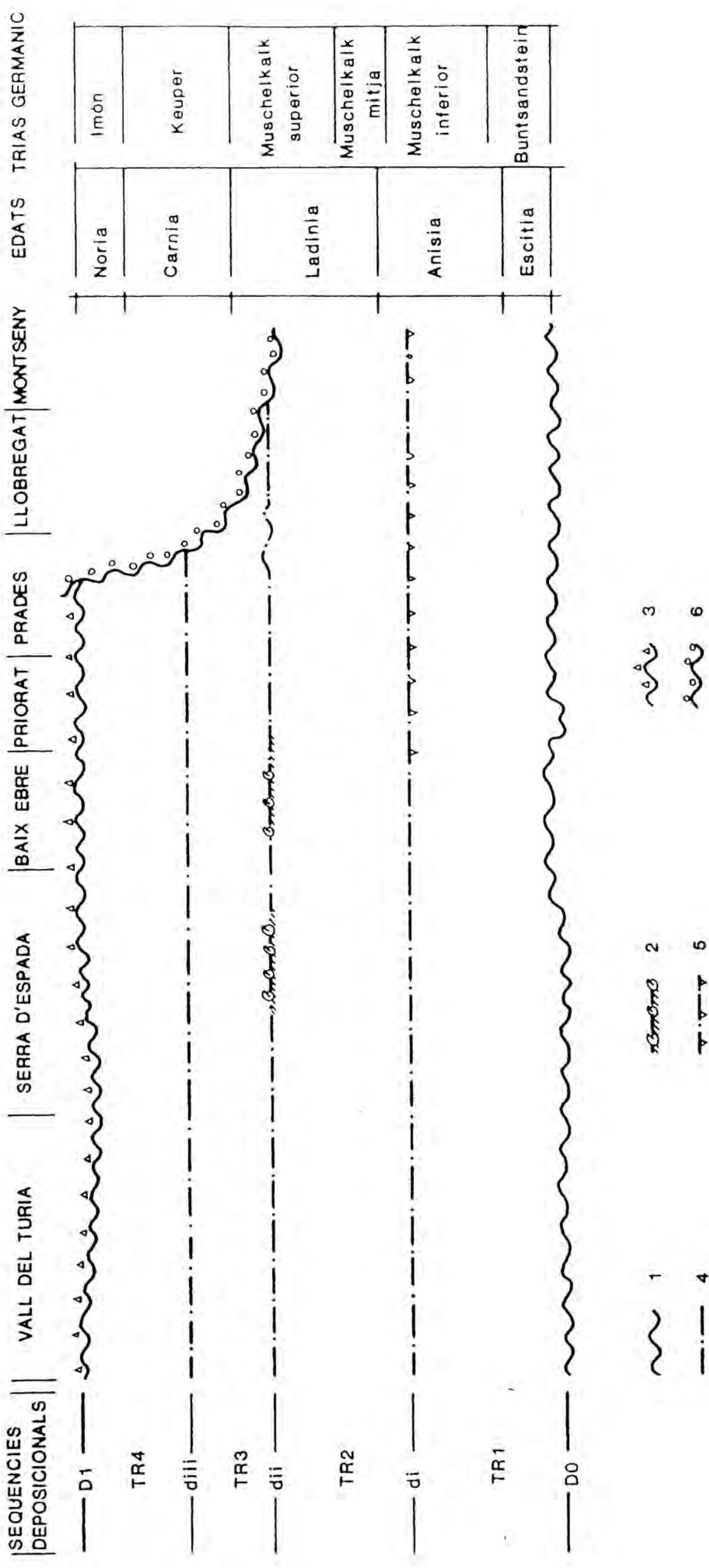


Fig. 2.5. Les seqüències deposicionals del Triàsic de les conques del marge oriental d'Ibèria. 1, discontinuitat major; 2, fons endurit amb acumulació de fauna; 3, discontinuitat de la base del Liàs; 4, discontinuitat menor; 5, fons endurit; 6, superfície d'erosió pre Terciària. Segons Santanach, 1976.

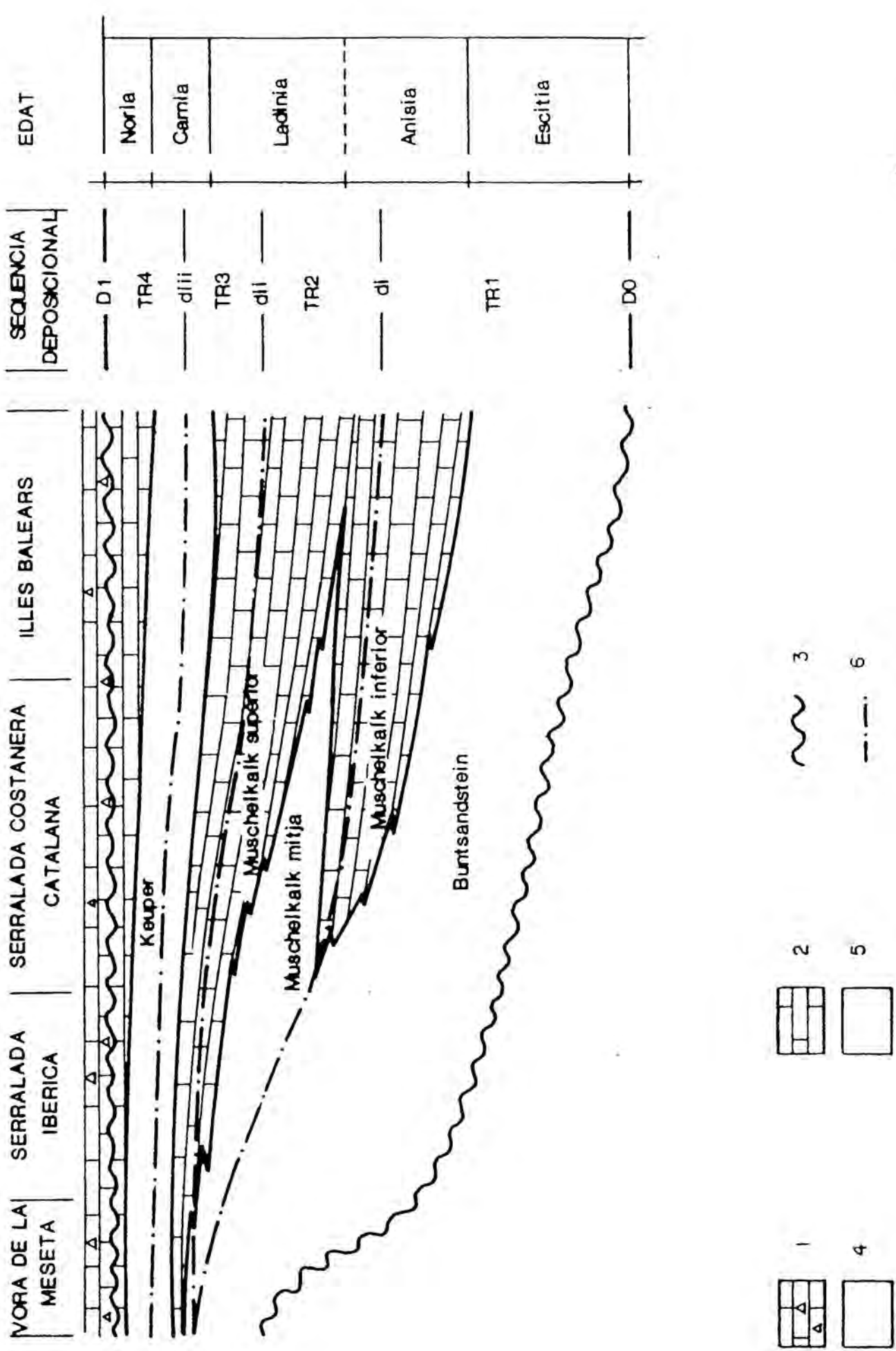


Fig. 2.6. Tall idealitzat de la conca triàsica entre la Meseta i les Illes Balears. 1, bretxes liàsiques; 2, carbonats marins de les fàcies Muschelkalk; 3, disconformitat major; 4, fàcies detritiques del Muschelkalk i el Keuper; 5, fàcies detritiques del Buntsandstein.

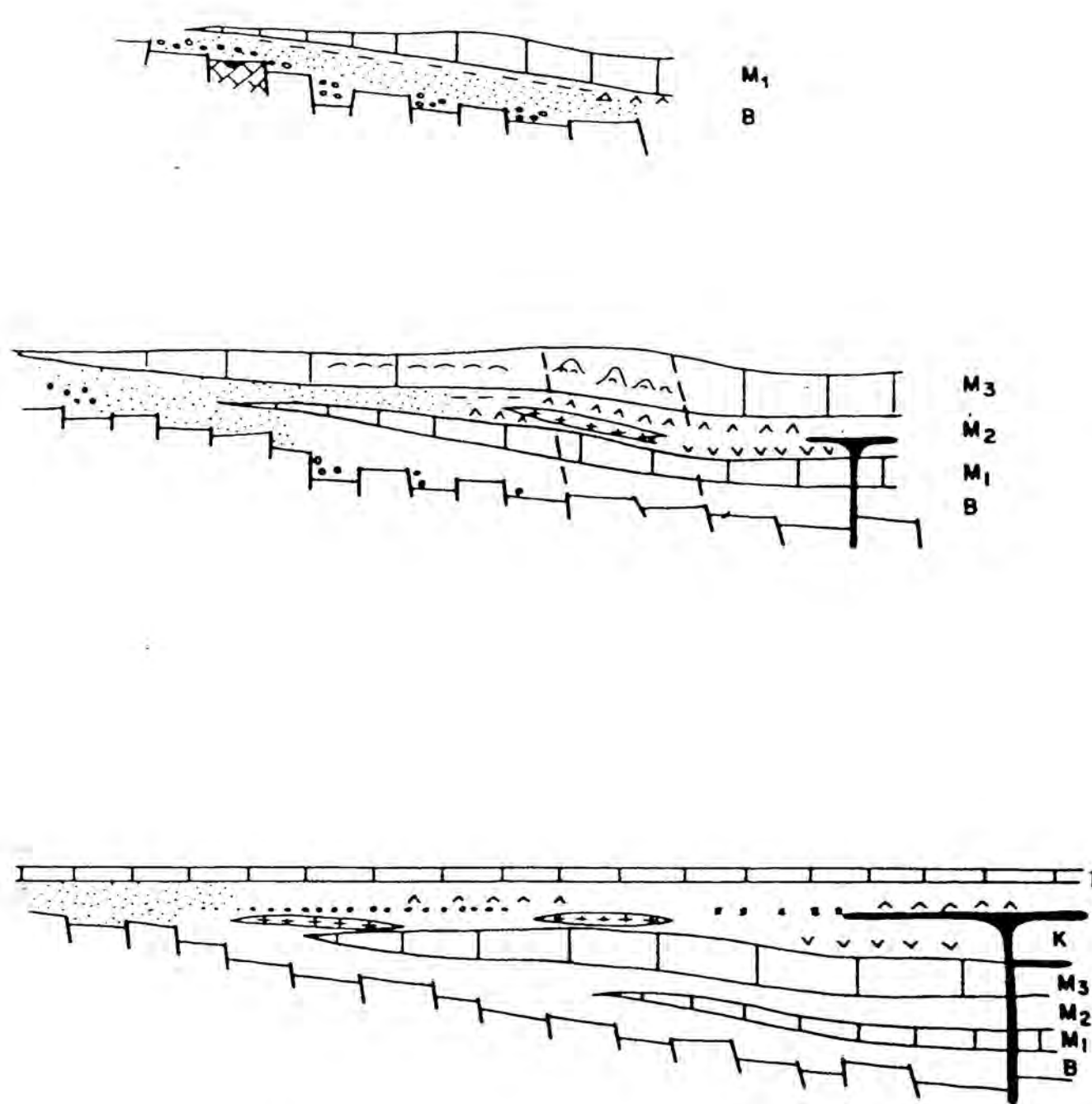


Fig. 2.7. Evolució sedimentària del cicle triàsic als Catalànids (M. Marzo i F. Calvet, 1985).

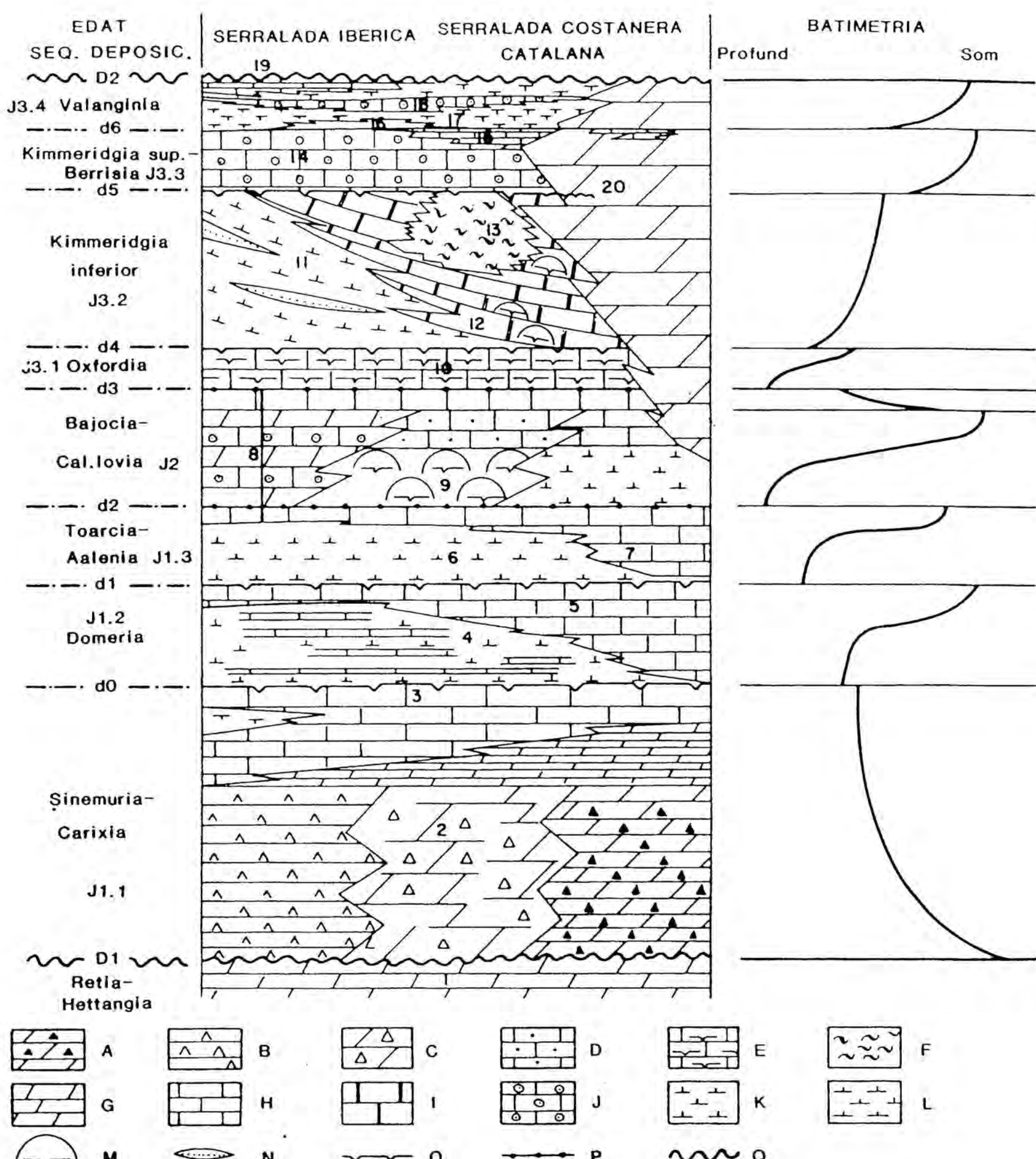


Fig 2.8. Unitats estratigràfiques del Juràssic a la vora oriental d'Ibèria. S'han indicat les formacions litoestratigràfiques amb les seves relacions geomètriques i canvis laterals de fàcies, així com la divisió d'aquestes unitats en seqüències deposicionals. Les unitats litoestratigràfiques són les següents: 1, Fm. d'Imon; 2, Fm. de Cortes de Tajuña; 3, Fm. de Cuevas Labradas; 4, Fm. de Cerro del Pez; 5, Fm de Barrahon; 6, Fm. de Turmiel; 7, Mb. de Casinos; 8, Fm. de Xelva; 9, part mitjana de la Fm. de Xelva; 10, Fm. de Látova; 11, Fm. de Sot de Xera; 12, Fm. de Loriguilla (o de Polpis); 13, U. d'Ascla; 14, Fm. de Figueroles (o de Bovalar); 15, U. de l'ermita de la Bota; 16, gresos del barranc d'En Siroll; 17, calcàries i margues dels Mangraners; 18, calcarenites dels polacos; 19, calcarenites de la Bastida; M, esculls d'esponges; N, gresos; O, fons endurit; P, acumulació d'oòlits ferruginosos; Q, discontinuitat. Original J. Giner, modificat per Salas, 1985.

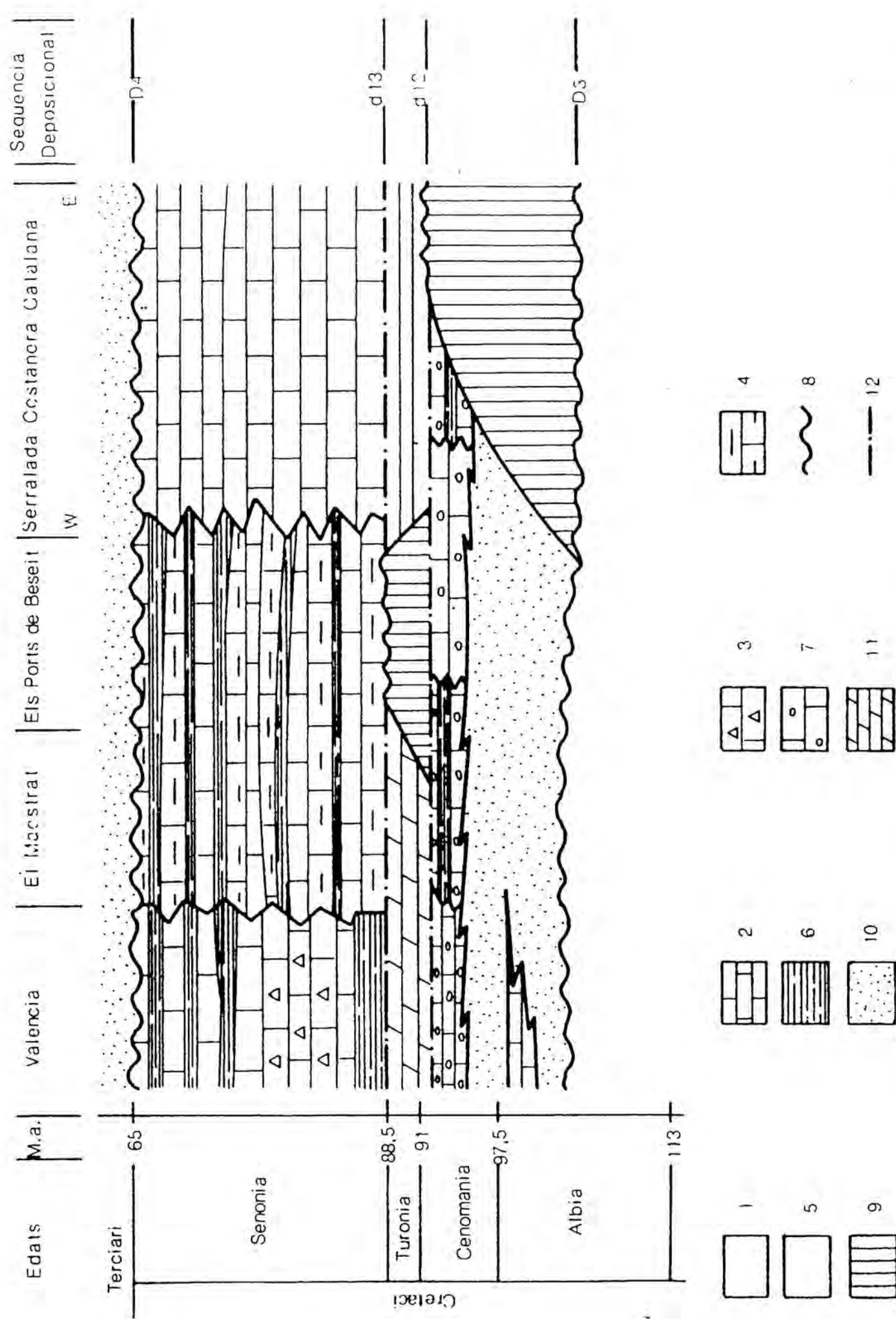


Fig. 2.9. Variacions litològiques del Cretaci Superior al llarg del marge oriental d'Ibèria (Sàlles, 1986). 1, carbonats marins d'aigua sòria; 2, calcàries; 3, bretxes calcàries; 4, calcàries margoses; 5, carbonats marins d'aigües més profundes; 6, margues; 7, calcàries amb àlveolines; 8, discontinuitat major; 9, llaguna estratigràfica; 10, materials terrígenics; 11 dolomies; 12, discontinuitat menor.

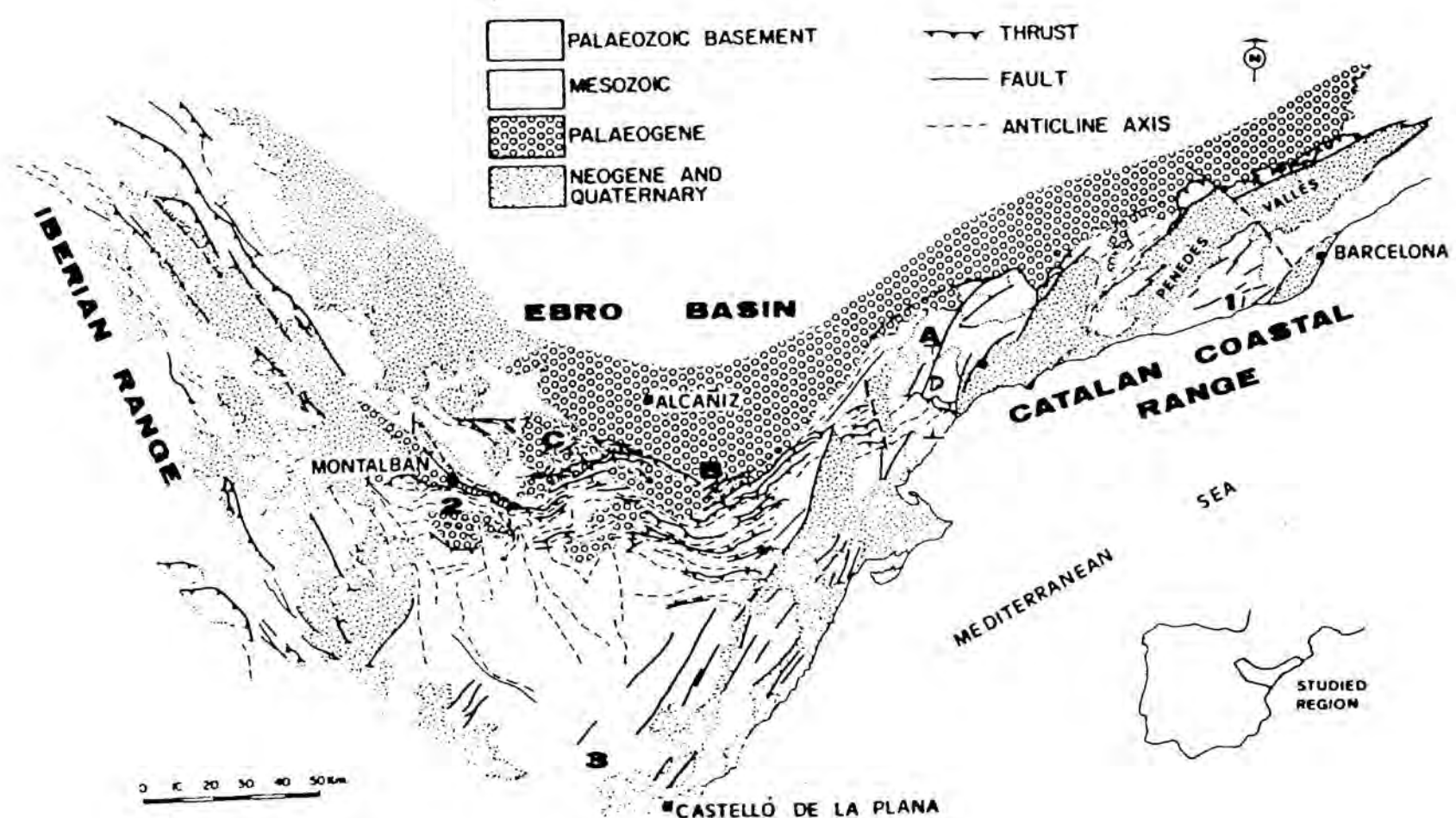


Fig. 2.10. Esquema tectònic de la regió estudiada. A,B,C, localització dels tall s geològics (fig. 2.11.). 1,2,3, localització de les mesures de poblacions de falles (fig. 2.12.) (Guimerà, 1984).

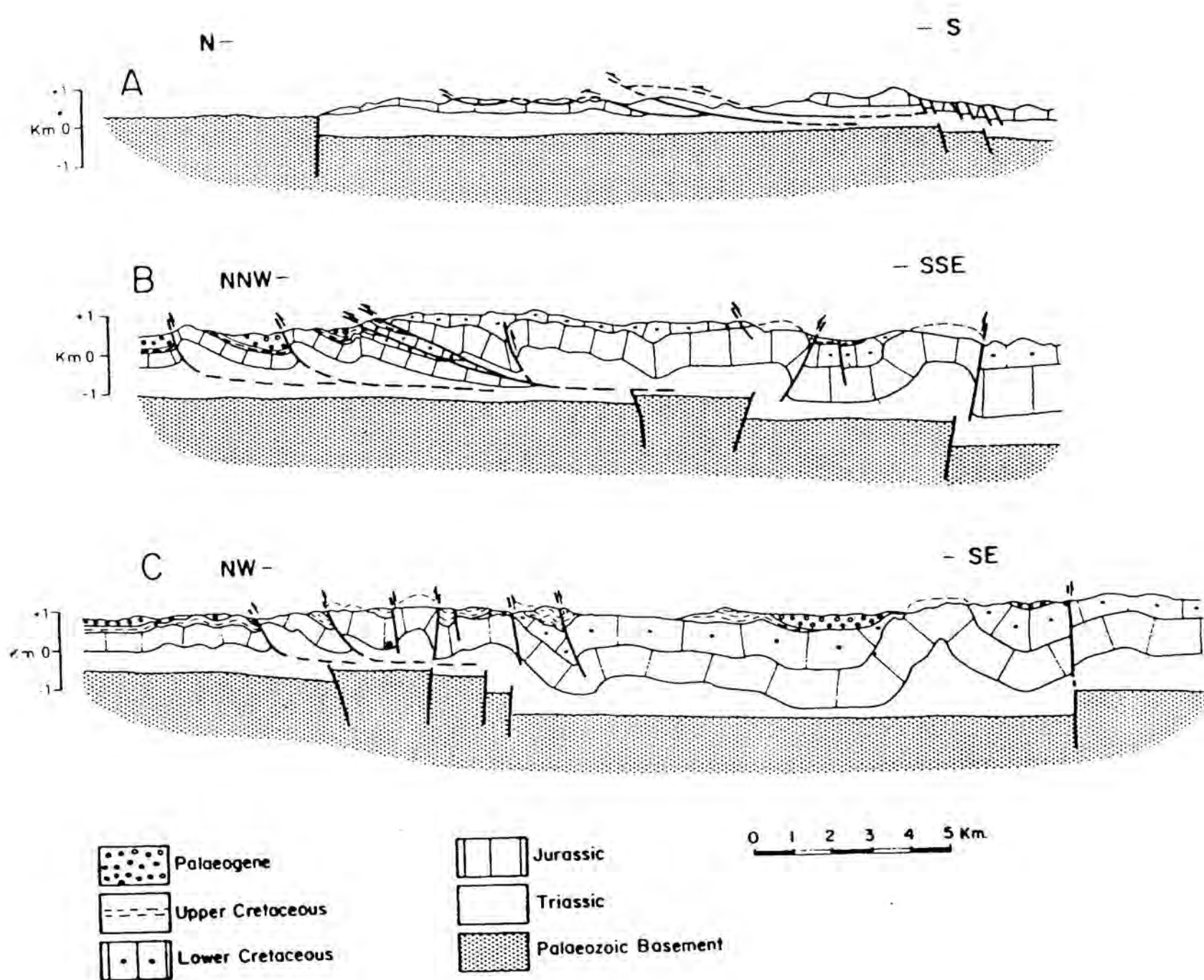


Fig. 2.11. Talls geològics de la regió estudiada. Localització a la fig. 2.10. (Guimerà, 1984).

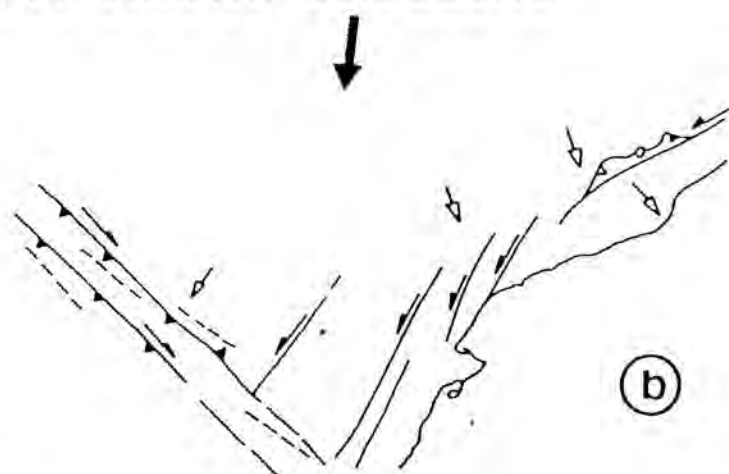
AGE OF DEFORMATION	REGIONAL COMPRESSION	LOCAL COMPRESSION			
		CATALAN COASTAL RANGE	LINKING ZONE	IBERIAN RANGE	
				NE SECTOR	W&S SECTORS
LOWER EOCENE	NW-SE	NW-SE(1)	NW-SE		NW-SE
UPPER EOCENE	N-S	NW-SE(1)	NE-SW(2)		NE-SW(2)
UPPER OLIGOCENE			N-S(3)		
LOWER MIocene	NE-SW	NE-SW	NE-SW		
		DISTENSION (WITH LOCAL COMPRESSIVE EPISODES)			COMPRESSION

Fig. 2.12. Taula que mostra les direccions compressives a la regió estudiada i les seves relacions amb les direccions compressives deduïdes de l'observació de detall. 1, direcció compressiva que forma les estructures majors en les Serralades Costeranes Catalanes (NE SW); 2, direccions compressives que formen les estructures a la Serralada Ibèrica (NW SE); 3, direccions de compressió que formen les estructures principals de la zona d'enllaç. (Segons Guimerà, 1984).

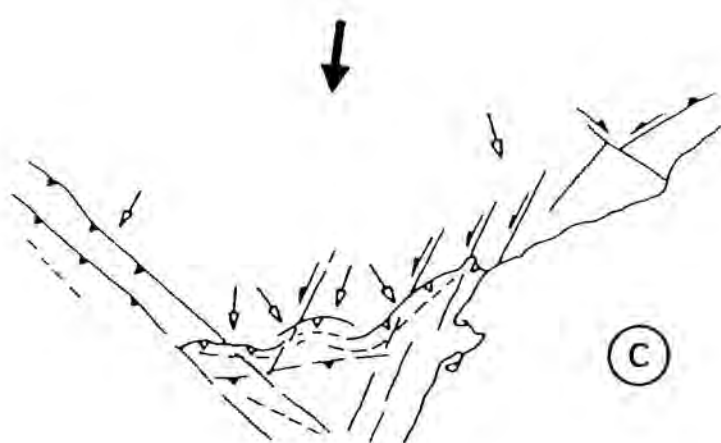
LOWER-MIDDLE EOCENE



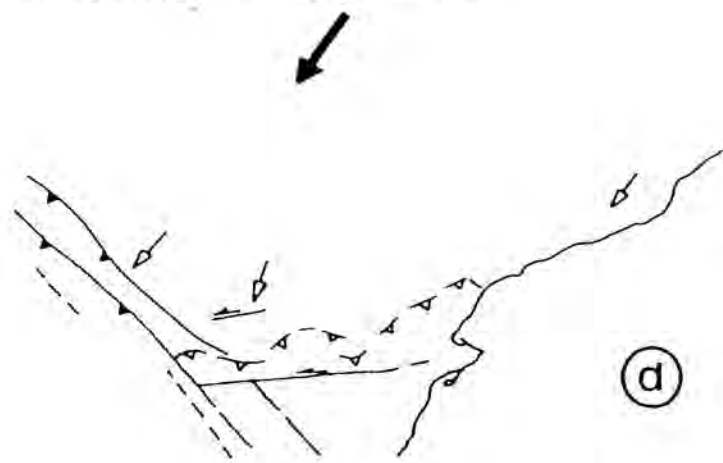
UPPER EOCENE-OLIGOCENE



MIDDLE-UPPER OLIGOCENE



UPPERMOST OLIGOCENE



THRUST
REVERSE FAULT
STRIKE-SLIP FAULT
FOLD AXIS

→ REGIONAL COMPRESSION
→ LOCAL COMPRESSION

Fig. 2.13. Evolució de la compressió i estructures compressives a la regió estudiada (Guimerà, 1984).

3. ESTRATIGRAFIA

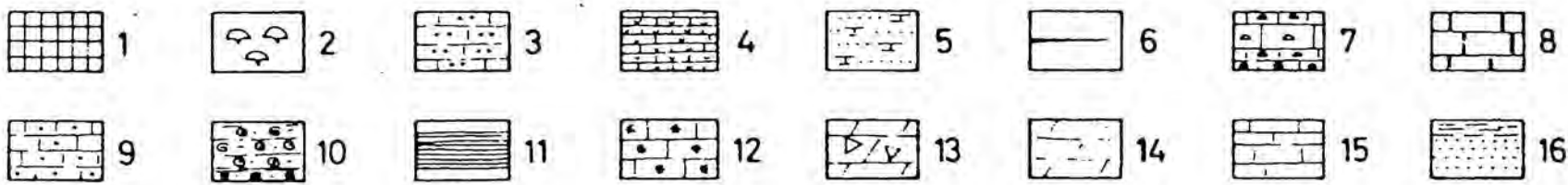
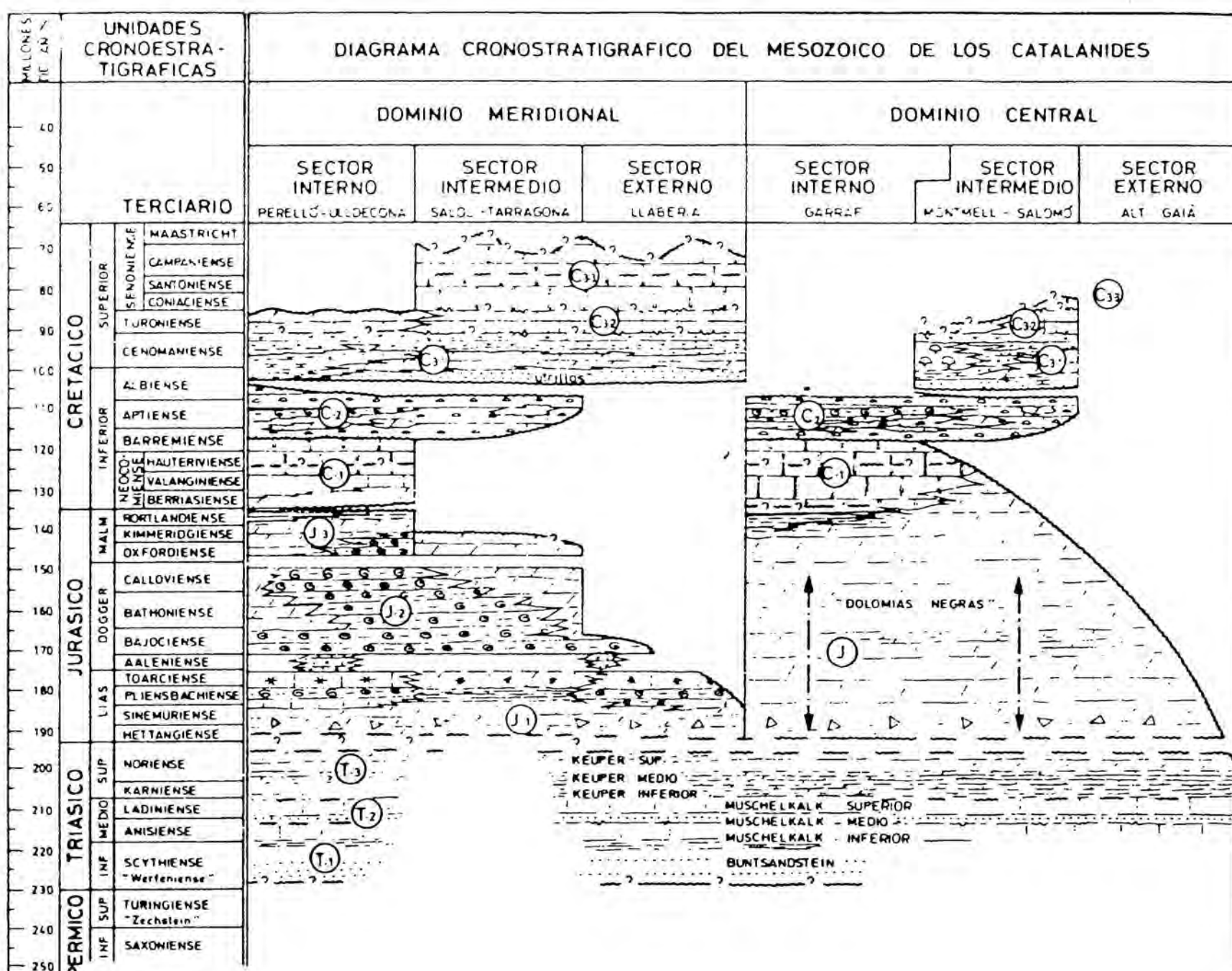


Fig. 3.1. Diagrama cronoestratigràfic del Mesozoic dels Catalànids.

1. Calcàries blanques amb abundants foraminífers planctònics. Fàcies pelàgiques. 2. Escull de corals. 3. Calcàries oolítiques. Fàcies somes. 4. Calcàries amb Praealveolina. Fàcies marina soma. 5. Fàcies costaneres detritic-margoses amb Ostreids. 6. Fàcies pelàgiques de Nannoplancton. 7. Calcàries amb bancs d'Orbitolines i Rudistes. Fàcies marina soma. 8. Calcàries i margues en fàcies de transició mari-sàlobre. 9. Calcàries amb oòlits ferruginosos. 10. Margo-calcàries, margues i calcàries amb ammonits de fàcies pelàgica. 11. Calcàries i dolomies laminationes. Fàcies de plataforma mareal. 12. Calcàries encrinitiques amb Pectinids. 13. Bretxes dolomítiques. 14. Dolomies. 15. Fàcies de plataforma carbonàtica soma. 16. Complexos terrígens de fàcies continental. (E. Robles, 1979 - 82).

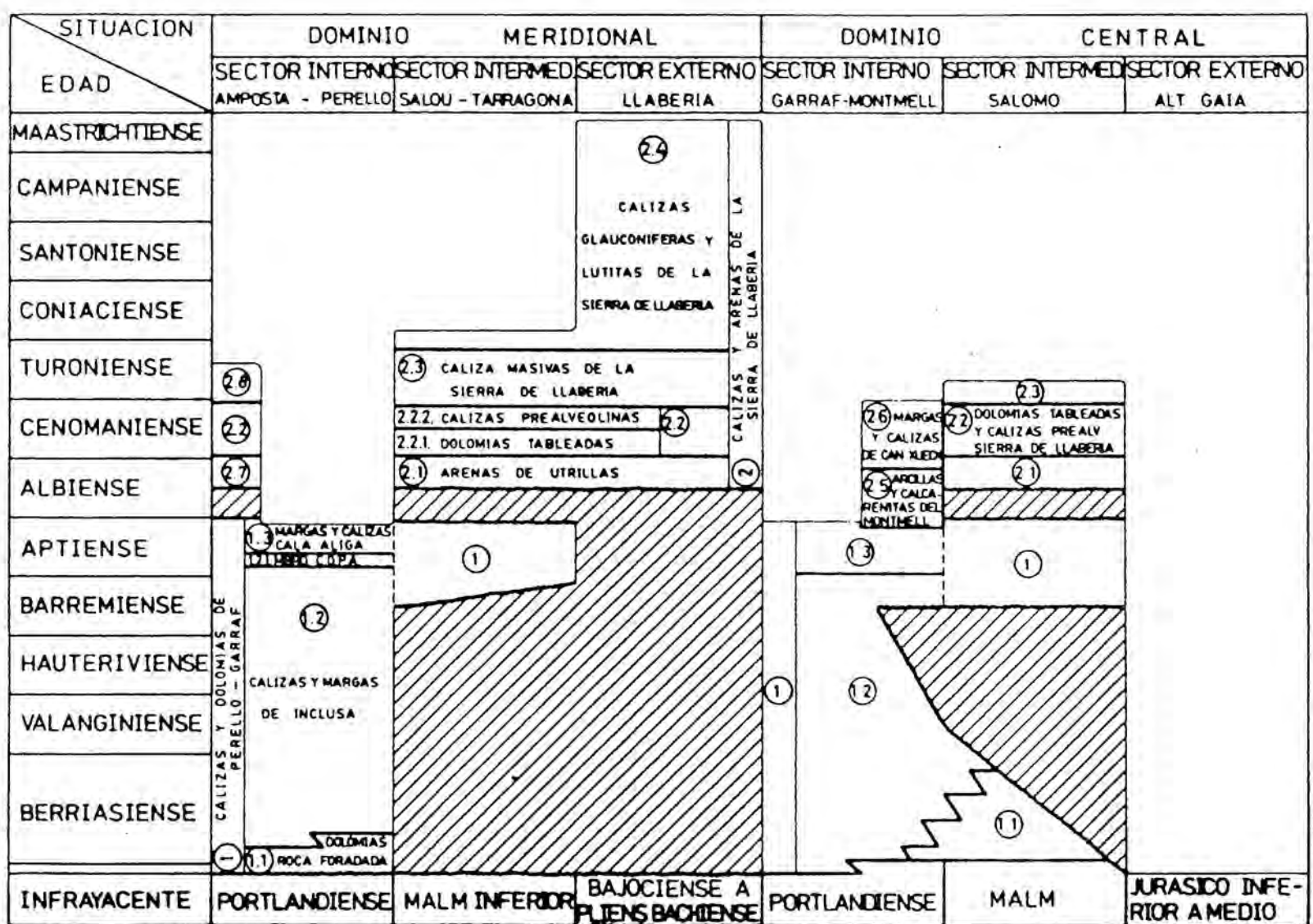


Fig. 3.2. Unitats litoestratigràfiques del Cretaci dels Catalànids.

1. Grup calcàries, margocalcàries i dolomies de Perelló-Garraf. 1.1. Formació dolomies de Roca Foradada. 1.2. Formació calcàries i margues d'Inclusa. 1.2.1. Membre calcàries organògenes de la Punta de l'Aliga. 1.3. Formació margues i calcàries de la Cala de l'Aliga. 2. Grup calcàries i arenes de la Serra de Llaberia. 2.1. Formació arenes d'Utrilles. 2.2. Formació dolomies taulejades i calcàries amb Praealveolines de la Serra de Llaberia. 2.3. Formació calcàries massisses de la Serra de Llaberia. 2.4. Formació calcàries glauconíferes i lutites de la Serra de Llaberia. 2.5. Formació argiles roges i calcarenites d'orbitolines del Montmell. 2.6. Formació margues i calcàries de Can Xuech. 2.7. Formació gresos del Maestrat. 2.8. Formació dolomies del barranc de Los Degollados. (La posició cronoestratigràfica dels límits de les unitats és aproximada). (Robles 1982).

Group	Formations	Environment of Sedimentation	Tentative age correlation
Torrecilla		continental	Miocene and Oligocene
	Guadalupe Marl	transitional	
	Cañadilla Limestone	transitional shallow marine,	Upper Cretaceous
Aliaga	Utrillas Sandstone Palomar Limestone Parras Formation	continental, transitional and shallow marine	Lower Cretaceous
Oliete	Mortero Limestone Moyuela Marl Cabra Limestone Obón Marl Alcaine Limestone Ariño Marl Martín Limestone	shallow marine	Upper Jurassic Middle Jurassic Lower Jurassic
Montalbán	Cantalera Dolomite Zarza Dolomite Montforte Marl La Hoz Dolomite	transitional and shallow marine (hot, arid climate)	Upper Triassic Middle Triassic
	Pefiarroyas Sandstone	continental	Lower Triassic
Badenas			Palaeozoic

Fig. 3.3. Grups i Formacions de la regió de Montalbán amb l'ambient de deposició i aproximació de correlació de les edats. (A.C. Van Ginkel i J. F. M. Mekel, 1976).

EDAD	IBERICA CENTRAL	CUENCA DE OLIETE	CUENCA DE MORA DE RUBIELOS	MAESTRAZGO OCCIDENTAL	MAESTRAZGO ORIENTAL
CENOMANIENSE		CALIZAS Y	MARGAS DE	MOSQUERUELA	
VRACONIENSE	ARENAS DE UTRILLAS	LIGNITOS DE ESCUCHA	?	ARENISCAS DEL	MAESTRAZGO
ALBIENSE S.S.				CALIZAS DE	RENASAL
CLANSAYESENSE					
GARGASIENSE		CALIZAS DE OLIETE	CALIZAS DE VILLARROYA DE LOS PINARES		
BEDOULIENSE			MARGAS DE FORCALH		
			CALIZAS Y MARGAS DE CHERT		
		CALIZAS DE ALACON	ARCILLAS DE MORELLA		MARGAS DE CERVERA DEL M.
BARREMIENSE		?	CALIZAS Y MARGAS DE ARES DEL MAESTRE		?
HAUTERIVIENSE		MARGAS Y CALIZAS DE BLESIA	ARENISCAS DE CAMARILLAS	MARGAS DE MIRAMBELL	CALIZAS Y MARGAS DEL MAS DE QUEROI
VALANGINIENSE	?	?	ARENISCAS DE MORA	CALIZAS	
BERRIASIENSE		?		?	DE VALLIVANA
INFRAYACENTE	JURASSICO A PALEOZOICO	KIMMERIDIENSE A LIASICO	PORTLANDIENSE A LIASICO	PORTLANDIENSE	PORTLANDIENSE

Fig 3.4. Les unitats litoestratigràfiques (formacions) reconegudes al Cretaci Inferior de les Conques del Maestrat, Mora de Rubielos i Oliete, així com en les Ibèrides Centrals. Canvi lateral de fàcies. ---- Aparent continuitat sedimentària. ~~~ Discontinuitat local (secundària). ~~~~ Discontinuitat general (major). (Camerot, 1982).

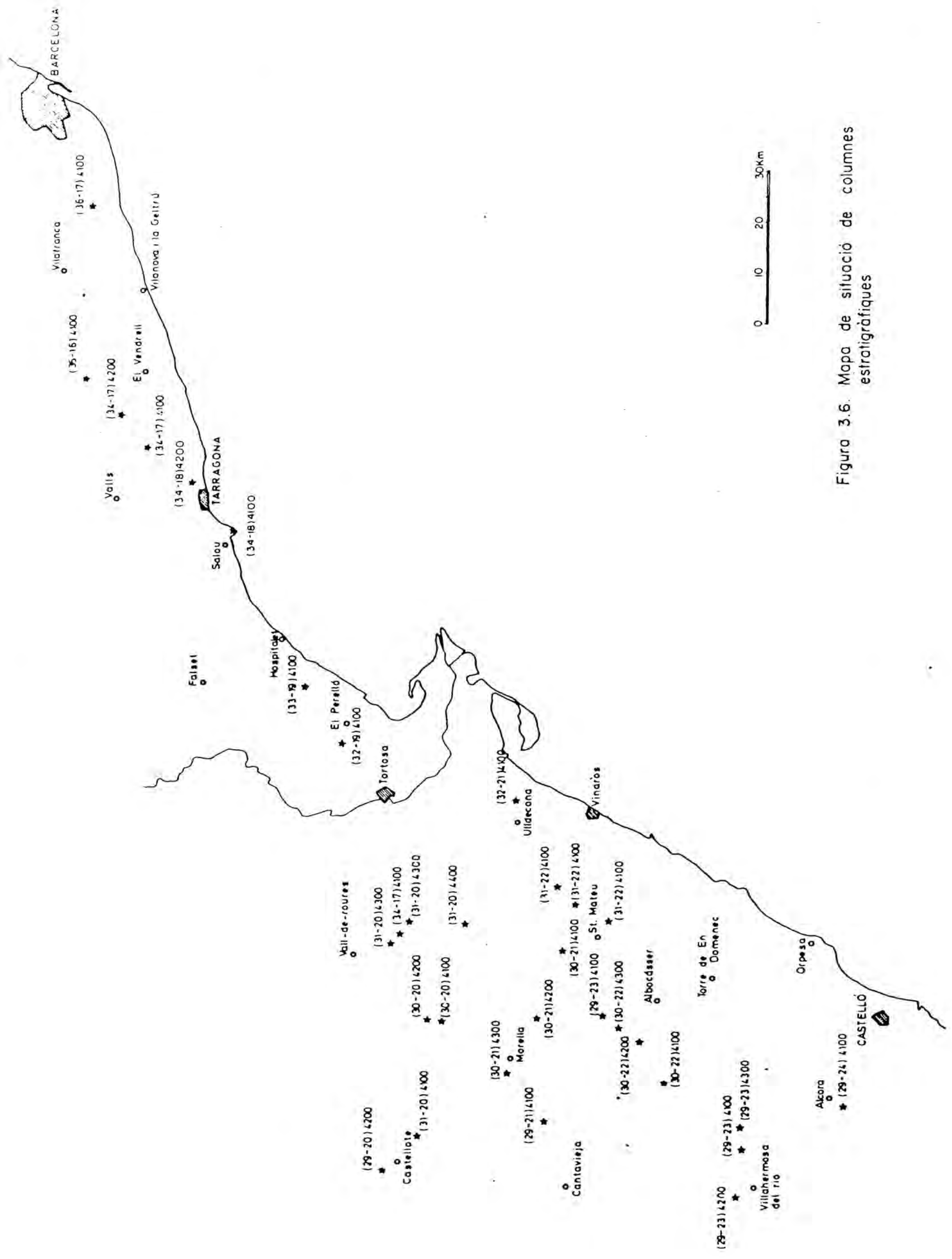


Figura 3.6. Mapa de situació de columnes estratigràfiques

FIGURA 3.7

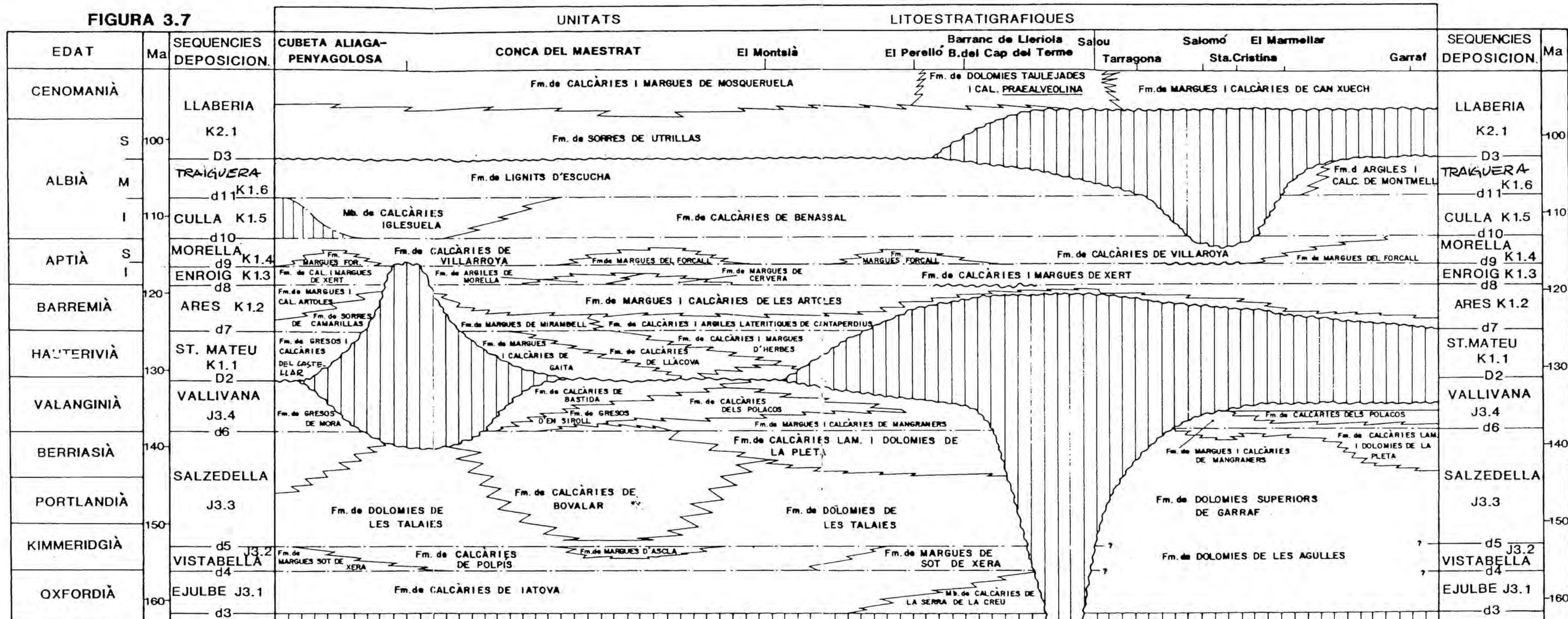


Fig. 3.7. Les unitats estratigràfiques de l'interval Oxfordia-Senomanià dels Catalànids i la Serralada Ibèrica Oriental

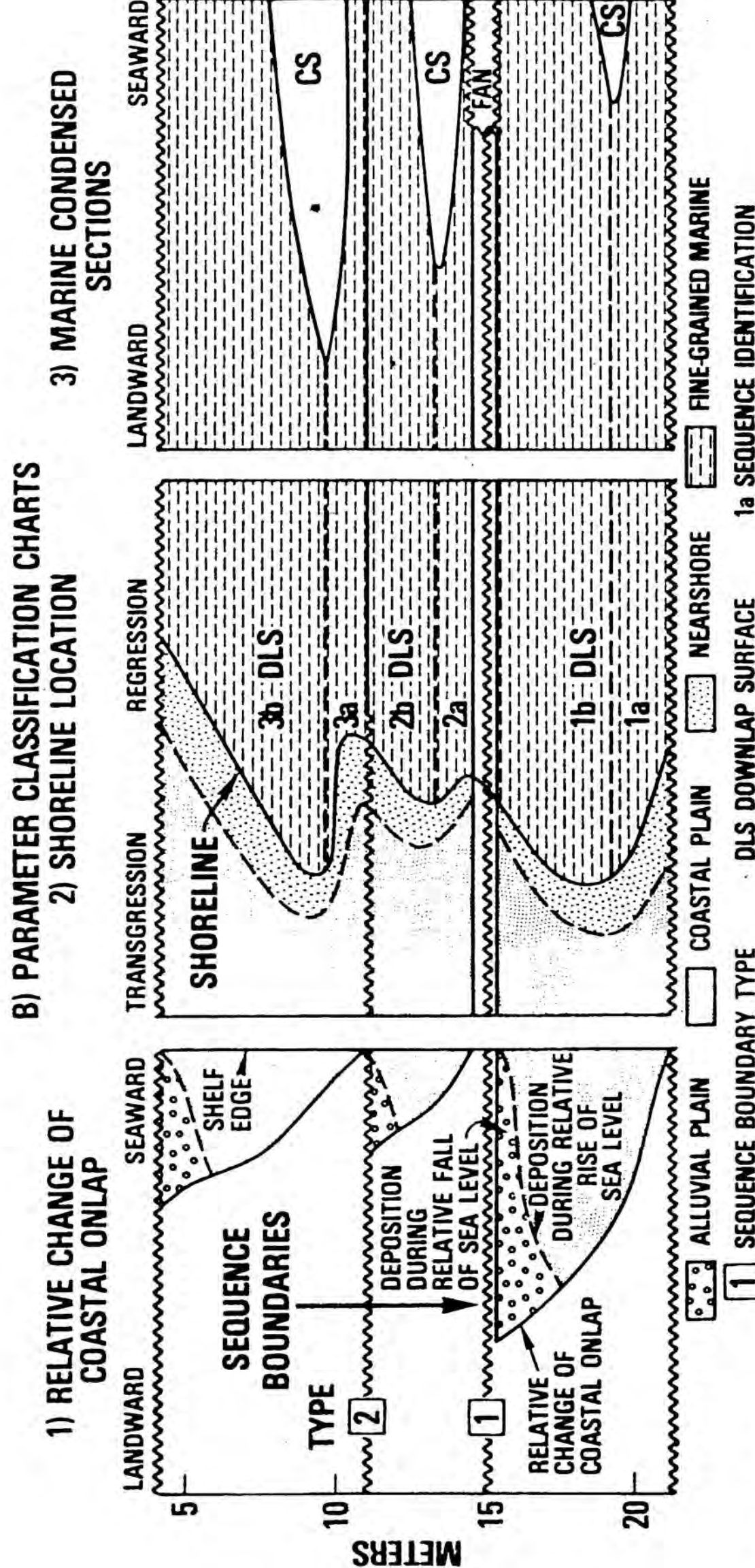
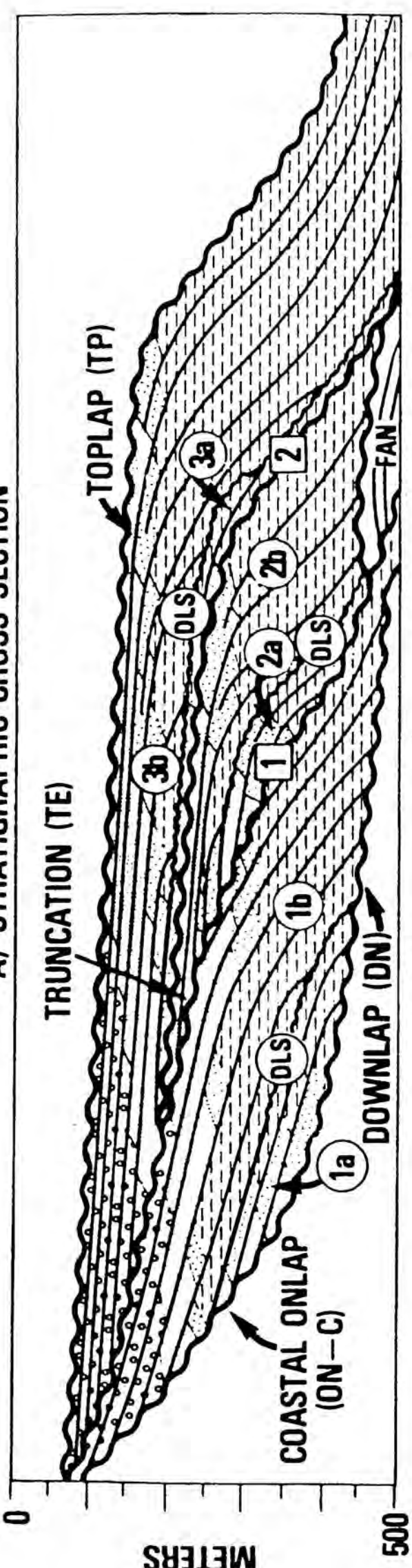


Fig. 3.7a. Tall estratigràfic esquemàtic i mapa on es mostren els paràmetres utilitzats per realitzar el mapa del cicle global del supercicle Juràssic. El tall estratigràfic (A) mostra la distribució dels tipus de límits, superfícies de downlap (seccions condensades), i fàcies de tres seqüències idealitzades. El mapa de classificació de paràmetres (B) mostra la relació entre els paràmetres de les tres seqüències a l' hora. CS significa secció condensada. (Vail et al. 1984).

SISTEMA	SERIE	ESTATGES	EDATS m.a.	DISCONTINUIT. SECC.CONDENS. SUPERSEQUENC. DEPOSICIONALS	SEQUENCIES DEPOSICIONALS	CARACTERISTIQUES DISCONTINUITATS					EDATS m.a.					
						TERRIGENS	EROSIÓ	CARST	LATERITES	BAUXITES	TRUNCAMENT	SUPERFICIES FERRUGIN.	PERFORACIÓ	INCROSTACIÓ	GLAUCONITA	ACUMULACIÓ DE FAUNA
CRETACI	Inferior	SENONIÀ	86,5	D 4 K.2 SC d13 d12 SC d11 SC d10 SC d9 d8 d7 SC d6 J	BESEIT K 2.3	●	●	●	●	●	●	●	●	●	●	70
					VILLARLUENGO K 2.2	●	●	●				●	●	●	85	
					LLABERIA K 2.1	●	●	●							90	
					TRAIGUERA K 1.6	●	●	●							95	
					CULLA K 1.5	●	●	●							100	
					MORELLA K 1.4	●	●	●							105	
					EN ROIG K 1.3	●	●	●							110	
					ARES K 1.2	●	●	●							115	
					ST. MATEU K 1.1	●	●	●							120	
					VALLIVANA J 3.4	●	●	●							125	
					LA SALZEDELLA J 3.3	●	●	●							130	
					VISTABELLA J 3.2	●	●								135	
					EJULVE J 3.1	●	●								140	
															145	
															150	
JURASSIC	Superior	OXFORDIÀ	152													

Fig.3.8. Característiques de les discontinuitats i seccions condensades de l'interval Oxfordià Senonià.

S.D. KIMMERIDIENSE SUP.-BERRIASIENSE (J. 3.2)

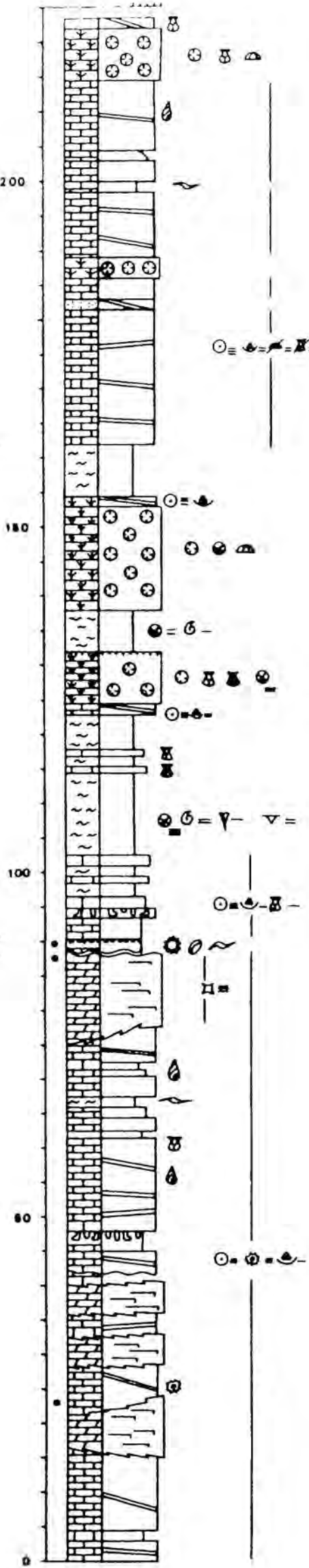
S.D. HAUTERIVIENSE (K. 1.1)

S.D. BARRENIENSE (K. 1.2)

FM. CALIZAS DE BOVALAR

FM. MARG. Y CAL. DE LA GAITA

FM. MARG. Y CAL. DE LAS ARTOLAS



BANCOS MARGINALES

PLATAFORMA ABIERTA

MARISMAS

SECUENCIA DE SOMERIZACION
LAGOON/BANCOS MARGINALES

Fig. 3.9. Columna estratigráfica del Tossal d'Orenga.

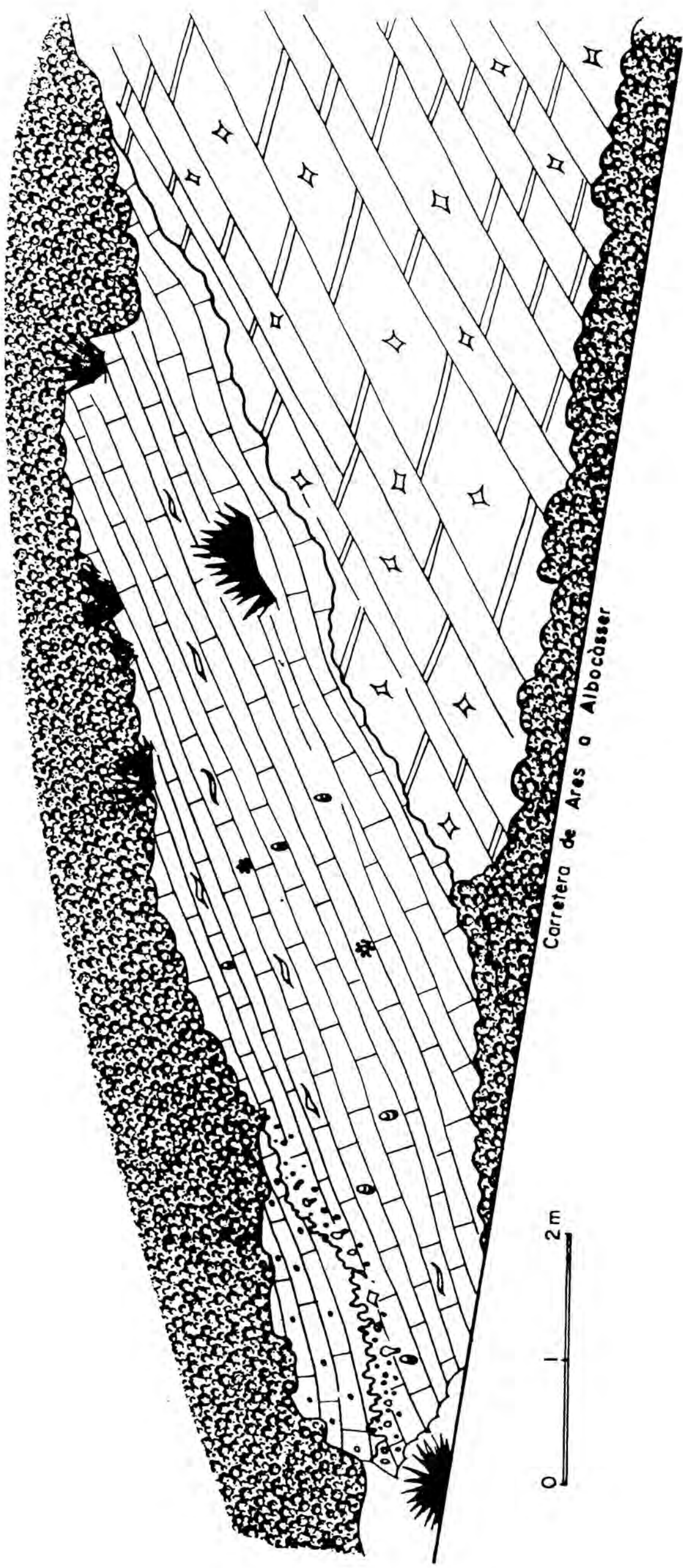
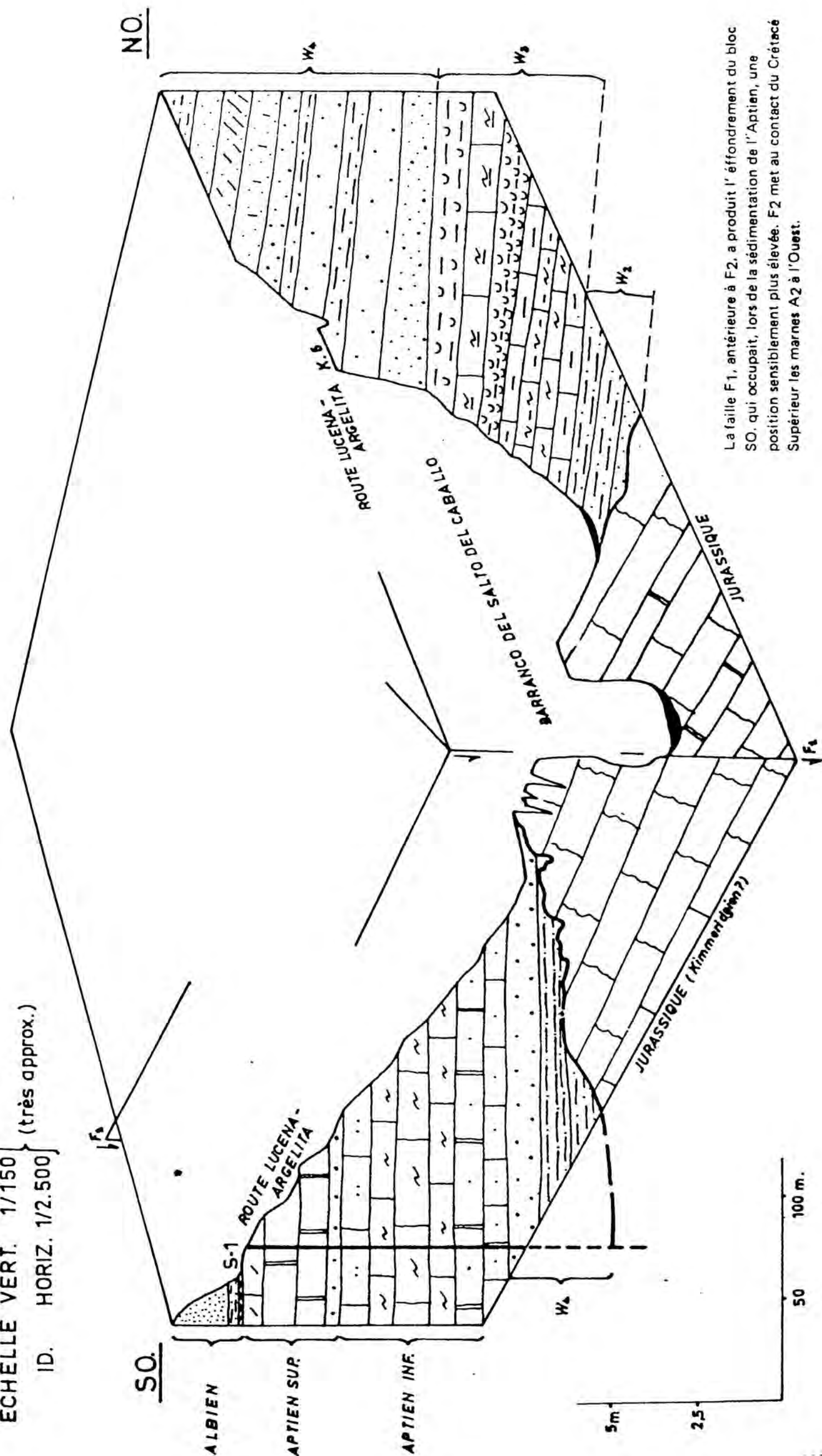


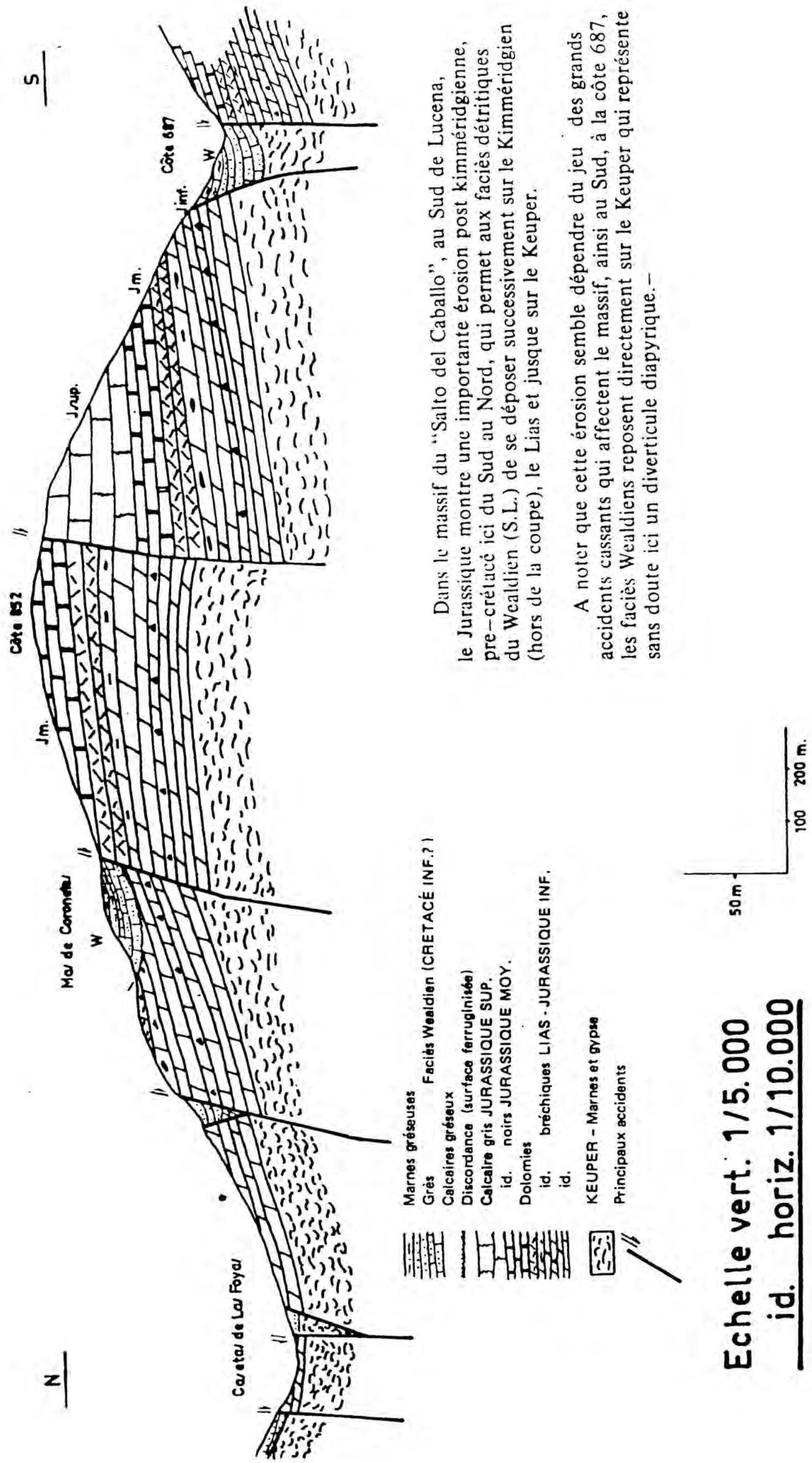
Fig 3.10. Tossal d'Urenga. Detall de les discontinuitats D6 (finiberriasià-Vallanginià) i D2 (Vallanginià-Hauteniviat).

ECHELLE VERT. 1/150 } (très approx.)
ID. HORIZ. 1/2.500 }



La faille F1, antérieure à F2, a produit l'effondrement du bloc SO, qui occupait, lors de la sédimentation de l'Aptien, une position sensiblement plus élevée. F2 met au contact du Crétacé Supérieur les marnes A2 à l'Ouest.

Fig. 3.11. Mas de la Mina. Esquema de les relacions de les fàcies A1 i A2 a l'Ouest. (Michel, 1974).



Dans le massif du "Salto del Caballo", au Sud de Lucena, le Jurassique montre une importante érosion post kimméridgienne, pré-crétacé ici du Sud au Nord, qui permet aux faciès détritiques du Wealdien (S.L.) de se déposer successivement sur le Kimméridgien (hors de la coupe), le Lias et jusque sur le Keuper.

A noter que cette érosion semble dépendre du jeu des grands accidents cassants qui affectent le massif, ainsi au Sud, à la côte 687, les faciès Wealdiens reposent directement sur le Keuper qui représente sans doute ici un diverticule diapyrique.—

Fig. 3.12. Région SE. (Mas de la Mina). Relations entre el Trias (Keuper), el Jurassique et la facies Wealdien dans el massís del Salto del Caballo. (T. Michel, 1974).

Sinclinal de Fredes ②

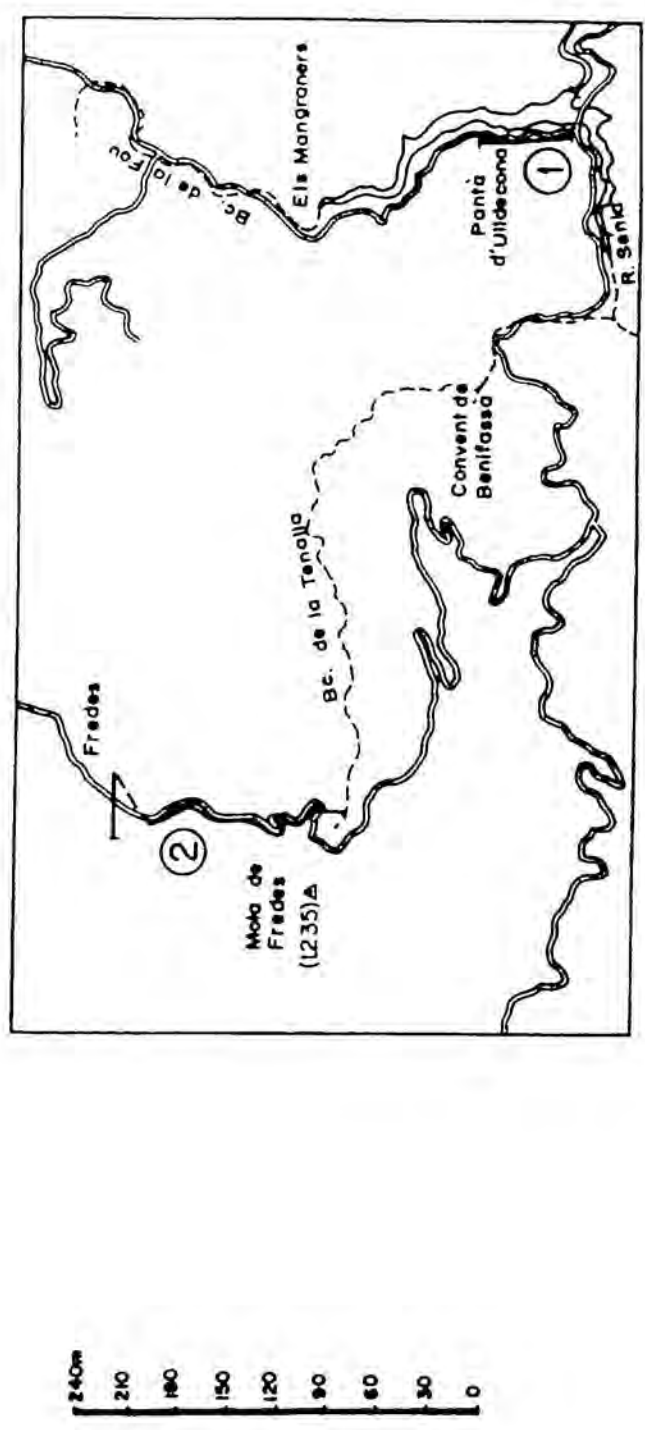
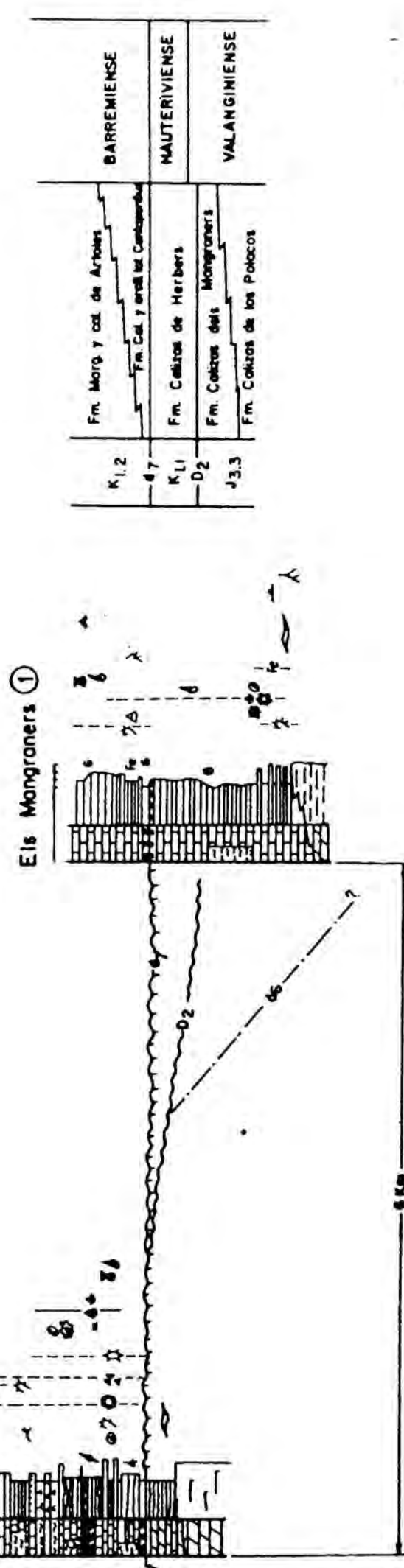
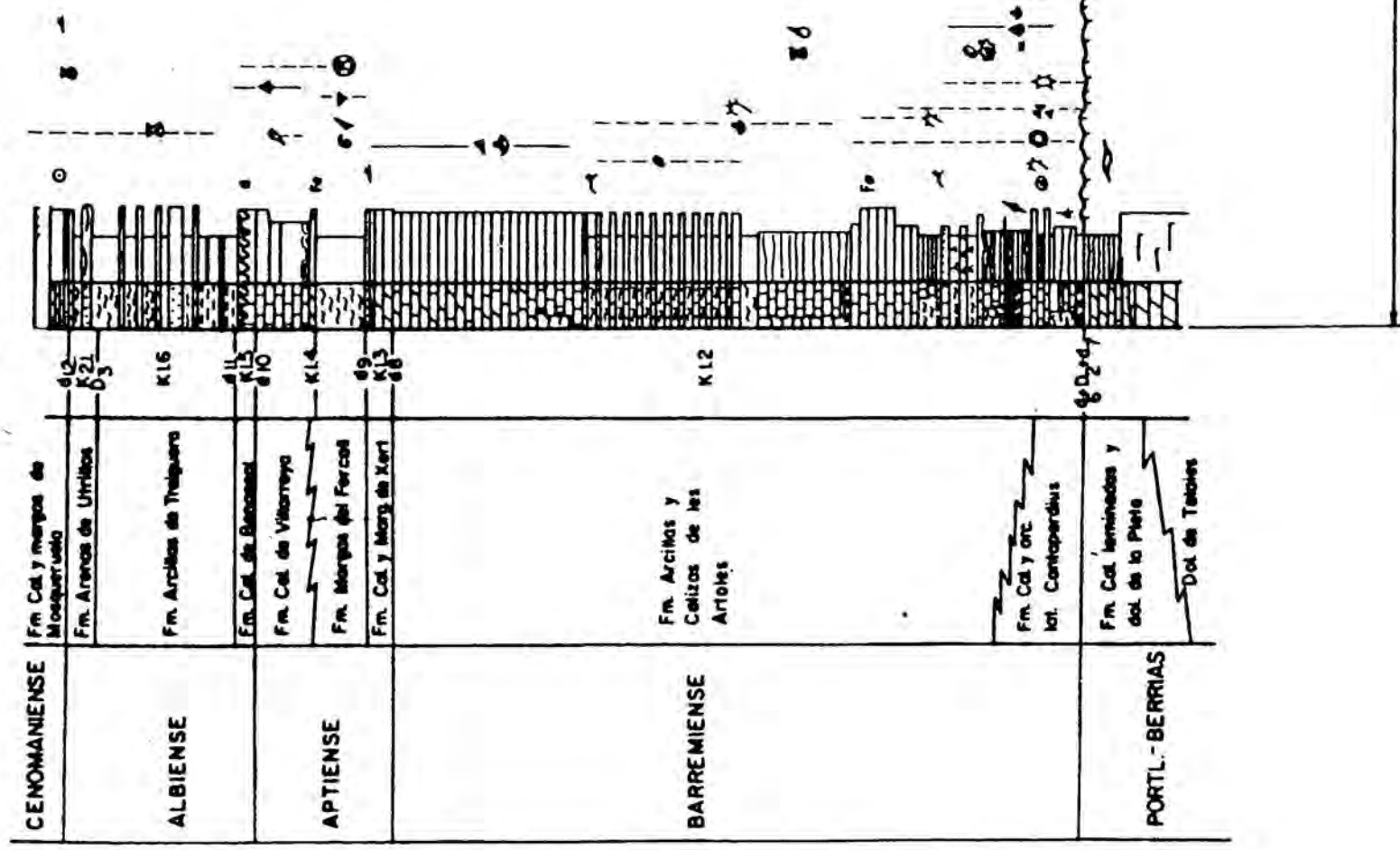
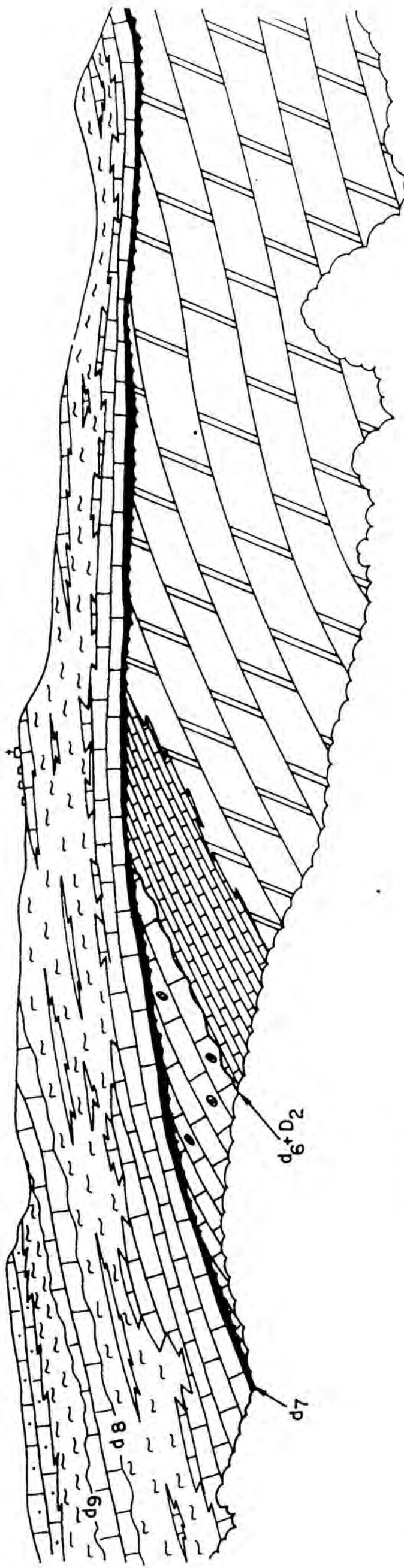


Fig. 3.13. Bisel. Lament i tasconament de les seqüències deposicionals valanginianes i hauterivianes entre Els Mangraners i Fredes (Els Ports de Besait).

S -

-N

Ermita de St. Miquel



APTIENSE	
K1.4	Fm Calizas de Villarroya
d ₉	Fm Margas del Forcall
K1.3	Fm Calizas y margas de Xert
d ₈	Fm Margas y calizas de les Antoles
K1.2	Fm Calizas y Arcillas lat. de Cantaperdius
d ₇	
BARRENIENSE	
K1.1	Fm Calizas de Herbers
d ₆	
HAUTERIVIENSE	
D ₂	Fm Calizas lam. y dol. de la Pietra
PORT-BERRIASIENSE	
J3.2	Dolomias de les Talaies

Fig. 3.14. Discordança del Bc. del Racó del Patorrat. Geometria del tasconament dels materials neocomians i biseüllament del substracte per les laterites de la base de la S. D. barremiana.

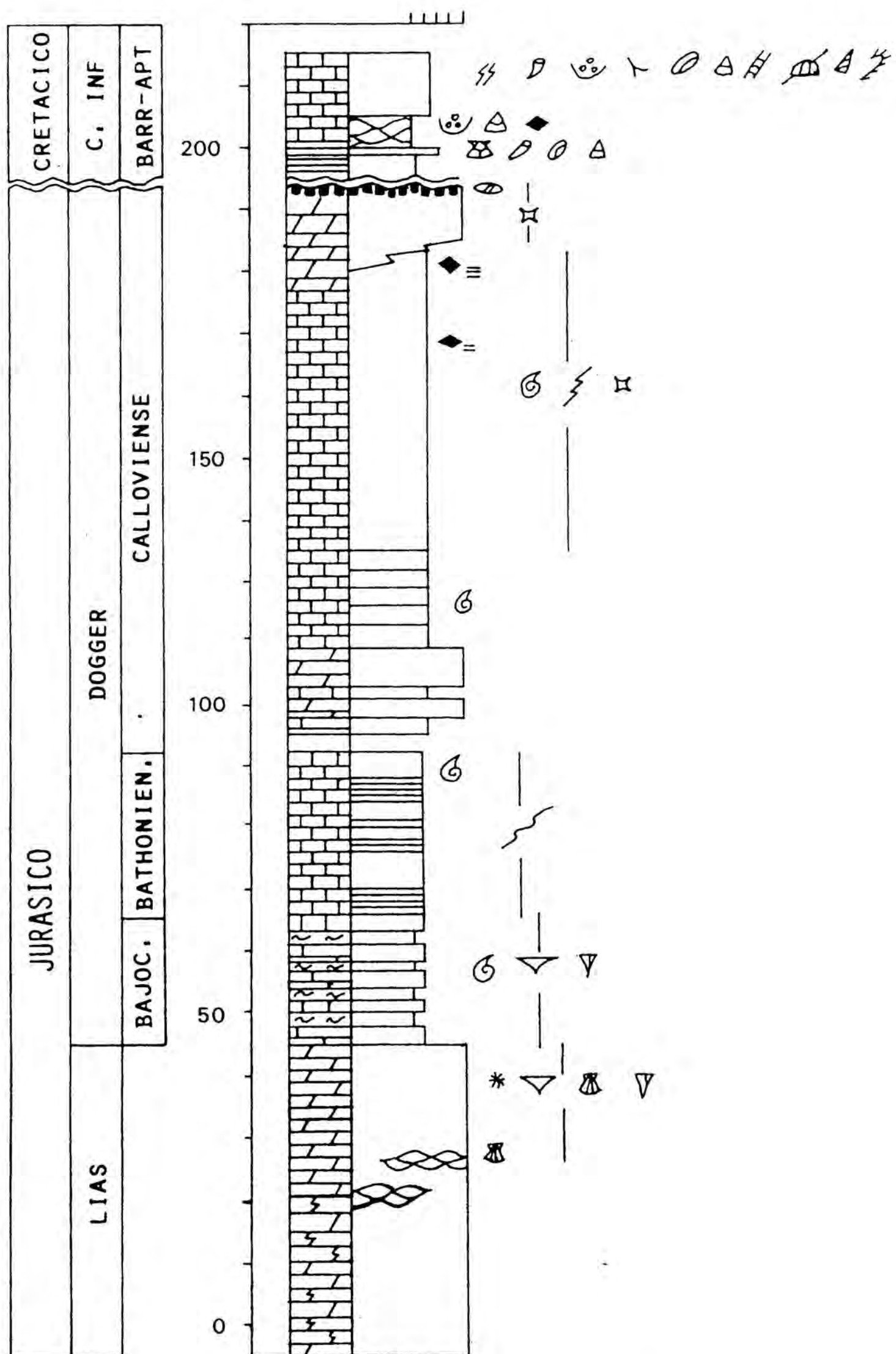


Fig. 3. 15. Cap de Salou. Columna sintètica de les superseqüències del Juràssic i del Cretaci Inferior.

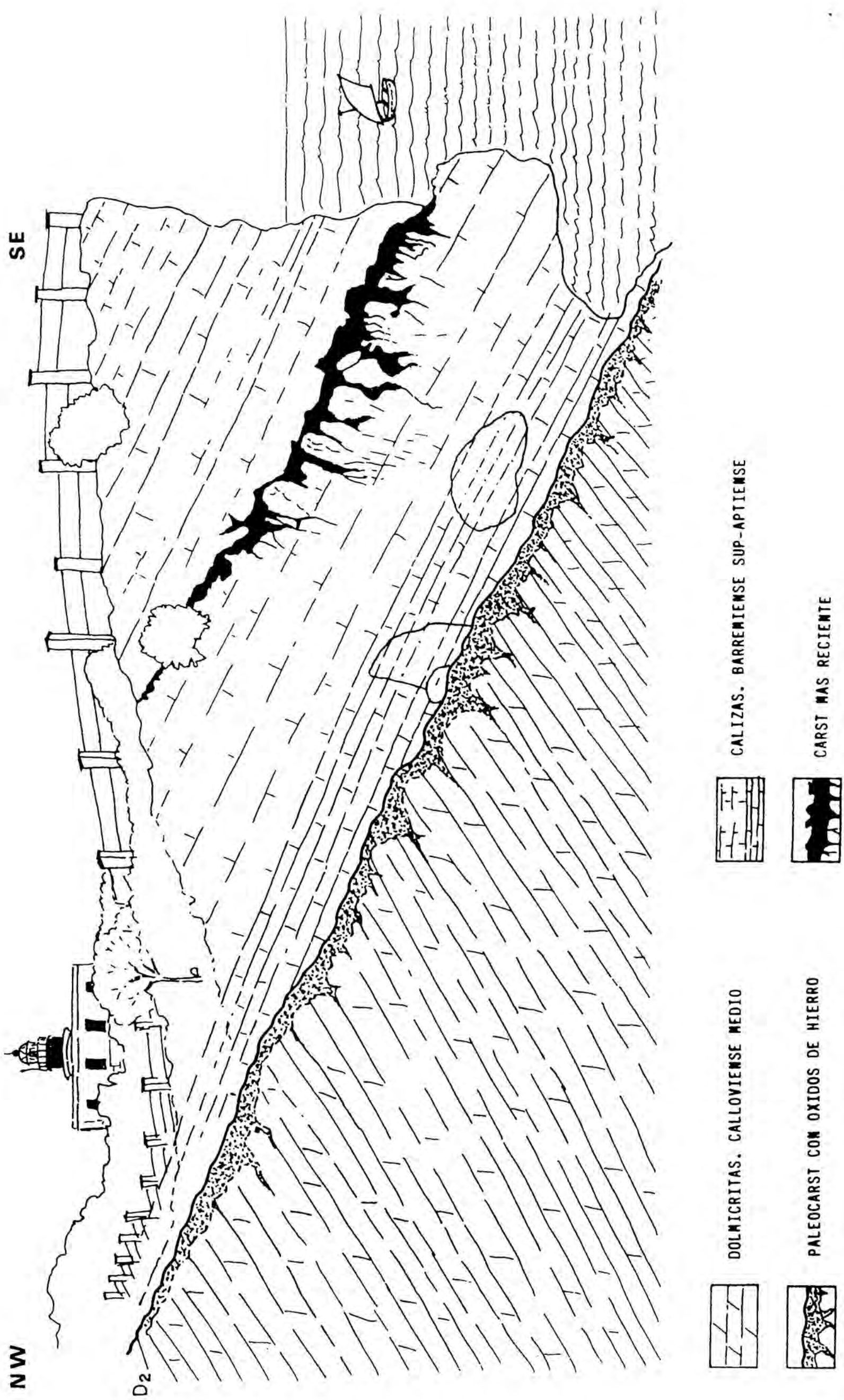


Fig. 3.16. Espadat del Cap de Salou. Discordància (discontinuïtat regional D2) existent entre els materials callovians i barremo-aptians.

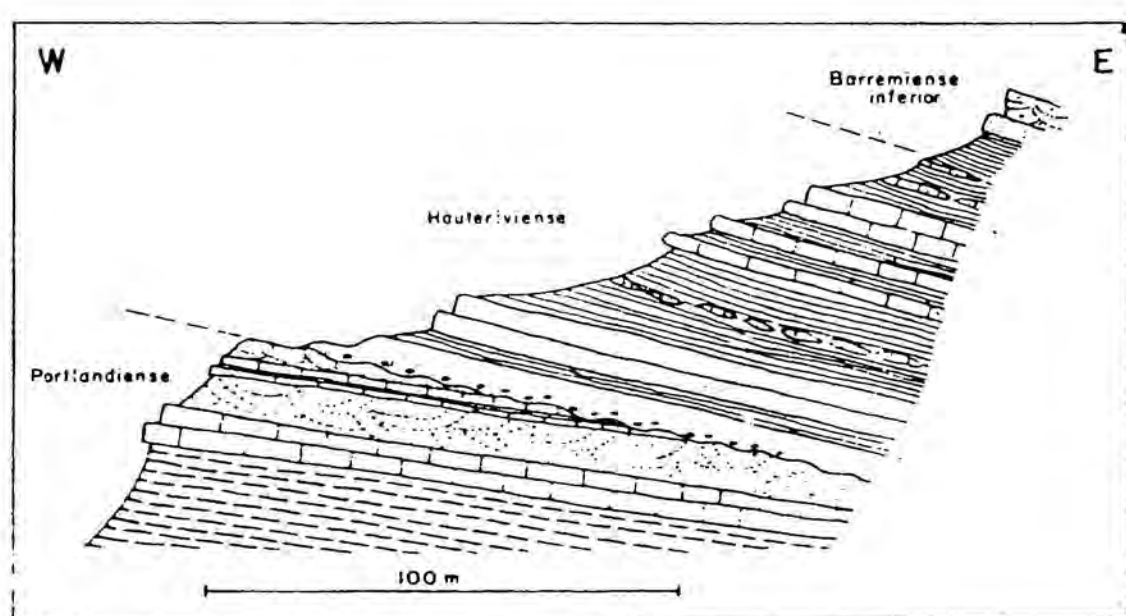
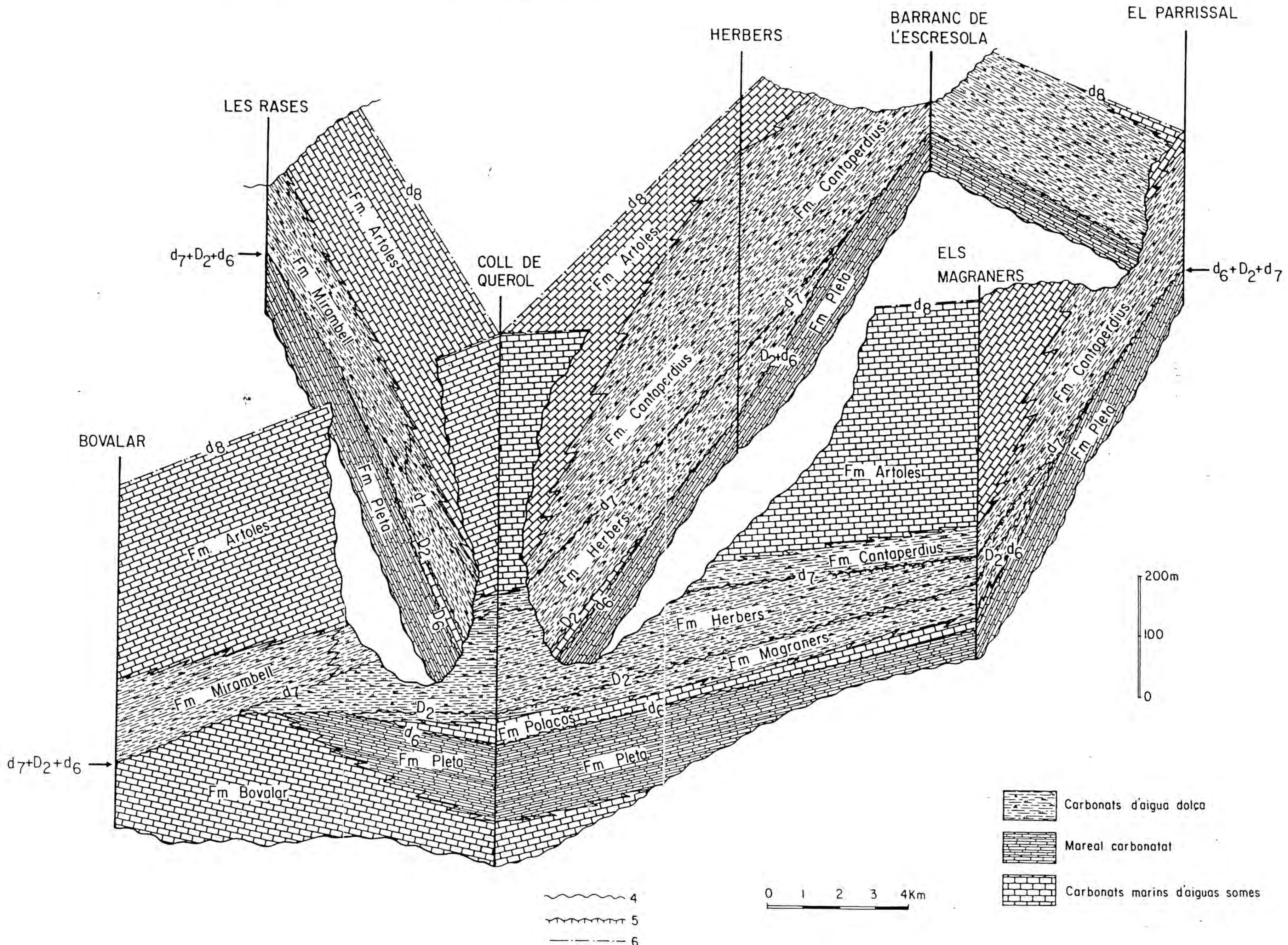


Fig. 3.17. Discordança dels dipòsits hauerivians sobre la formació portlandiana en la zona del Castellar (F. Gautier, 1981).

CONCA DEL MAESTRAT
INTERVAL PORTLANDIÀ-BARREMIÀ

Fig.3.18



N - S

357

El Molí

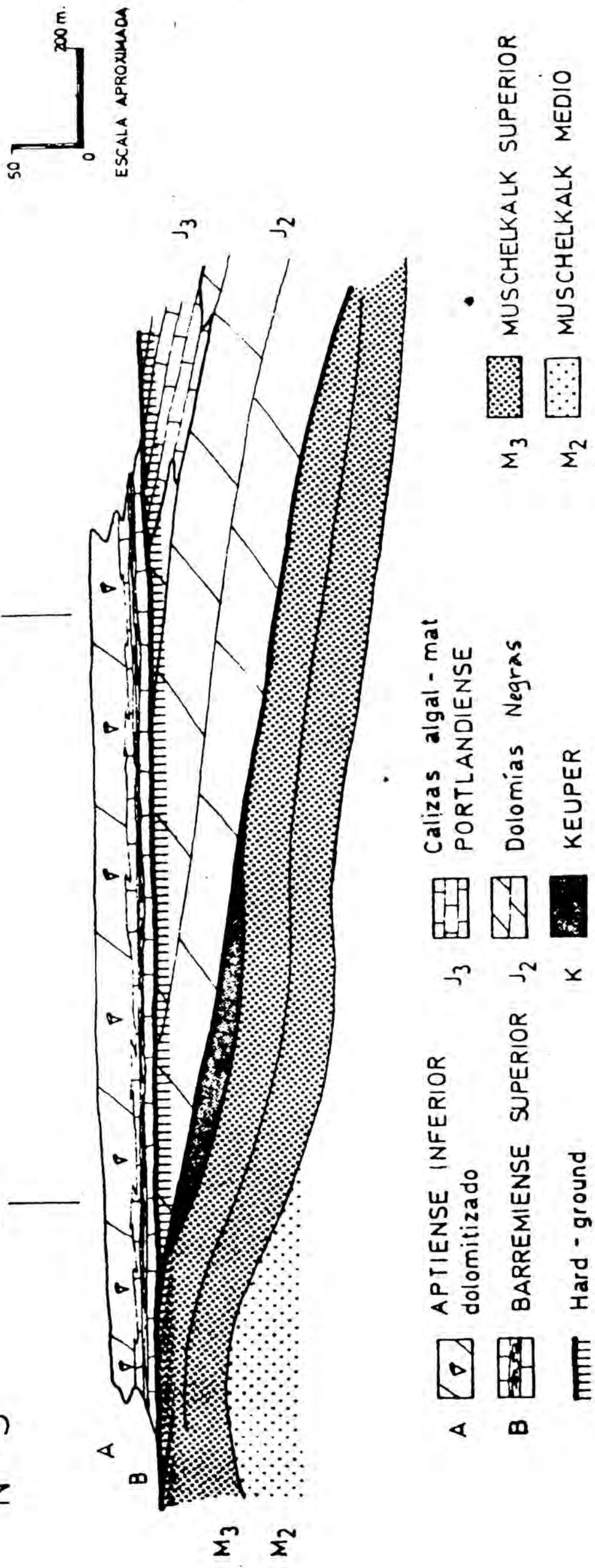


Fig. 3.19. Interpretació de la discordància entre el Triàsic i el Cretaci a Bonastre, d'Esteban, 1973.

<u>ÉTAGES</u>	<u>SOUS-ÉTAGES</u>	<u>ZONES</u>	<u>SOUS-ZONES</u>
TITHONIQUE	INF.	HYBONOTUM	
N		BECKERI	
E		EUDOXUS	
G		ACANTHICUM	
D		DIVISUM	
G		HYPSELOCYCLUM	Hippolitense Lothari
I		PLATYNOTA	Guilgerandense Desmoides "Orthosphinctes"
M	SUPÉRIEUR	PLANULA	Galar Planula
M		BIMAMMATUM	Hauffianum Bimammatum Hypselum
O	MOYEN	BIFURCATUS	Grossouvrei Stenocycloides
R		TRANSVERSARIUM	Schilli Warthae
O		ANTECEDENS	Buckmani Rotoides
X	INFÉRIEUR	PATURATENSIS	? Magnouatius ? Paturatensis
O	CORDATUM	CLAROMONTANUS	(Mazaricus) Claromontanus
M	MARIAE	(MARIAE)	

Fig. 3.20. Zones i subzones d'Ammonites del Juràssic Superior (A. Goy, 1985).

		BIOZONATION MESOGENEENNE sud - est de la france (Busnardo & Thieuloy 1976)	BIOZONATION BOREALE angleterre - allemagne (Rawson - Kemper)
SOUS-ETAGE			
	supérieur	<i>Ps. ANGULICOSTATA</i>	<i>S. DISCOFALCATUS</i>
		<i>Pt. LIGATUS</i>	<i>S. GOTTSCHEI</i>
		<i>S. SAYNI</i>	<i>S. STAFFI</i>
		<i>C. CRUASENSE</i> <i>L. NODOSPLICATUM</i>	<i>S. INVERSUS</i>
		<i>O. JEANNOTTI</i>	<i>E. REGALE</i>
		<i>Cr. LORYI</i>	<i>E. NORICUM</i>
		<i>Ac. RADIATUS</i>	<i>E. AMBLYGONIUM</i>
		<i>T. CALLIDISCUS</i>	<i>ASTIERIA FAUNEN</i>
		<i>H. TRINODOSUM</i>	<i>Di. PITREI</i>
		<i>S. VERRUCOSUM</i>	<i>D. BIDICHOTOMUS</i>
		<i>Th. CAMPYLOTOXUM</i>	<i>D. BISCISSOIDES</i>
		<i>Th. PERTRANSIENS</i>	<i>P. POLYTOMUS</i> <i>V. NUCLEUS</i> <i>N. FLEXICOSTA</i>
		<i>Th. OTOPETA</i>	<i>Po. CLARKEI</i>
			<i>Po. EUOMPHALUS</i>
			<i>Pl. INVOLUTUM</i>
			<i>Pl. HETEROPLEURUM</i>
			<i>Pl. ROBUSTUM</i>
			"WEALDEN"
HAUTERIVIEN			
VALANGINIEN			

Fig. 3.21. Biozonació d'Ammonits de l'Hauteriviana de la regió mediterrània.

EDAT m.a.
ERATEMA
SÈRIE
ESTATGE
SUBESTATGE
ZONES D'AMMONITS CASEY 1961
<i>Procheloniceras</i> sp.
<i>Australiceras</i> sp.
<i>Megatyloceras</i> sp.
<i>Deshayesites</i> sp.
<i>Pseudosagnella fimbriata</i>
<i>Pseudosagnella raresuecata</i>
<i>Deshayesites weissi</i>
<i>Deshayesites deshayesi</i>
<i>Deshayesites aff. grandis</i>
<i>Deshayesites involutus</i>
<i>Deshayesites aff. multicostatus</i>
<i>Pseudosagnella bicurniata</i>
<i>Tonohamites</i> sp.
<i>Toxoceratoide rogerianus</i>
<i>Deshayesites multicostatus</i>
<i>Deshayesites punfieldensis</i>
<i>Pseudosagnella ondulata</i>
<i>Cheloniceras (Ch) cornellianum</i>
<i>Macroscaphites strictus afra</i> .
<i>Cheloniceras (Ch) crassum</i>
<i>Parahoplites nutfieldiensis</i>
<i>Acanthoplites bergeroni</i>
<i>Dufrenoyia furcata</i>
<i>Dufrenoyia justinae</i>
<i>Drufenoyia dufrenoyi</i>
<i>Cheloniceras (Ep) martinoides</i>
<i>Pseudohaploceras matherium</i>
<i>Hypocanthoplites</i> sp.
<i>Hypocanthoplites milletianus</i>
<i>Douvilleiceras mammillatum</i>
<i>Hypocanthoplites milletioides</i>
<i>Sonneratia</i> sp. aff. <i>subglabia</i>
<i>Douvilleiceras monile</i>
<i>Platiknemiceras bassei</i>

LIAS

DOGGER

M A L M

Lower Cretaceous

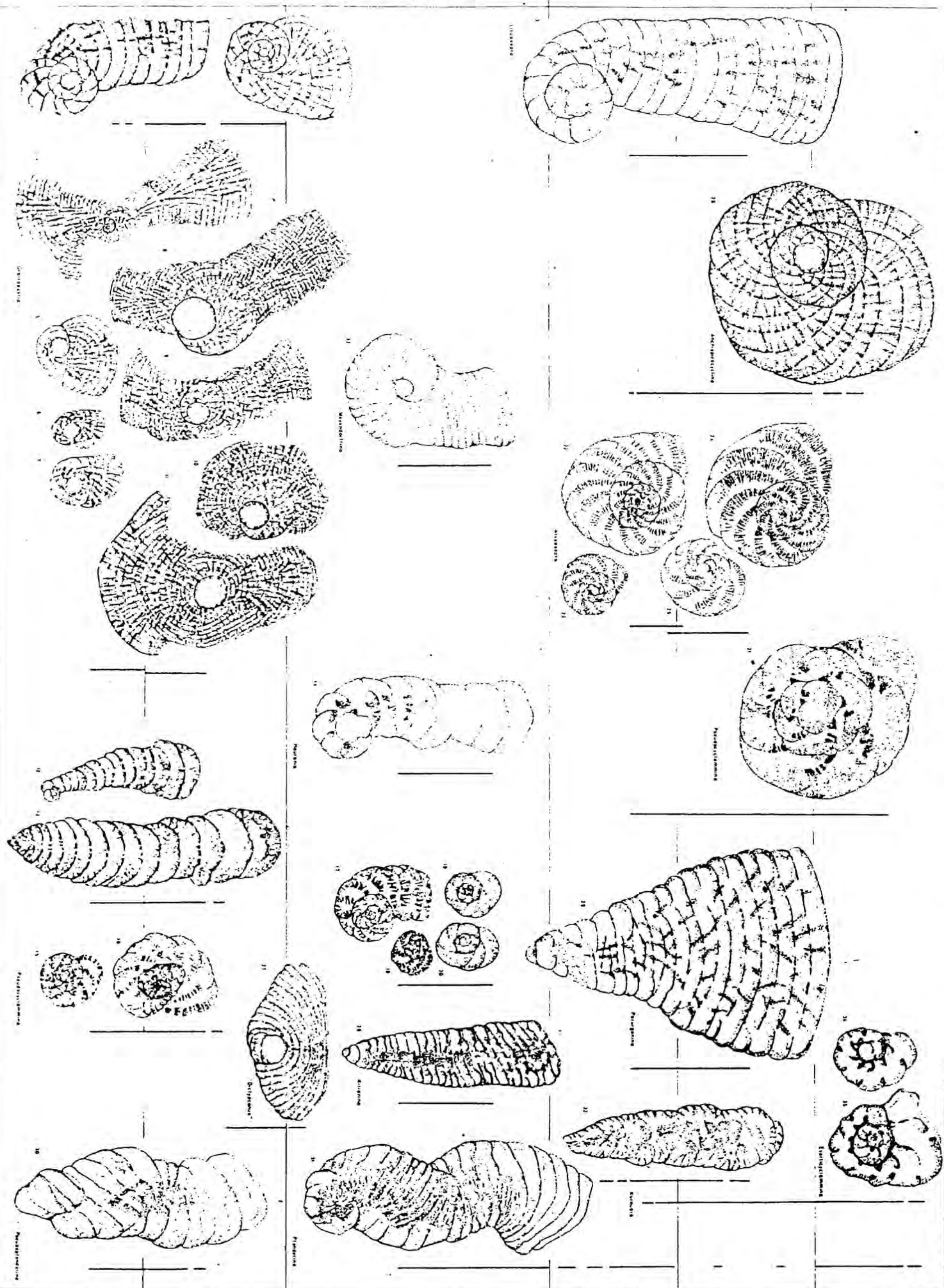


Fig. 3.23. Biozonació de foraminífers bentònics per a l'interval Lias - Cretaci Inferior, segons Hottinger, 1971.

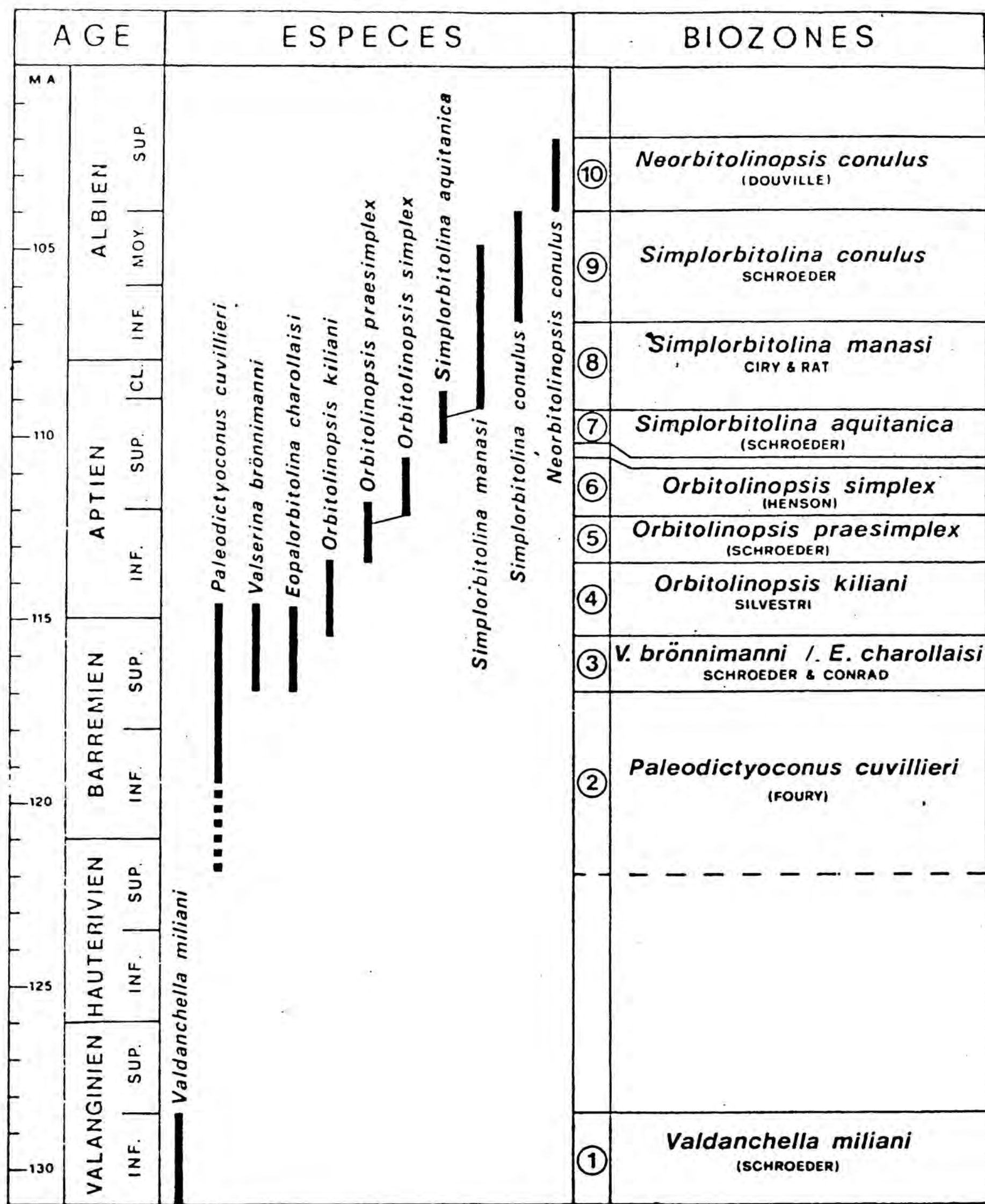


Fig. 3.24. Biozonació dels orbitolínids de l'interval Valanginià - Albien segons Schroeder, inèdit.

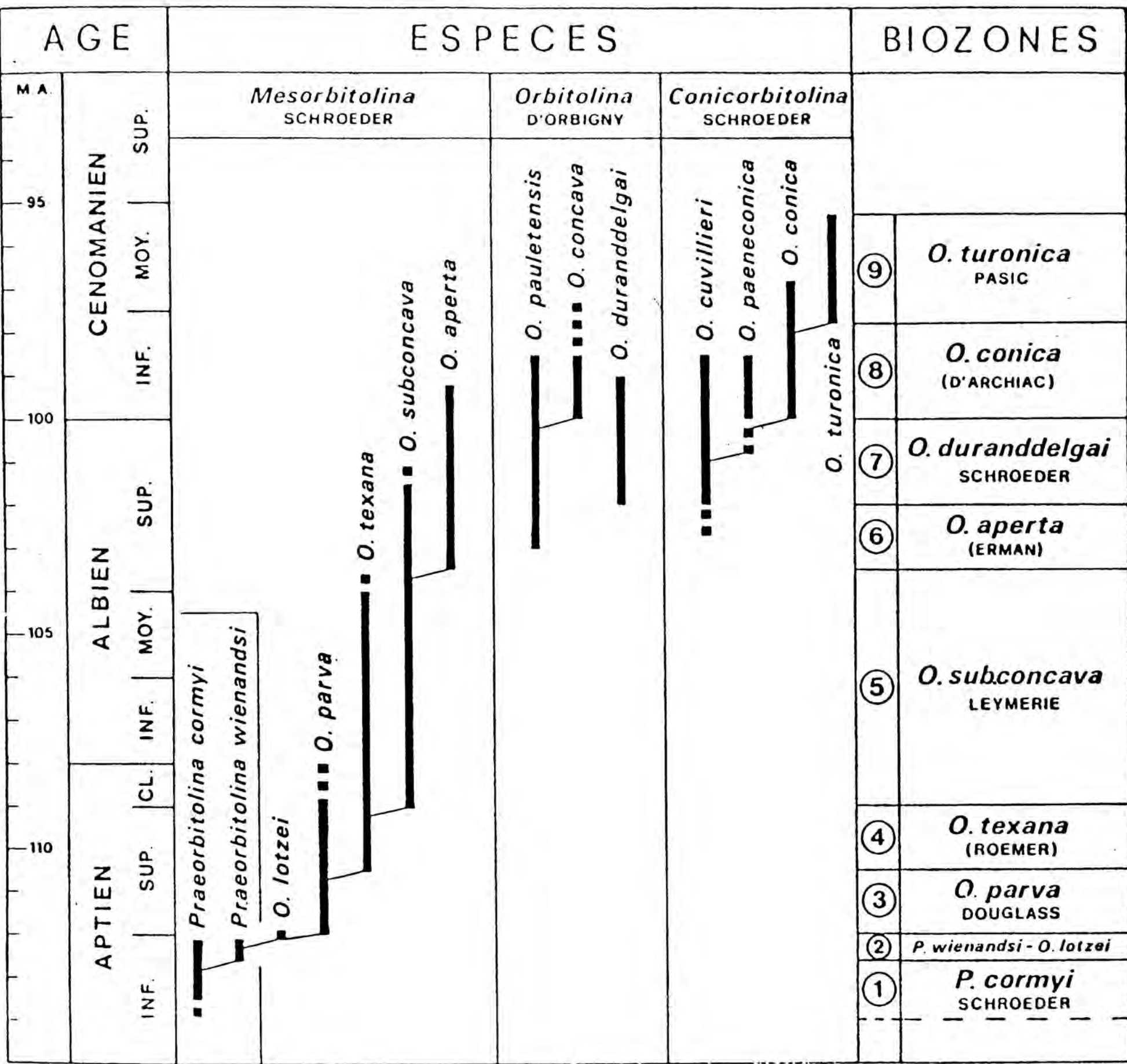


Fig. 3.25. Biozonació dels orbitolinids de l'interval Aptià - Cenomanià segons Schroeder, inèdit.

ETAGES		KIMM.	PORTL.	BERR.	VALANG.	HAUT.	BARR.	BEDOL.	GARGAS.	ALB. ss.	VRACON.
REPERES PALEONTOLOGIQUES (Foraminifères)											
	Catalanides Maestrazgo N. Castille										
	Orbit. gr. cuvillieri kiliani Torremirella hispanica Choff. decipiens										
CHLOROPHYCEES											
<i>Salpingoporella pigmea</i> (GÜMBEL) <i>Salpingoporella johnsoni</i> (DRAGASTAN) <i>Campbelliella striata</i> (CAROZZI) <i>Clypeina jurassica</i> FAVRE <i>Actinoporella podolica</i> (ALTH.) <i>Macroporella embergerii</i> BOUR. DELOFFRE <i>Acicularia elongata</i> CAROZZI <i>Salpingoporella annulata</i> CAROZZI <i>Kopetdagaria iailensis</i> MASLOV <i>Macroporella praturloni</i> DRAGASTAN <i>Likanella campanensis</i> AZ. JAFFREZO <i>Clypeina marteli</i> EMBERGER <i>Salpingoporella haterzi</i> CONRAD-RADOÍCÍC <i>Pseudoactinoporella fragilis</i> CONRAD <i>Dissociadella</i> gr. <i>hauteriviana</i> MASSE <i>Hensonella</i> cf. <i>urladianasi</i> (CONRAD et al.) <i>Salpingoporella militae</i> RADOÍCÍC <i>Salpingoporella müehlbergii</i> (LORENZ) <i>Acicularia elongata</i> CAROZZI <i>Cylindroporella sugdeni</i> ELLIOTT <i>Neomeris</i> cf. <i>cretacea</i> STEINMANN <i>Cylindroporella benizarensis</i> FOURC. AL.	*	*	*	*	*	*	*	*	*		
RHODOPHYCEES											
<i>Solenopora jurassica</i> NICH. <i>Perocalculus inopinatus</i> ELLIOTT. <i>Boueina hochstetteri</i> TOULA <i>Solenopora urgoniana</i> PFENDER <i>Agardhiellopsis cretacea</i> LEMOINE <i>Kymalithon belgicum</i> (FOSLIE)	*	*	*	*	*	*	*	*	*	*	
CYANOPHYCEES											
Nodules algaires	*	*	-								
INCERTAE SEDIS											
<i>Marinella luegeoni</i> PFENDER <i>Thaumatoporella parvovesiculifera</i> RAINERI <i>Lithocodium aggregatum</i> ELLIOTT <i>Cayeuxia</i> cf. <i>atanasini</i> DRAGASTAN <i>Cayeuxia kurdistanensis</i> ELLIOTT <i>Cayeuxia piae</i> FROLLO <i>Cayeuxia anaë</i> DRAGASTAN	*	*	-								

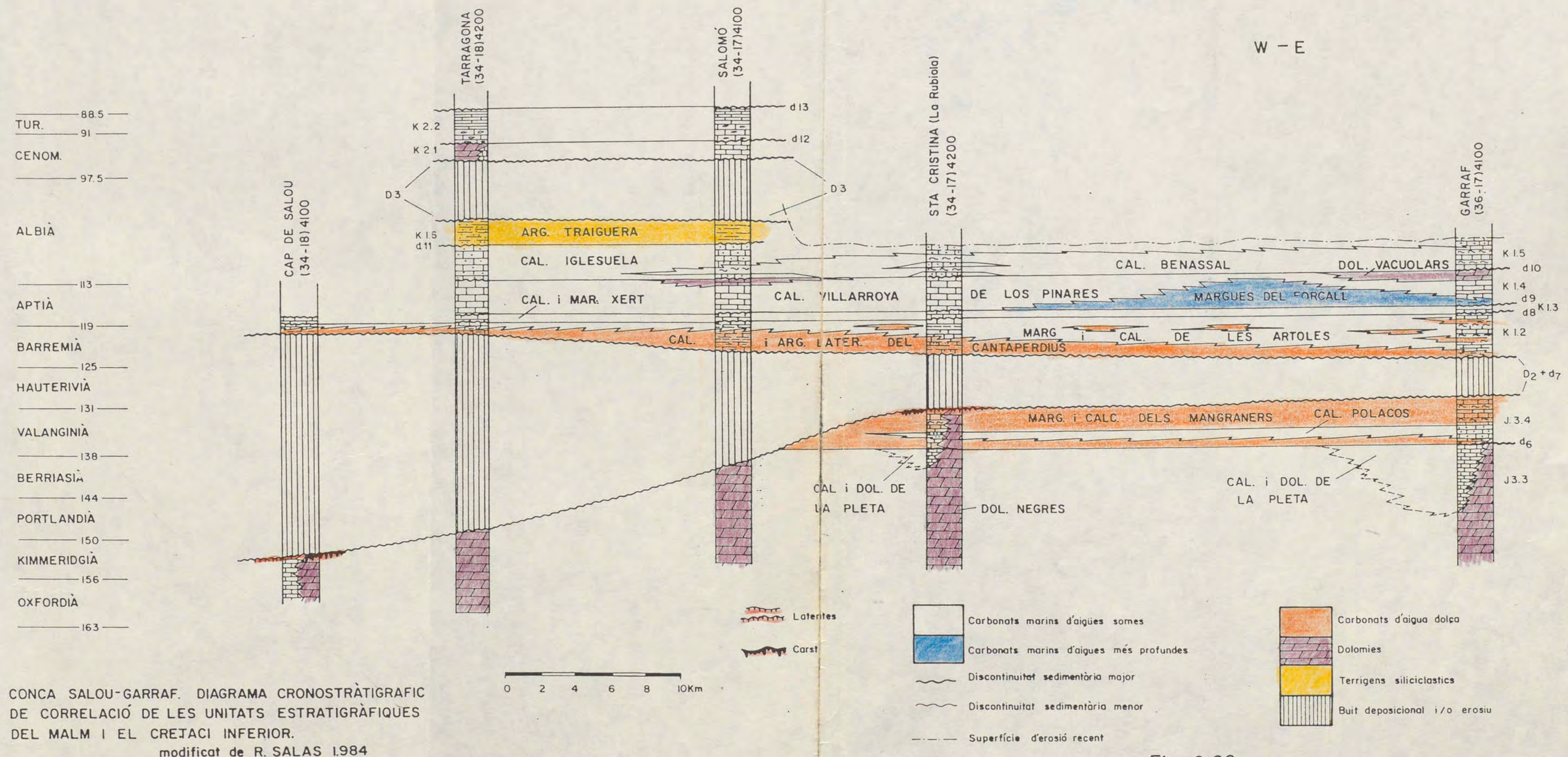
Fig. 3.26. Biozonació de les algues calcàries de la conca del Maestrat segons Canerot, 1979.

EDAD	MEDIOS MARINOS		NO MARINOS CHARACEAS
	FORAM. BENTICOS	ALGAS	
ALBIENSE INF.	<i>Simplorbitolina manasae</i>	<i>Kymalithon belgicum</i> <i>Agardhiellopsis cretacea</i>	
GARGASIENSE	<i>Mesorbitolina texana</i>		
	<i>Mesorbitolina parva</i>		
BEDOULIENSE	<i>Palorbitolina lenticularis</i>	<i>Ingrina simplex</i>	
		<i>Pravorbitolina gr. cormyi werneri</i>	
		<i>Rectodictyoconus giganteus</i>	
BARREMIENSE	<i>Palaeodictyoconus cuvilliensi-barremianus</i>		<i>Atopochara trivolvis trivolvis</i>
	<i>Torremeroella hispanica</i>		<i>Atopochara trivolvis triquetra</i> <i>Globator trichiliscoides</i>
	<i>Paracoshinolina querolensis</i>	<i>Cylindroporella sugdeni</i> <i>Cylindroporella benizarensis</i>	<i>Perimnestes ancora</i> <i>Globator trochiliscoides var.</i>
VALANGINIENSE	<i>Valdanchella miliani</i>	<i>Salpingoporella ct. urladensis</i> <i>Dissoclarella ct. hauteriviana</i>	<i>Perimnestes micrandra</i> <i>Globator incrassatus</i>
	<i>Feurillia frequens</i>		<i>Perimnestes horrida</i> <i>Globator maillardii</i>
PORLANDIENSE	<i>Anchispirocyclina lusitanica</i>	<i>Clypeina jurassica</i>	

Fig. 3.27. Les unitats biocronoestratigràfiques (biozones) definides al Cretaci Inferior mari i no mari de la Conca del Maestrat (Canerot et al 1982).

	Echelle chronostratigr.	Localités représen- tatives	Lignée <u>Perimnestes-</u> <u>Atopochara</u>	Lignée <u>Globator</u>	Lignée <u>Flabellochara</u> - <u>Clypeator</u>	Lignée <u>Nodosoclava-</u> <u>tor-Pseudoglobator</u>	Espèces ne formant pas de lignée
Biozone							
	N	"supérieur"	Atopochara trivolvis subsp. <u>triquetra</u> (avancée)	Globator trochilisoides	(Clypeator reyi) Flabellochara <u>harrisii</u>	(Pseudoglobator fourcaei)	Embergerella cruciata
	E	"inférieur"	Atopochara trivolvis subsp. <u>triquetra</u> (typique)		Pseudoglobator <u>posticecaptus</u> (avancée)	Embergerella <u>triquetra</u>	
	D		Atopochara trivolvis subsp. <u>triquetra</u> (typique)		Clypeator <u>combei</u>	Embergerella <u>stellata</u>	
	C		Atopochara trivolvis subsp. <u>triquetra</u> (primitive)		Flabellochara <u>harrisii</u>	Embergerella <u>stellata</u>	
	B	"HAUTERIVIEN"	"basal"	Globator trochilisoides	Perimnestes ancora (primitive)	Embergerella <u>stellata</u>	
	A	"VALANGINIEN"	Perimnestes micrandra (Clypeator combei)		Perimnestes ancora (primitive)	Embergerella <u>stellata</u>	
		BERRIASIEN	Globator nurrensis Globator incrassatus		Perimnestes micrandra (Clypeator gautieri)	Embergerella <u>stellata</u>	
					Globator nurrensis Globator incrassatus	Nodosoclavator <u>bradleyi</u>	

Fig. 3.28. Biozonació de les àlges carofícies de la conca del Maestrat (Martí Closas i Salas, 1987).



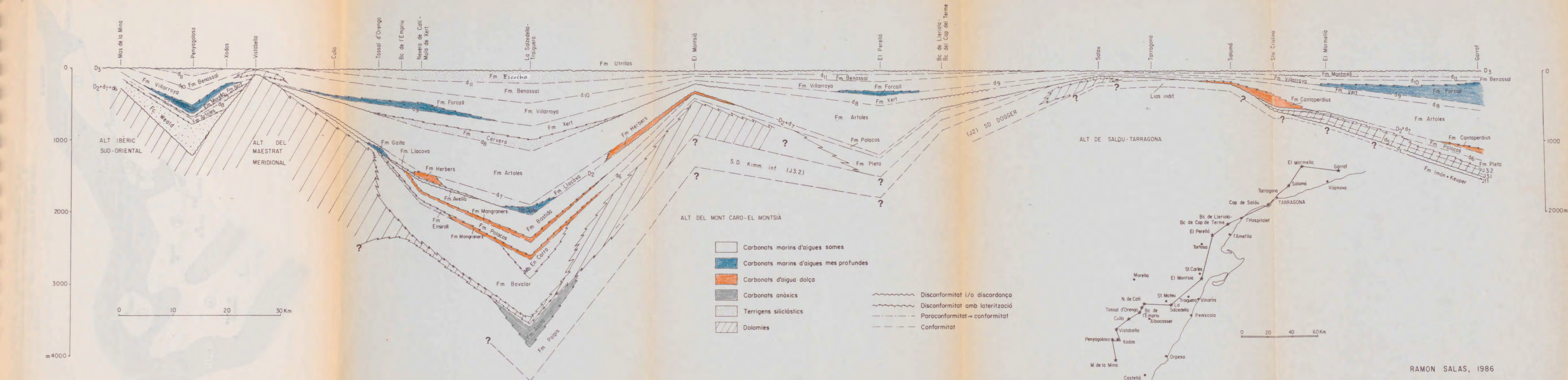
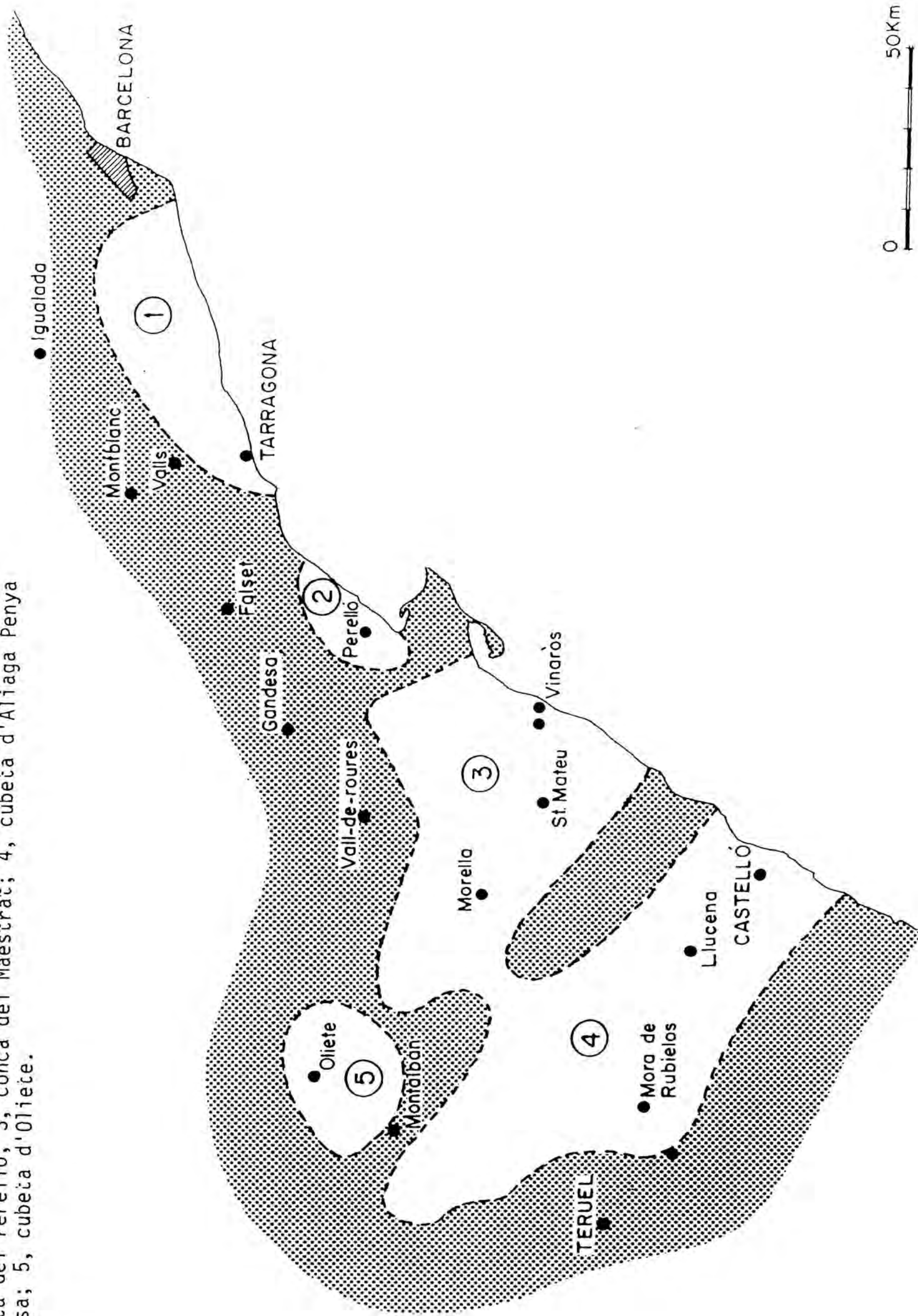


Fig. 3.30. CORRELACIÓ DE LES UNITATS ESTRATIGRAFIQUES

RAMON SALAS, 1986

Fig. 3.31. Distribució de les àrees de sedimentació durant la major part del Malm i del Cretaci Inferior. 1, Conca de Salou Garraf; 2, cubera del Perelló; 3, conca del Maestrat; 4, cubera d'Aliaga Penya golosa; 5, cubera d'Oliete.



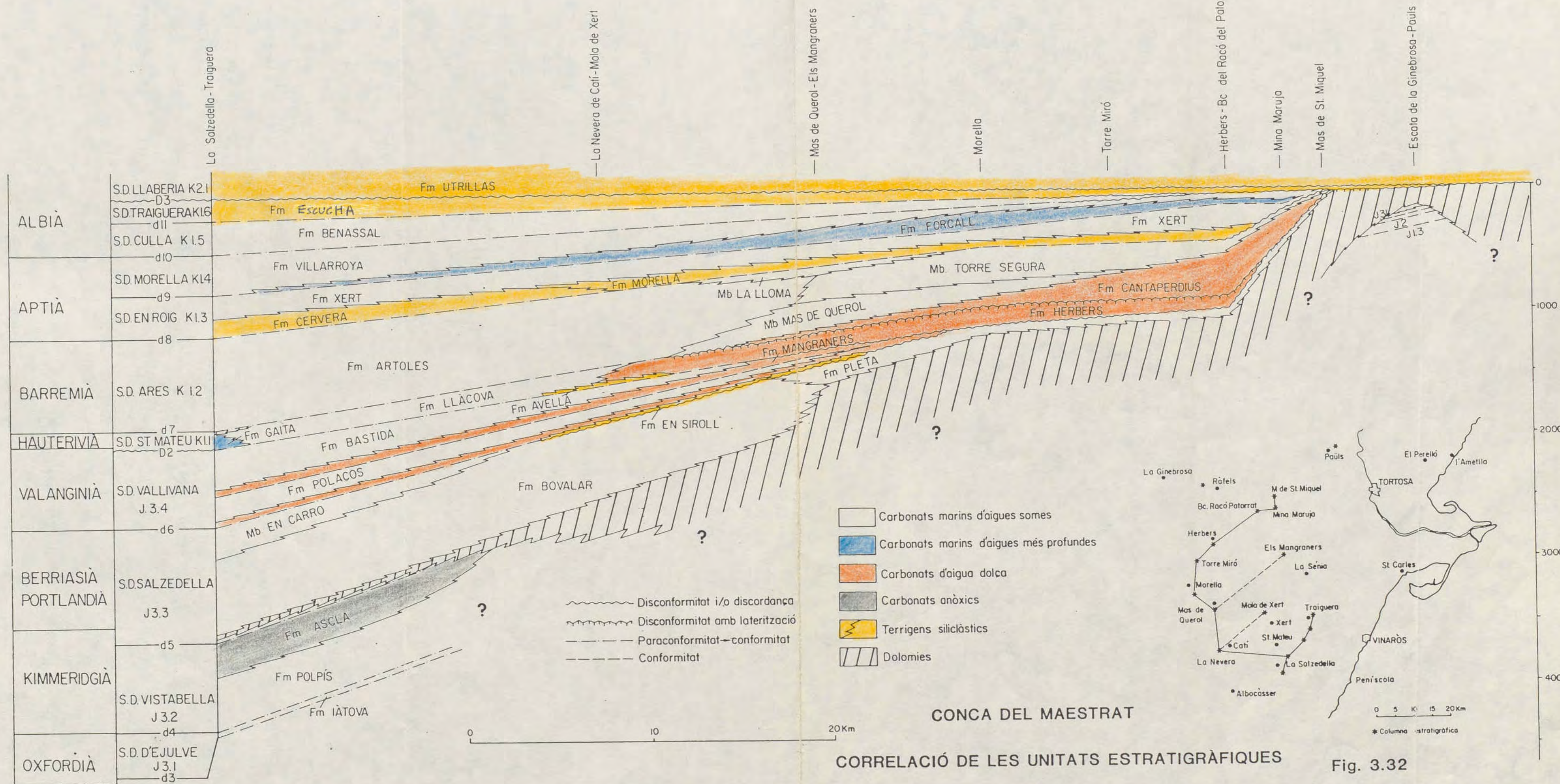


Fig. 3.32

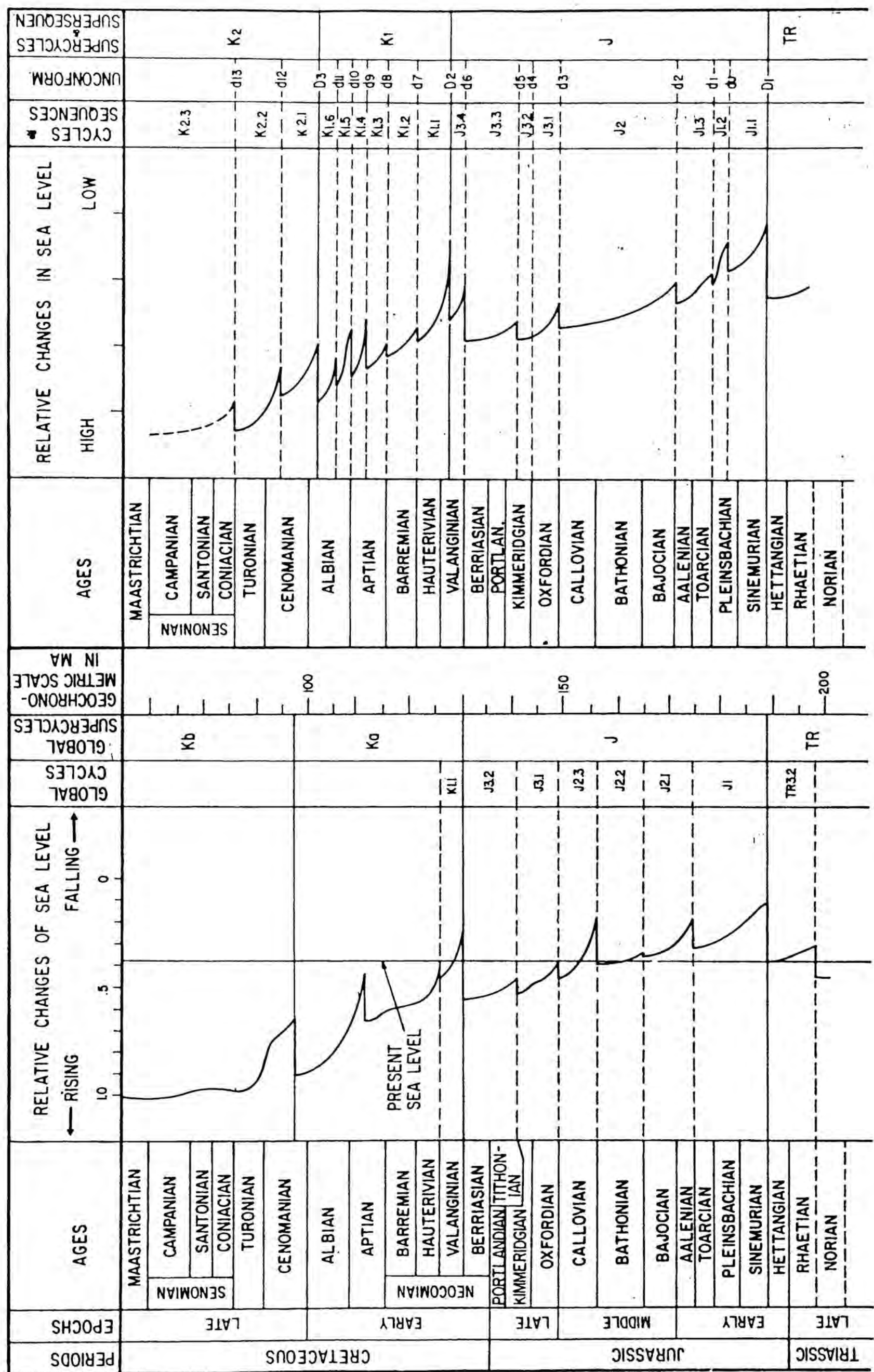


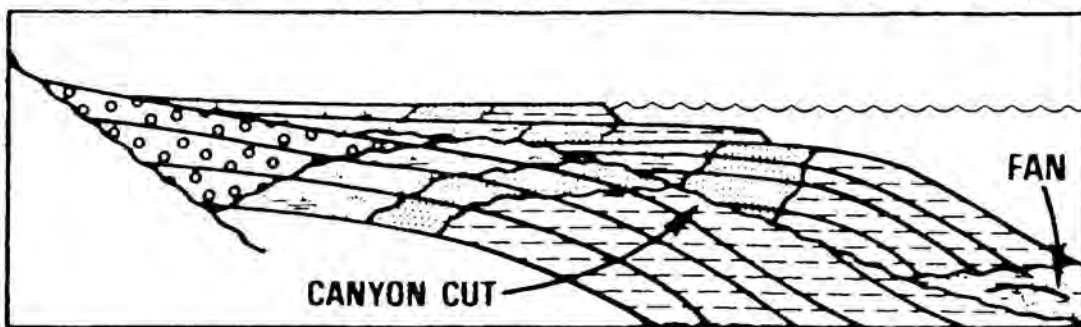
Fig. 3.33. Corba local de canvis relatius del nivell del mar; modificada de Salas, 1985. A l'esquerra corba global de Vail et al., 1977.

UNCONFORMITY TYPES

SUBAERIAL - SUBMARINE

(TYPE 1)

(A)



EUSTATIC SEA LEVEL

HIGH

LOW



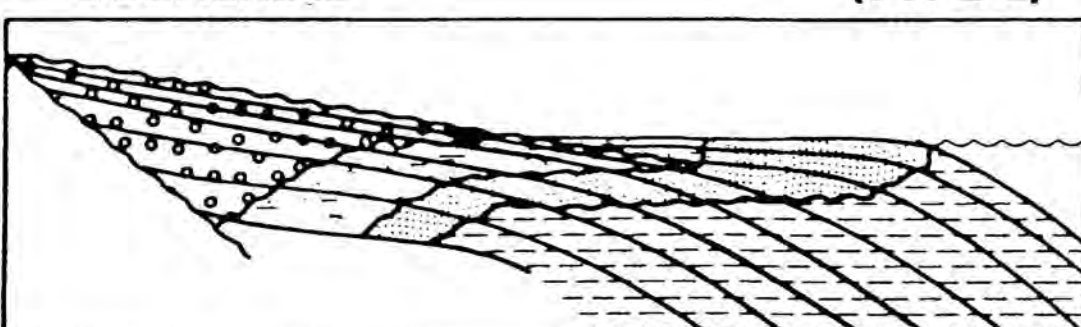
RAPID FALL

GREATER THAN RATE OF
SUBSIDENCE AT SHELF EDGE

(B)

SUBAERIAL

(TYPE 2)

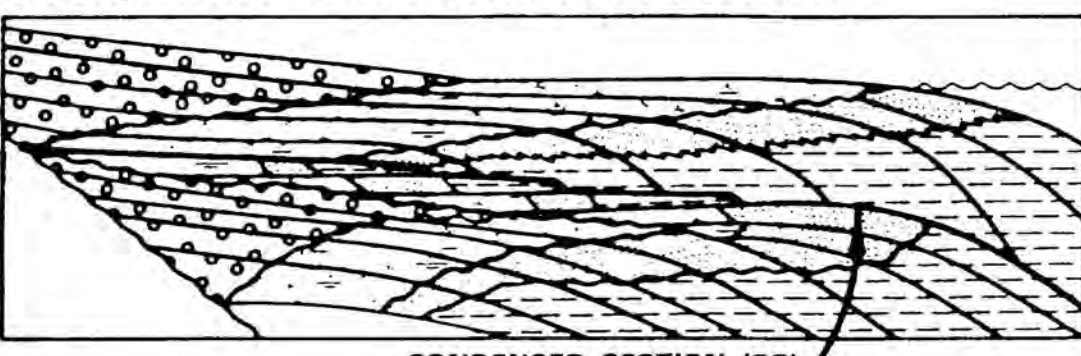


SLOW FALL

LESS THAN RATE OF SUBSIDENCE
AT SHELF EDGE

(C)

SUBMARINE CONDENSED SECTIONS



RAPID RISE
FOLLOWED BY STILLSTAND
AND SLOW FALL

ALLUVIAL PLAIN

NEARSHORE

COASTAL PLAIN

FINE-GRAINED MARINE

Fig. 3.34. Diagrames que mostren la relació entre les discontinuïtats de tipus 1 i 2 i les seccions submarines condensades als canvis eustàtics del nivell del mar (Vail et al., 1984).

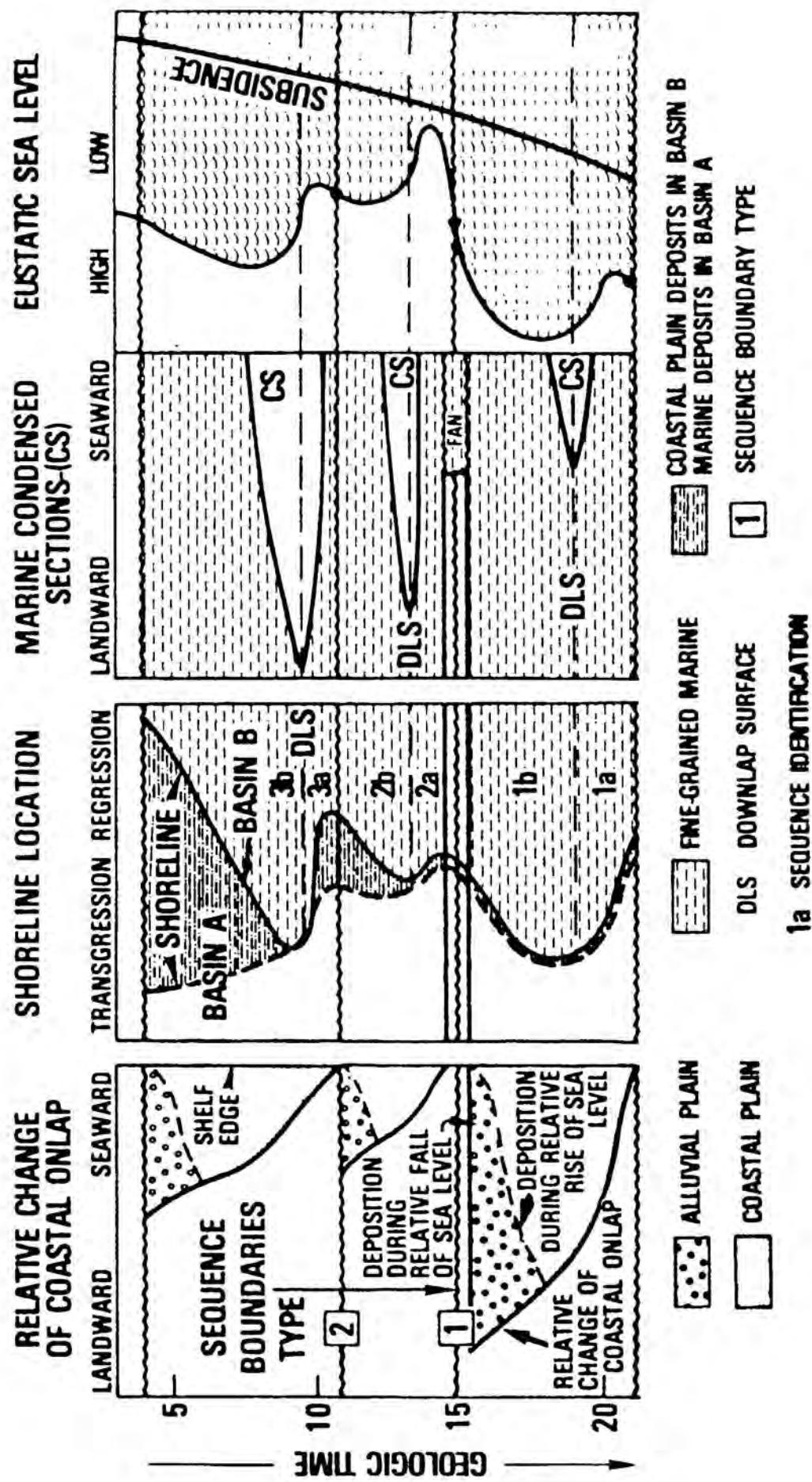


Fig. 3.35. Diagrammes esquemàtics que mostren les relacions entre els tipus de límit de seqüència, canvis relativs de nivell costaner, canvis relativs del nivell del mar, transgressió-regressió i seccions marines condensades a ls canvis eustàtics del mar i subsidència (Veil et al., 1984).

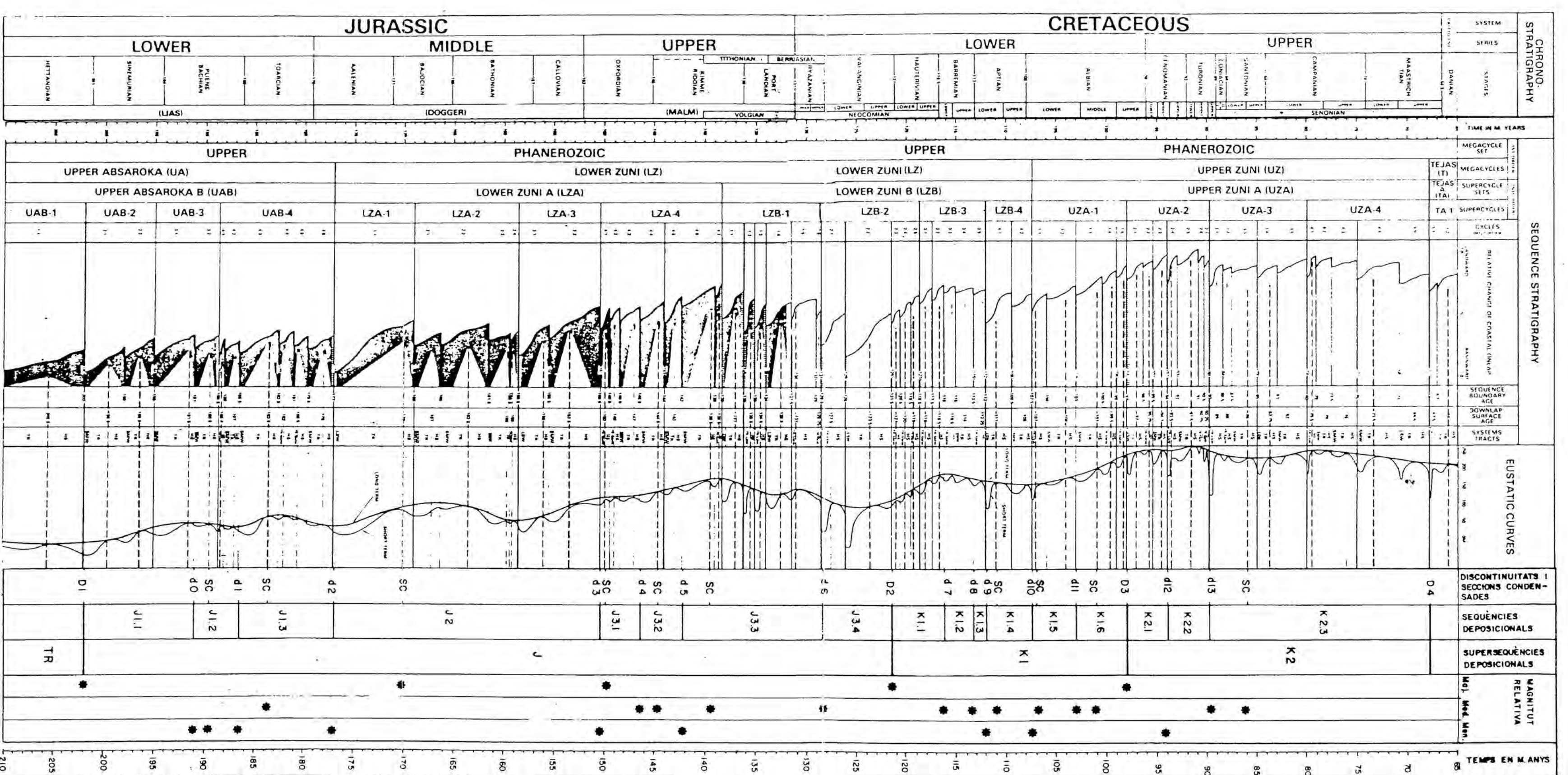


Fig. 3.36. Correlació de les discontinuitats, condensades i seqüències deposicionals de l'àrea estudiada durant el Juràssic-Cretaci amb les seqüències estratigràfiques finals i corbes eustàtiques globals (de Haq et al. 1987).

**4. ANÀLISI DE FÀCIES I AMBIENTS
DE SEDIMENTACIÓ**

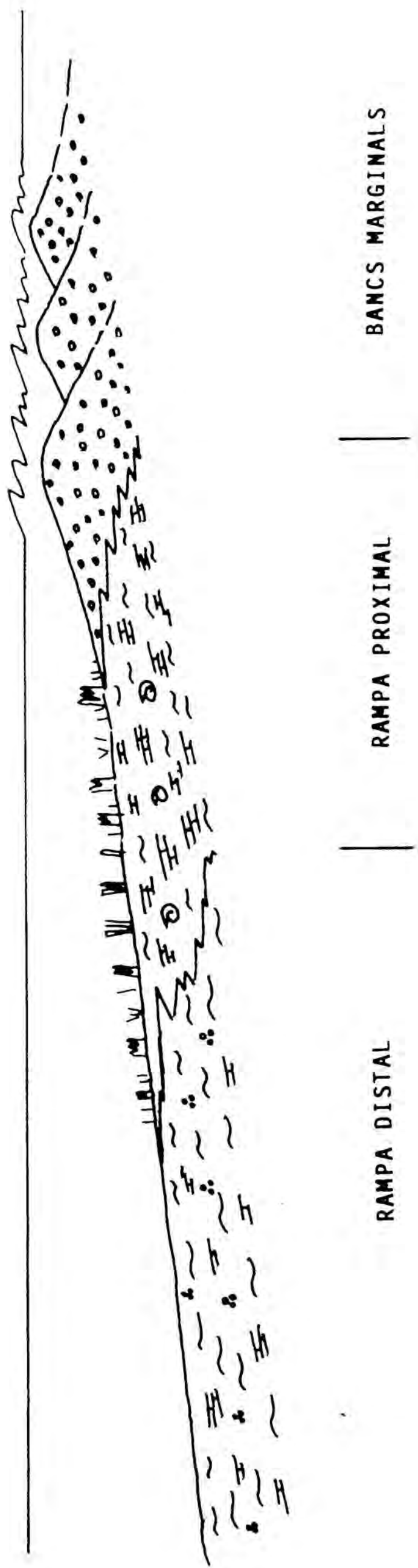


Fig. 4.1. Model deposicional de la seqüència deposicional oxfordiana J3.1. Rampa homoclinal.

S.D. OXFORDIENSE-KIMMERIDGIENSE MEDIO (J.3.1)

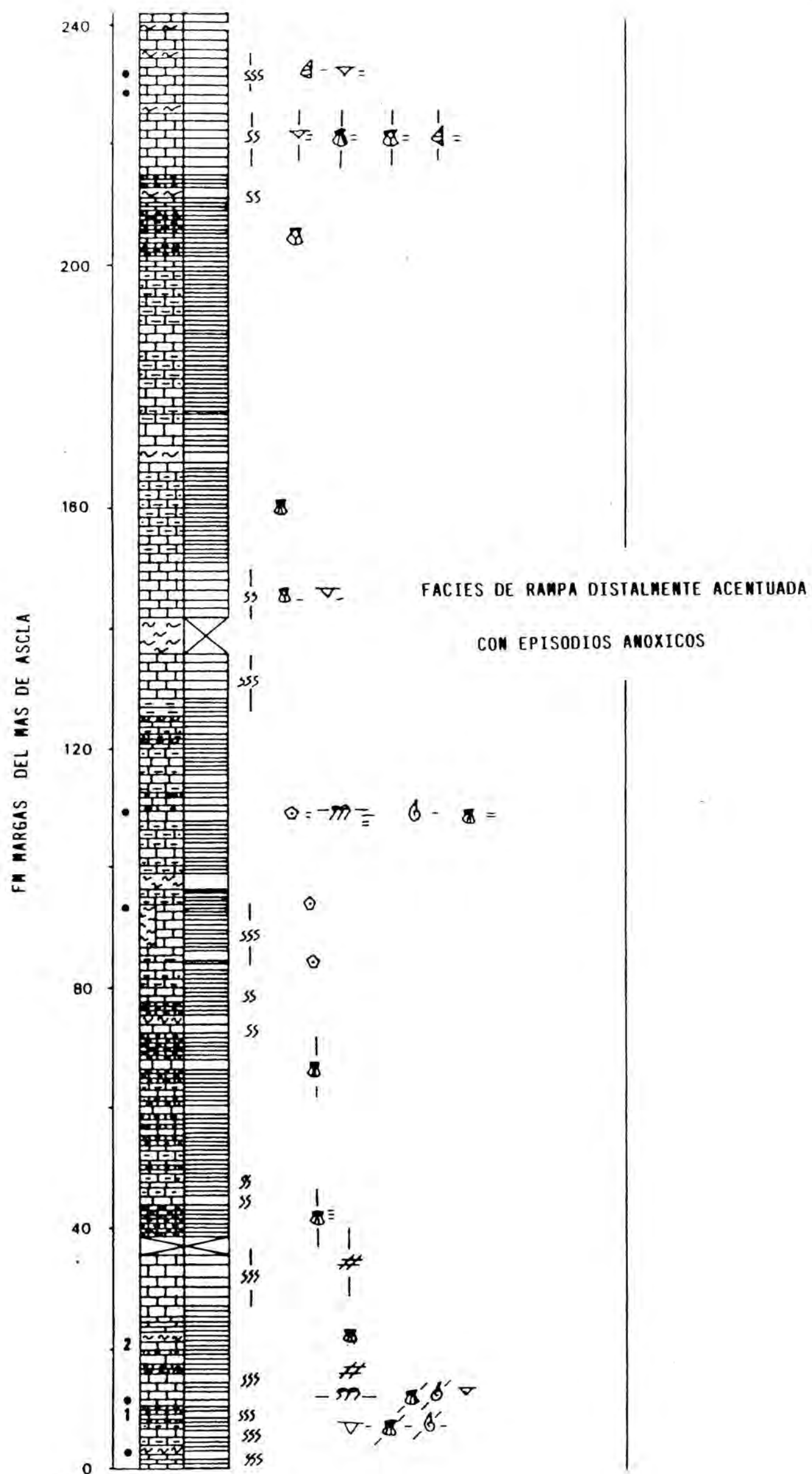


Fig. 4.2. Columna estratigràfica del Barranc de la Font de Seguer (Salzedella). S.D. Oxfordià-Kimmeridgià mig.

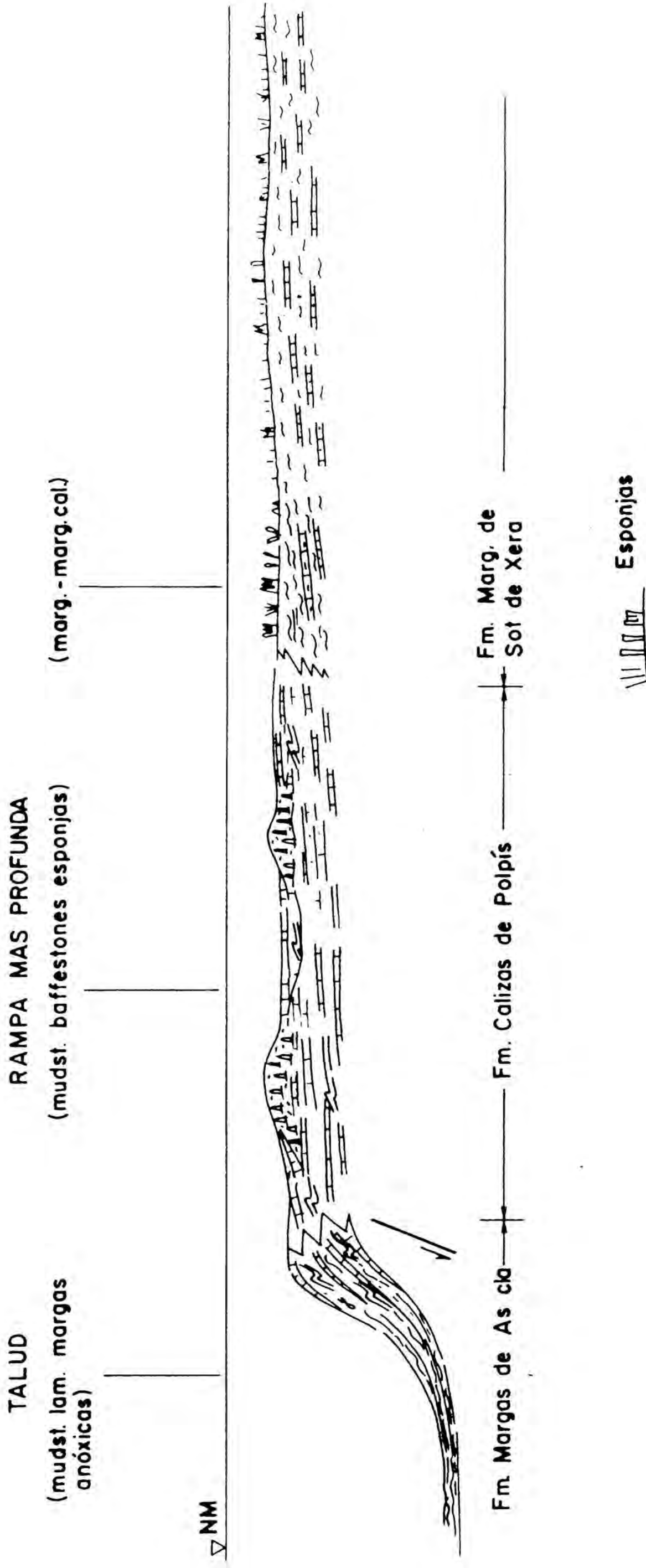


Fig. 4.3. Model deposicional de la seqüència deposicional del kimmeridgià. Plataforma de tipus rampa distalment accentuada (distantly steeped ramp).

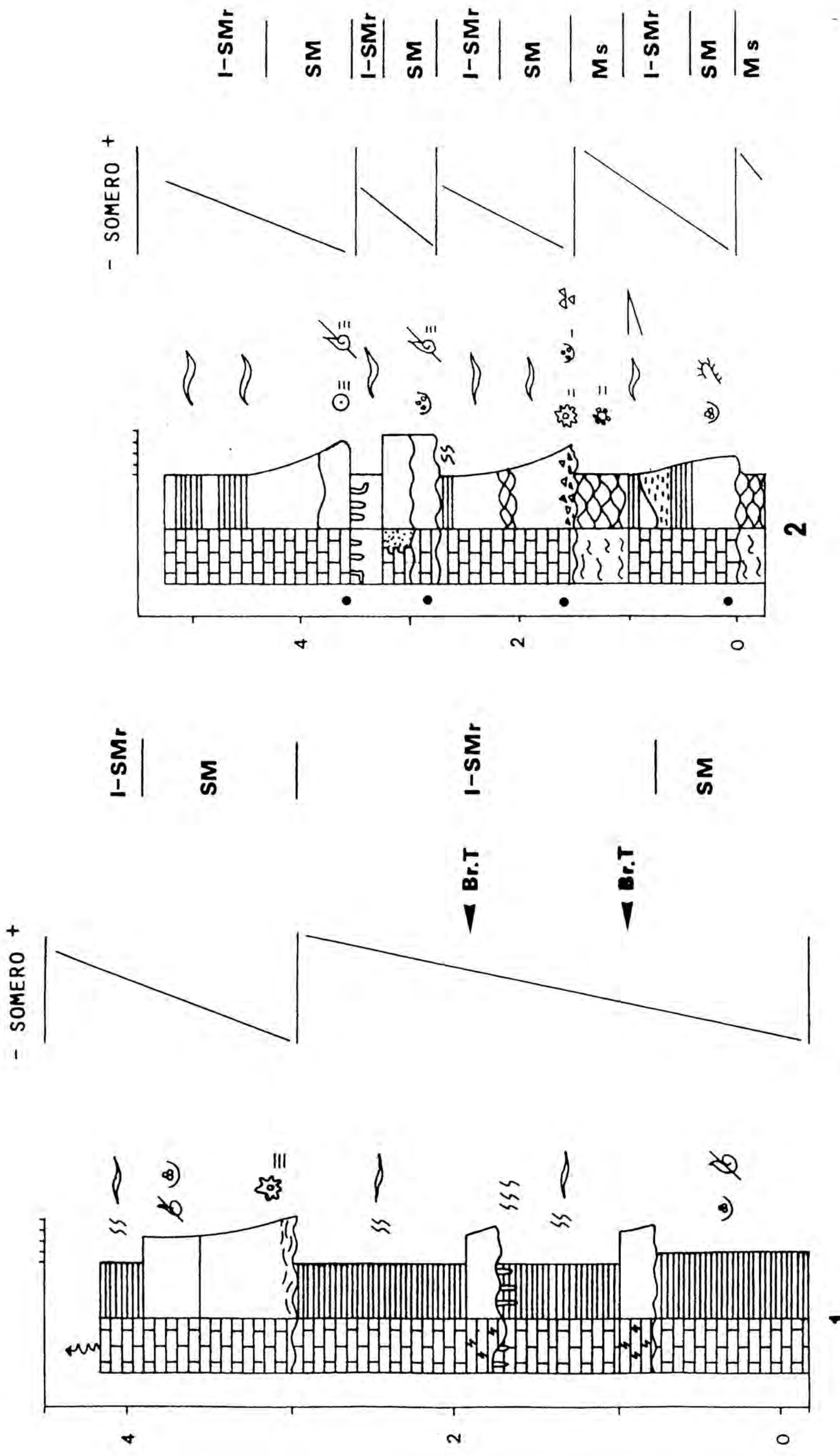


Fig. 4.4. Coll de Querol, carretera N-232, km 50. Seqüències de somerització, cap a sostre, de plana mareal (muddy). Fm. Calcàries laminades i dolomites de la Pleta. S.D. kimmeridgià superior - berriasià. SM, submareal; I, intermareal; SM_r, maresmes; M_s, supramareal; BrT, bretxes de tormenta.

S.D. KIMMERIDGIENSE SUPERIOR-BERRIASIENSE (J.3.2)

FACILIZAS DE BOVALAR

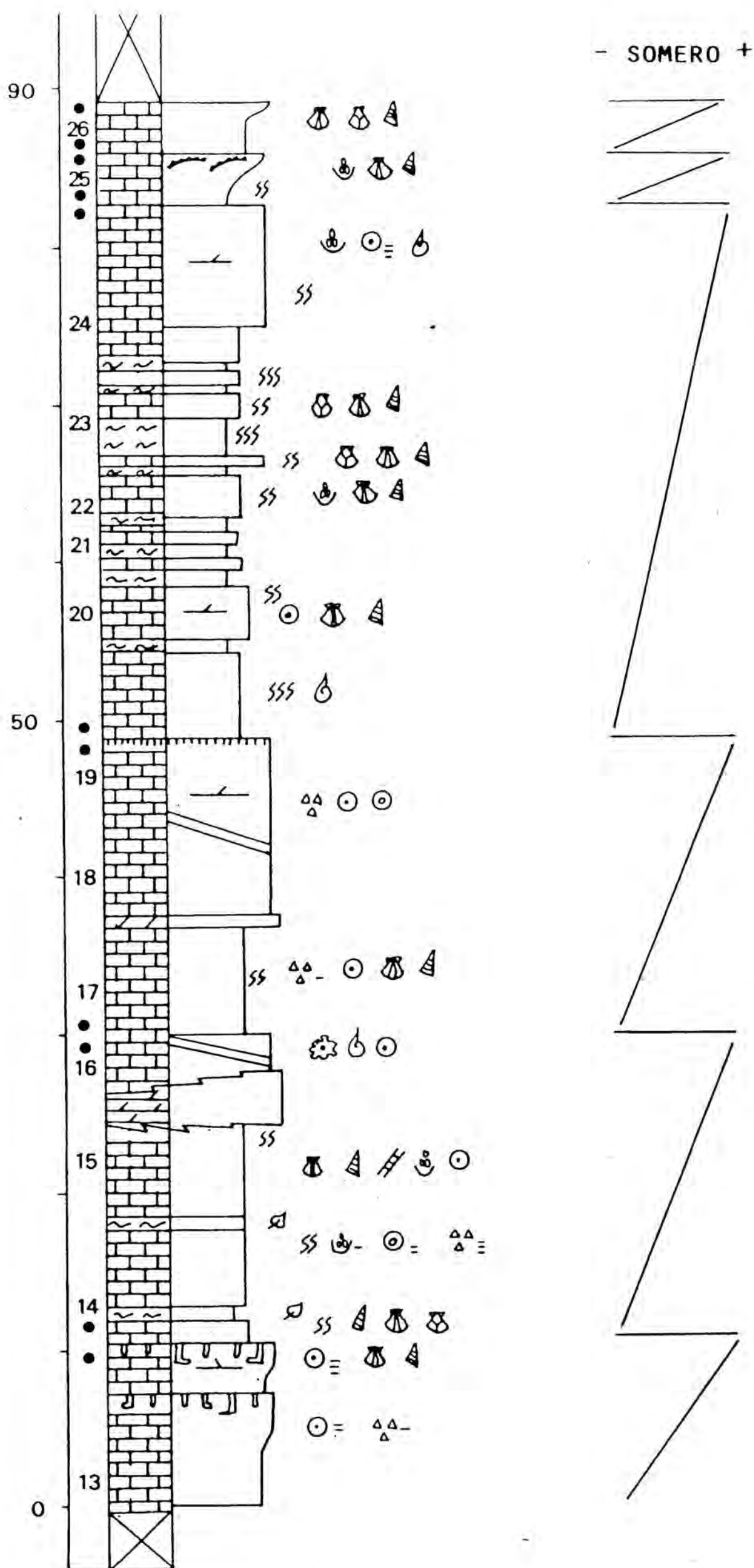


Fig. 4.5. Columna estratigràfica de l'anticlinal de Bovílar.

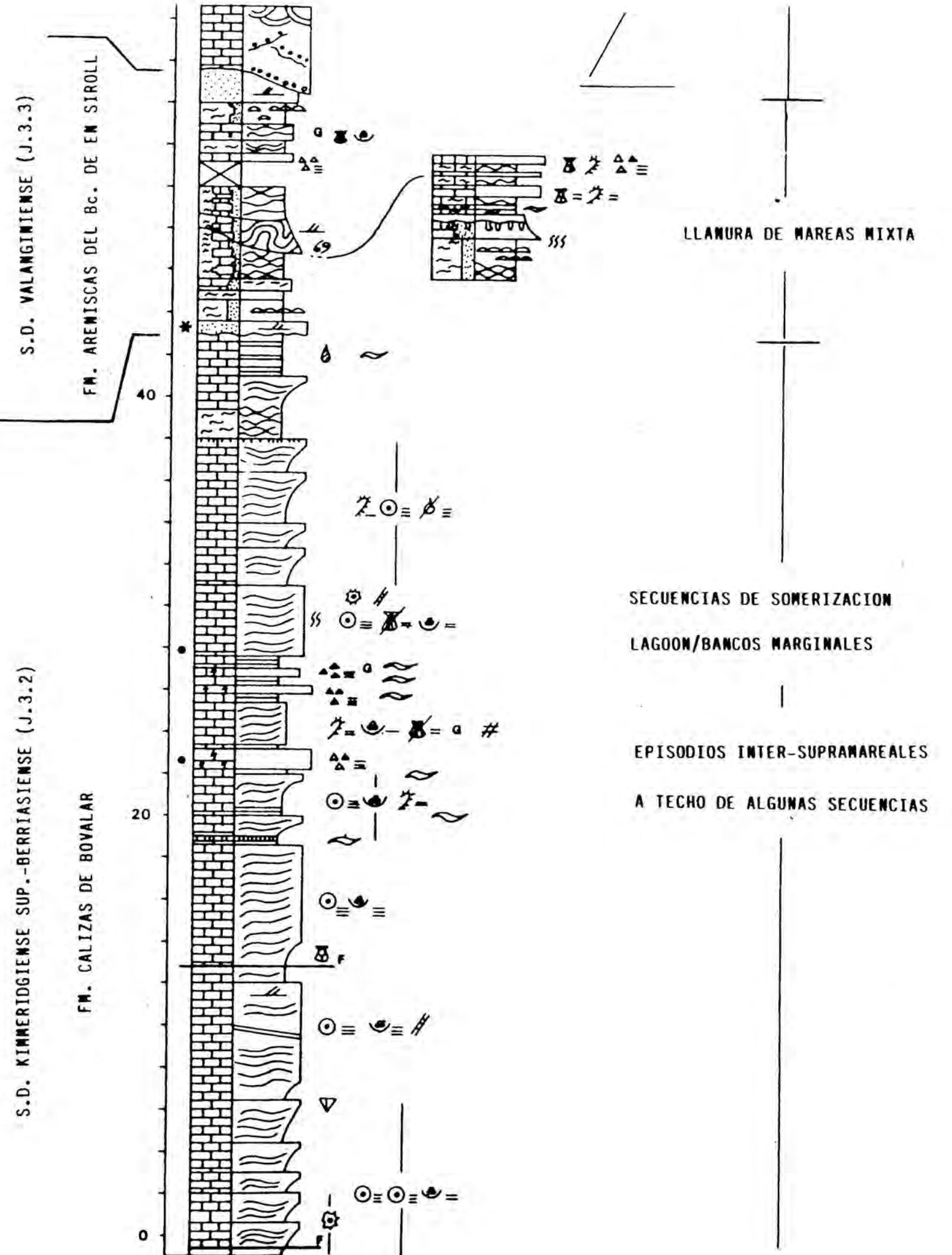


Fig. 4.6. Carretera de l'Avelles. Columna estratigràfica de la S.D. kimmeridgiana superior-berriasià i tram basal de la S.D. Valanginiana (Fm Gresos d'En Siroll).

BARRERA (OOLITICO-PELLET.)
DE SHOALS

PLAT. ABIERTA (Rock-wack. bioclastics)

LAGOON (wack.-mudst.)

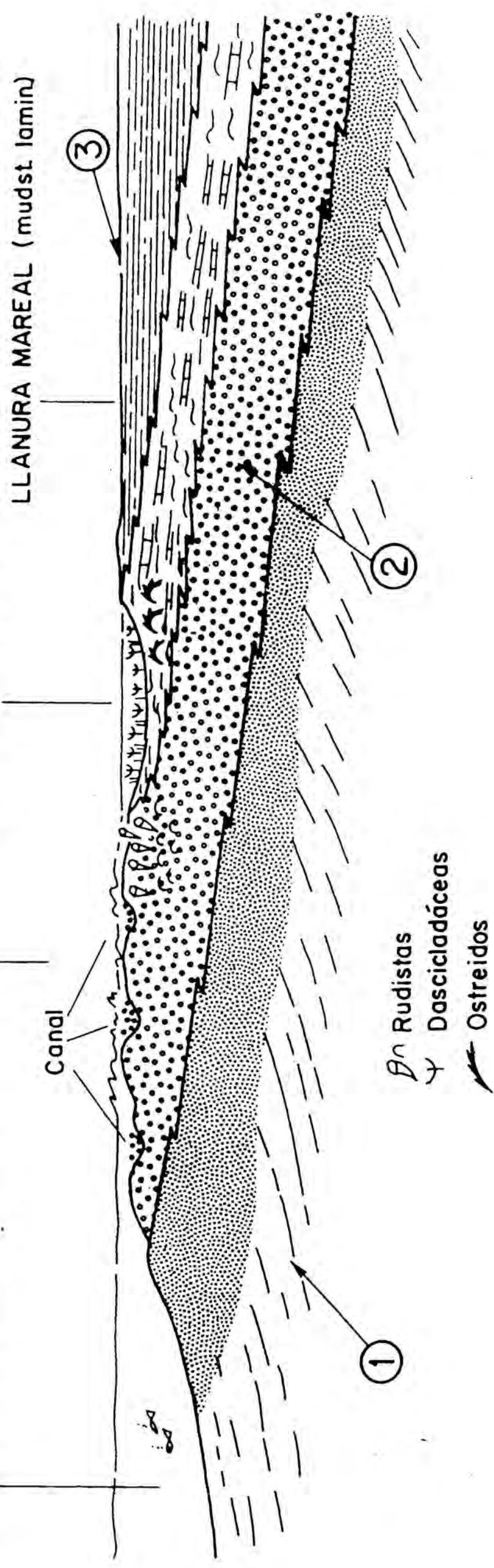


Fig. 4.7. Model deposicional de la S.D. kimmeridgiana superior-berriana. 1, calcàries de Calpionella i tintinids, fàcies de plataforma oberta; 2, calcàries bioclastiques de la Fm Calpionella amb les fàcies associades de lagoon i esplanada de marea; 3, calcàries laminades dolomititzades de la Fm. Calcàries i dolomites laminades de La Pleta.

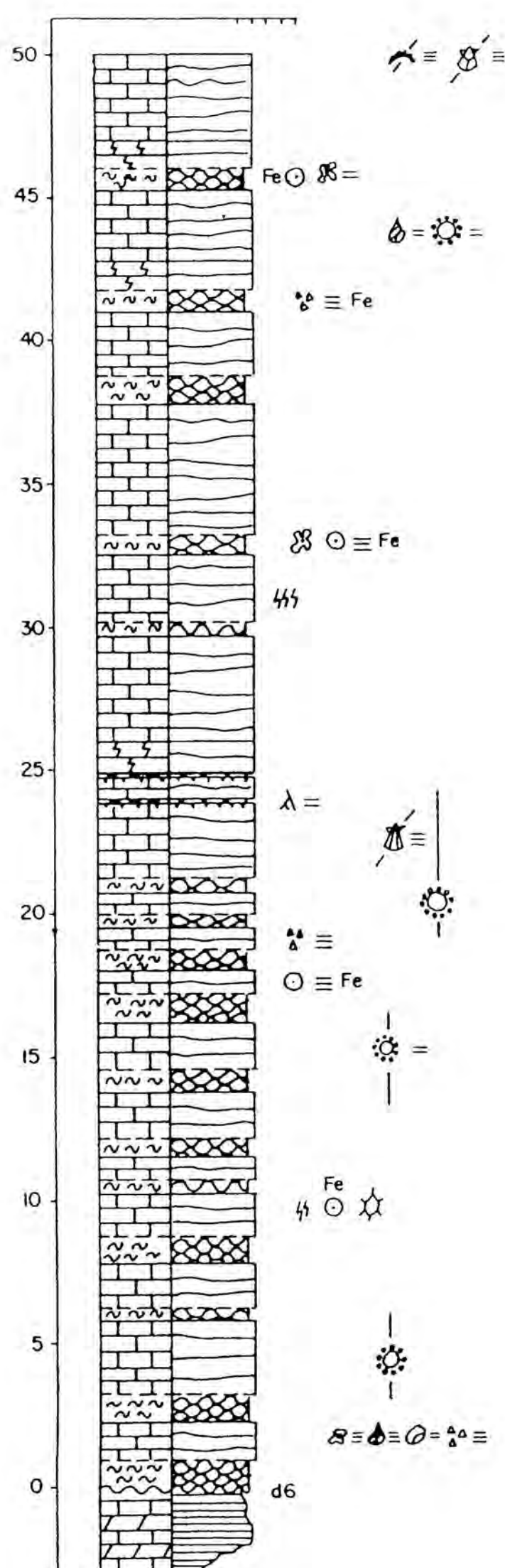


Fig. 4.7a. La Fm. dels Mangraners (seqüència deposicional valanginiana al camí de la Pleta, Massís de Garraf).

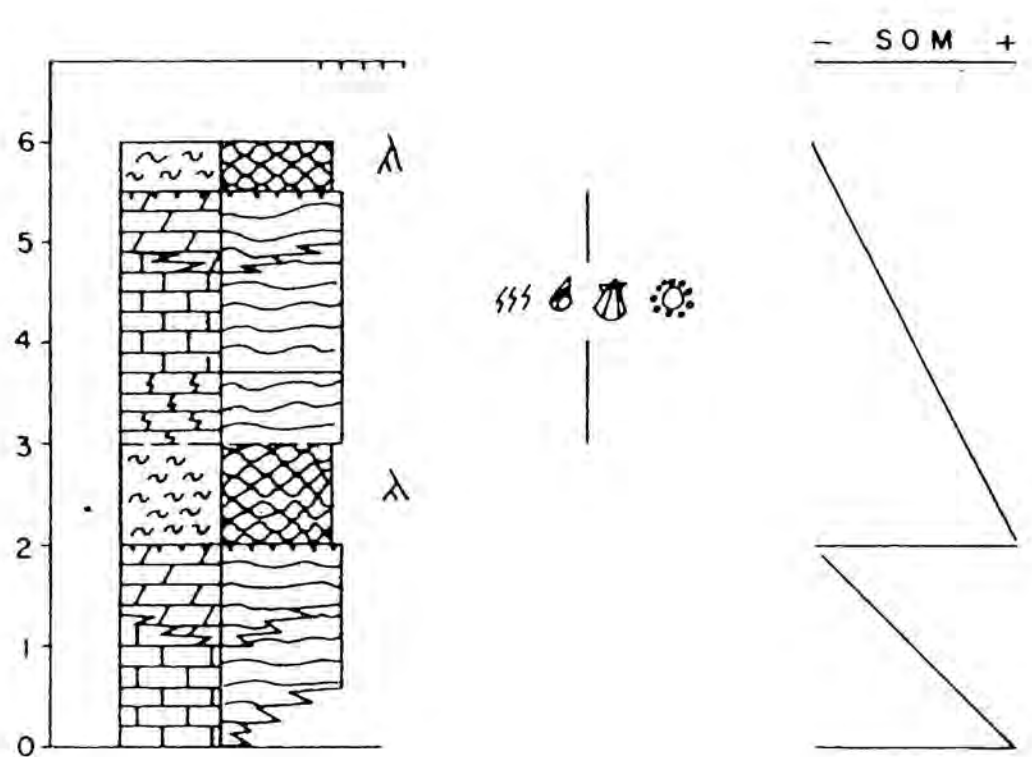


Fig. 4.8. Seqüències de somerització lacustres/palustres de la Fm. dels Mangraners (seqüència deposicional valanginiana) al camí de la Pleta, Massís de Garraf.

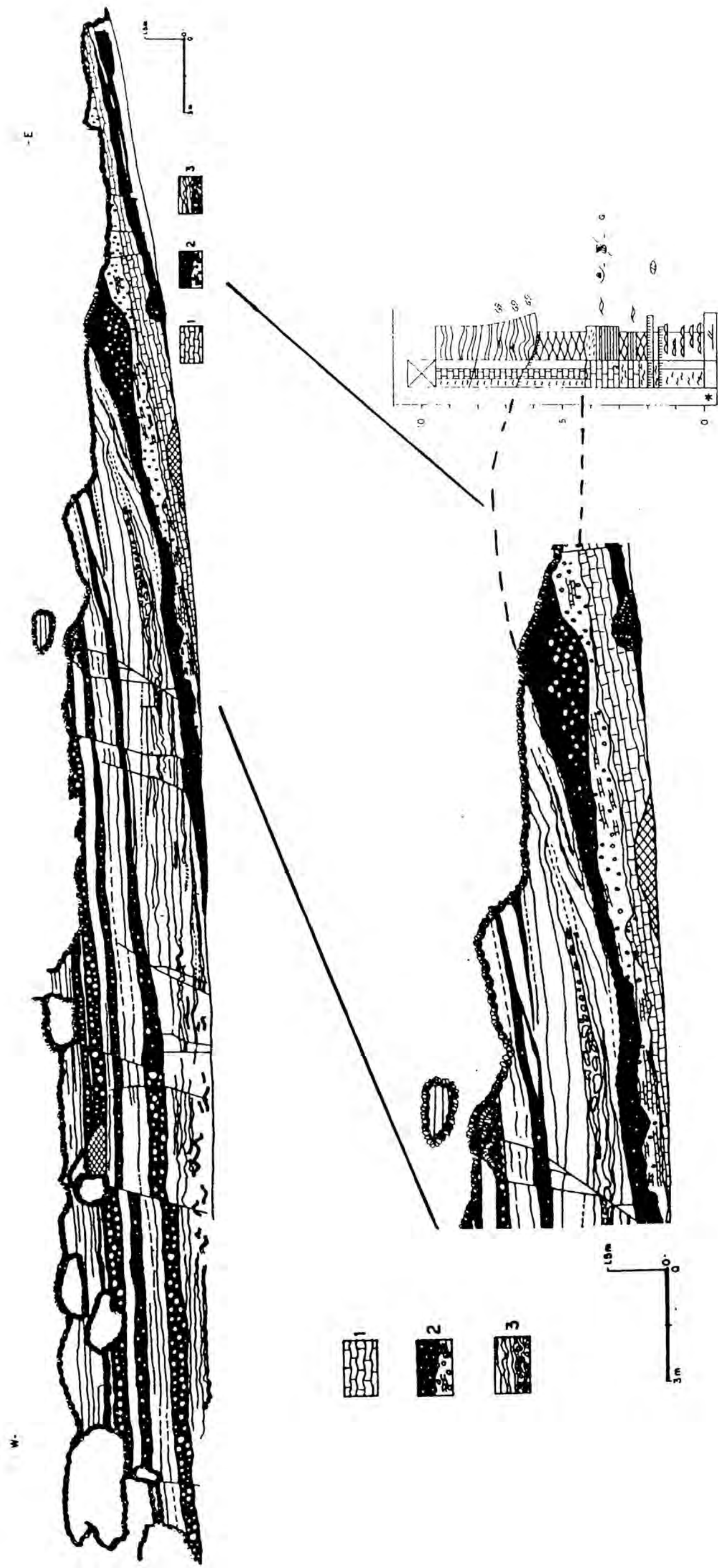


Fig. 4.9. Carretera de l'Aveilla. Reblliment d'un canal marea1 per fàcies intra-supramareal (Fm. Gresos de En Siroll, S.D. valanginià). 1, fàcies submareal; 2, fàcies de maresma; 3, fàcies intra-supramareal de reblliment de canal.

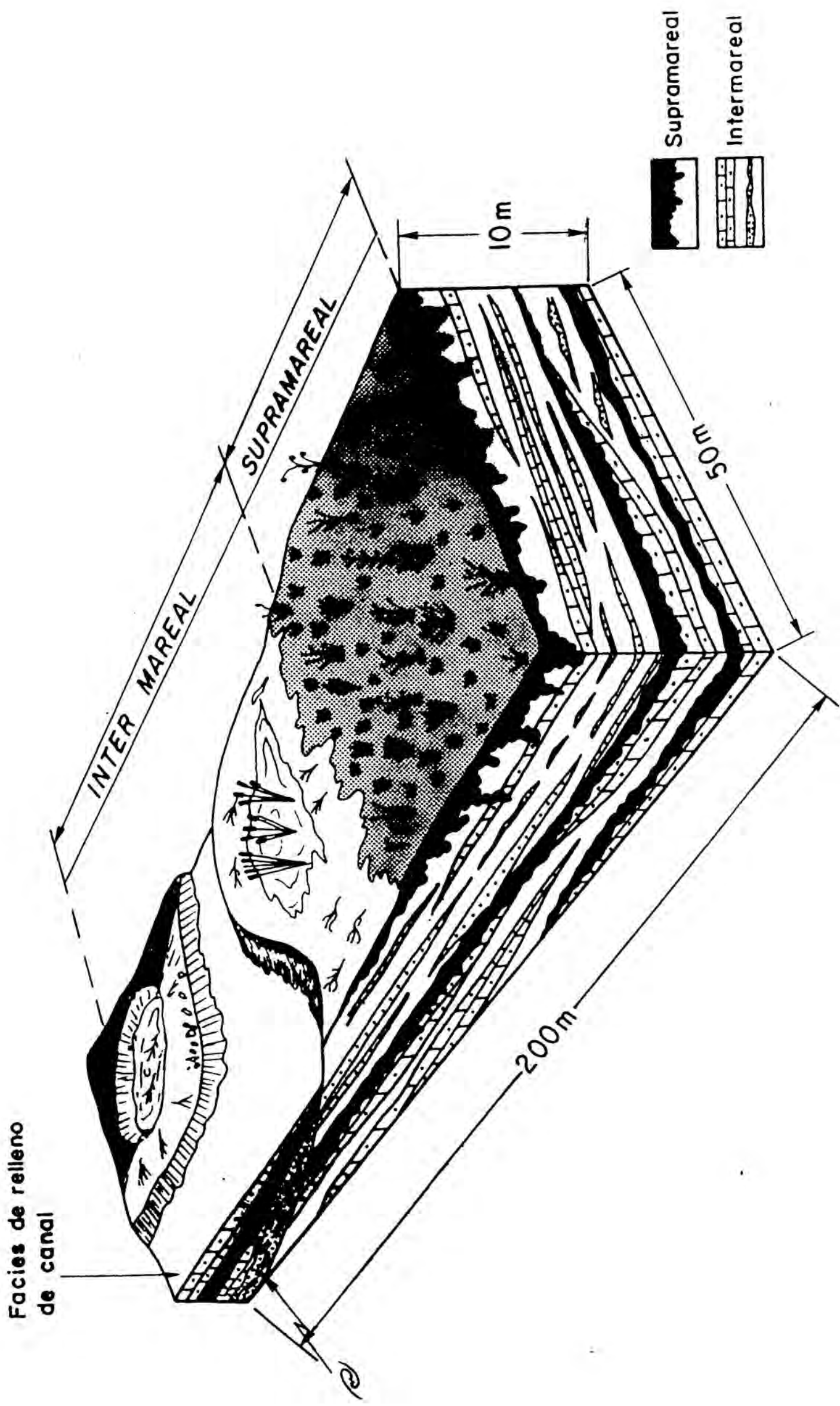


Fig. 4.9a. Model deposicional correspondiente a la Fm. Gresos d'En Siroll (base de la S.D. valanginiana). Sector de l'Aveillà.

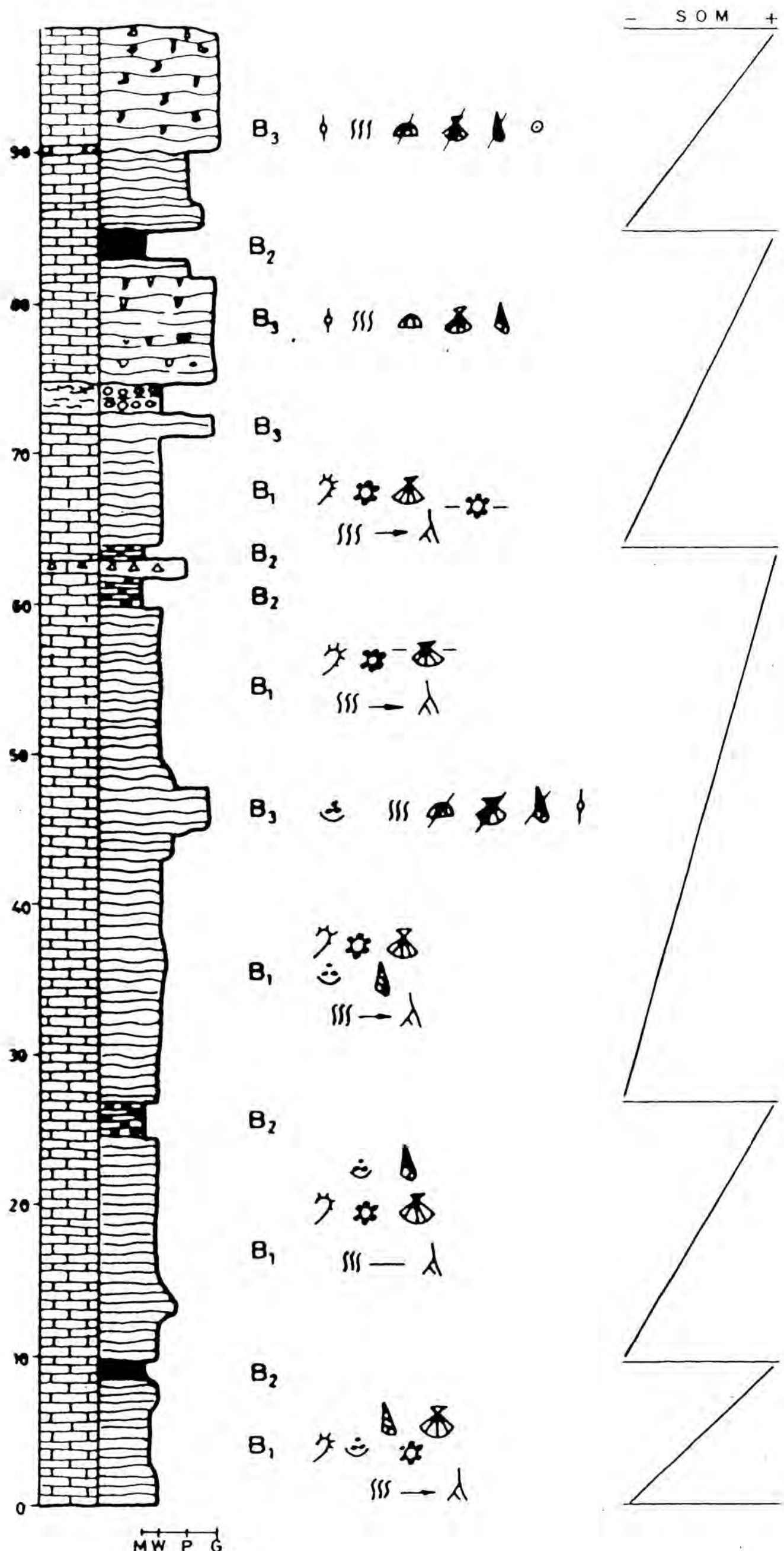


Fig. 4.10. Fm. Calcàries de La Bastida S. D. valanginiana. B1, fàcies de mud bank; B2, fàcies inter/supramareal; B3, fàcies de bancs marginats d'alça energia (shoal).

S.D. VALANGINIENSE (J. 3.3)

Fm. CALCARENITAS DE LOS POLACOS

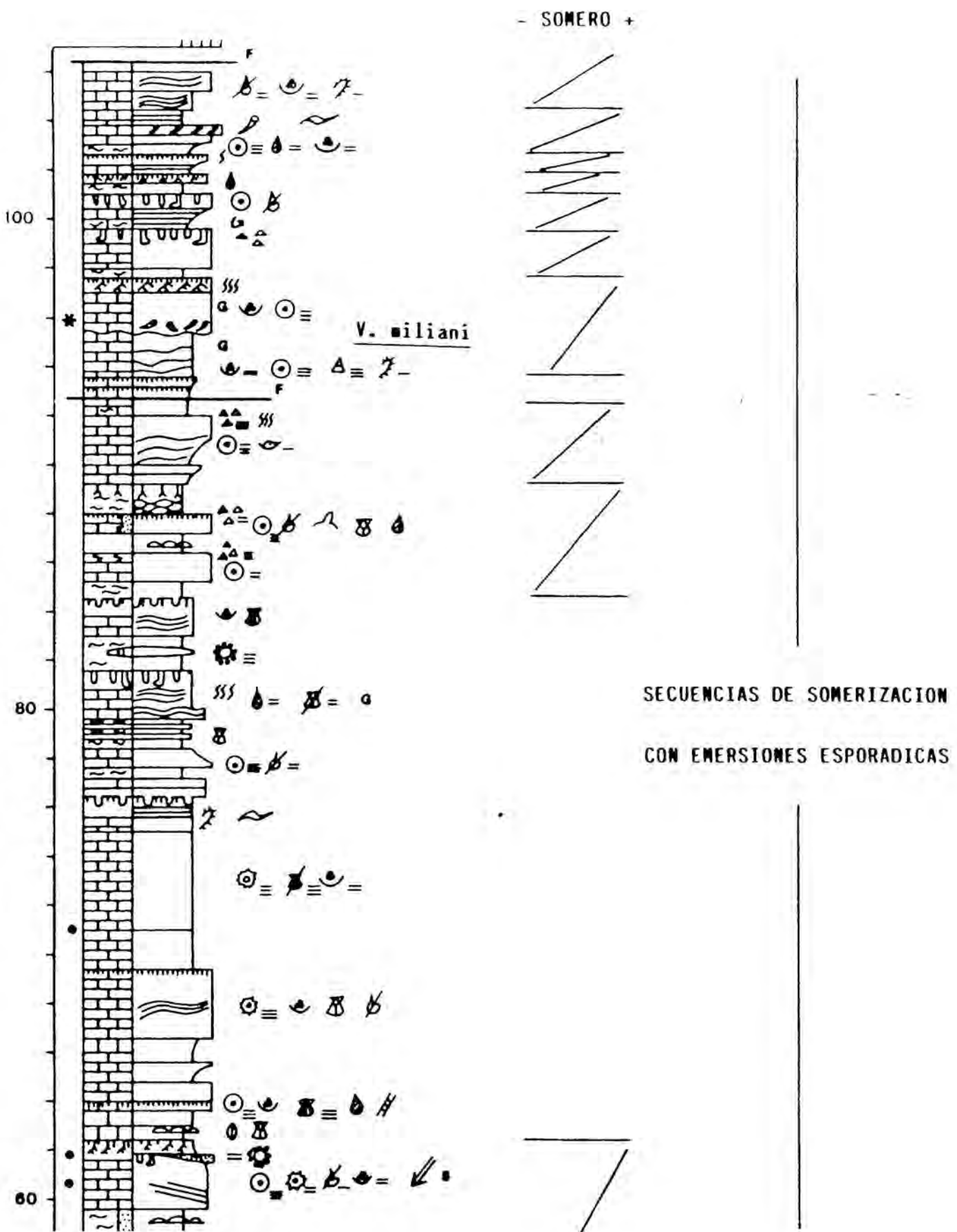


Fig. 4.11. Carretera de l'Avellà. Columna estratigráfica del trám superior de la seqüència valanginiana (Fm Calcarenes dels Polacs).

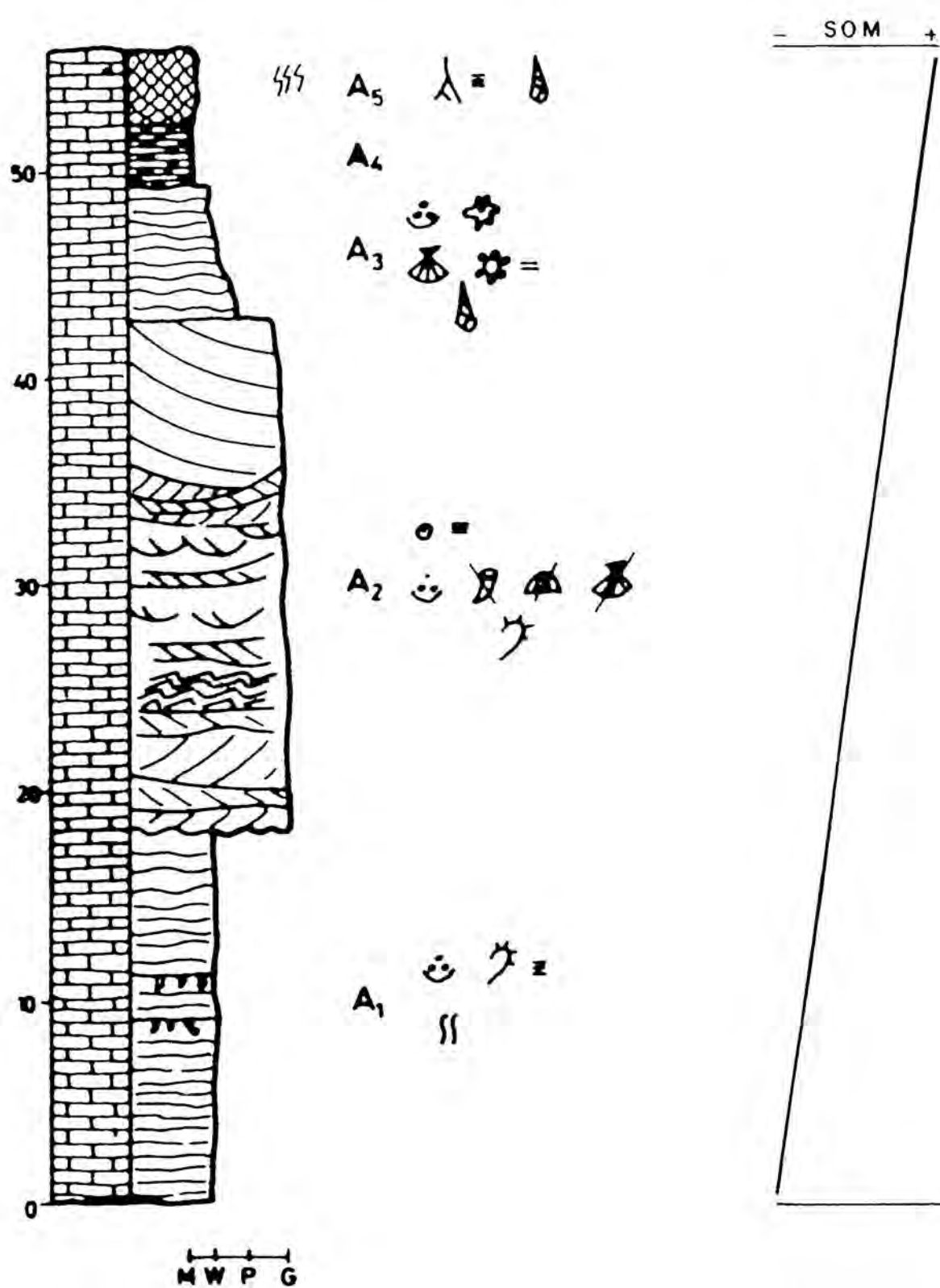


Fig. 4.12. Seqüència de fàcies de la Fm. calcàries dels Polacos (S.D. valanginiana). A₁, fàcies de lagoon; A₂, fàcies de bancs marginals; A₃, fàcies d'aiguamolls; A₄, fàcies inter/supramarinals; A₅, fàcies de sòls hidromorfos.

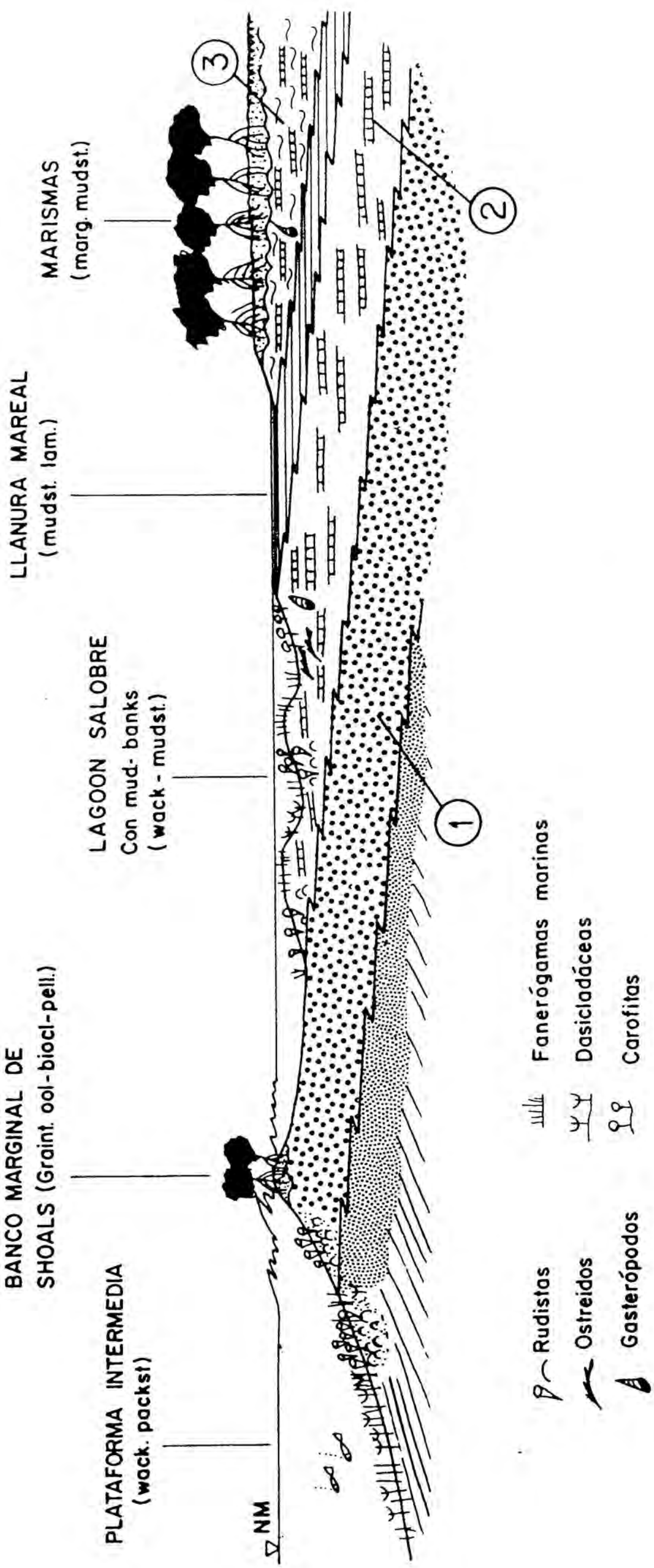


Fig. 4.13r Model deposicional de la S.D. valanginiana. 1, Fm. Calcàries dels Polacs; 2, Fm. Calcàries de la Bastida; 3, Fm. Gresos del Bc. d'En Siroli i Fm. calcàries dels Magraners.

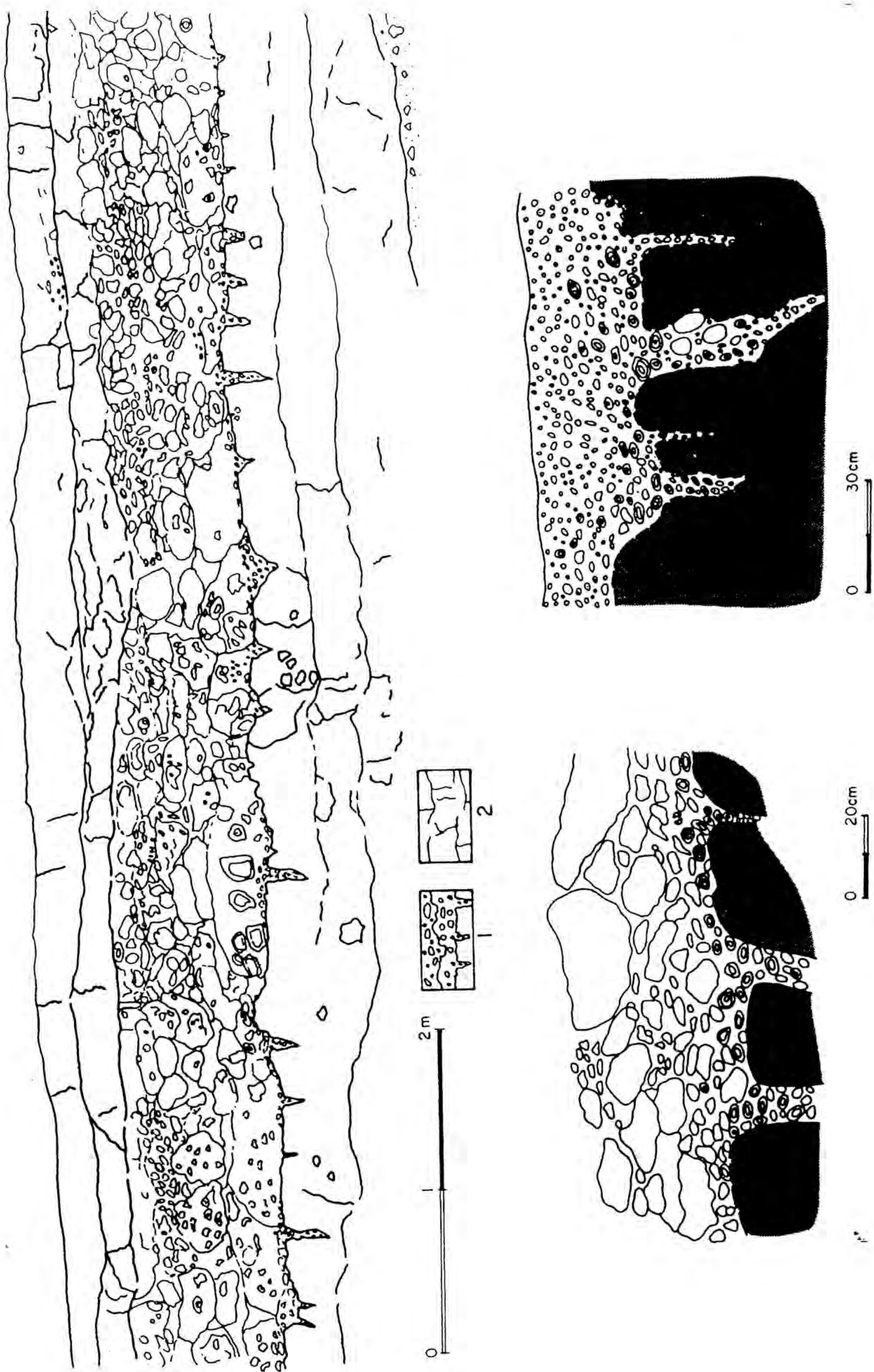


Fig. 4.14. Coll de Querol, carretera N-232, km 50,5. Fàcies de carbonats d'aigua dolça (Fm. Calcaries d'Herbers). Fàcies de sòls hidromorfos, amb bretxes i pseudomorfos, (S.D.: hauteniviat).

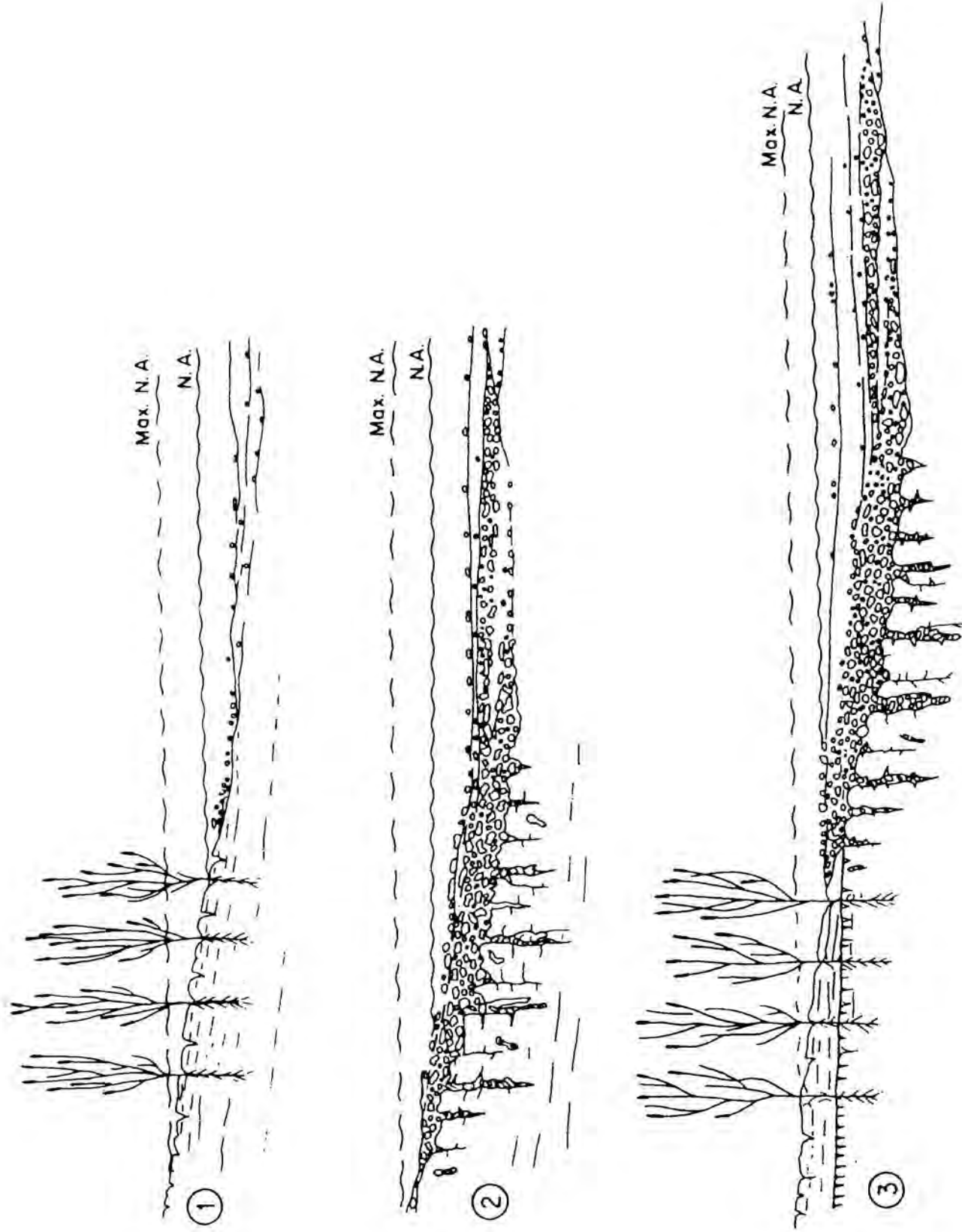


Fig. 4.15. Interpretació de les bretxes lacustres-palustres, basada en Frey et al. (1982). 1, període amb baix nivell d'aigua, zones de fang exposades i cobertes per vegetació que, juntament amb les esquerdes de dessecació, quartzejen el sediment; 2, ascens del nivell de l'aigua, es retreba i en els còdols de dessecació, els quals tendeixen a acumular-se en les cavitats verticals originades per l'efecte de les arrels; 3, reanudació de les condicions lacustres.

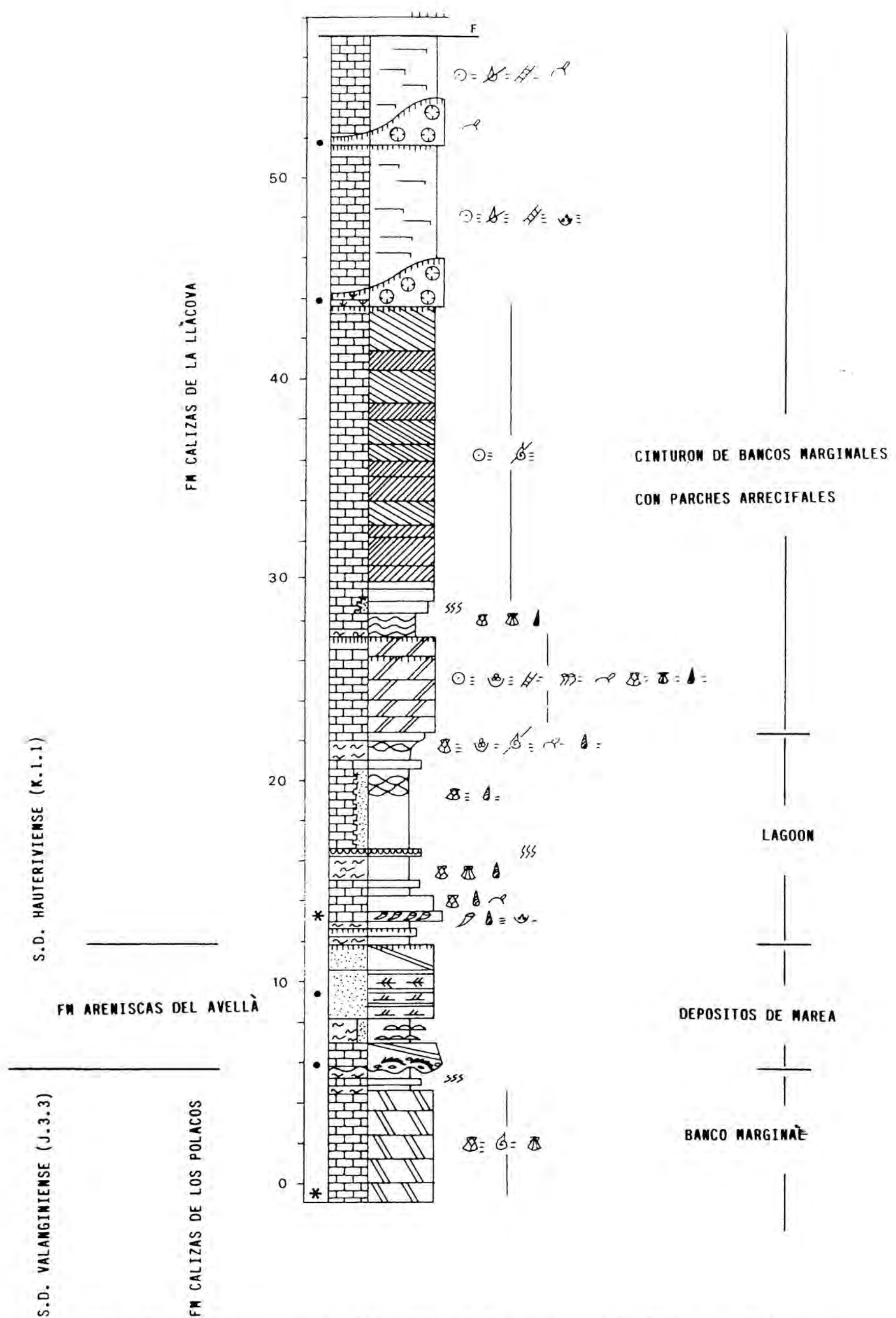


Fig. 4.16. Carretera de l'Avellà. Columna estratigràfica de les seqüències deposicionals valanginiana i hauteriviana.

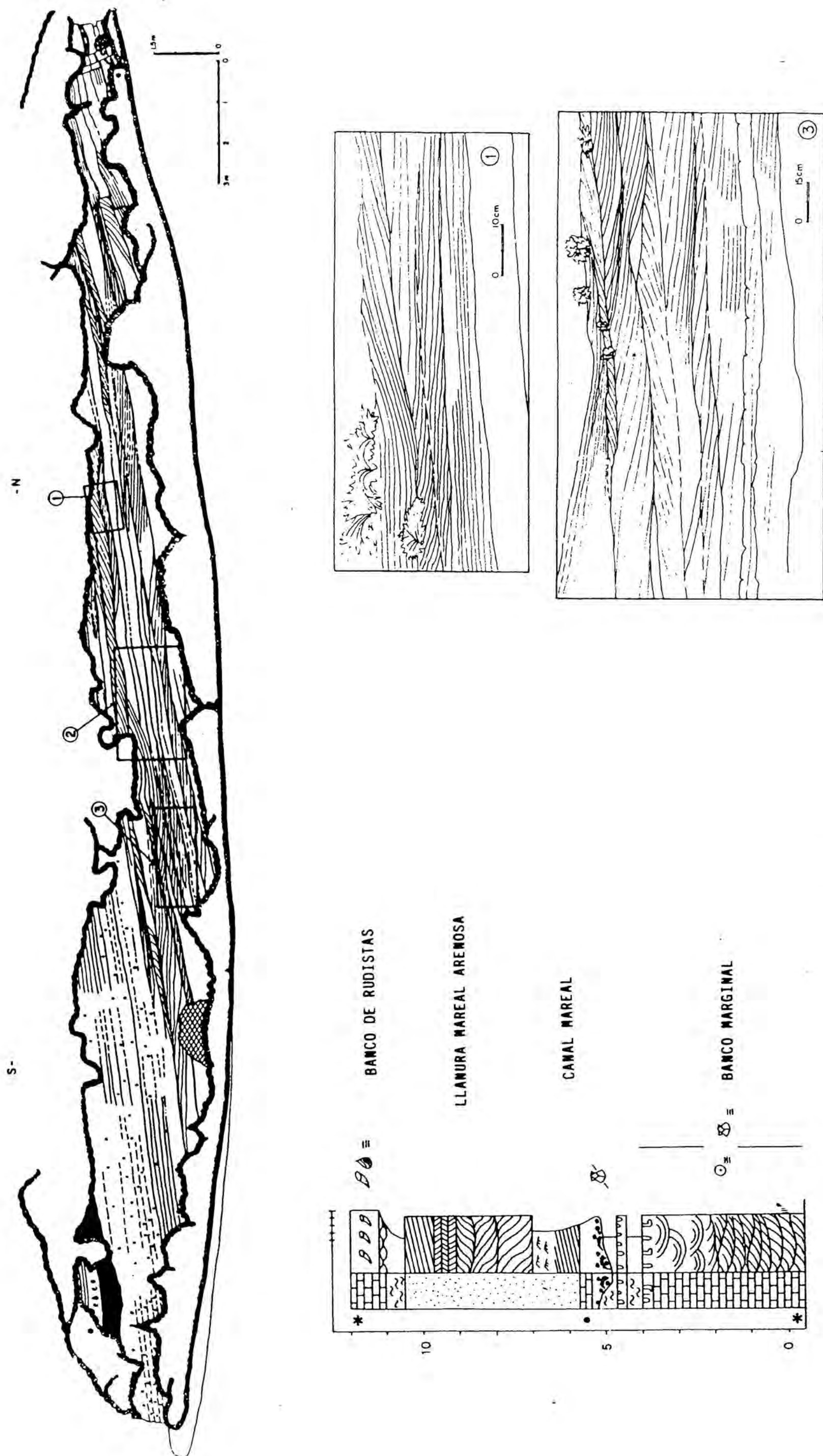


Fig. 4.17. Carretera de l'Aveilla. Seqüència d'esplanada de marea sorrenca de la Fm. Gresos de l'Aveilla (S.D. Hauterivian).

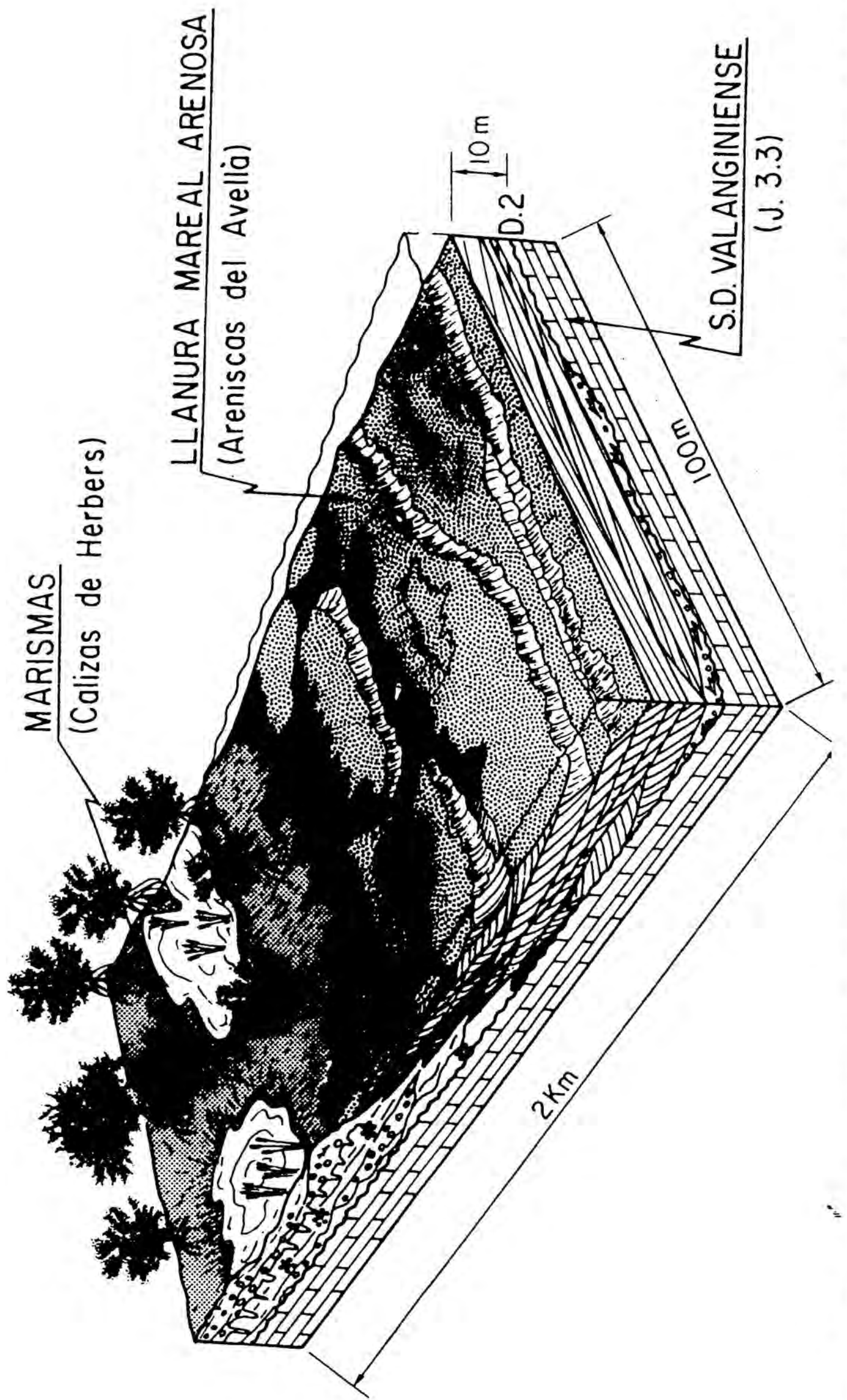


Fig. 4.18. Model deposicional de la base de la S.D. hauteriviana (Fm. Gresos de l'Avellà) en situació marginal noroccidental de la conca del Maestrat.

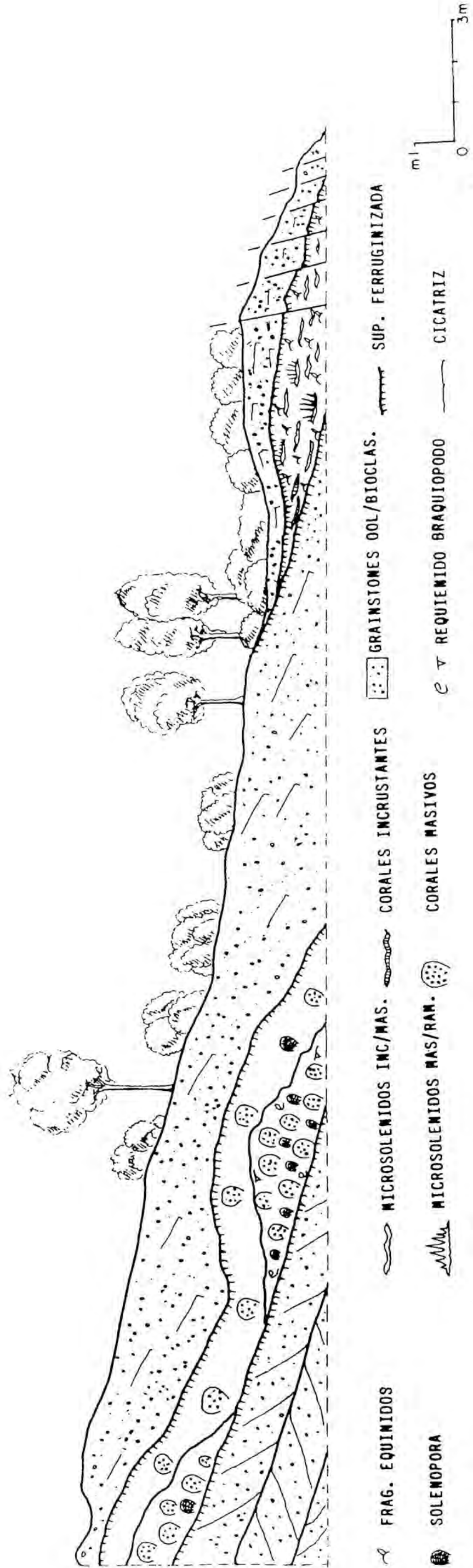


Fig. 4.19'. Carretera de l'Avellà. Claps d'esculls de corals i algues, entre bancs marginals (shoals) de la Fm. Calcàries de la Llacovà (S.D. hauteriviana).

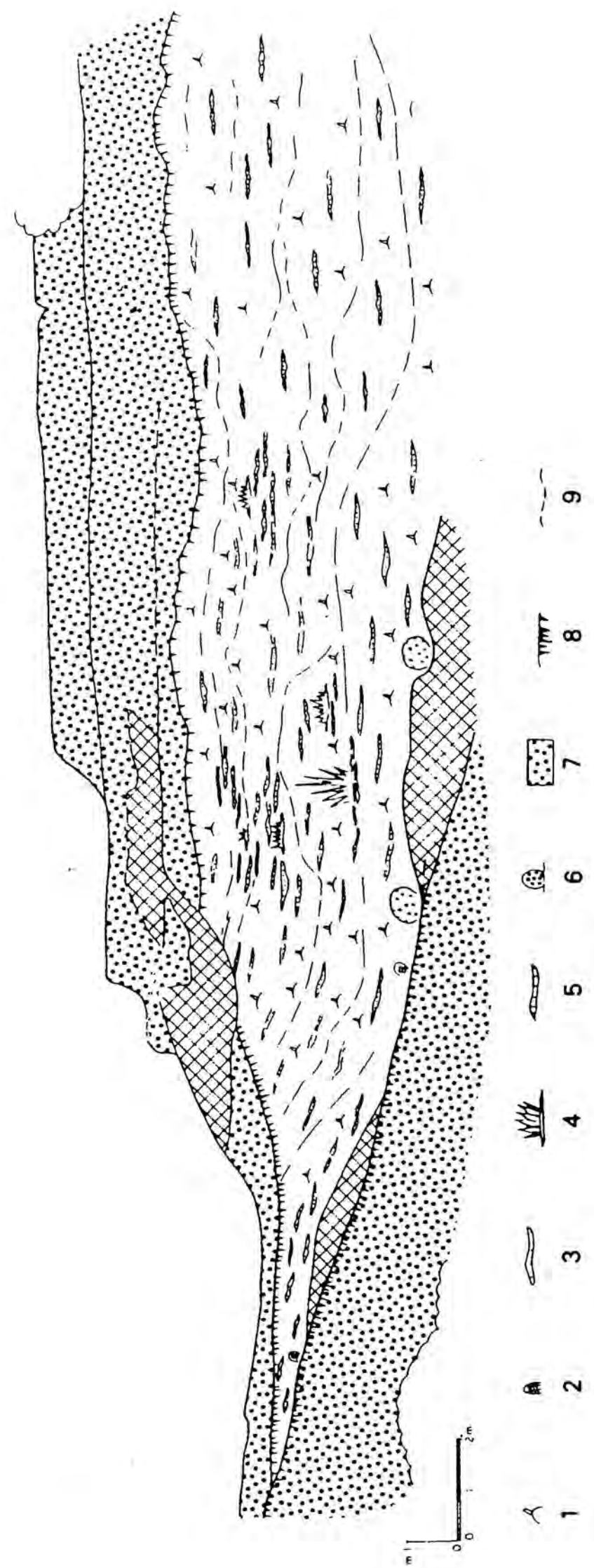


Fig. 4.20. Carretera de l'Avellà. Detall del clap d'escull superior de la Fm. Calcàries de la Llácova (S.U. hauteriviana). 1, fragments d'equínid; 2, Solenopora; 3, microsolénid incrustant/massís/ramós; 5, coral incrustant; 6, coral massís; 7, grainstone oolític-bioclastíic; 8, superfície ferruginosa; 9, cicatriu.

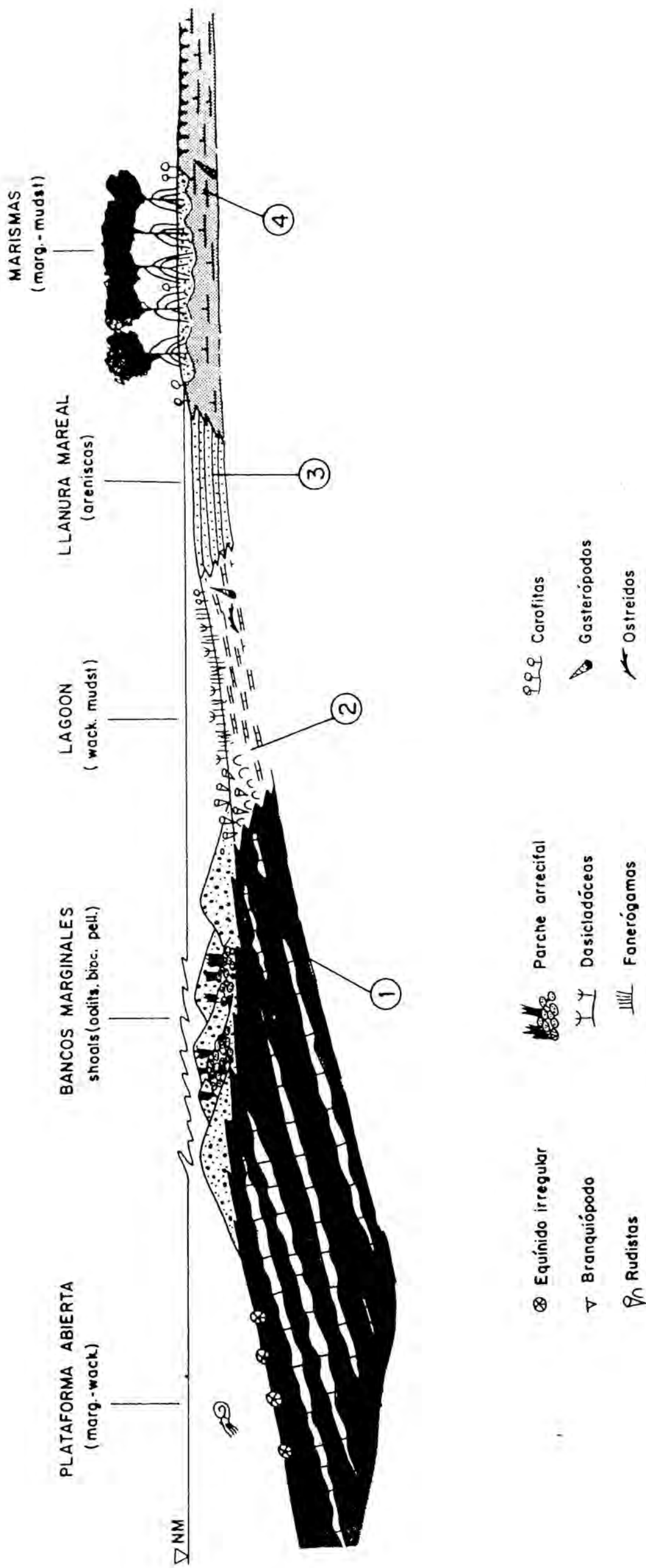
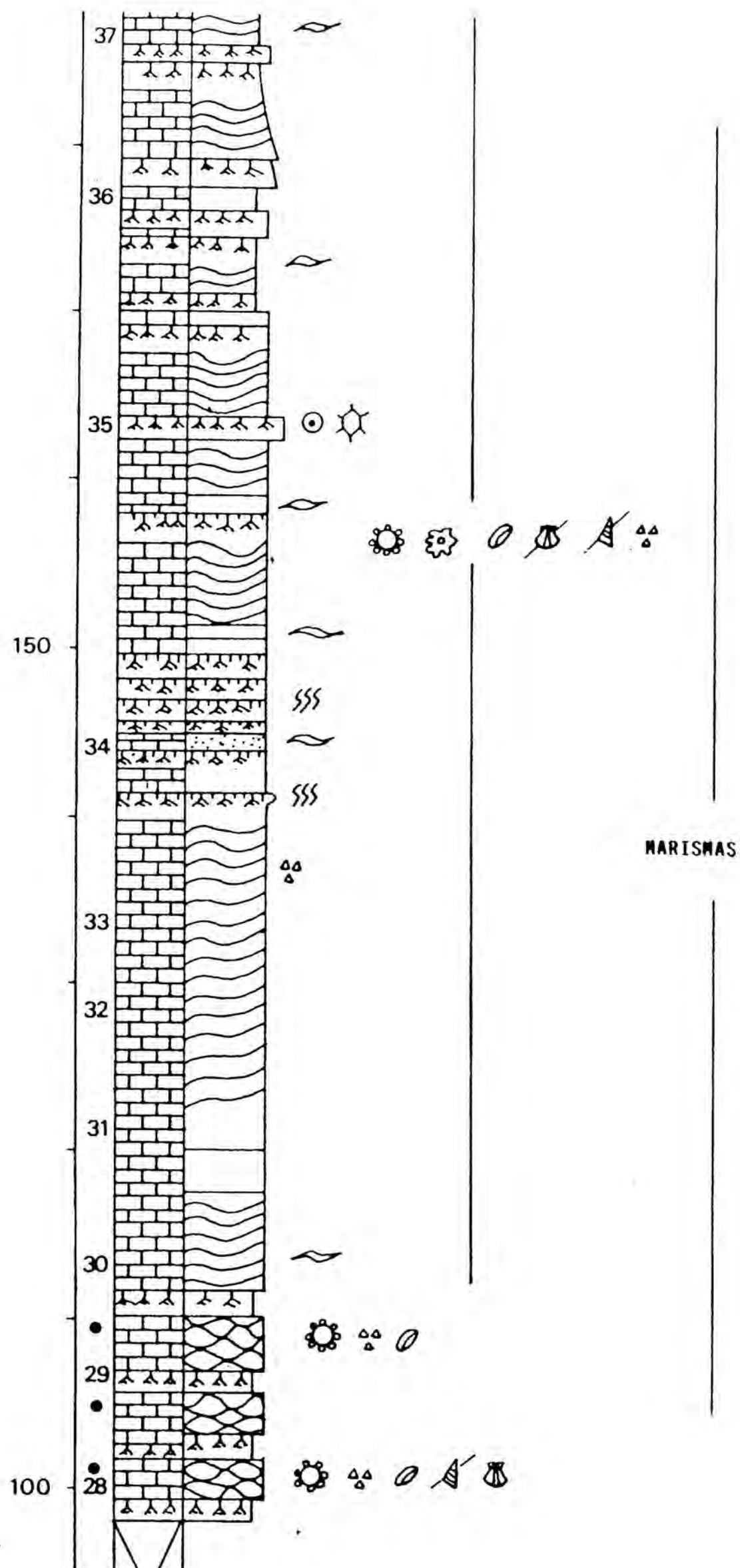


Fig 4.21. Model deposicional per a la S.D. hauteriviana. 1, Fm. margues i calcàries de l'Aveilla; 2, Fm. Calcàries de la Llàcova; 3, Fm. Gresos de l'Aveilla; 4, Fm. Calcàries d'Herbers.

S.D.BARRENIENSE (K.1.2.)
FM. MARGAS DE MIRAMBELL



FACIES DE ESTUARIO CARBONATADO CON BAJA INFLUENCIA DETRITICA

Fig. 4.22. Columna estratigràfica de l'anticinal de Bovalar.

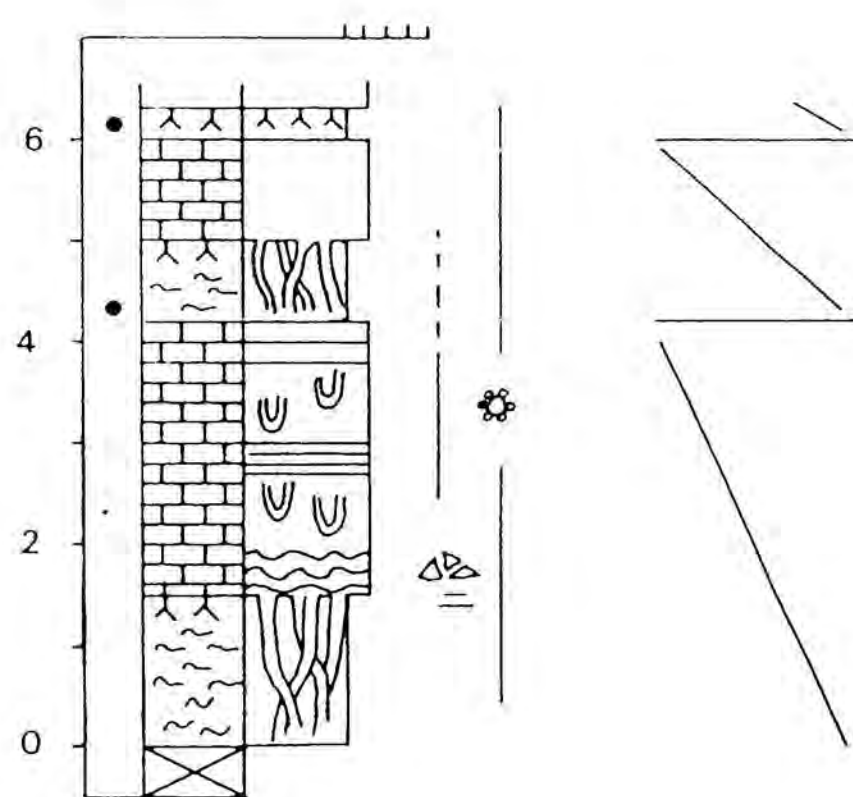


Fig. 4.23. Anticinal de Bovalar. Seqüències de somerització lacustre/palustre de la Fm. margues de Mirambell (S.D. barremiana).

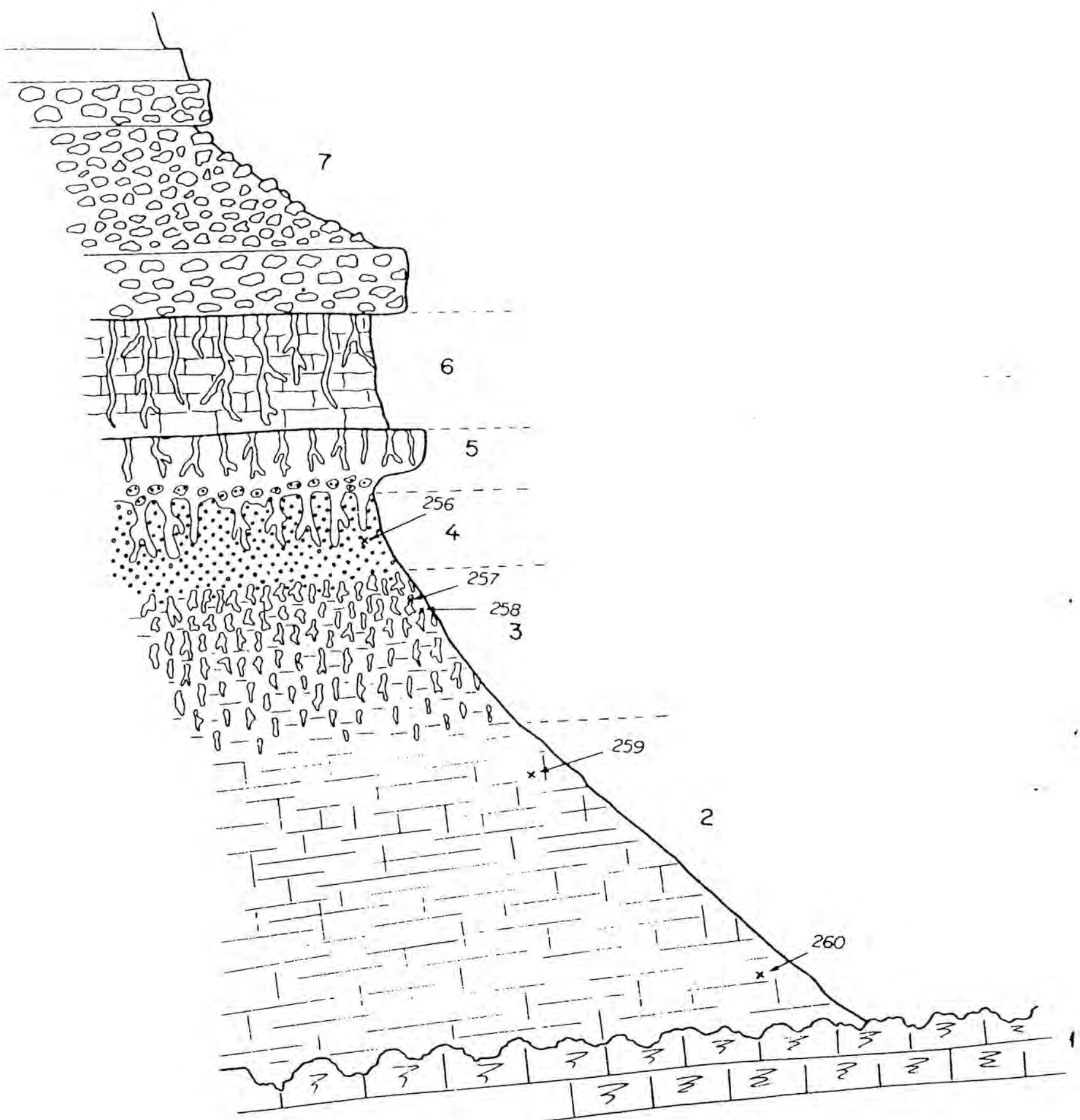


Fig 4.23a. Sòls laterítics de la localitat tipus de les calcàries i margues del Cantaperdius, segons Combes (1969). 1, wackestones ferruginitzats; 2, argiles laterítiques; 3, argiles amb concrecions ferruginoises; 4, argila compacta ocre amb pisòlits; 5, wackestone gris bioturbat per tubs verticals d'arrels; 6. wackstone ferrugininitzat en bancs decimètric d'aspecte bretxoide, perforacions de tubs verticals d'arrels; 7, wackestone gris amb concrecions ferruginooses.

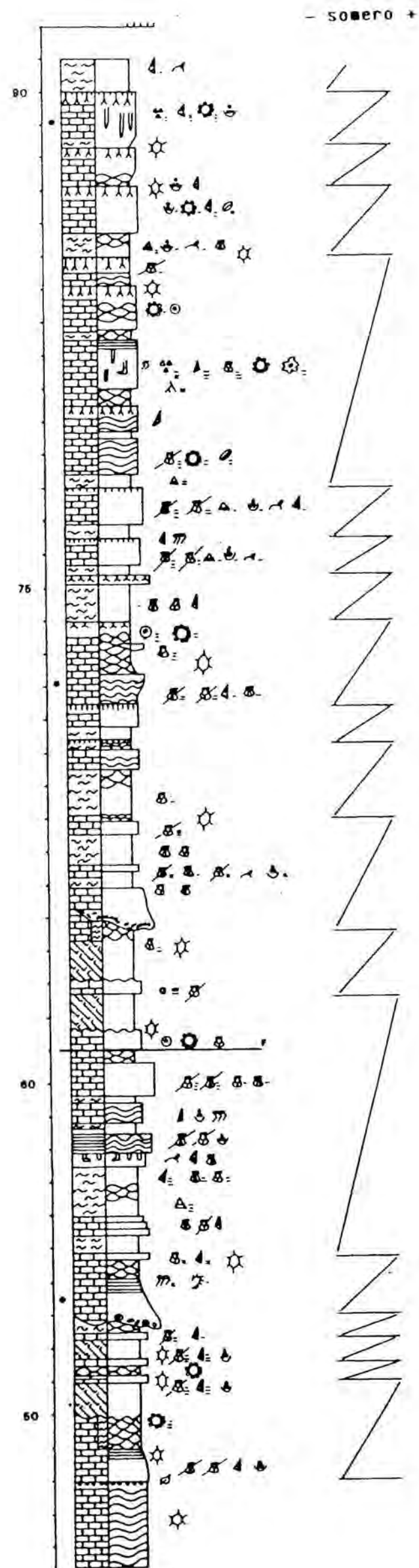
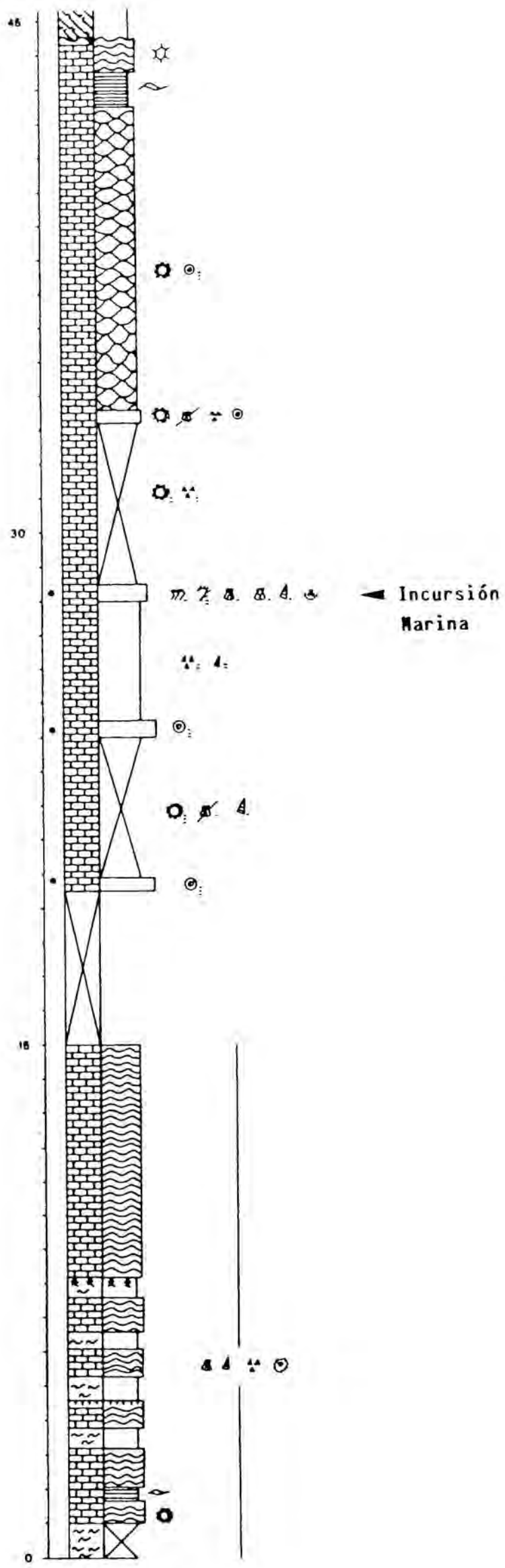


Fig 4.24. Sinclinal de Fredes. Columna estratigràfica de la S.D. Barremiana (Fm. Calcàries i argiles laterítiques de Cantaperdius y Fm. Margues i calcàries de les Artoles).

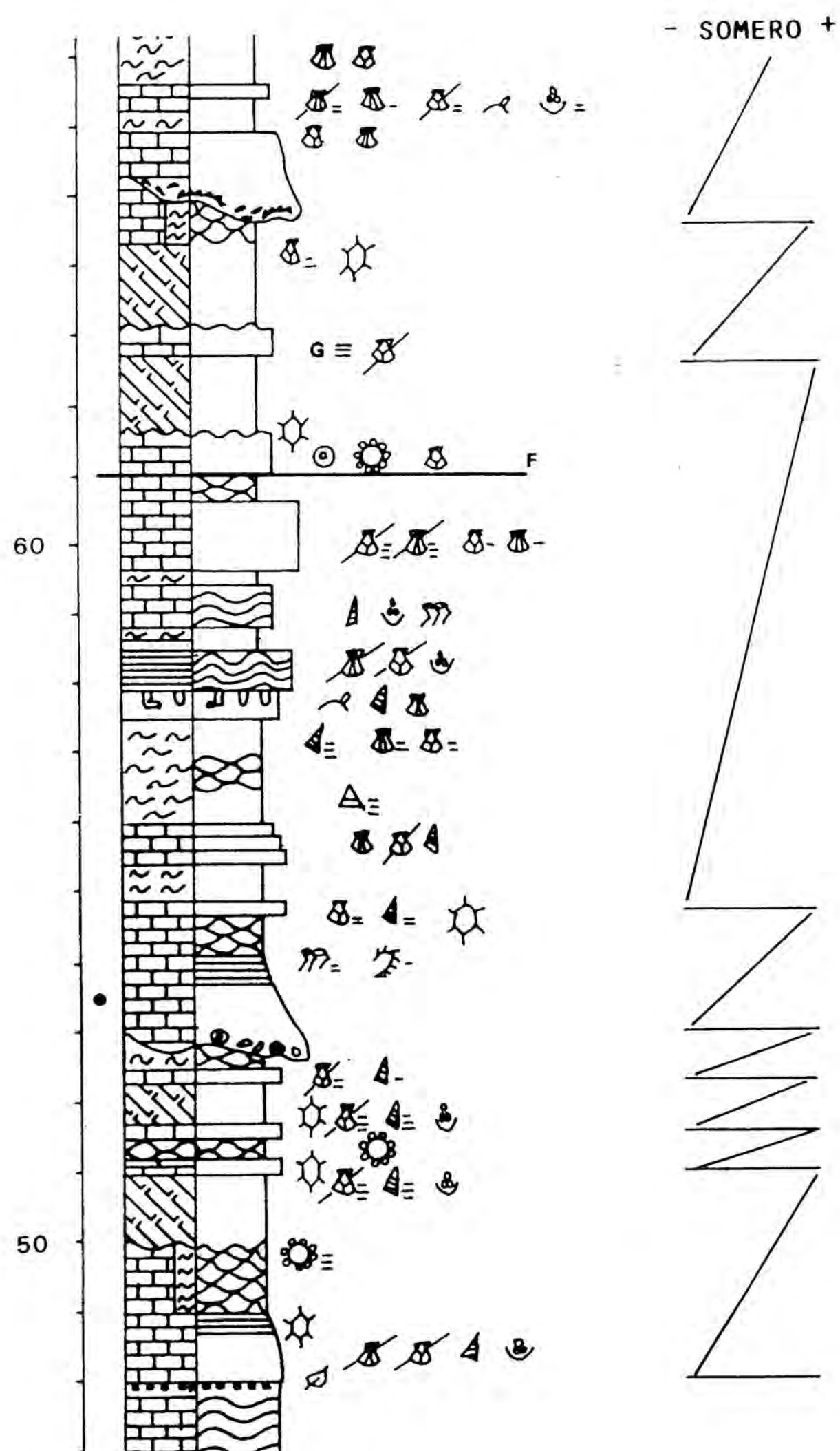
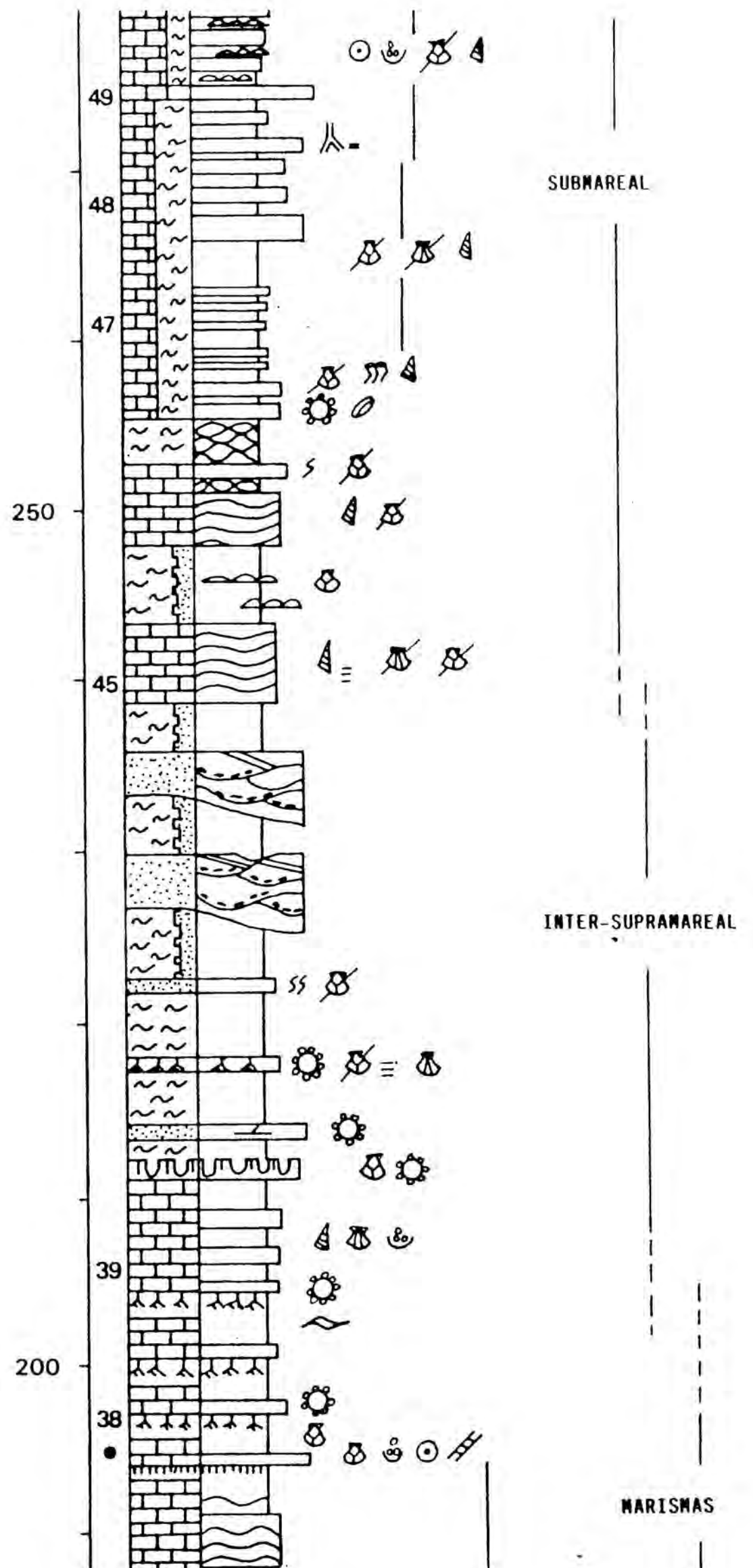


Fig. 4. 25. Detall de la columna estratigràfica del sinclinal de Fredes.

S.D. BARRENIENSE (K.1.2.)

FM. MARGAS Y CALIZAS DE LAS ARTOLAS

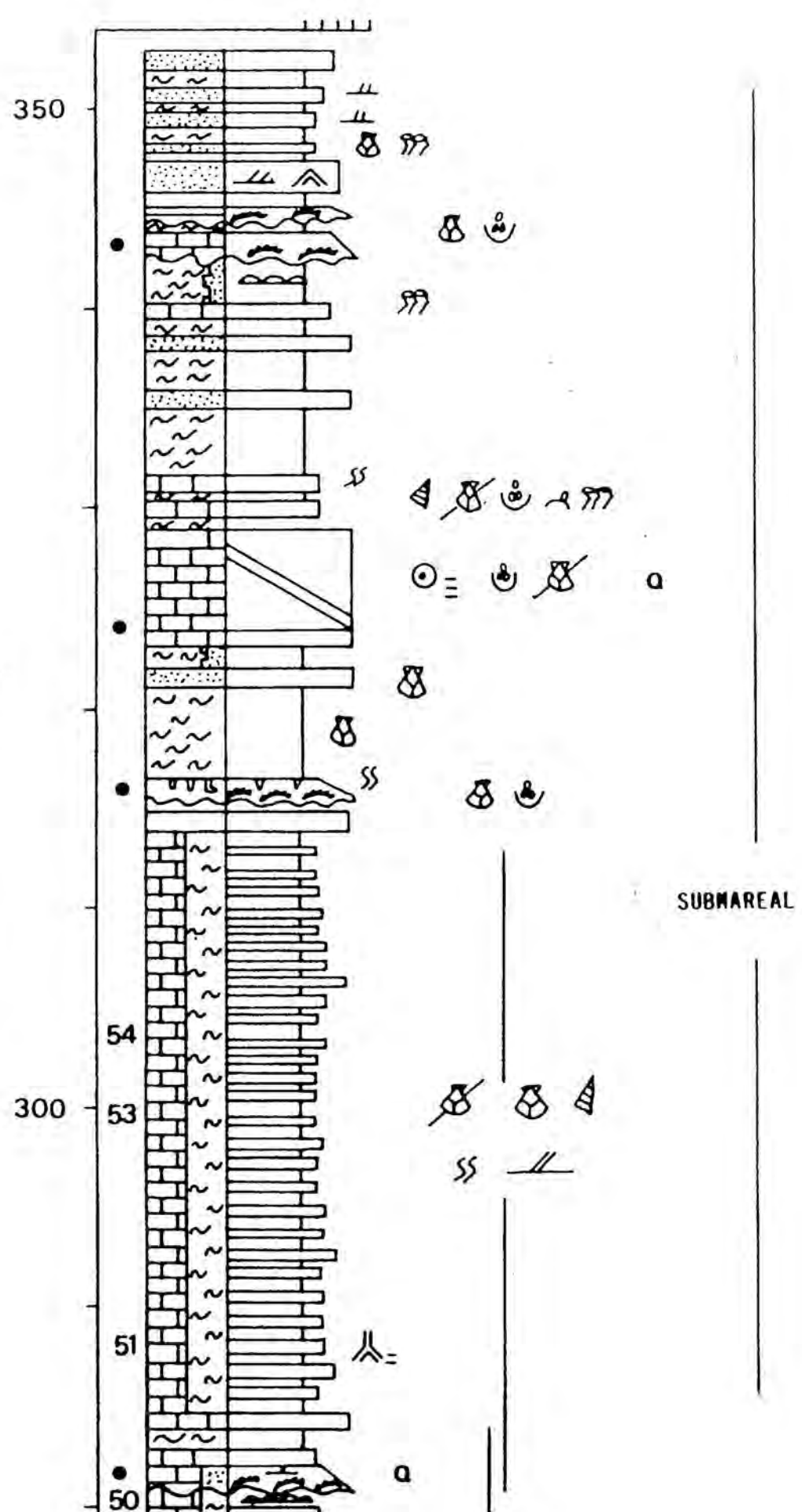


FACIES DE ESTUARIO CARBONATADO CON BAJA INFLUENCIA DETRITICA

Fig. 4.26. Columna estratigráfica de l'anticinal de Bovalar. Continuació.

S. D. BARREMIENSE (K. I. 2.)

FM. MARGAS Y CALIZAS DE LAS ARTOLAS



FACIES DE ESTUARIO CARBONATADO CON BAJA INFLUENCIA DETRITICA

Fig. 4.27. Columna estratigràfica de l'anticlinal de Bovalar. Continuació.

S.D. BARREMIENSE (K.1.2)

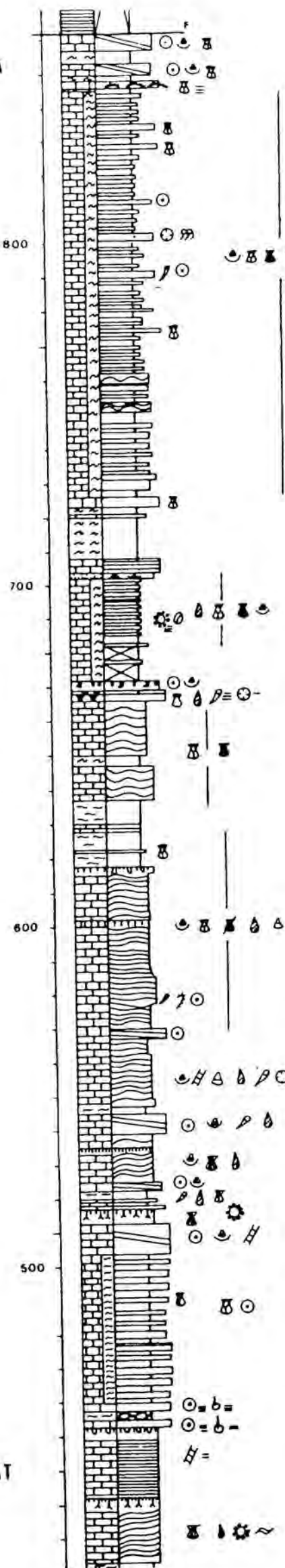
FM. MARGAS Y CALIZAS DE LAS ARTOLAS

Mb.CAL. DE LA LLOMA

Mb. CAL. DEL MAS DE QUEROL

Mb.CAL. Y MARG. DE TORRE SEGURA

FM. CAL. Y ARC. LAT
CANTAPERDIUS



CARBONATOS DE AGUA DULCE MARISMAS

BANCOS MARGINALES

FACIES DE PLATAFORMA MARGINAL PROTEGIDA
CON INFLUENCIA MAREAL

SECUENCIAS DE SOMERIZACION BANCOS MARGINALES-BARRERA
PLATAFORMA SONERA

PARADA 3.8.

ESTUARIO CARBONATADO -

Fig. 4.28. Columna estratigráfica del Coll de Querol. Continuació. S.D. barremiana.

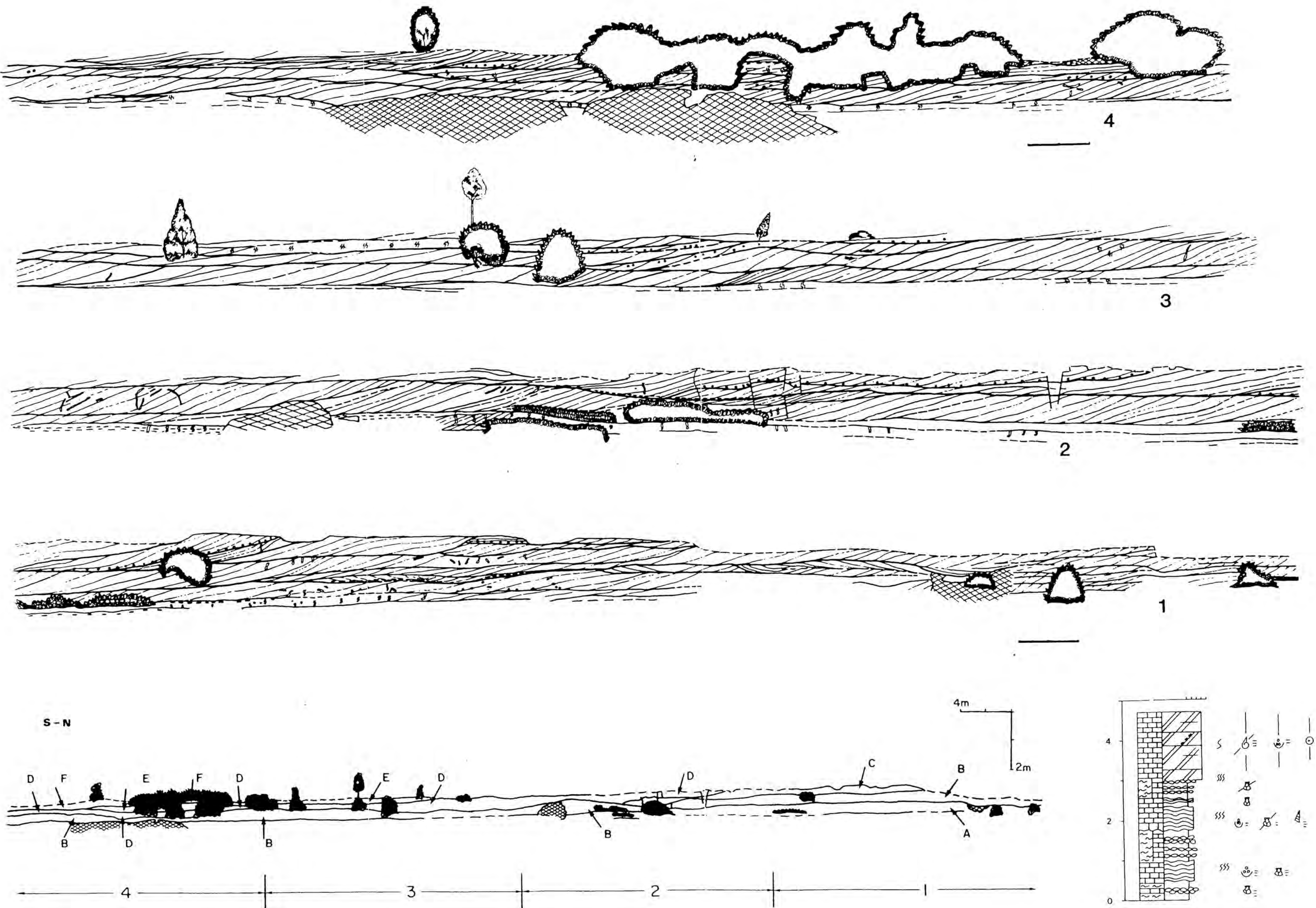


Fig. 4.29. Mas del Noto, carretera Morella - Vallibona. Seccions de la barra de marea multiepisòdica sobre fàcies de lagoon. Unitats de la barra de marea calcarenítica. rib. margues i calcàries de Torre-Segura (Fm. Margues i Calcàries de les Artoles). S.D. barremiana.

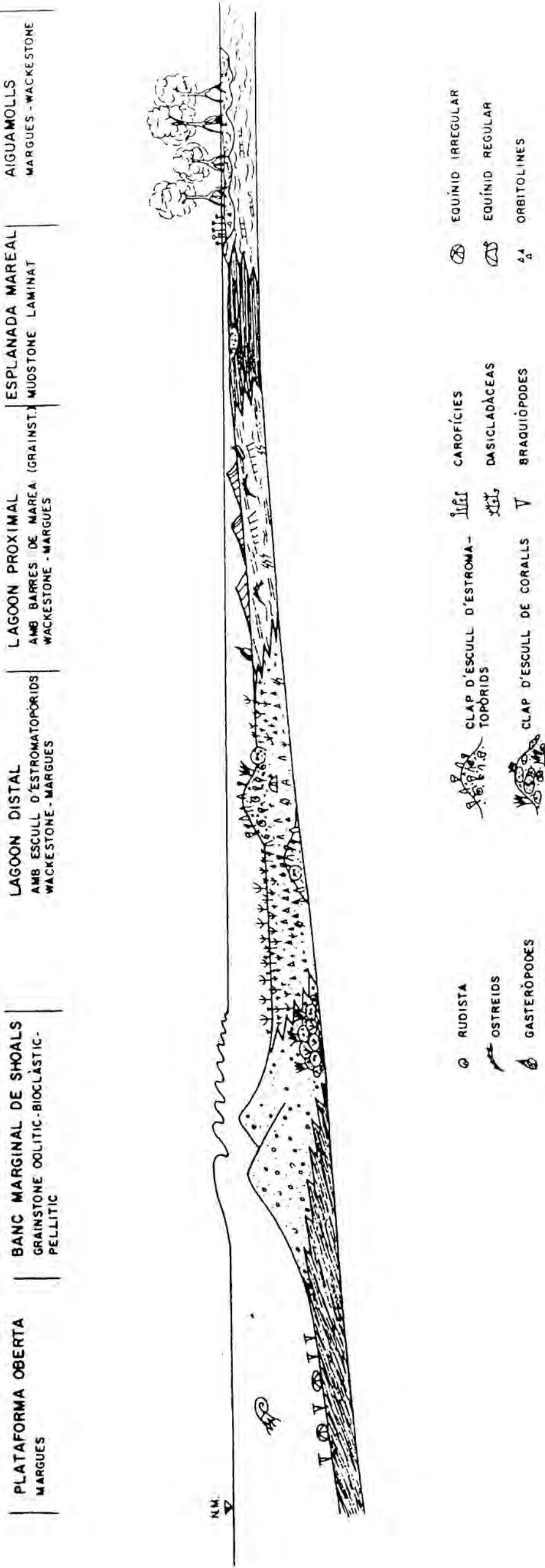


Fig. 4.30. Model deposicional de la S.D. barremiana. Plataforma amb dolça als sectors marginals.

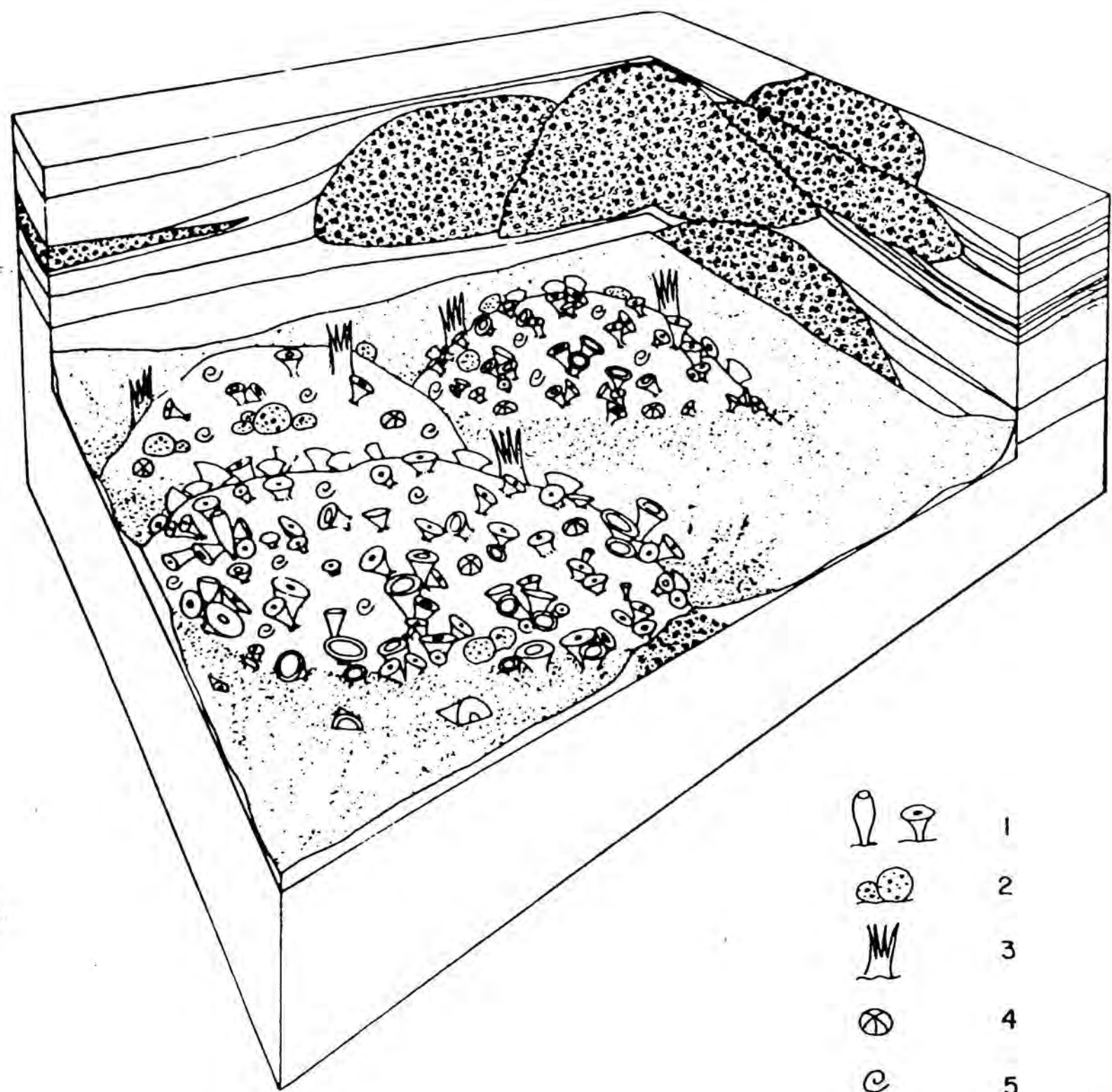


Fig. 4.31. Claps d'escutells (bufflestones) d'estromatoporoids (Burgandia).
Coralls, Rudistes i Equinids de la S.D. barremiana (Fm. Artoles).

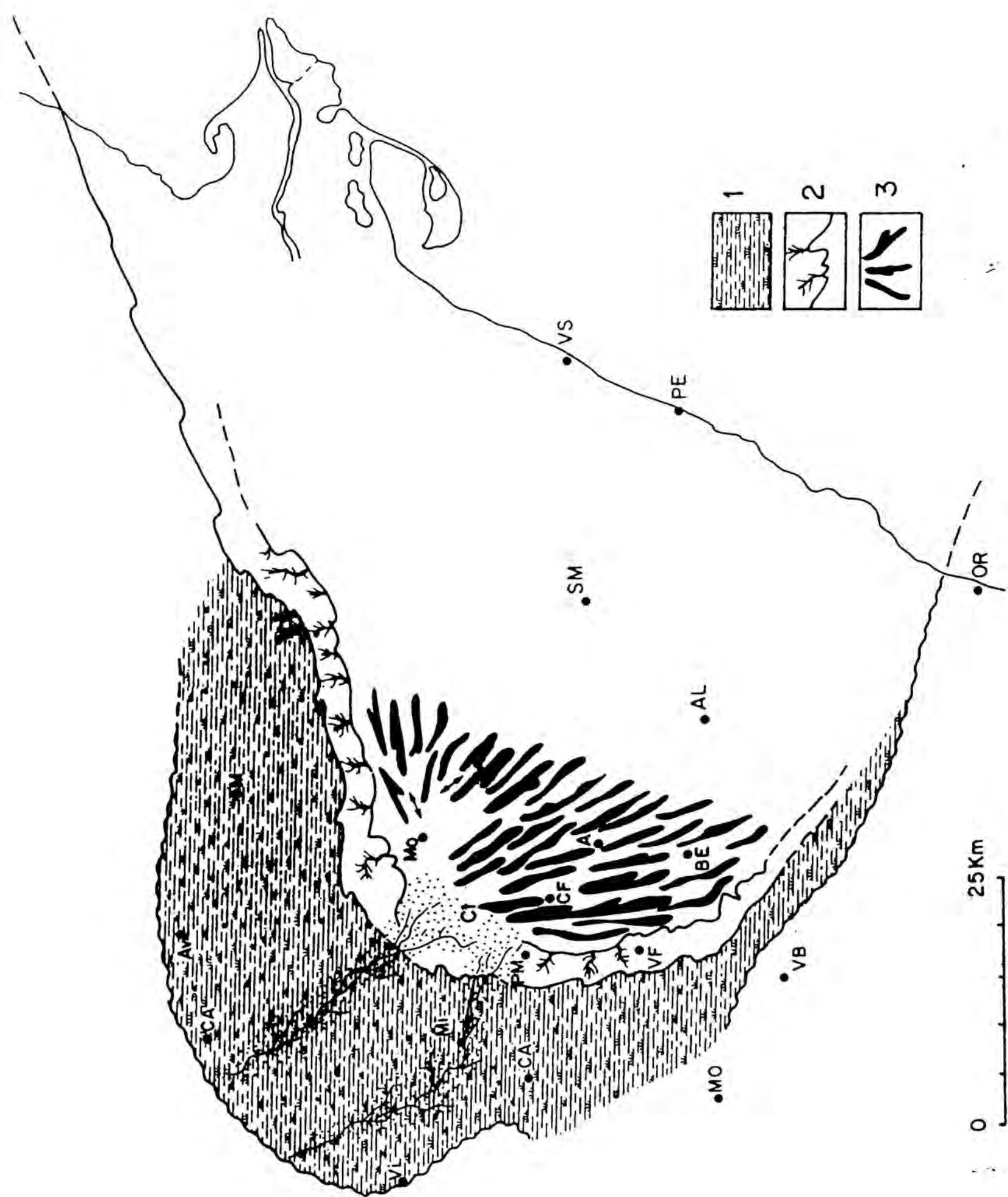


Fig. 4.32. Paleogeografia del golf de la conca del Maestrat, durant el Barremià mig. 1, maresmes i carbonats d'aigua dolça (Fm. Calcàries i argiles laterítiques de cantaperdius i Fm. margues de Mirabell); 2, intermareal; 3, lagoon amb barres de marea (ambdues Mb. margues i calcàries de Torre Segura. Fm. margues i calcàries de les Artoles).

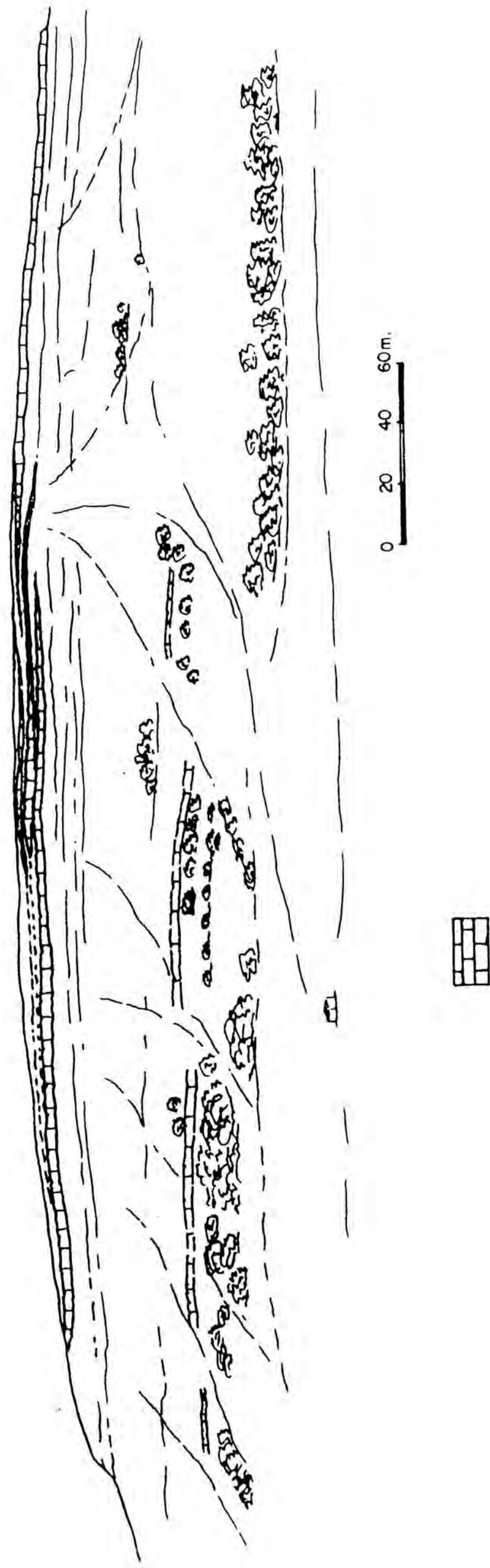


Fig. 4.33.: Geometria de progradació en top lap de l'es platforms barremiànes a la Mola d'Ares.

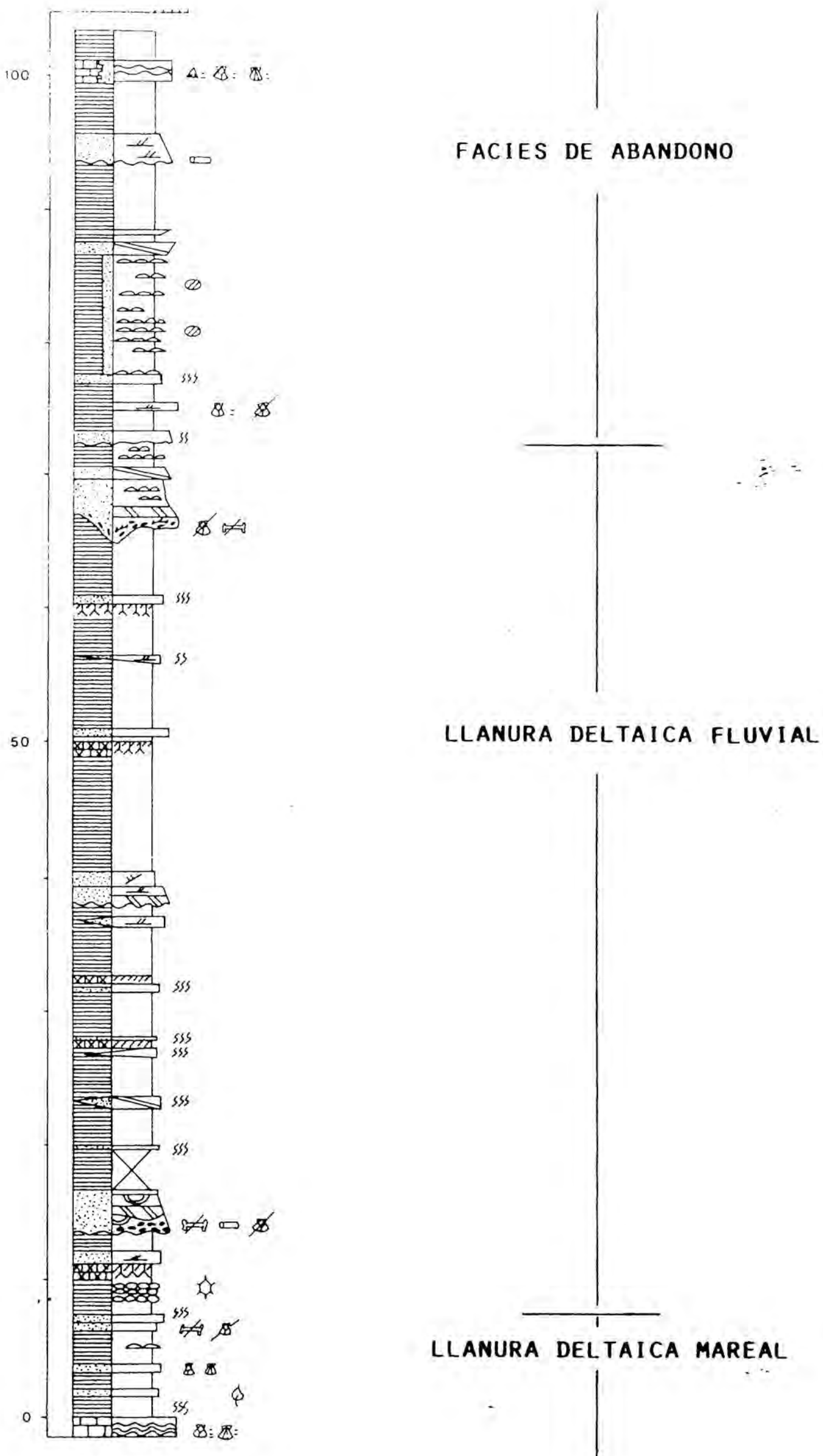


Fig. 4.34. Columna estratigráfica de la Teuleria Milian. Fm. Argiles de Morella (S.D. aptiana inferior).

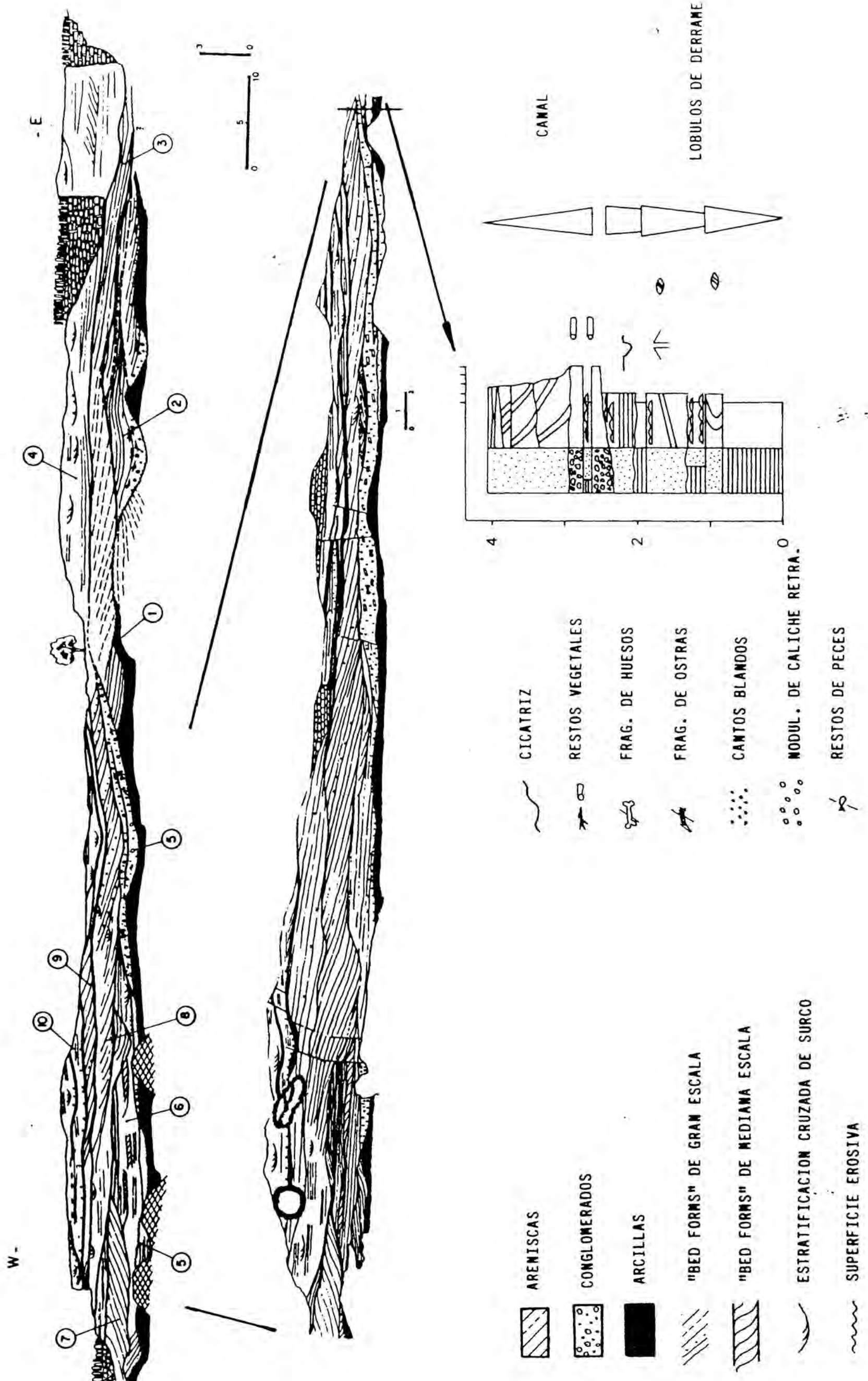


Fig. 4.35. Molí dels Capellans. Fàcies de canal distributari i crevassse splay, en la plana deltaica fluvial de la Fm. Argiles de Morella (S.D. aptiana inferior).

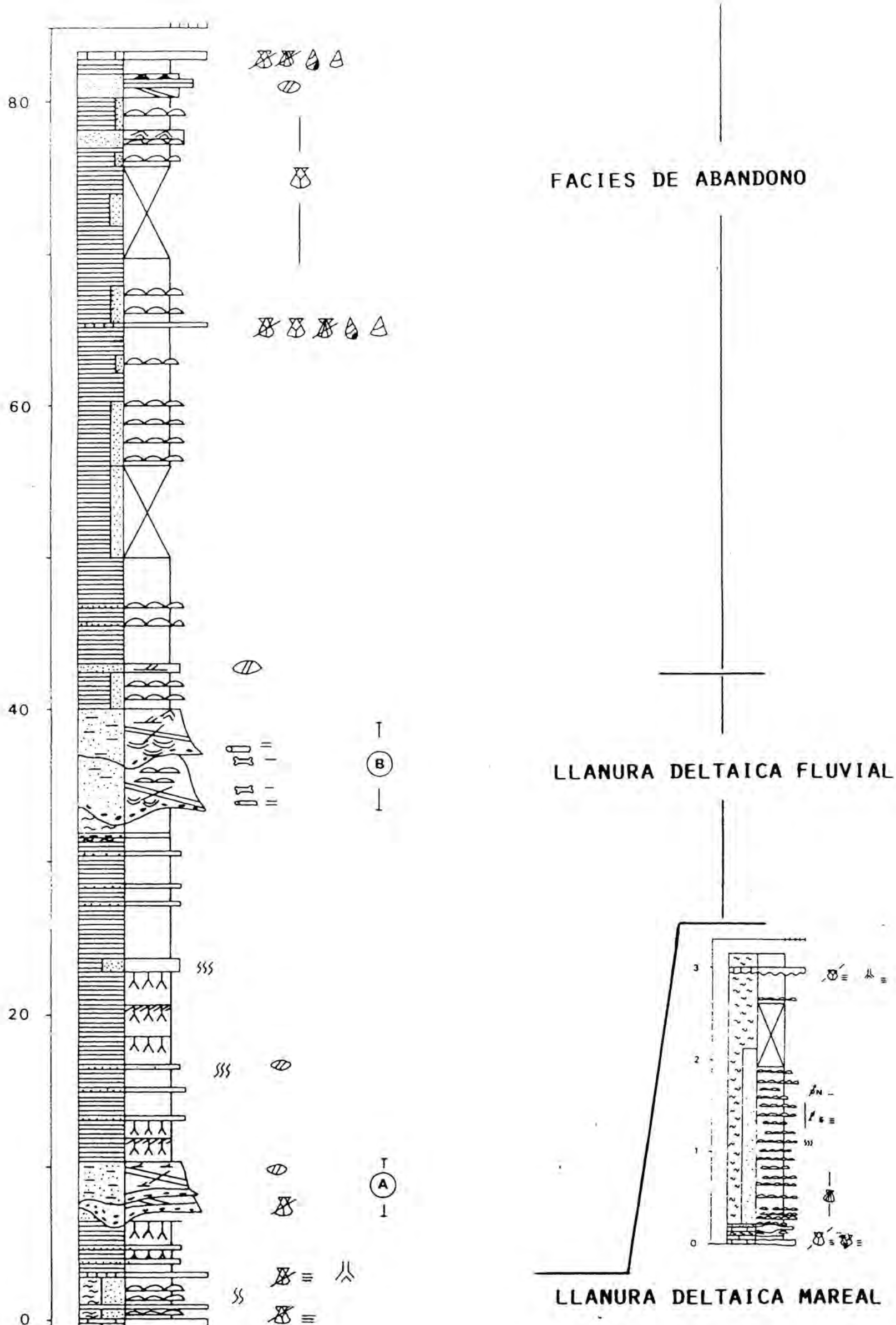


Fig. 4.36. Columna estratigráfica del Povet. Fm. Argiles de Morella (S. D. aptiana inferior).

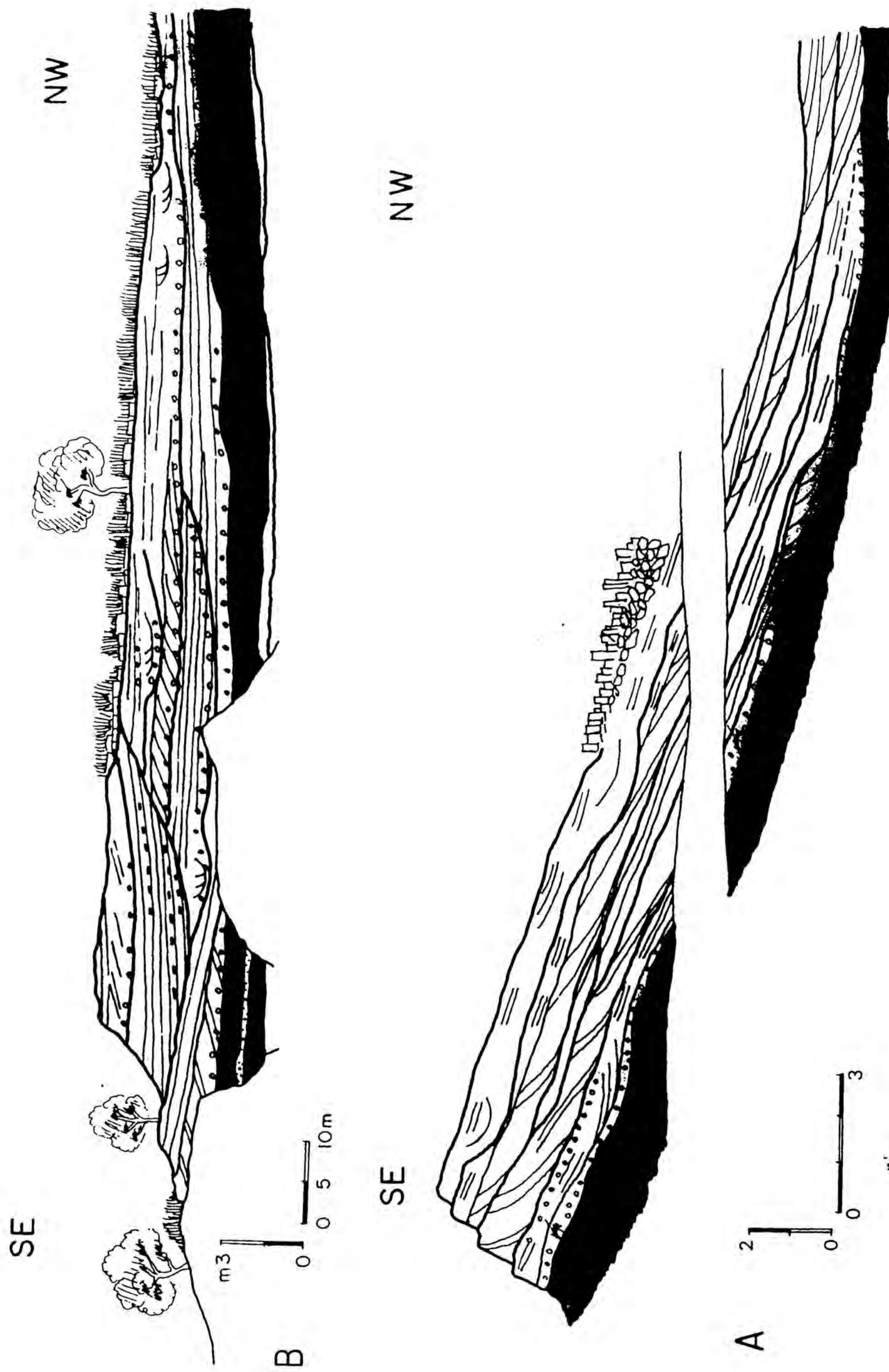


Fig. 4.37. El Povet. Facies de canal distributari, amb abundants restes de fauna marina en el lagoon. Fm. Argiles de Morella (S.D. aptiana inferior).

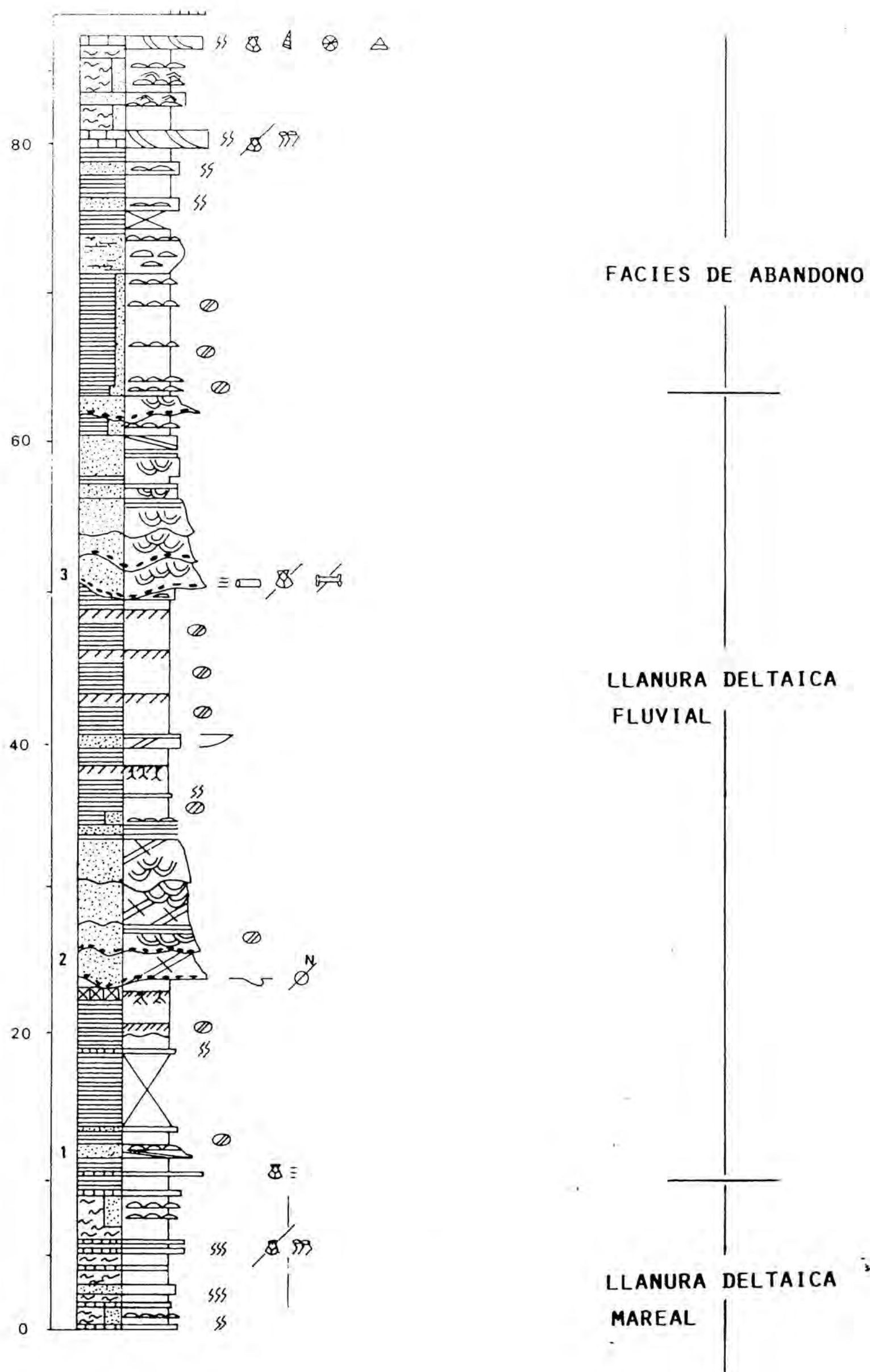


Fig. 4.38. Columna estratigráfica del Mas de la Roureda. Fm. argiles de Morella (S.D. aptiana inferior).

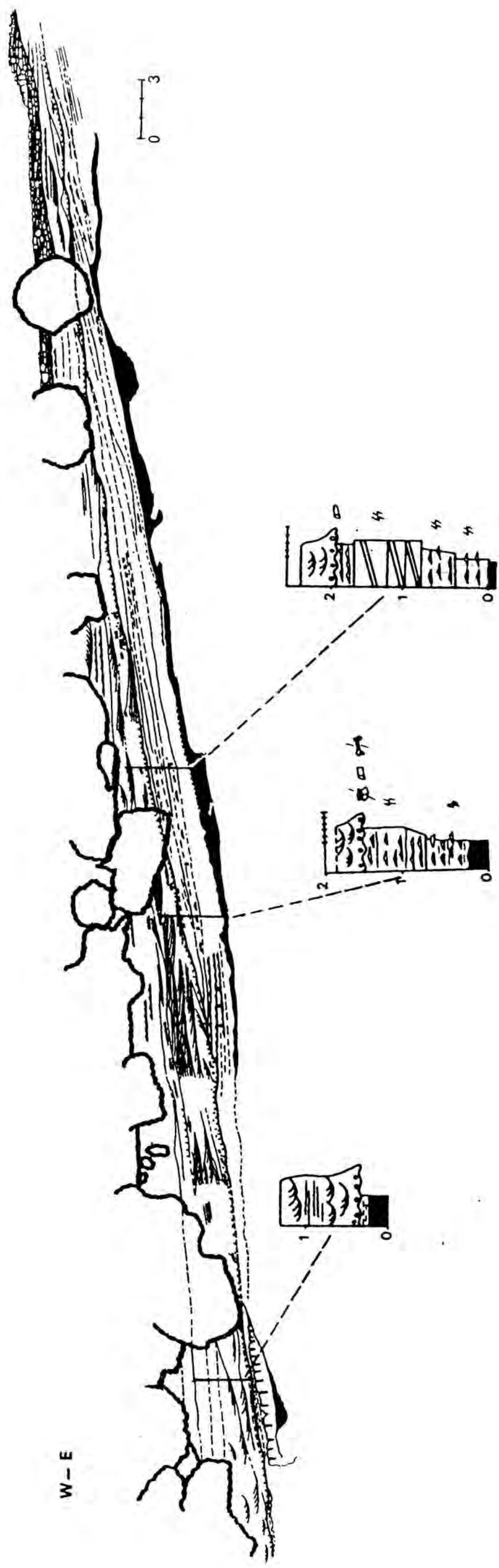


Fig 4.39. Mas de la Rourera. Fàcies de crevassed splay tallades per canal distributari multiepisòdic, pertanyents a la plana deltàica fluvial, en situació proximal. Fm. Argiles de Morella (S.D. aptiana inferior).

FIG. MARGAS Y CALIZAS DE LAS ARTOLAS

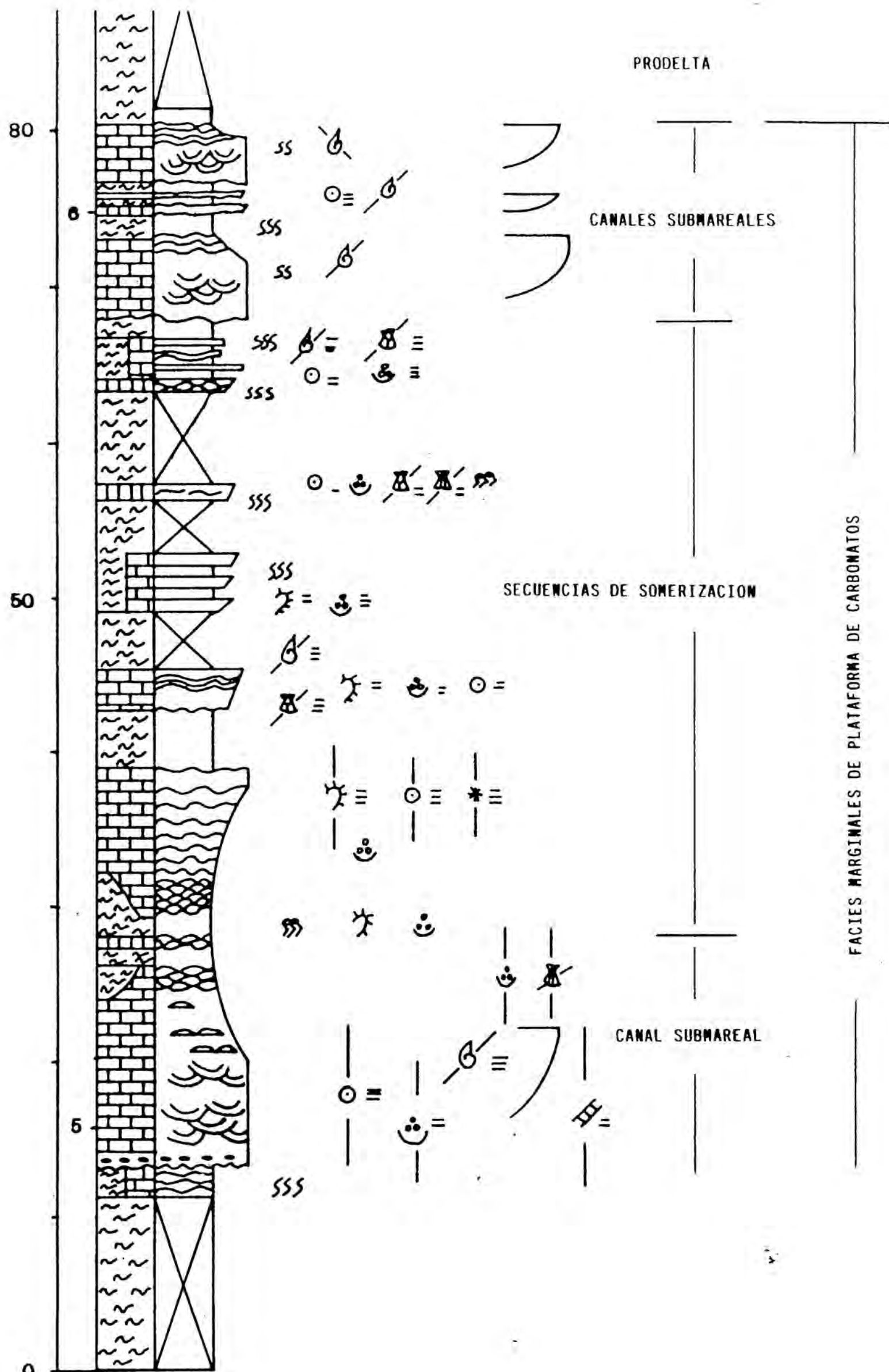


Fig. 4.40 Columna estratigràfica de la Rambla de Cervera. Tram superior de la S.D. barremiana.

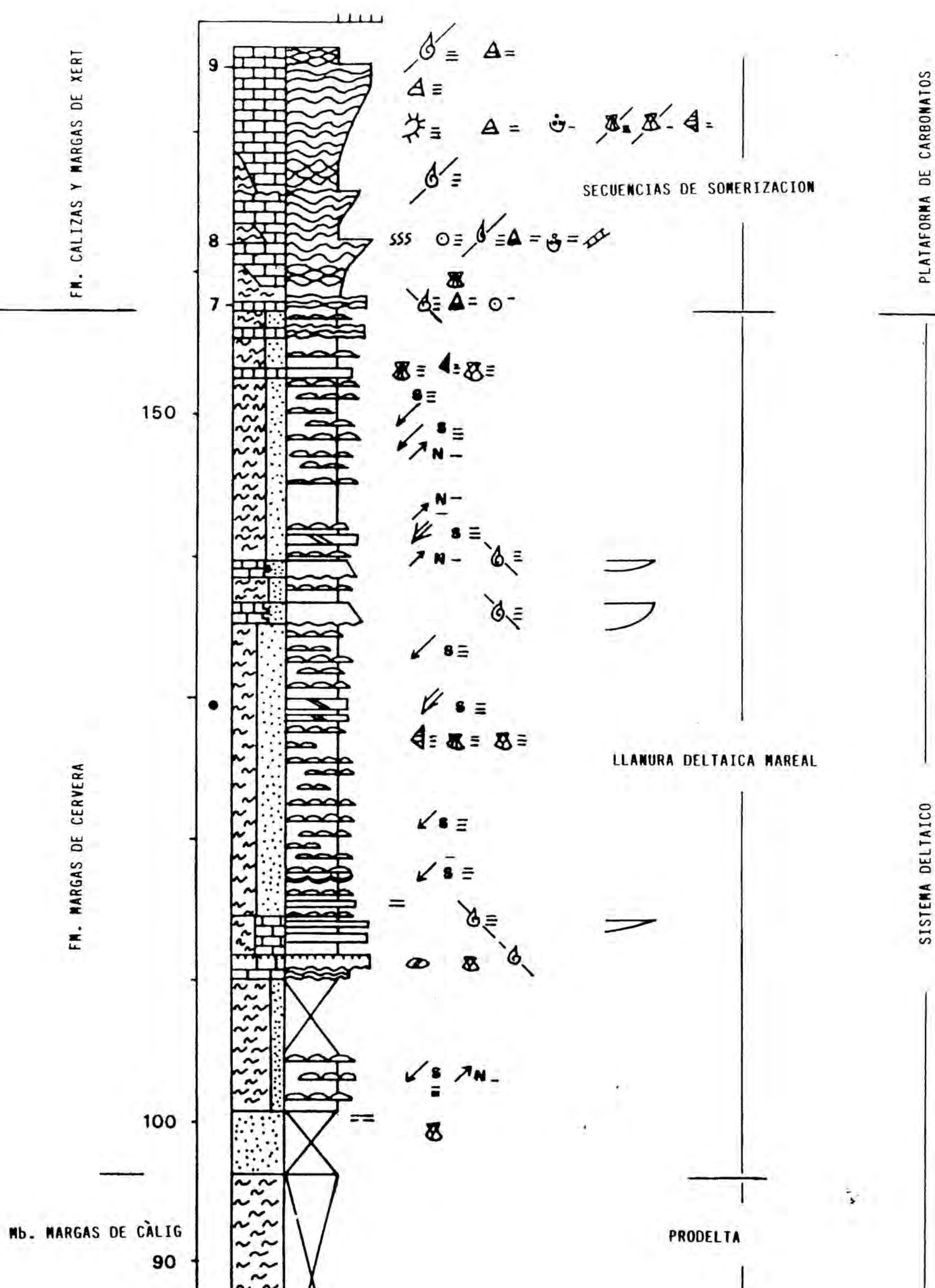


Fig 4.41. Columna estratigràfica de la Rambla de Cervera. Fm. margues de Cervera (pas lateral de fàcies cap al sud de la Fm. Argiles de Morella) i Fm. Margues de Xert (S.D. aptiana inferior).

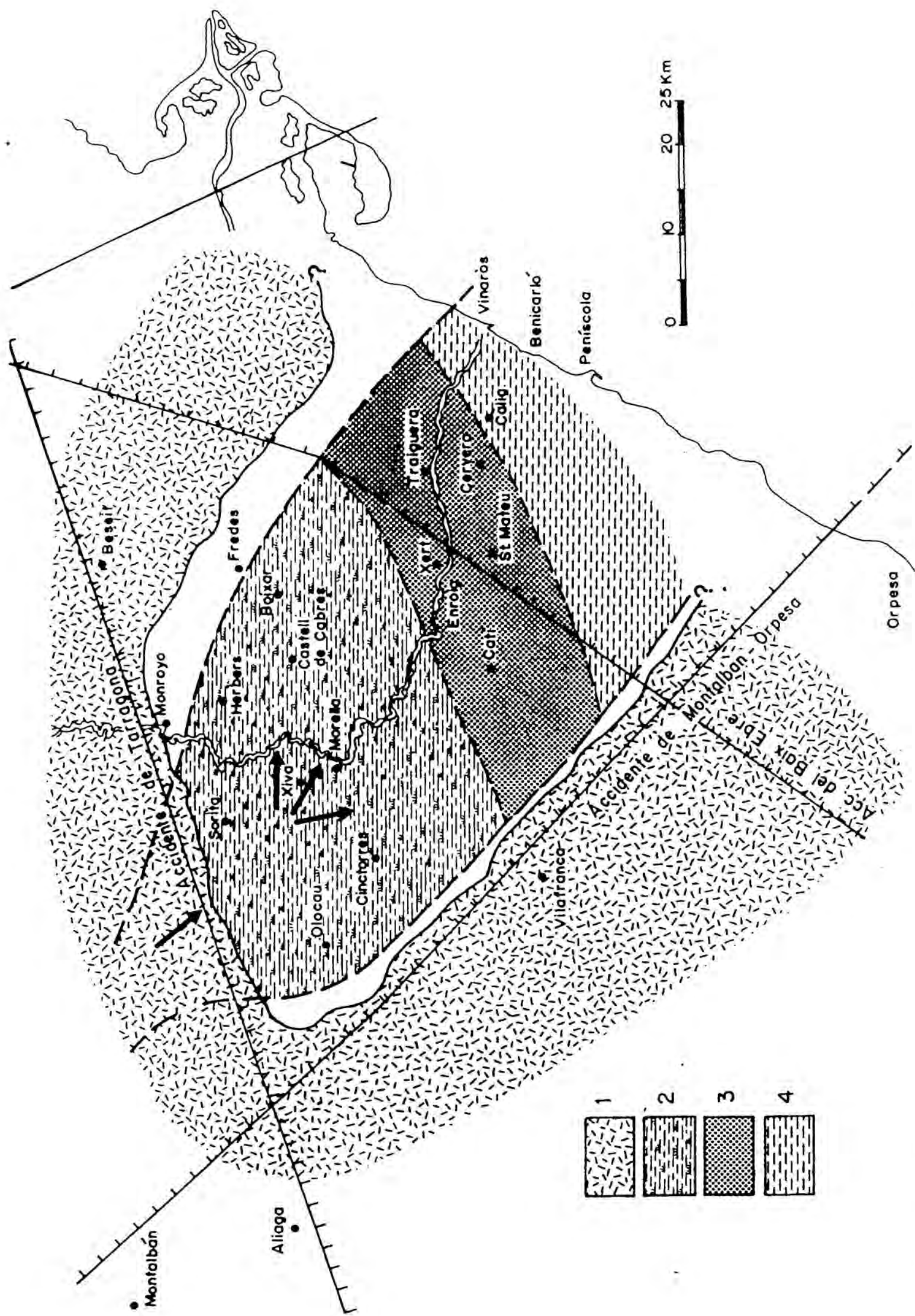


Fig. 4.42. Paleogeografia i distribució de fàcies del sistema deposicional deltaic de l'Aptià inferior. 1, zones topogràficament més elevades amb mínima o nula sedimentació deltaica; 2, plana deltaica fluvial; 3, plana deltaica marea]; 4, prodelta.

N-

-S

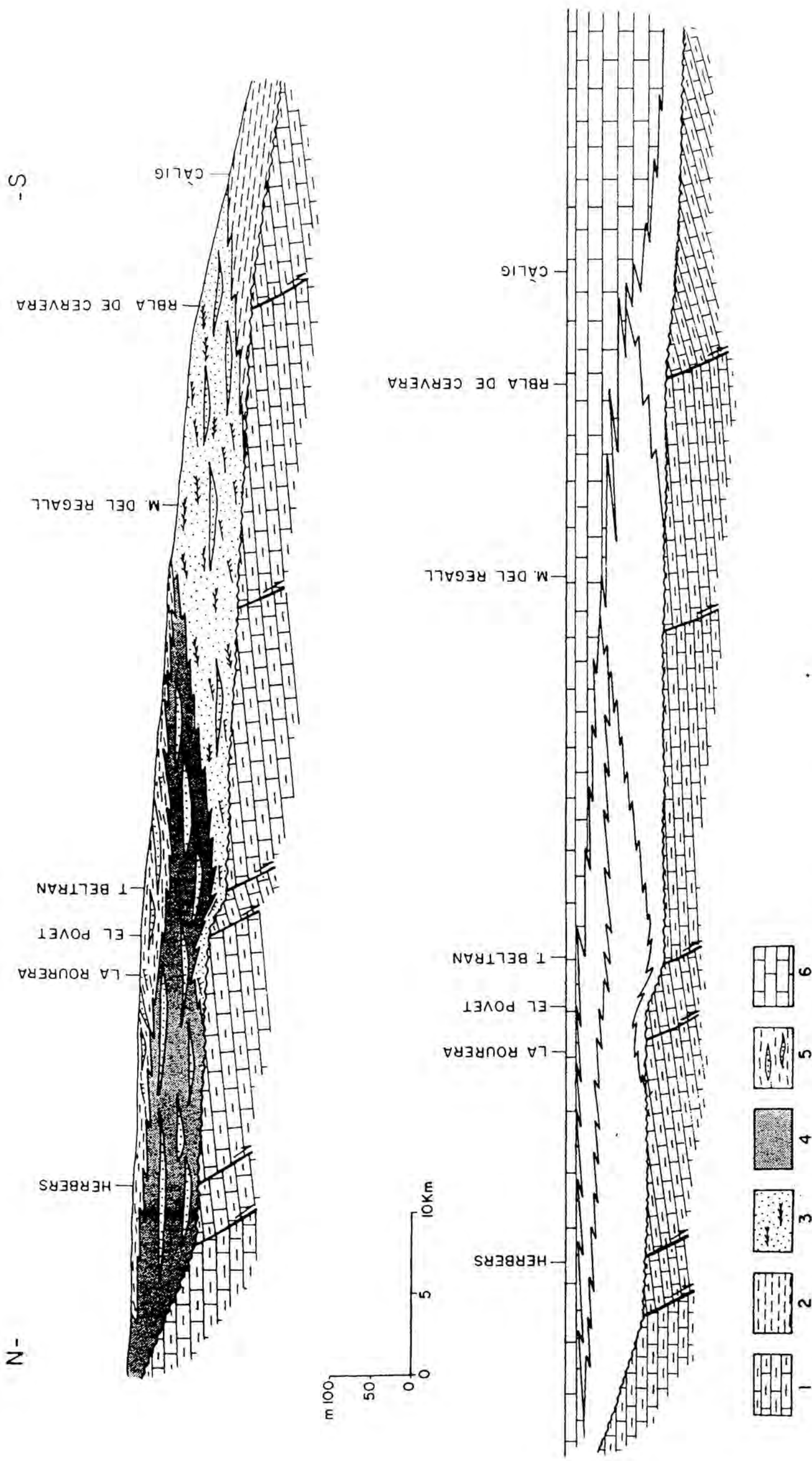


Fig. 4.44. Model deposicional del sistema deltaic de l'Aptià basal (Fm. Argiles de Morella i Margues de Cervera). S.D. apiciana. Relació entre els dos sistemes deposicionals: deltaic basal i de plataforma carbonatada. 1, Fm. Margues i Calcàries de les Artoles; 2, prodelta (Mb. margues de Cervera); 3, plana deltaica mareal (Fm. Margues de Cervera); 4, plana deltaica fluvial; 5, fàcies d'abandonament (4 i 5 pertanyents a la Fm. Argiles de Morella); 6, Fm. calcàries i margues de Xert.

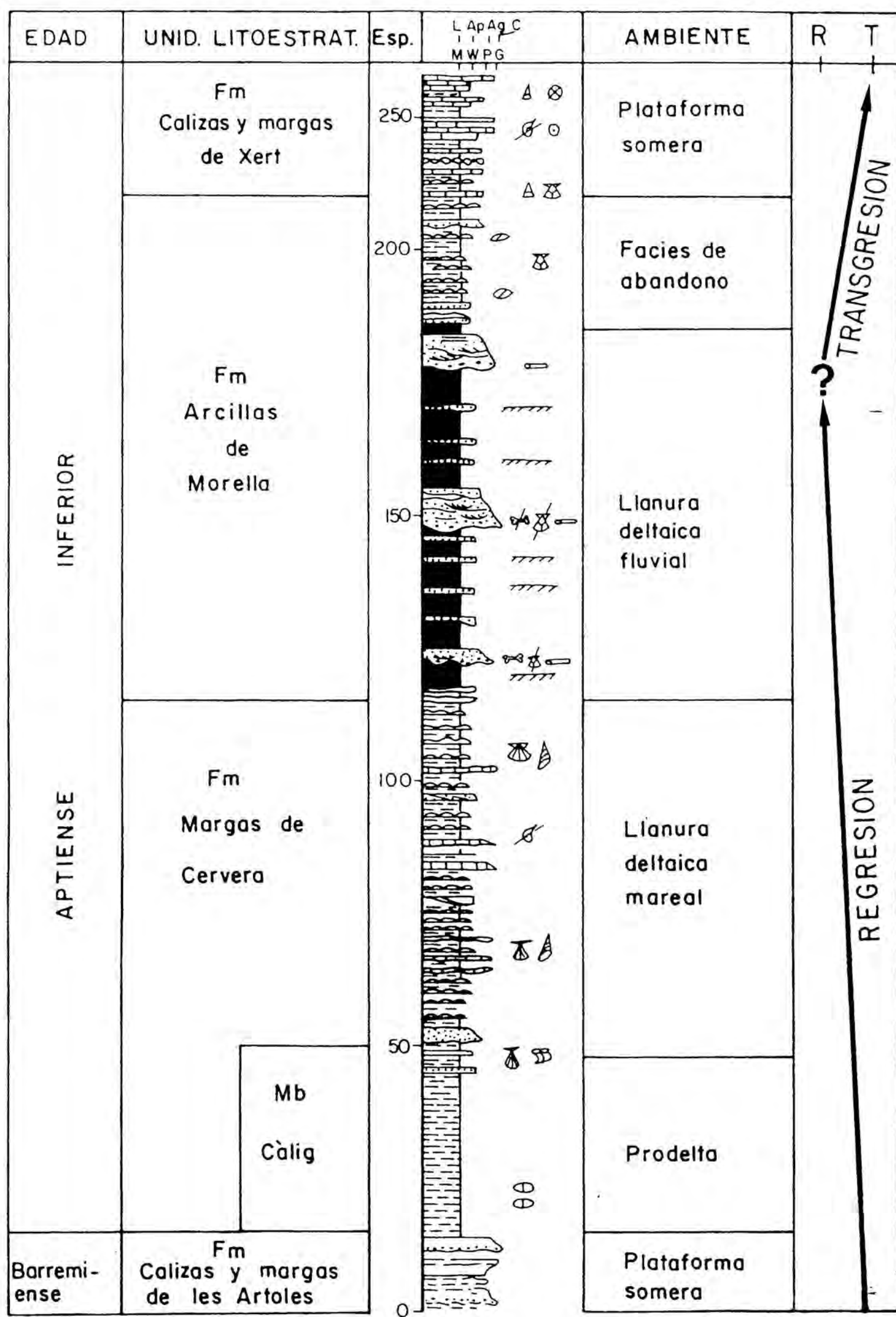


Fig. 4.45. Columna sintètica del sistema deltaic de l'Aptià basal.

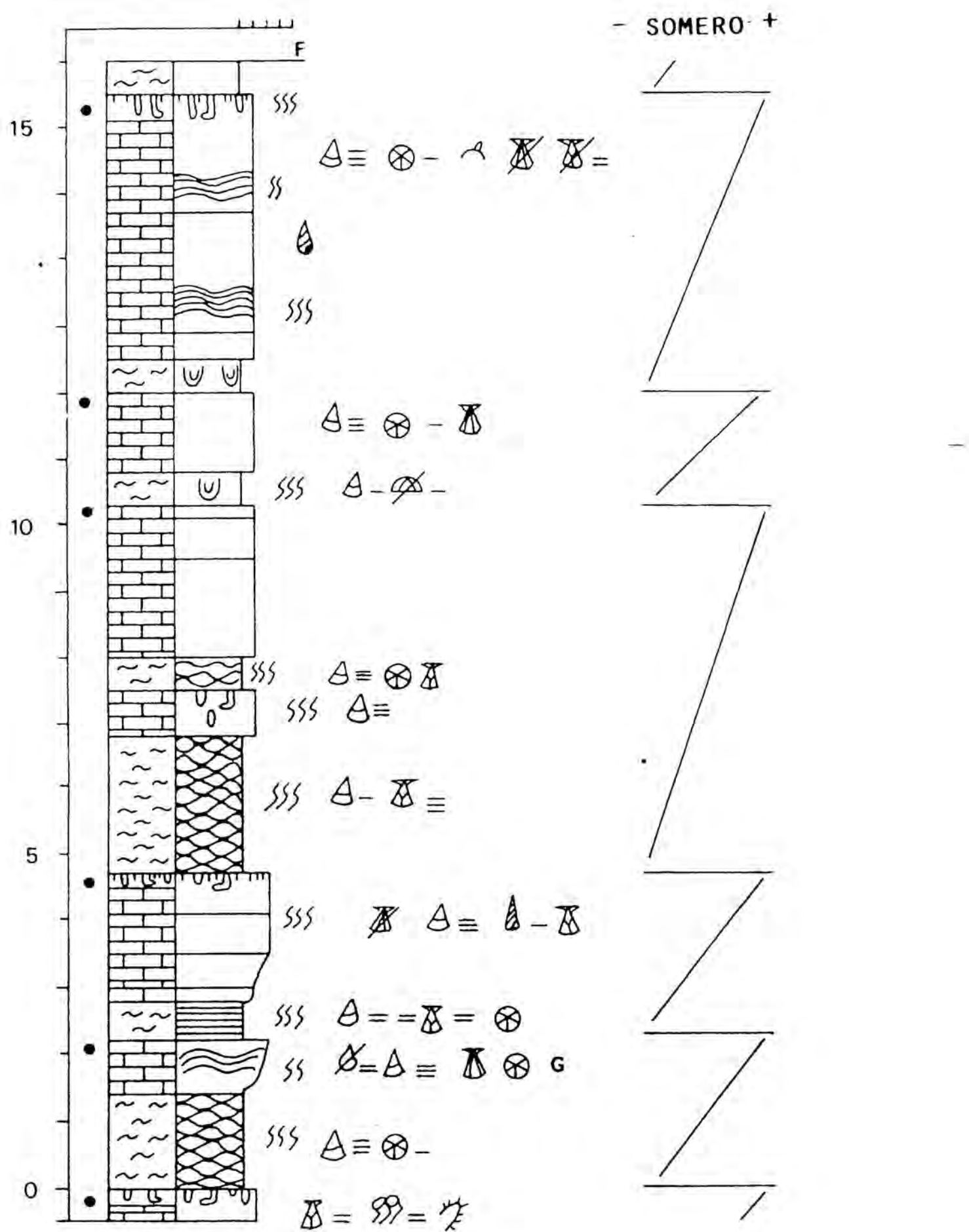


Fig. 4.46. El Colomer (Morella). Seqüències de somerització, cap a sostre, de baixa energia. Fm. Calcàries i margues de Xert (S.D. aptiana inferior).

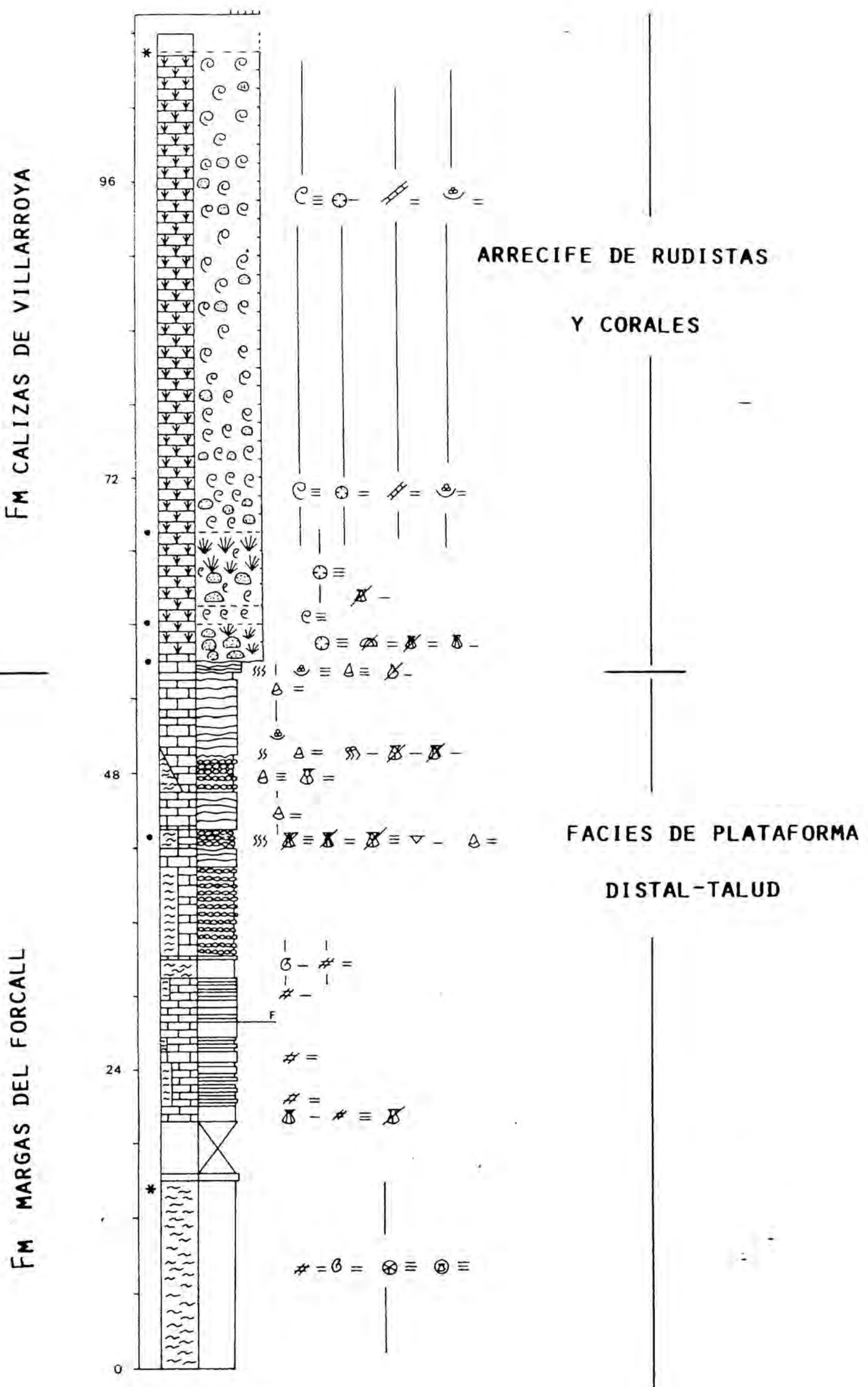


Fig. 4.47. Columna estratigráfica de la Mola de Xert. (S.D. aptiana superior).

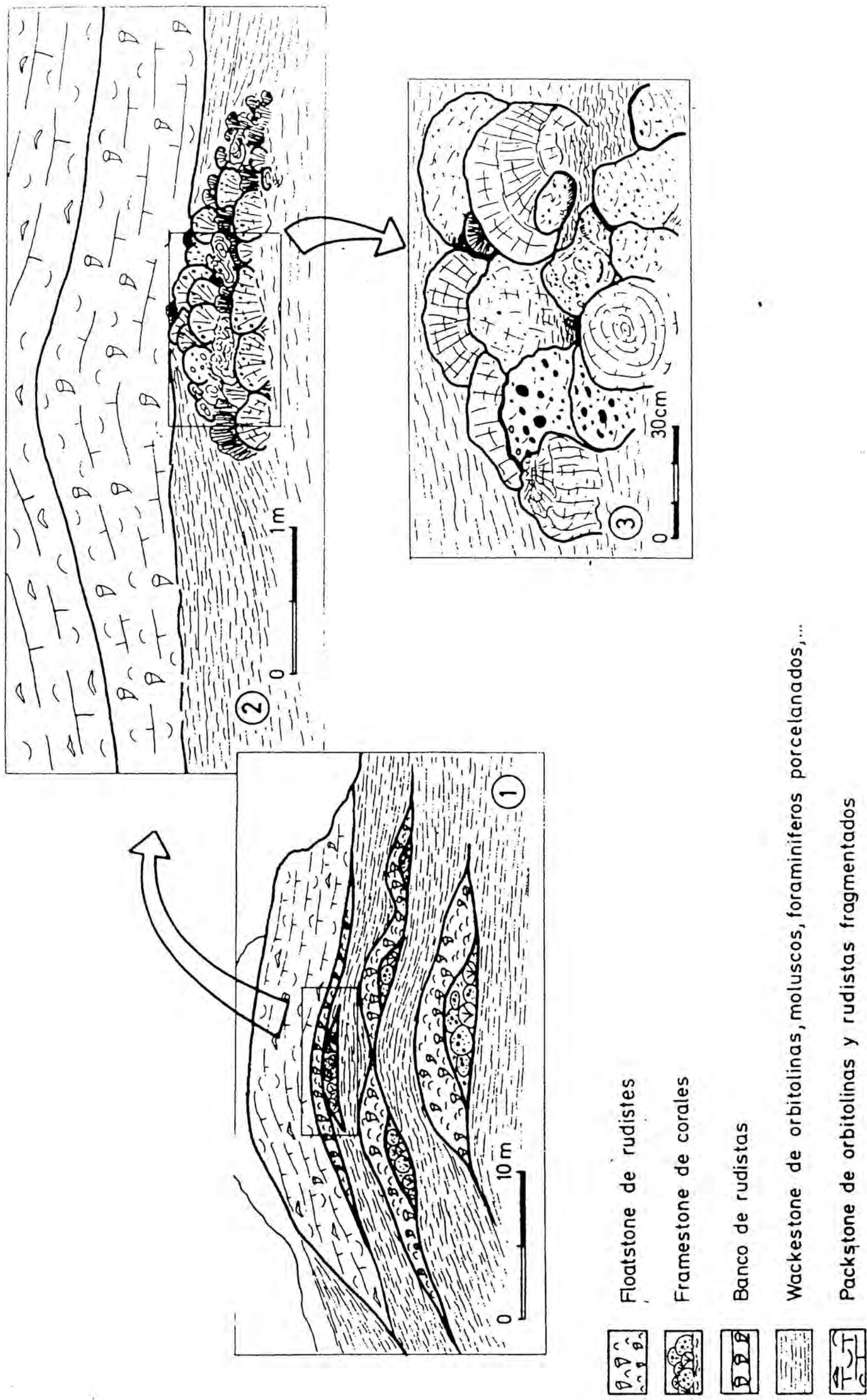


Fig. 4.48. Detall del marge de la plataforma de carbonats de la S.D. de l'Aptià Superior a Xodos. Esculls de coralls i rudistes de geometria biohermal.

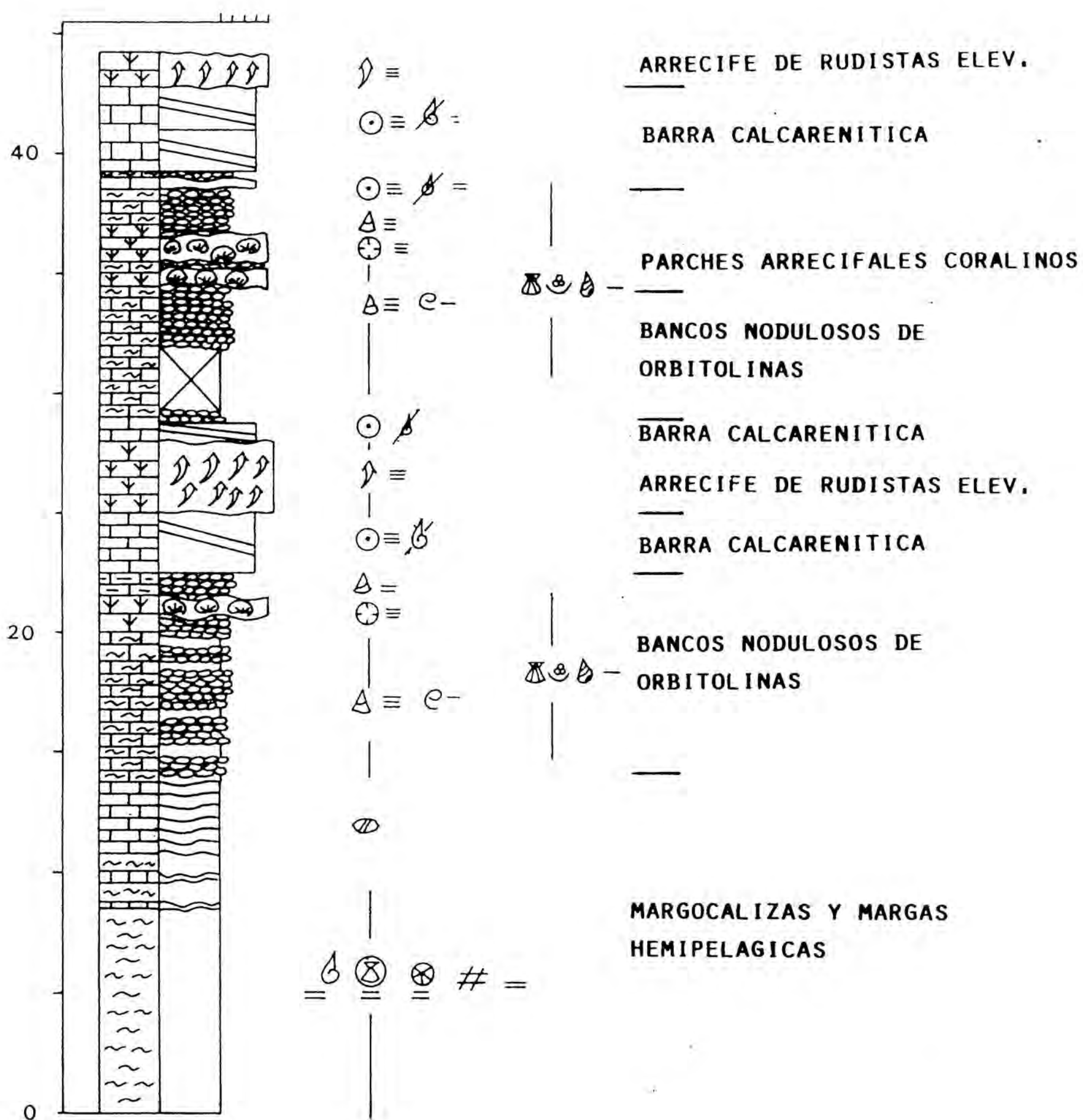


Fig. 4.49. Columna estratigràfica de la Font de l'Albi. Fàcies de talús de la Fm. Calcàries de Villarroya (S.D. aptiana superior).

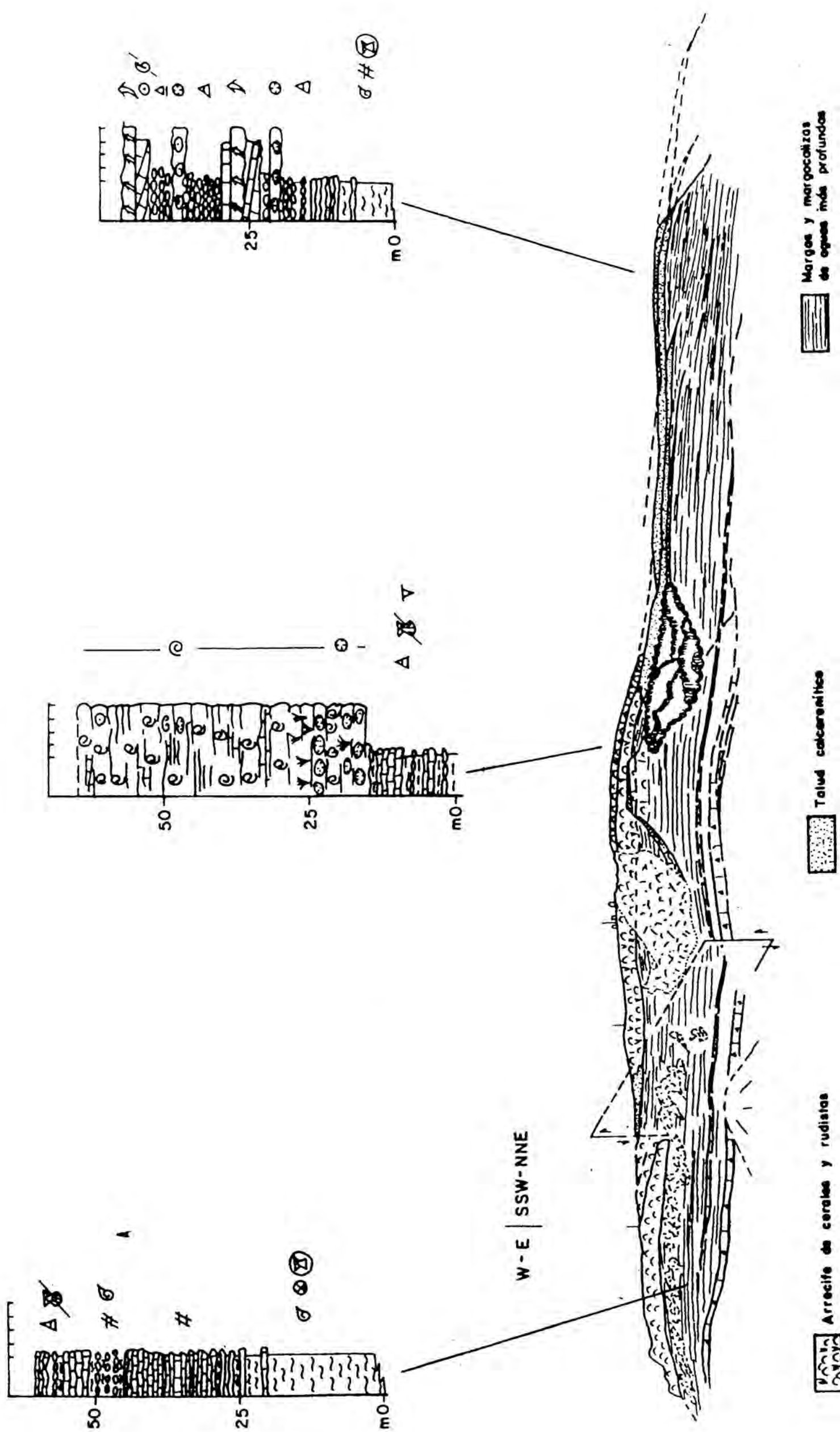


Fig. 4.50. Mola de Xert desde la carretera N-232, km25,5. Geometria de progradació de la Fm. Calcàries de Villarroya, sobre la Fm. Margues del Forcall (S.D. aptiana superior). A, fàcies d'esculls de corals i rudites. B, fàcies de Talús: bancs marginals, claps d'esculls de corals i elevadors i rudistes elevadors i bâncs d'orbitolines. C, fàcies de plataforma oberta.

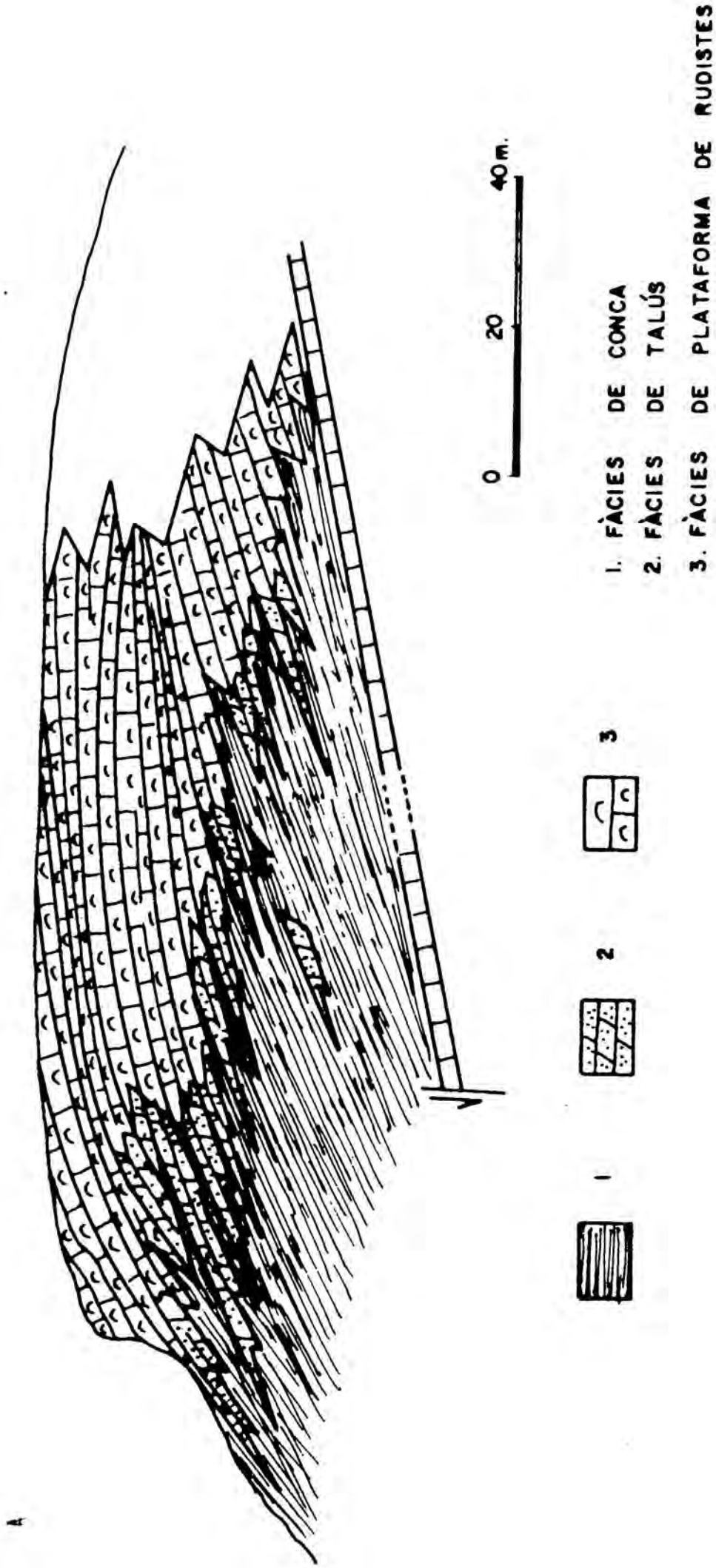


Fig 50a: Geometria del trànsit talús/conca de la plataforma de rudistes del l'Aptià superior, sector N de la Mola de Xert.

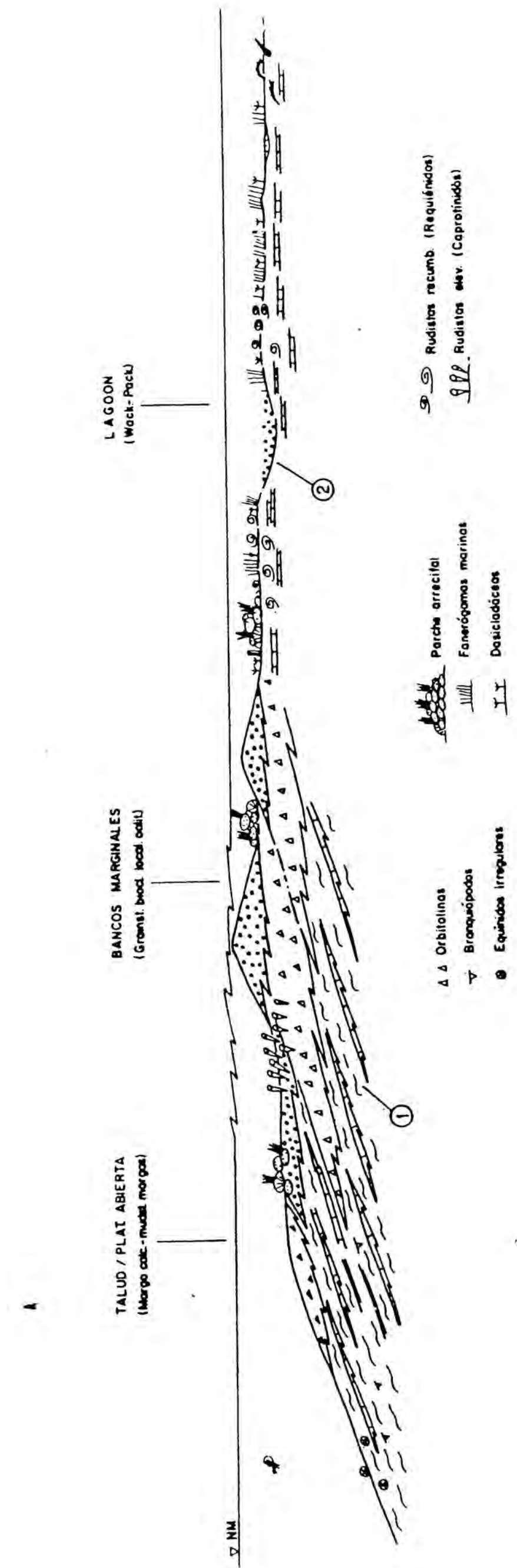


Fig. 4.51. Model deposicional de la S.D. aptiana superior. 1, Fm. Margues del Forcall. 2, Fm. Calcaries de Villarroya.

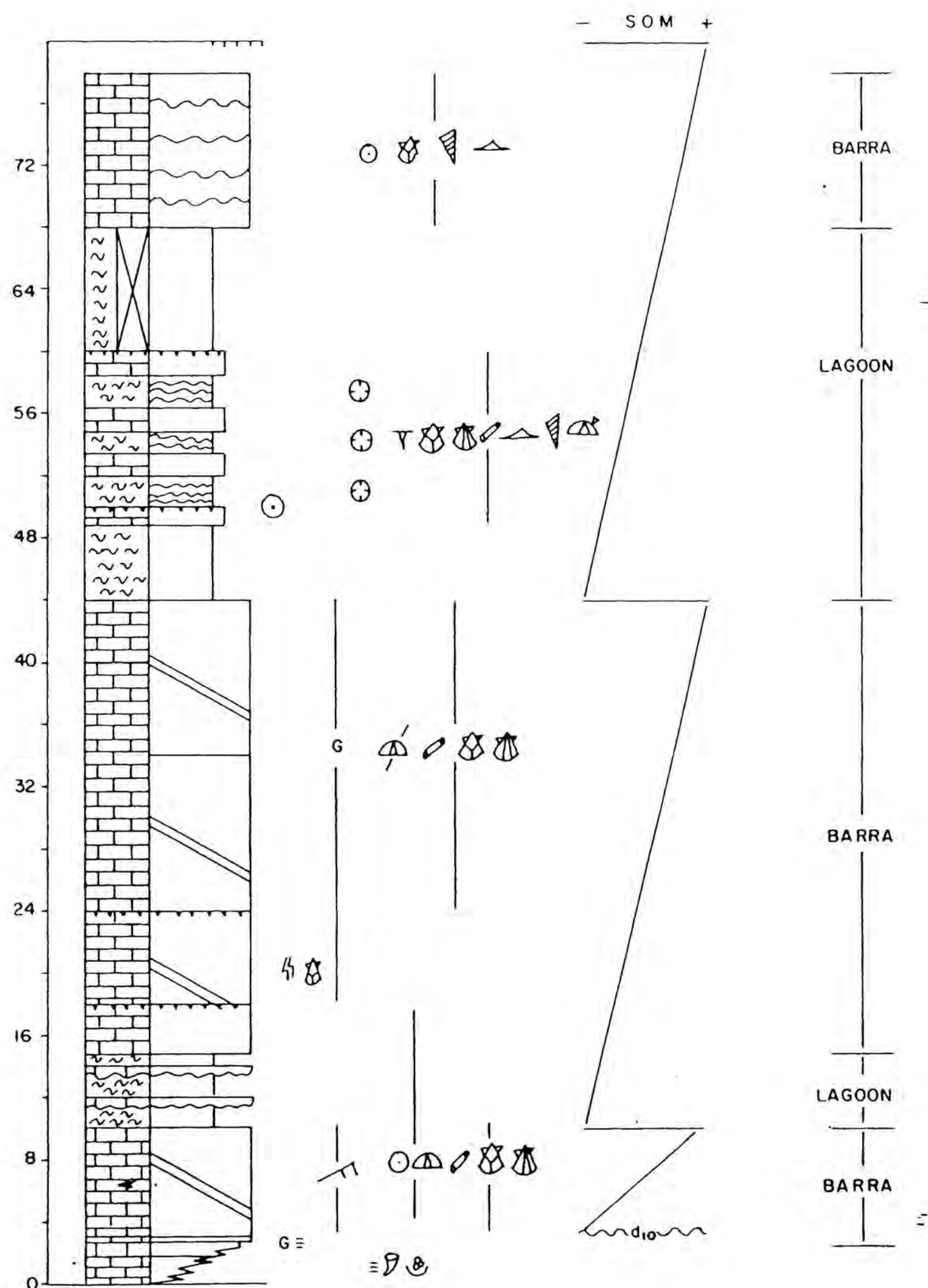


Fig 4.52. Seqüència de fàcies del Mb. Calcàries de la Iglesuela (Fm. Calcàries de Benassal), S.D. de l'Albià inferior.

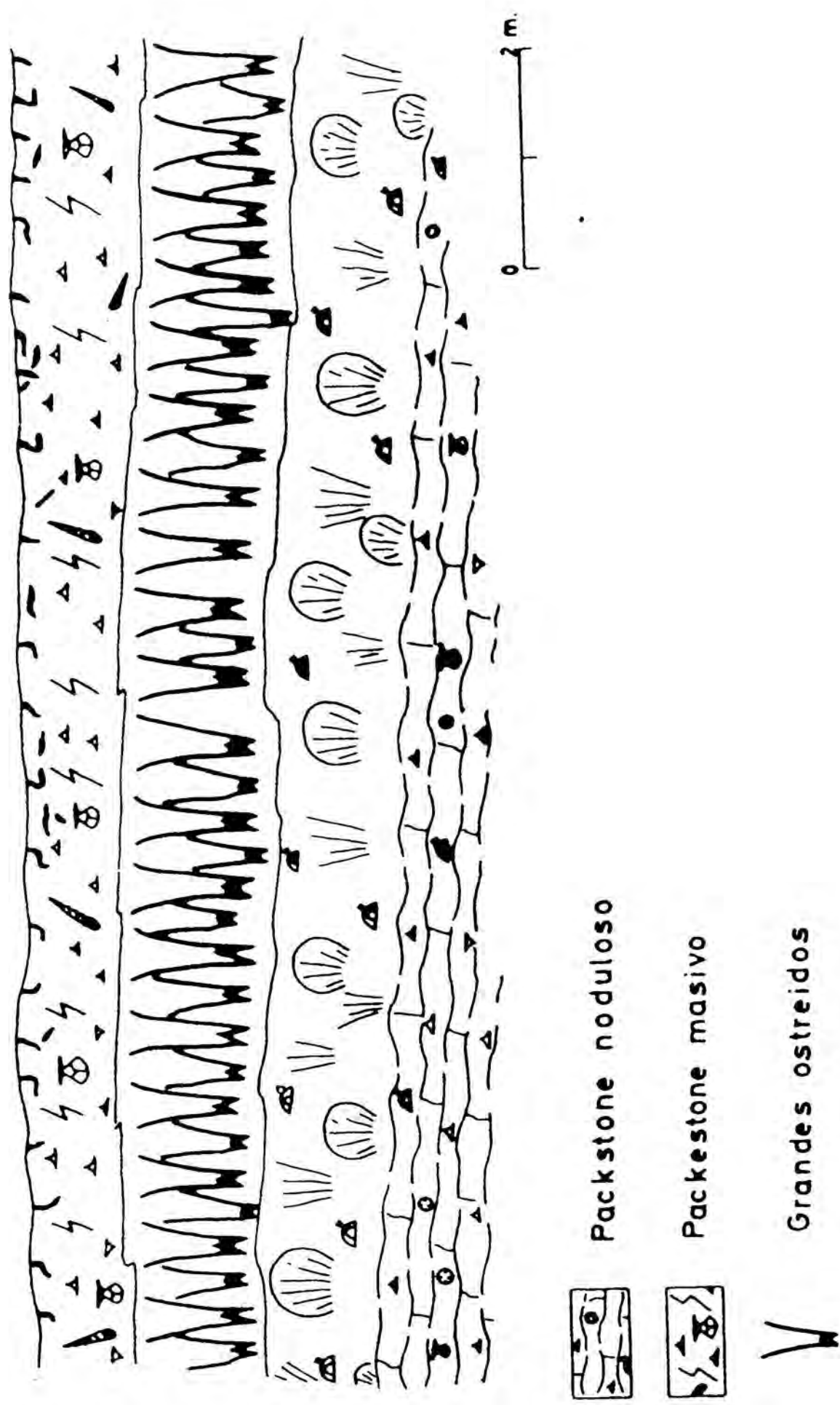


Fig. 4.53. S.D. de l'Albià inferior. Esculls biosstromals de coralls i grans ostríoids en posició de vida. Fàcies de lagoon.

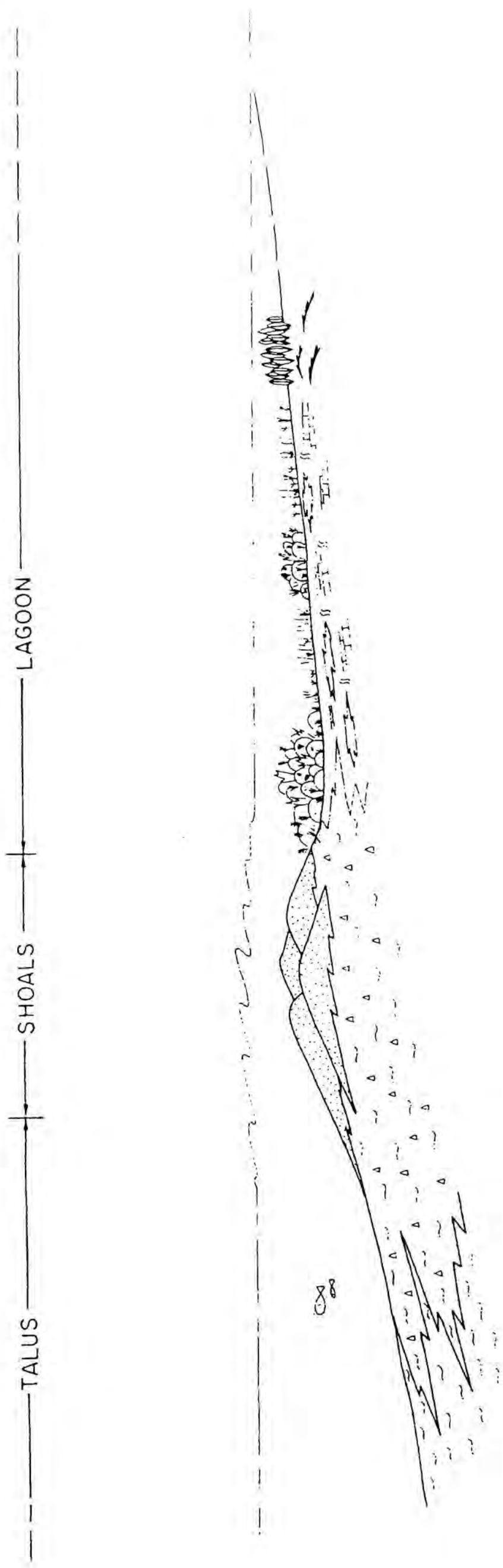


Fig. 4.53a. Model deposicional de la plataforma de carbonats de la S.D. de l'Albià inferior.

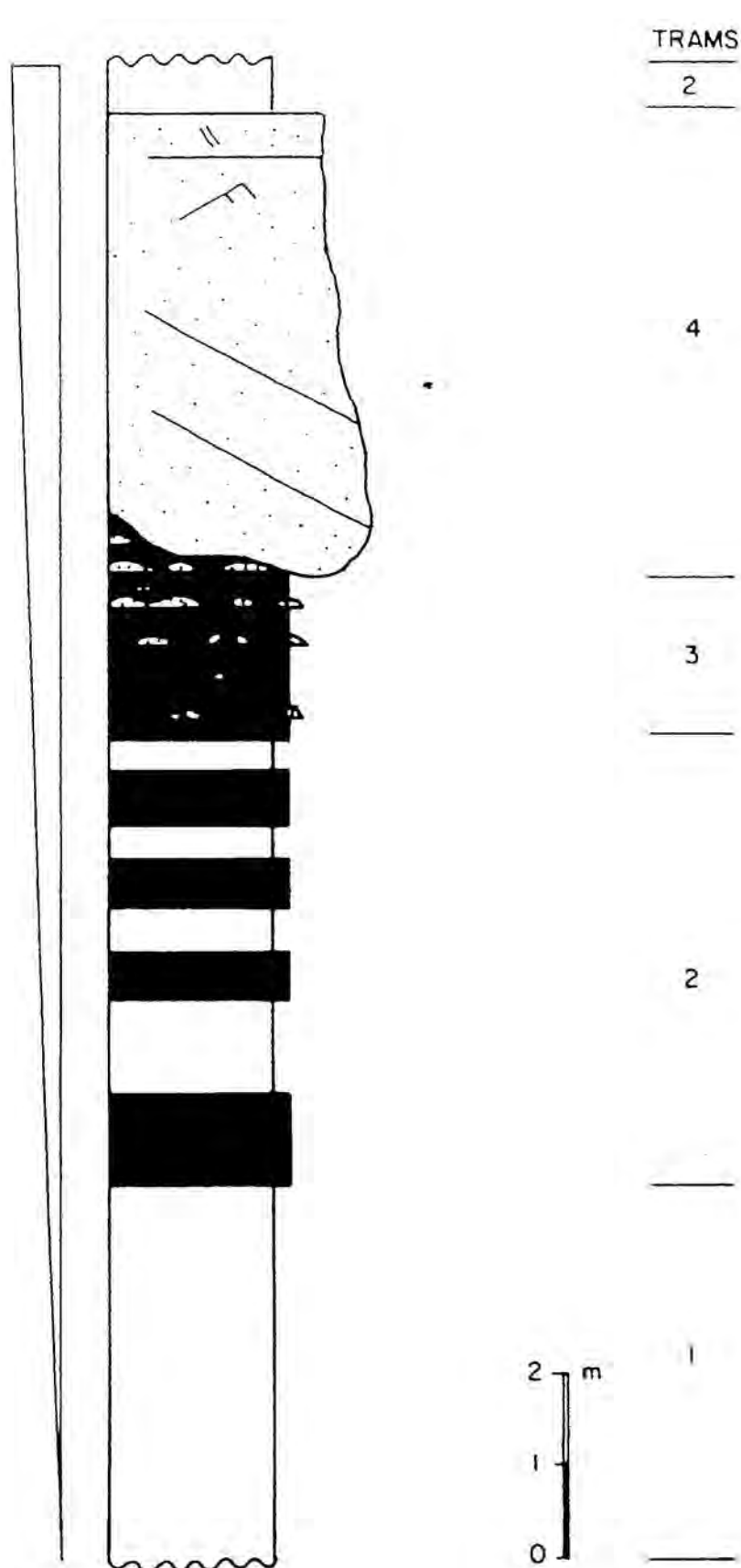


Fig. 4.54. Seqüència de maresma/canal distributari. 1, maresma; 2, fàcies de desbordament; 3, seqüència progradant de levée; 4, canal de tendència meandriforme?.

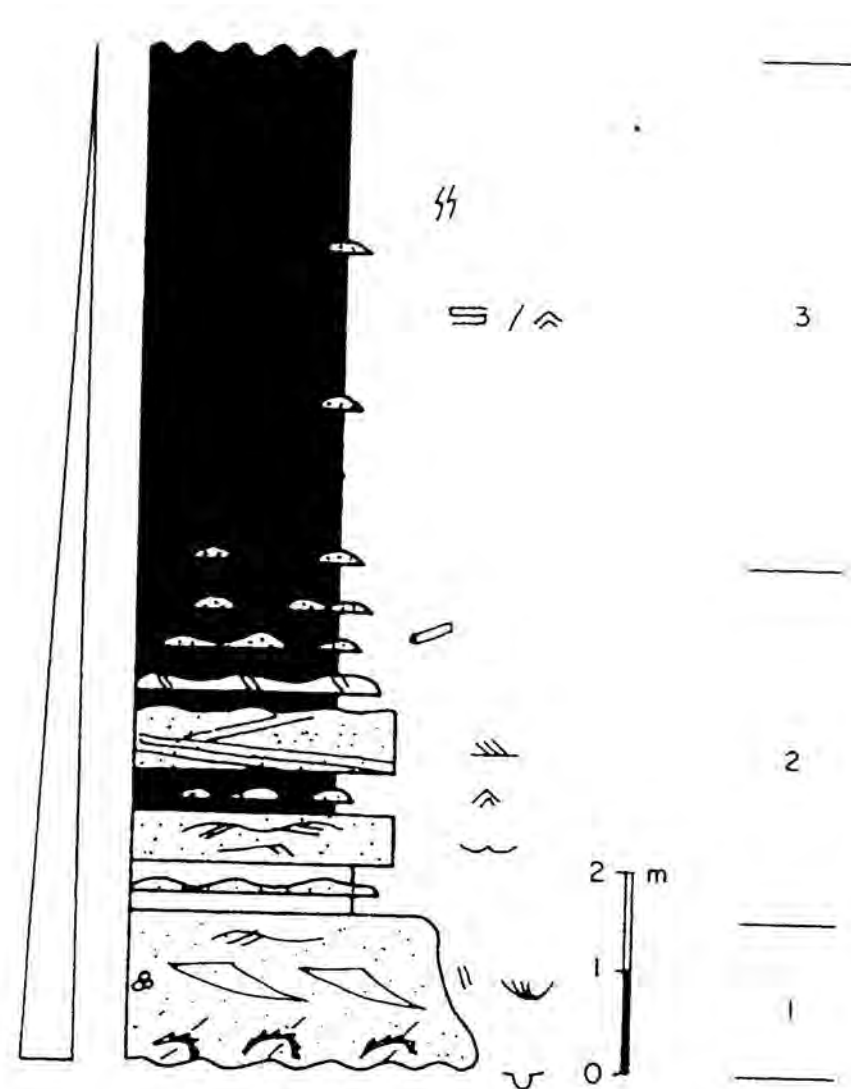


Fig. 4.55. Cicle regressiu idealitzat d'esplanada mareal. 1, canal sub/intertidal; 2, mixed/sand flat; 3, mud flat.

TRAMS

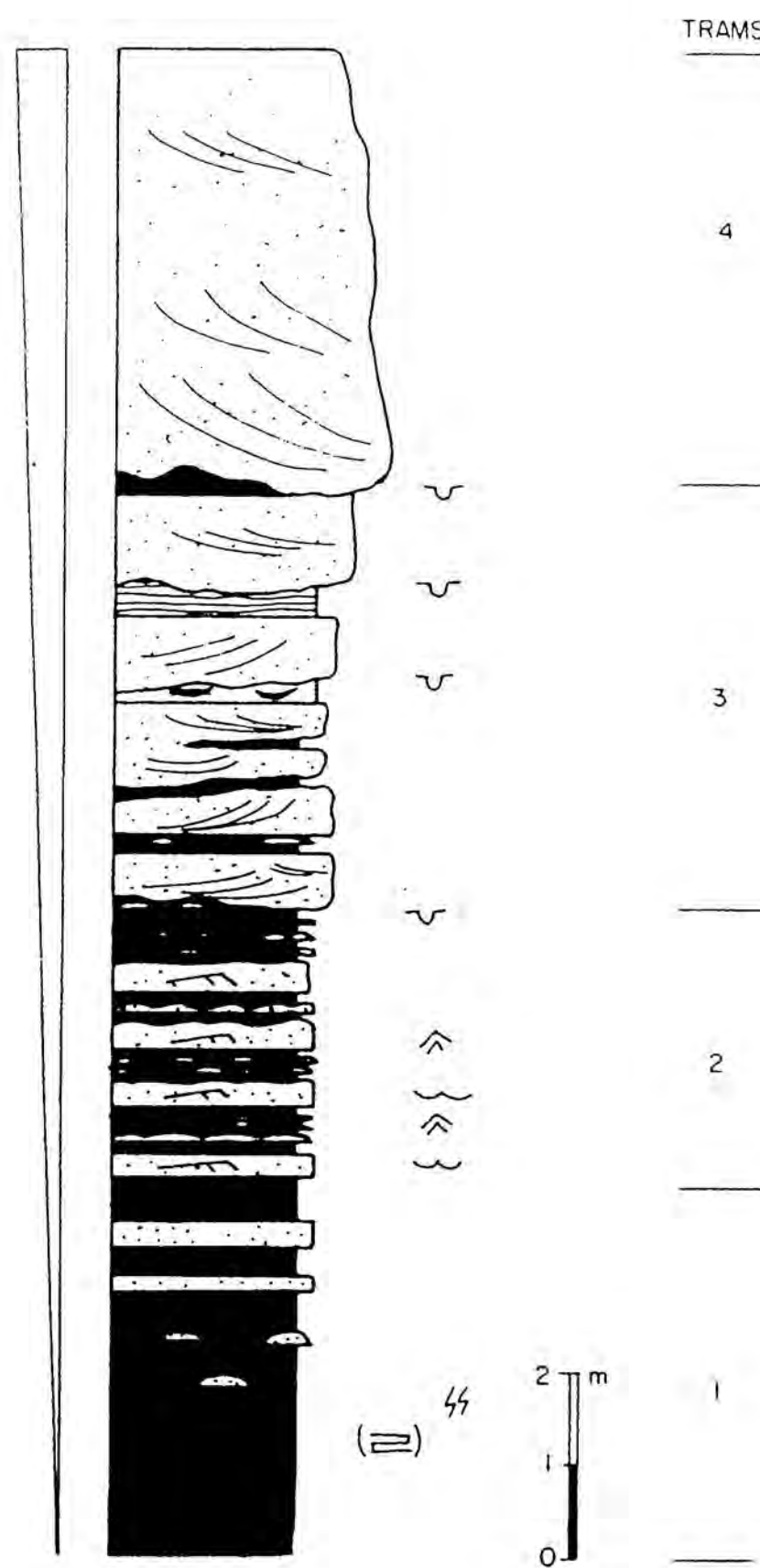


Fig 4.56. Sèquència de progradació deltàica. Tidal sand bar. 1, barra distal; 2, barra intermèdia; 3, barra proximal; 4, canal.

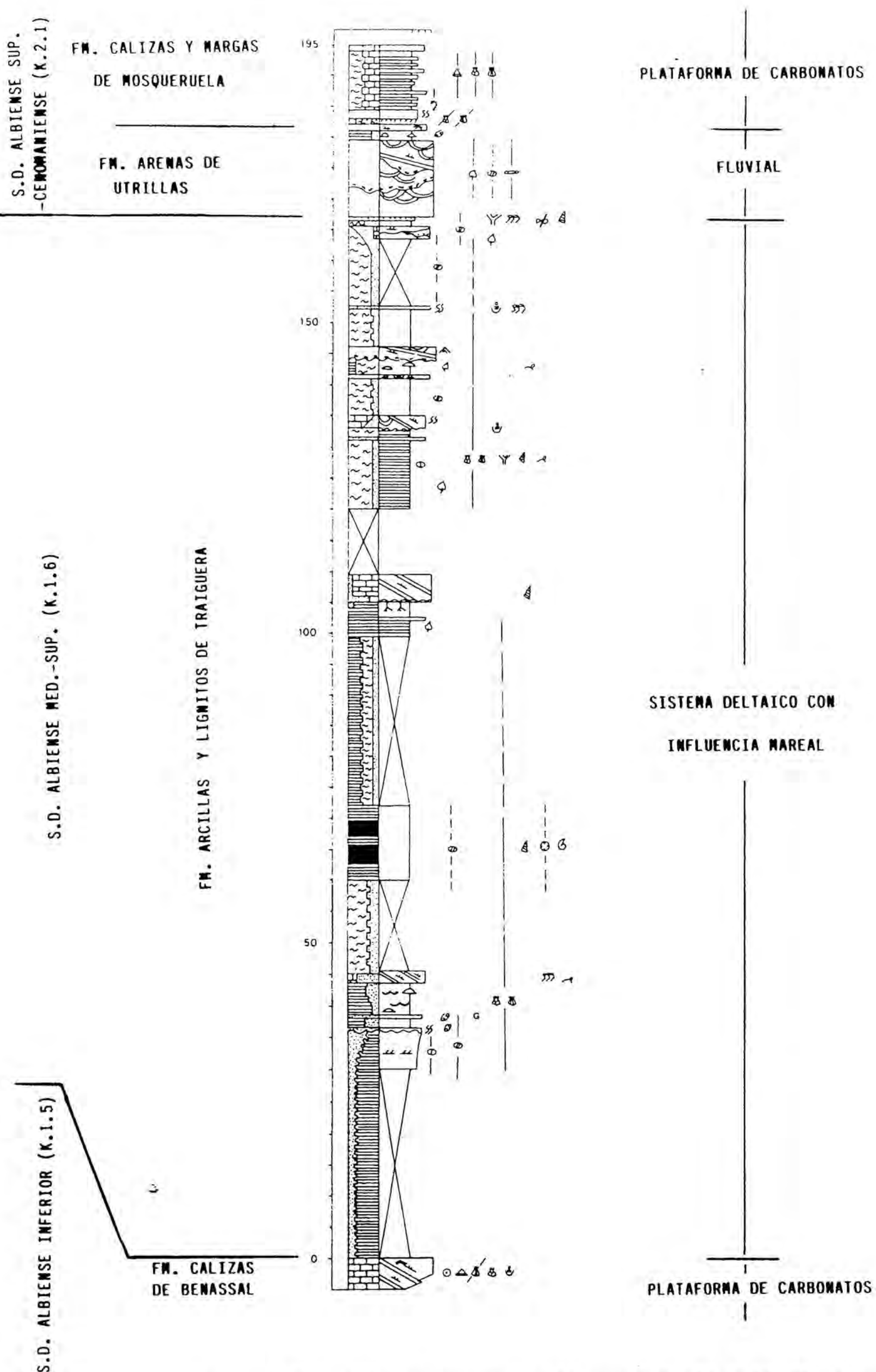


Fig. 4.57. Columna estratigráfica del Saüló Vell (Traiguera).

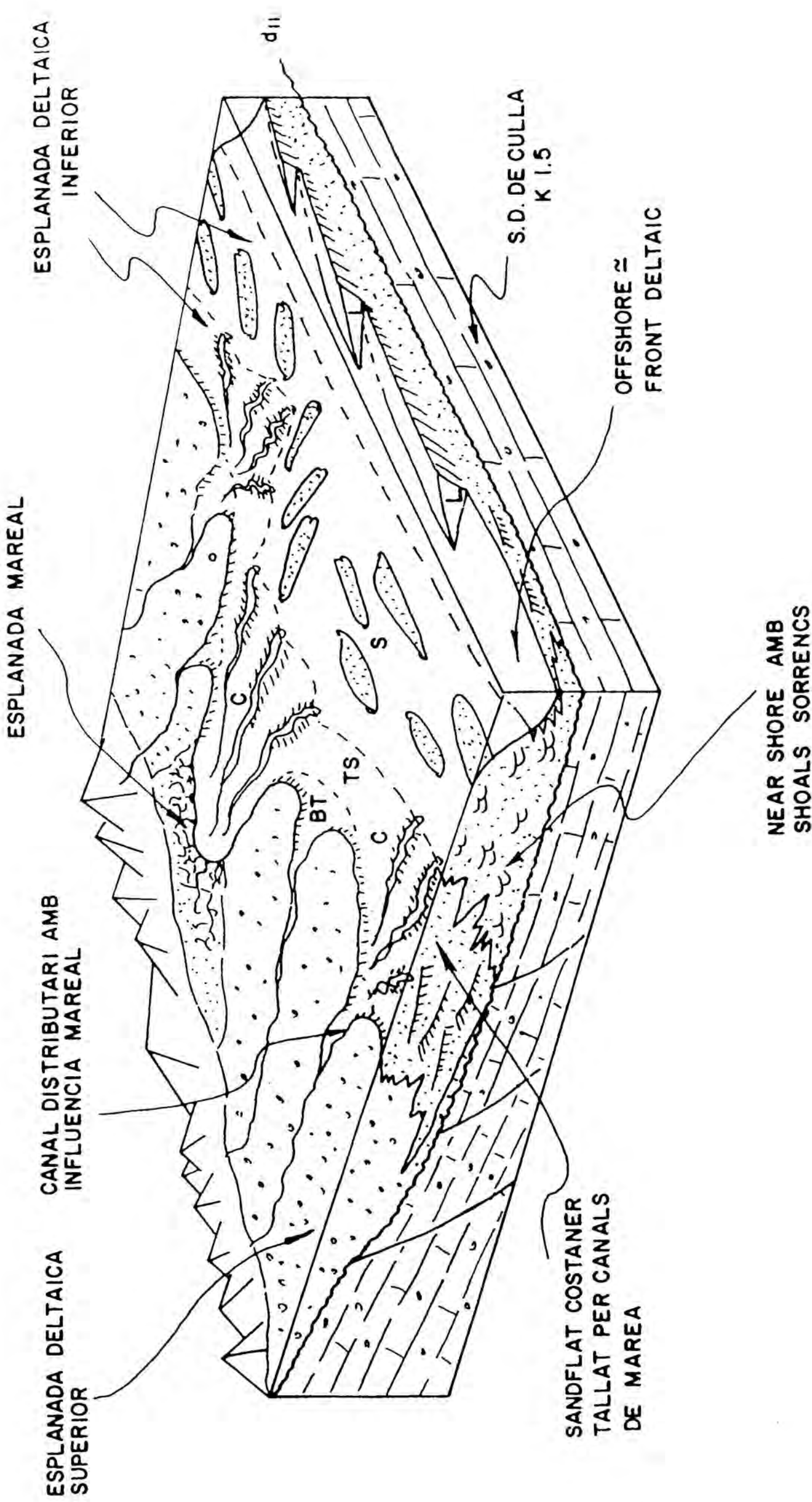


Fig. 4.58. Model deposicional de la S.D. de l'Albià mitjà. Sistema deltaic dominat per les marees. C, canals de marea; BT, barres transversals; TS, plana sorrenca de marea; S, shoals del near shore; L, bancs lumaquèl·lics.

5. D I A G È N E S I

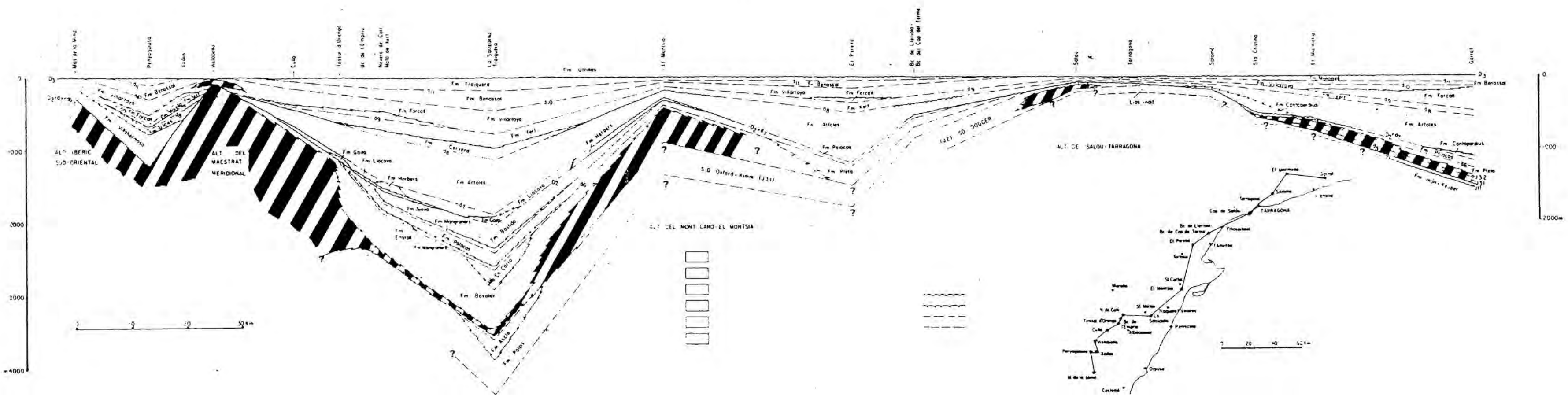


Fig 5.1. Relació espacial dels principals cossos dolomítics en relació amb els alts paleogeogràfics. La llegenda és igual que a la fig. 3.30.

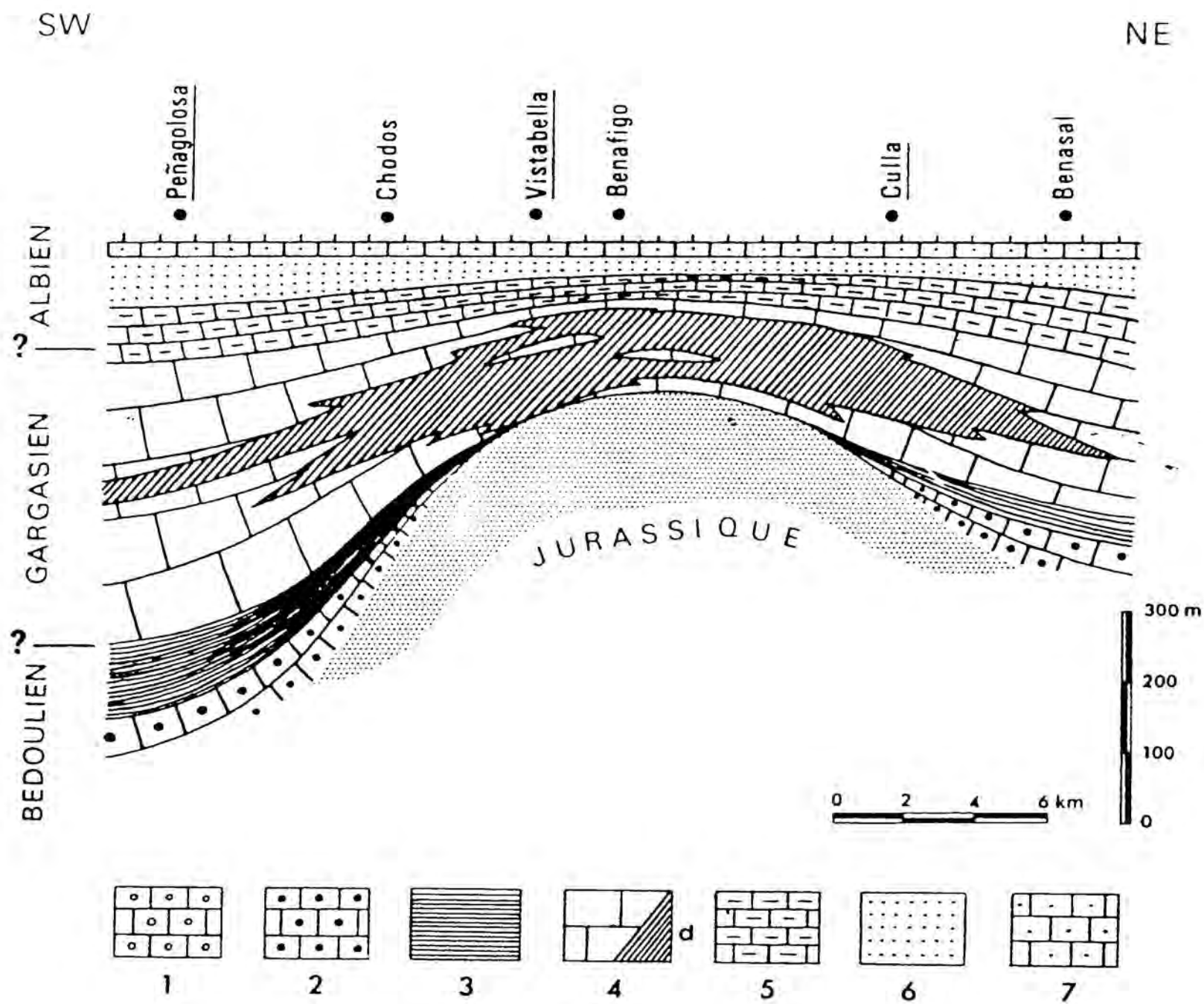


Fig. 5.2. Dolomitització del Gargasian en relació a l'Alt del Maestrat meridional, segons Canero i, 1974.

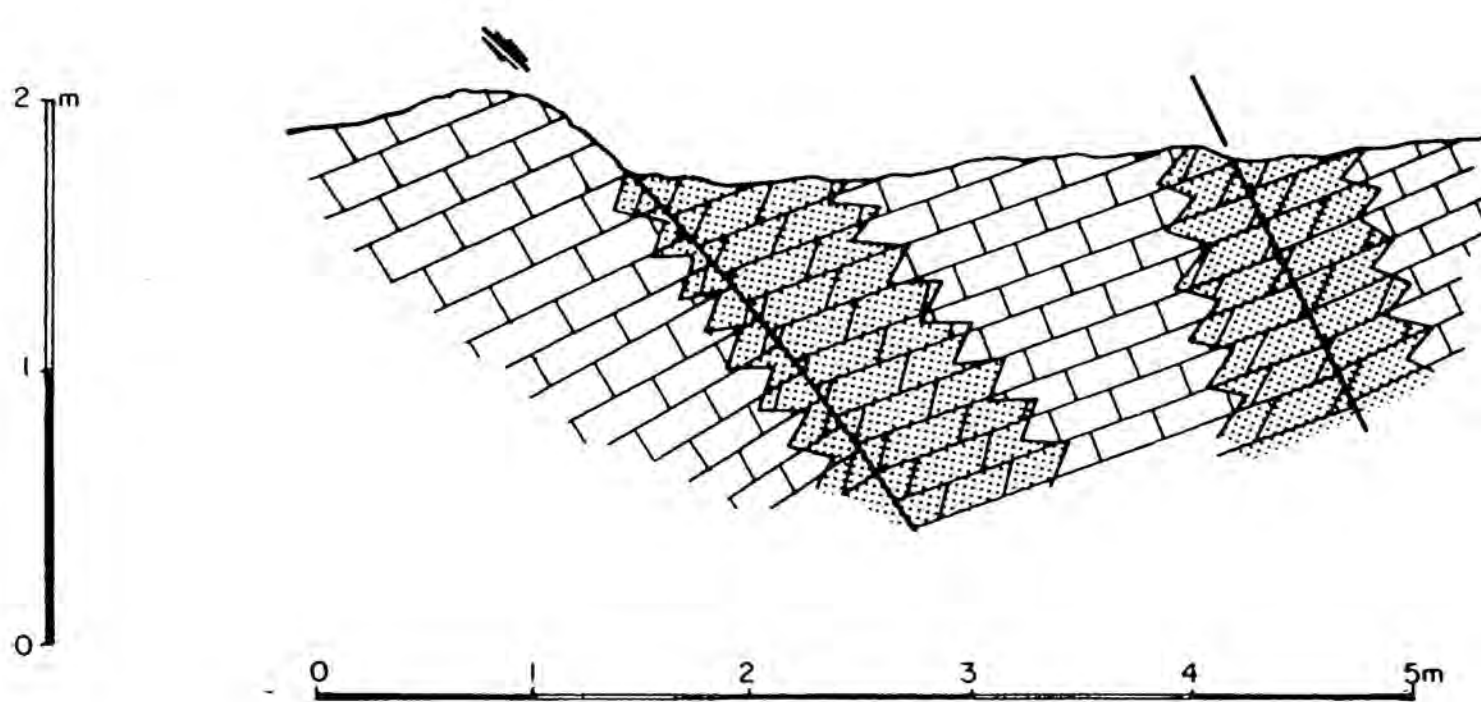
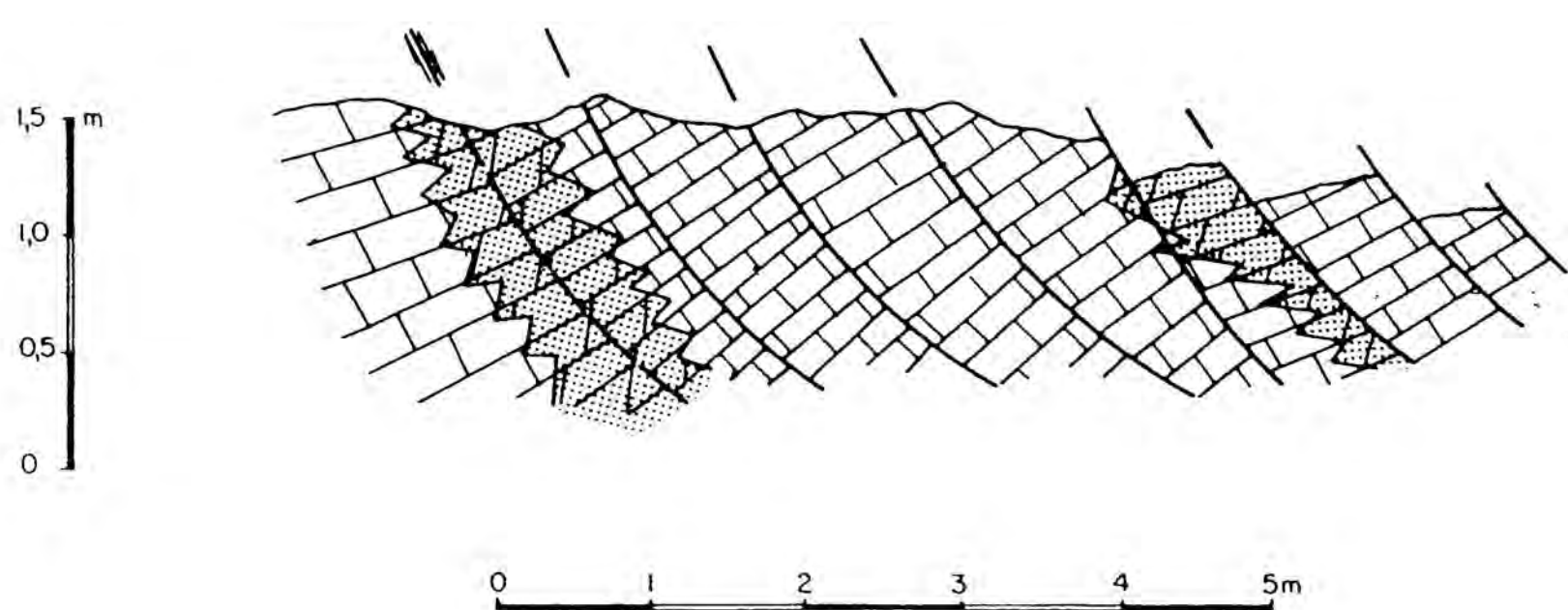


Fig. 5.3. Relació entre dolomitització i fracturació als materials kimmeridgians del Coll del Vidre. Carretera de l'atzeneta a Viscabella del Maestrat.

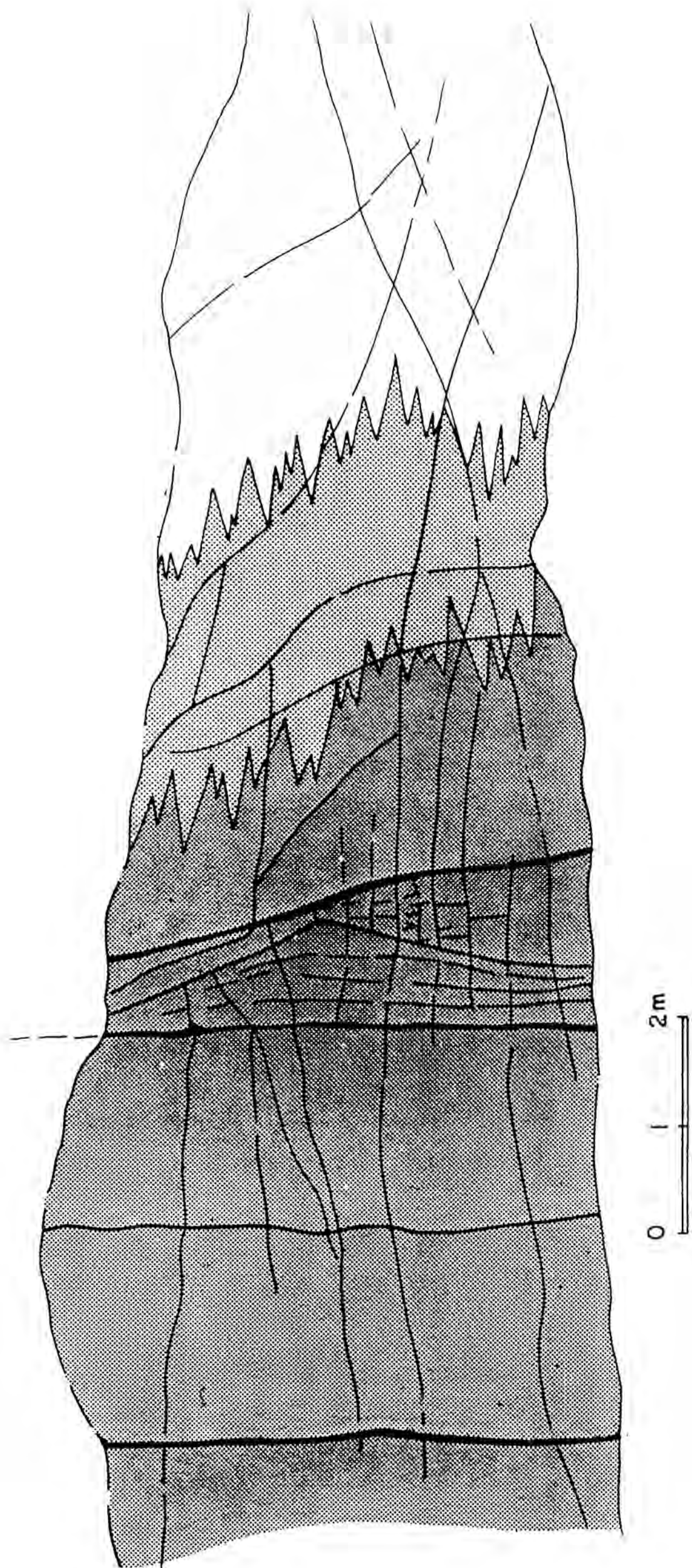


Fig. 5.4. Herbeset. Relació dolomítització-fracturació en les calcàries de la Fm. Calcàries de Villarroja (S.D., aptiana superior). La trama més fosca indica major grau de dolomitització.

SIERRA DE FERRIZ

Schéma paléogéographique - Coupe NNE.-SSO. (Sans échelle)

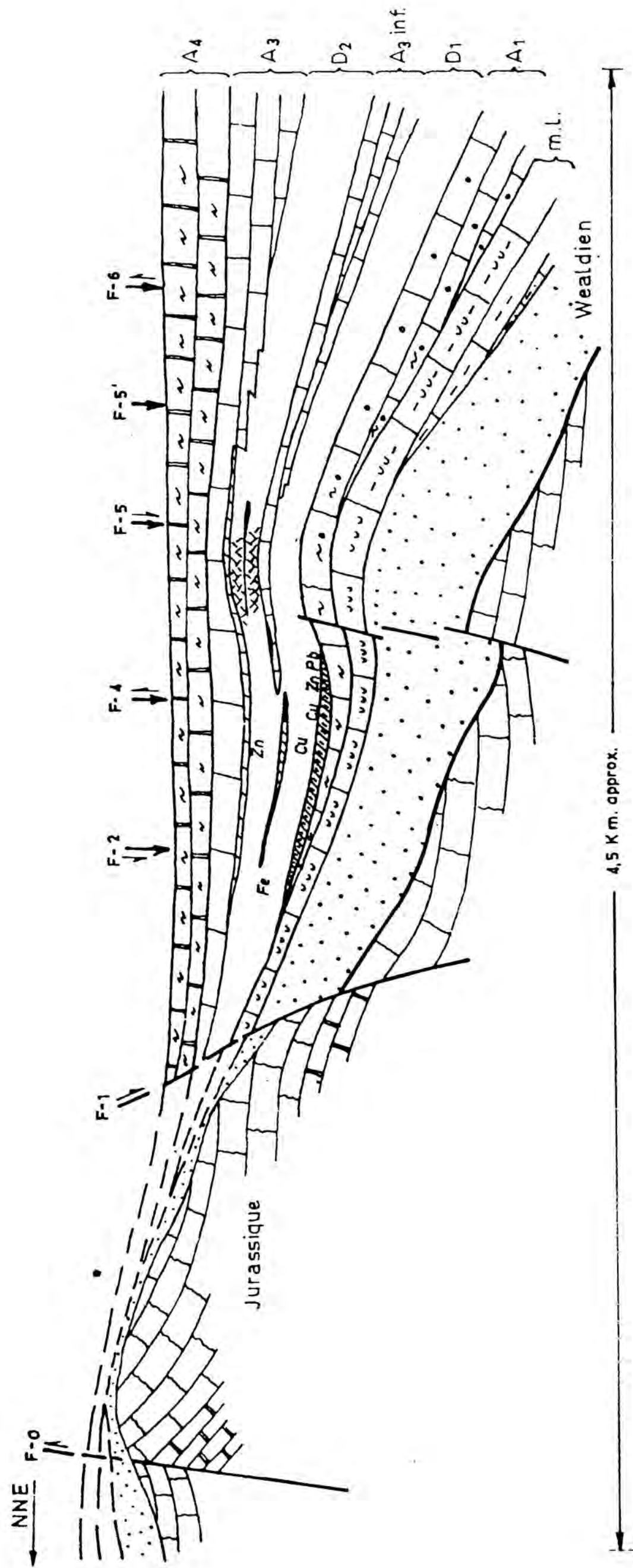


Fig. 5.5. Serra de Ferriz. Esquema paleogeográfico. Talla NNE-SSW (michel, 1974).

CRETACE IBÉRIQUE (SO DU MAESTRAZGO)

Répartition des concentrations Pb-Zn-(Cu). PALEOGEOGRAPHIE ET TECTONIQUE

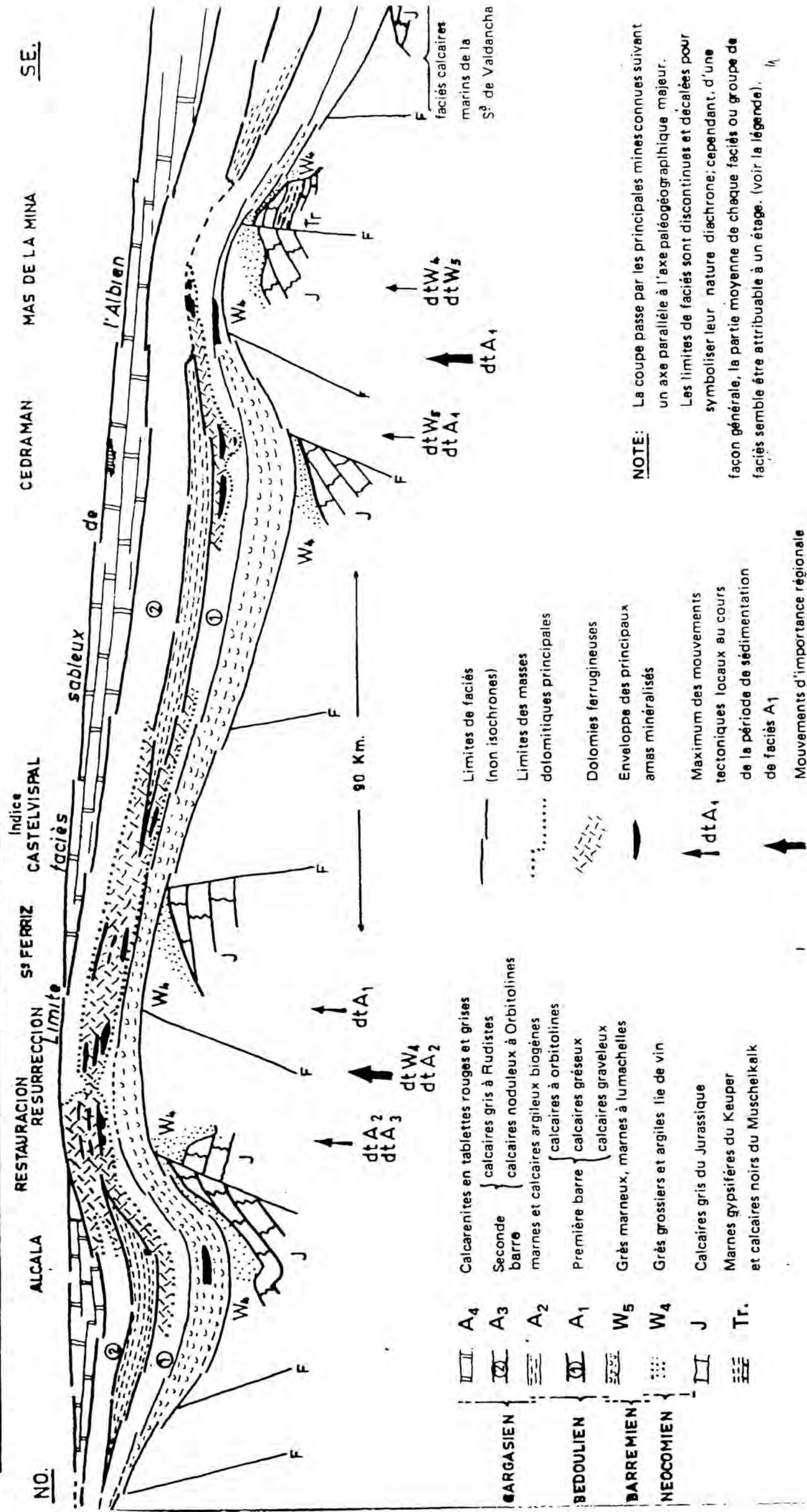


Fig. 5.6. Cretaci ibèric (SW del Maestraz). Repartició de les concentracions de Pb-Zn-(Cu). Paleogeografia i tectònica (Michel, 1974).

MINE RESTAURACION

Interprétation paléogéographique

NOTER: La lentille calcaire, au SE, a pu être datée du Bédoulien, ainsi que les calcaires à Orbitolines du mur.

Les rapports entre les faciès dolomitiques "Sub récifaux" et les niveaux minéralisés principaux 1 et 2.

NO.

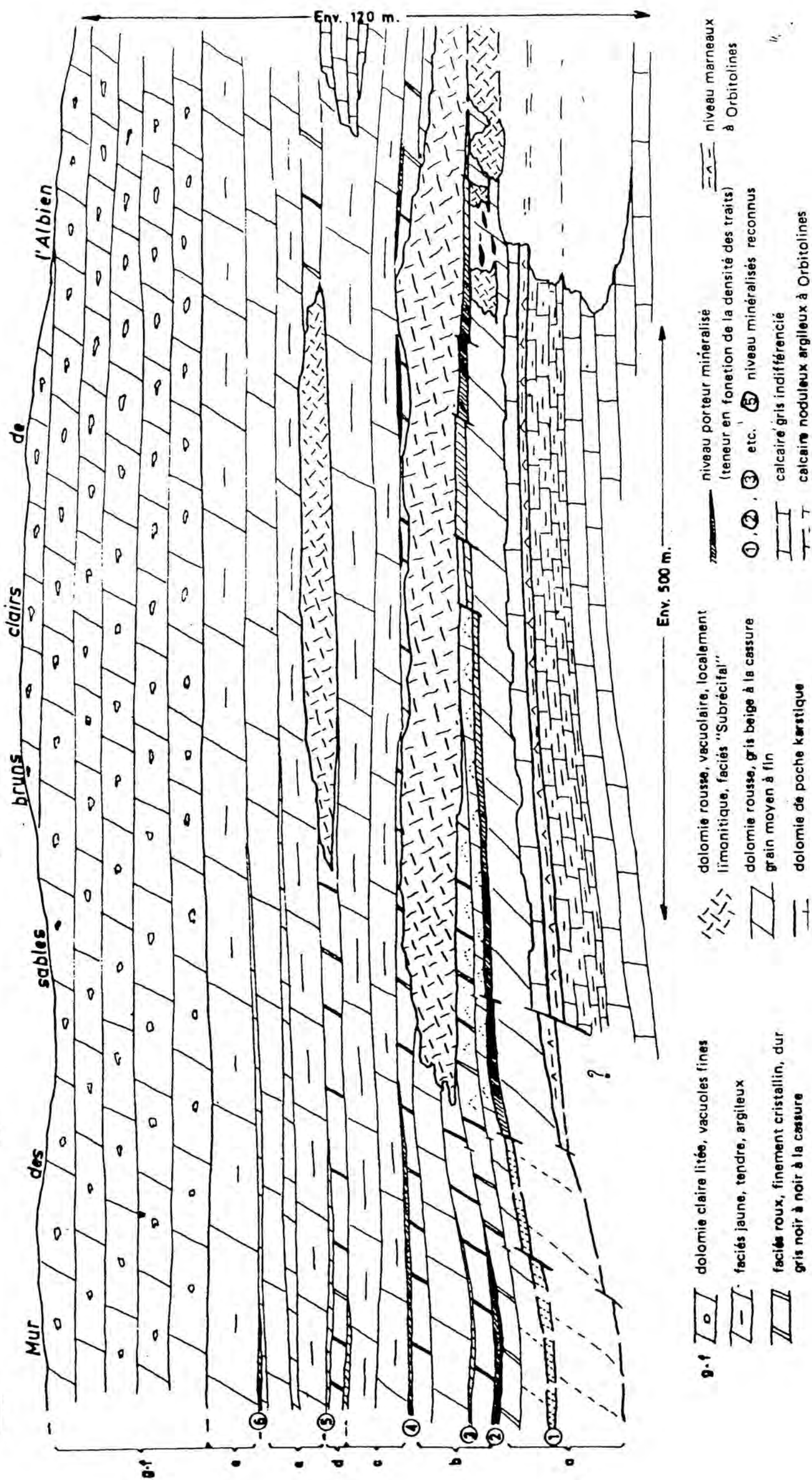


Fig. 5.7. Mina Restauració. Interpretació paleogeogràfica (Michel, 1974).

Les dolomies de type pénécontemporain* et les minéralisations associées (Pb, Zn, Cu, Fe)

MODÈLE DE FORMATION PROPOSÉ

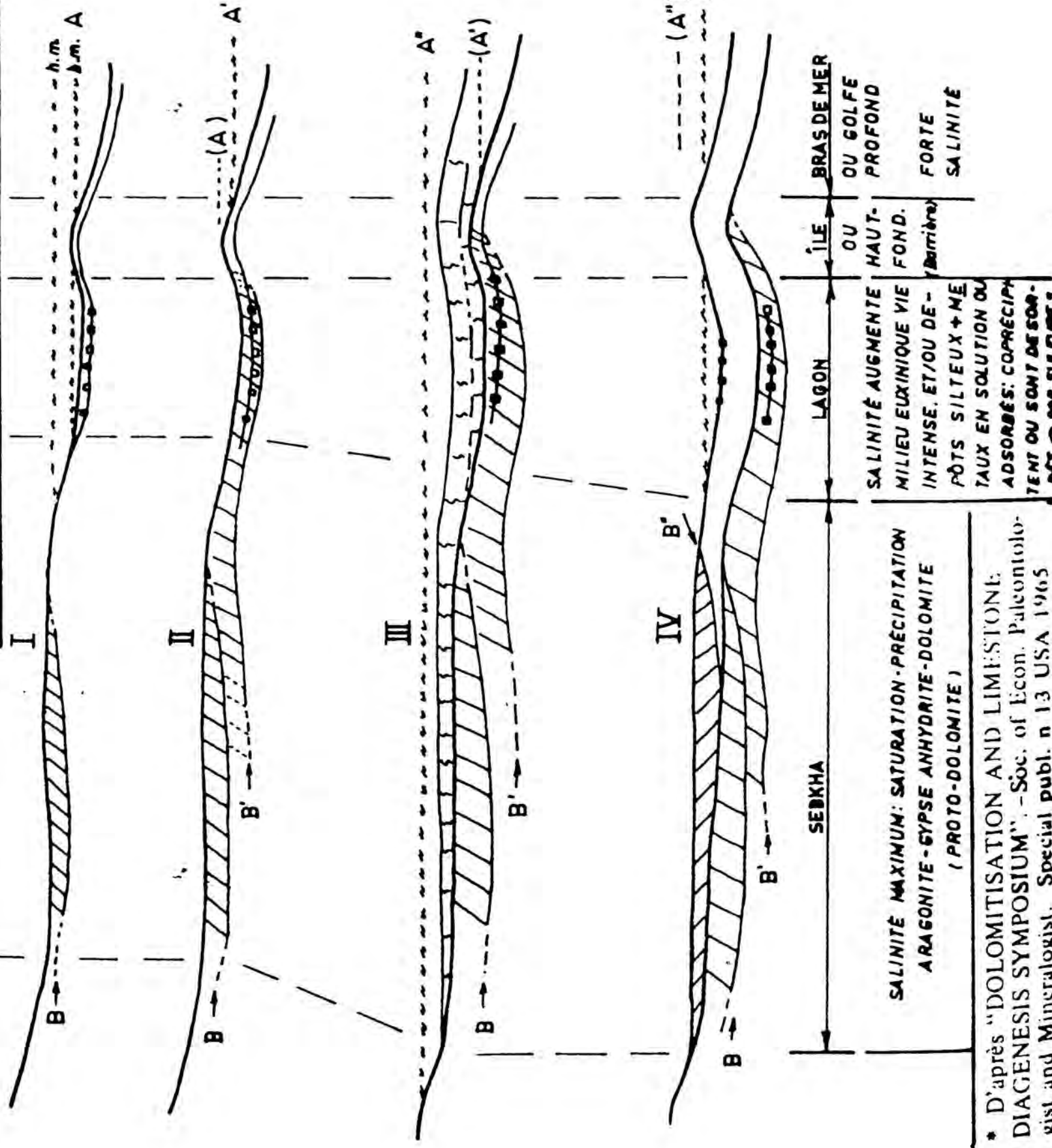


Fig. 5.8. Les dolomies de types pénécontemporain i les minéralitzacions associades (Pb, Zn, Cu, Fe). Model de formació proposat per Michel, 1974.

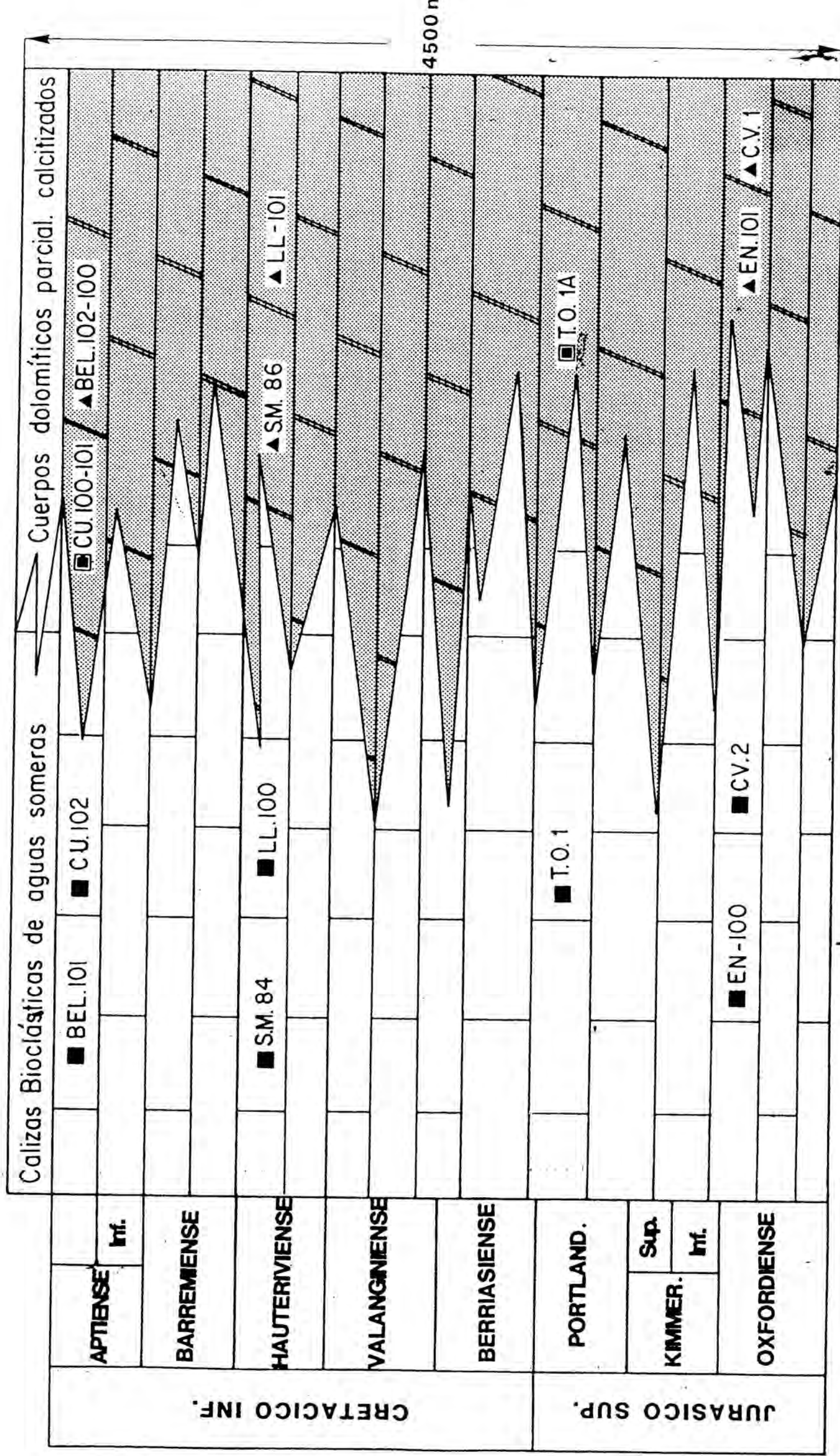


Fig. 5.9. Esquema de situació del mostreig efectuat per a les analisis isotòpiques d'isòtrops estable de C i O.

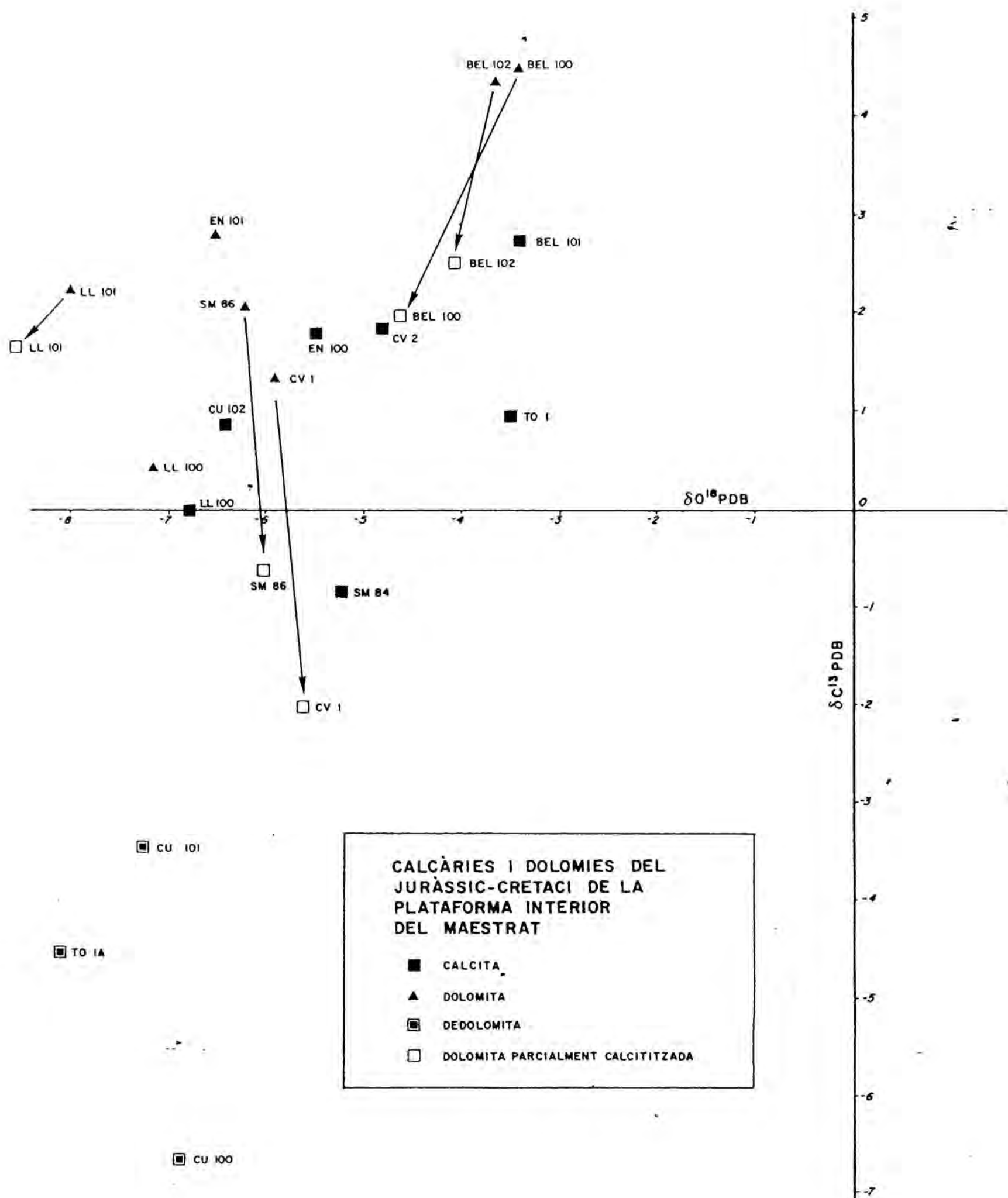


Fig. 5.10. Diagrama de les composicions isotòpiques d' O^{18} i C^{13} PDB de les mostres de la fig. 5.9. Ha estat efectuada una correcció per a les mostres de dolomita parcialment calcificada, la qual s'indica mitjançant fletxes negres.

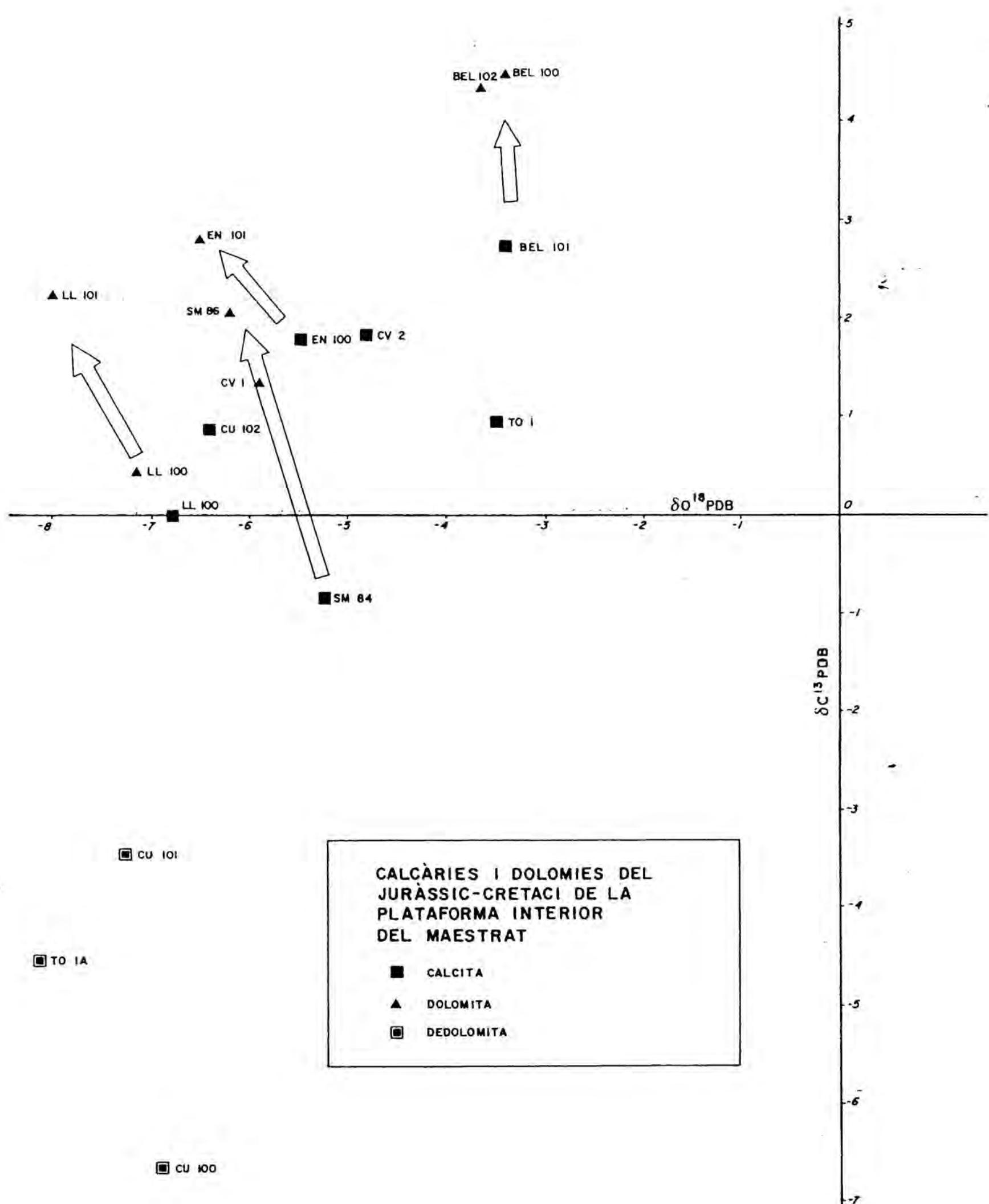


Fig. 5.11. Diagrama de les composicions isotòpiques d' O^{18} i C^{13} PDB de les mostres de la fig. 5.9. Les fletxes indiquen les tendències d'enriquiment en isotops lleugers d' O^{18} de la calcita al ser dolomititzada.

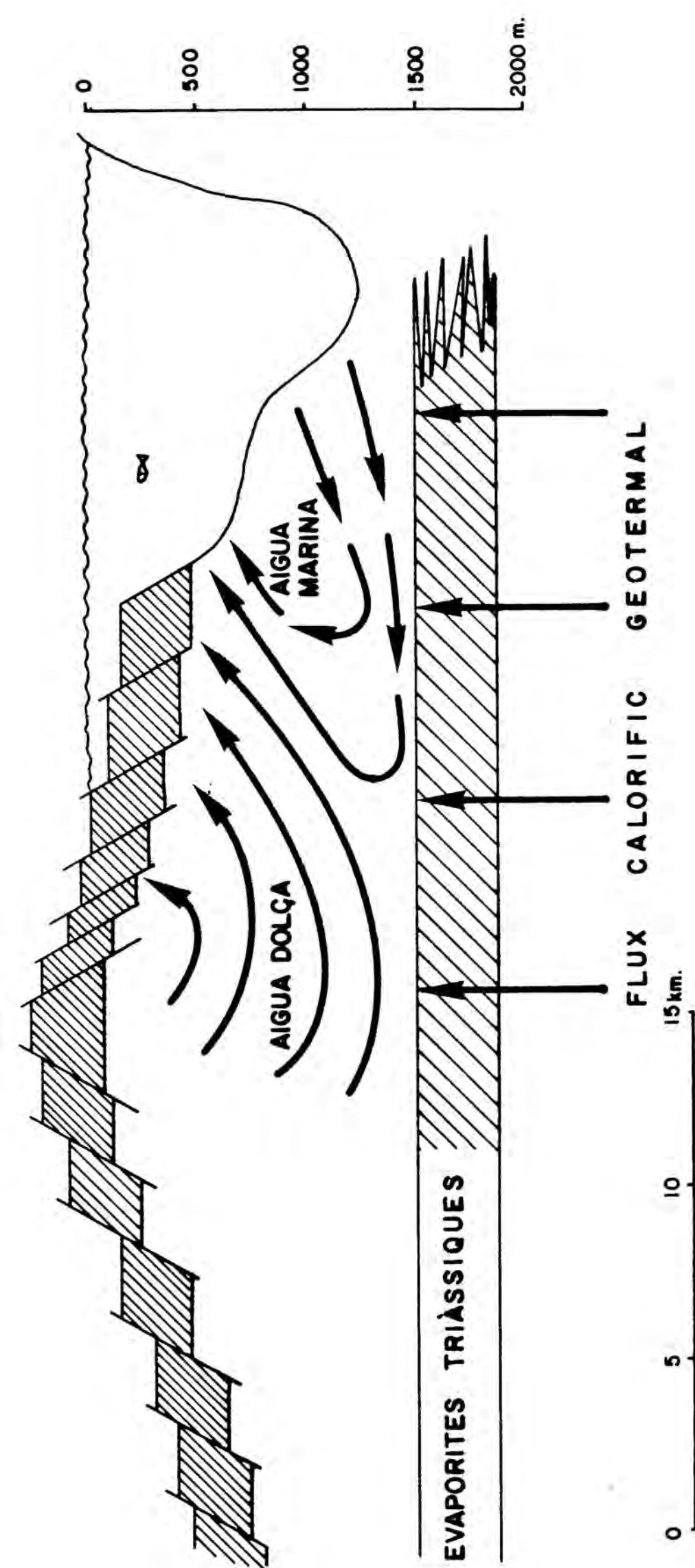


Fig. 5.12. Mecanisme de dolomitització per convecció geotèrmica. Model basat en Kohout, 1967.

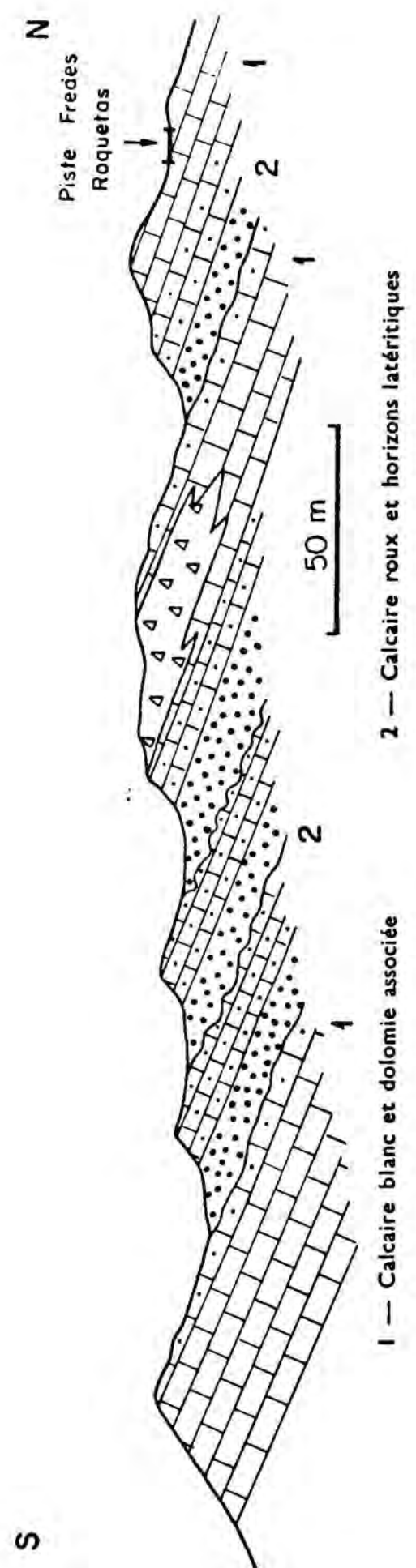


Fig. 5.13. Niveus d'argiles laterítiques de tipus 3 dins la sèrie de calcàries d'aigua dolça de la Fm. *Cantaperdius* (Barremià) (Combes, 1969).

6. SEDIMENTACIÓ I SUBSIDÈNCIA

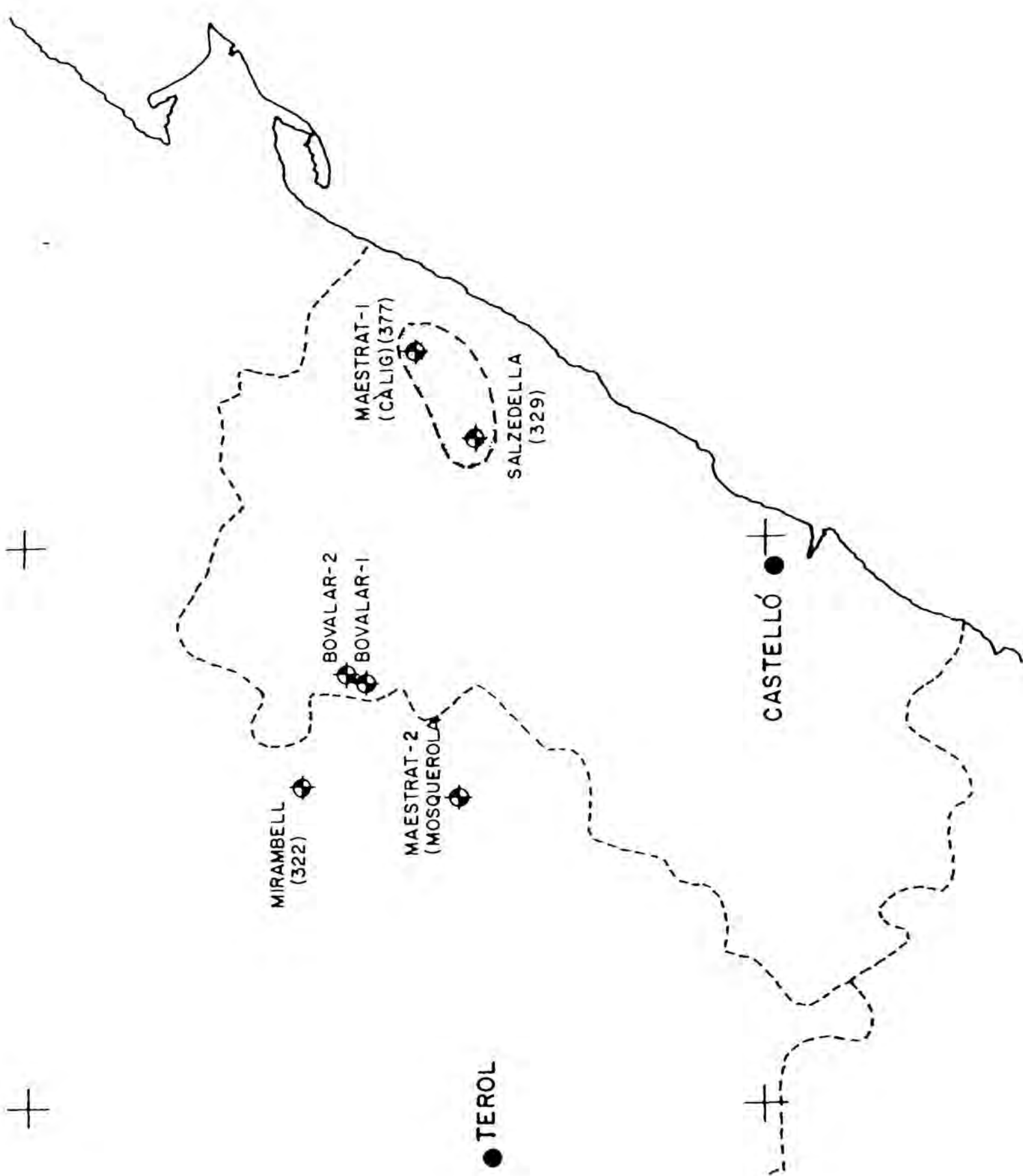


Fig. 6.1. Situació dels sondatges petroliers del Maestrat utilitzats per als càlculs de subsidència.

DURACIO	INTERVAL	EDAT	T	Z	S	P%	S*	WD	DL	Y	AIRY	SUBS.	BUBNOFFS
22.5	SENONIA	66.5	25.	0.	6275.	54.0	6275.	15.	230.	2574.	1952.	0.2	1.1
3.0	TURONIA	89.0	40.	25.	6250.	53.5	6262.	20.	240.	2558.	1948.	2.0	13.3
6.0	ALBIA SUP.	92.0	62.	65.	6210.	52.5	6242.	10.	260.	2509.	1942.	1.7	10.3
3.2	ALBIA MIT.	98.0	185	127.	6148.	51.3	6210.	5.	235.	2526.	1932.	9.7	57.8
4.8	ALBIA INF.	101.2	262.	312.	5963.	47.5	6112.	20.	190.	2563.	1901.	9.6	54.6
3.2	APTIA	106.0	330.	574.	5701.	42.7	5964.	45.	155.	2572.	1855.	19.7	103.1
1.8	APTIA B.	109.2	357.	904.	5371.	37.3	5762.	35.	160.	2461.	1792.	40.5	198.3
4.0	BARREMIA	111.0	740	1261.	5014.	32.2	5526.	20.	170.	2322.	1719.	42.7	185.0
6.0	HAUTERIVIA	115.0	150.	2001.	4274.	23.8	4977.	70.	190.	2088.	1548.	6.2	25.0
7.0	VALANGINIA	121.0	620.	2151.	4124.	22.4	4857.	15.	115.	2089.	1511.	23.1	88.6
12.0	KIMER. SUP.	128.0	925.	2771.	3504.	17.4	4336.	15.	115.	1849.	1349.	21.8	77.1
5.0	KIMER. INF.	140.0	720.	3696.	2579.	11.9	3495.	70.	170.	1433.	1087.	42.8	144.0
7.0	OXFORDIA	145.0	50.	4416.	1859.	8.9	2805.	40.	135.	1136.	873.	2.3	7.1
27.0	DOGGER	152.0	242.	4466.	1809.	8.7	2756.	75.	110.	1186.	857.	2.7	8.9
34.0	LIAS	179.0	531.	4708.	1567.	7.9	2519.	35.	45.	1133.	783.	7.5	15.6
37.0	TRIASSIC	213.0	907.	5239.	1036.	6.3	1990.	20.	5.	932.	619.	7.7	24.5
10.0	PERMIC SUP	250.0	129.	6146.	129.	4.4	1072.	0.	-30.	540.	334.	33.4	12.9
0.0	BASAMENT	260.0?	0.	6275.	0.	0.0	0.	0.	0.	0.	0.	0.0	0.0

Fig. 6.2. Taula de dades i paràmetres calculats.

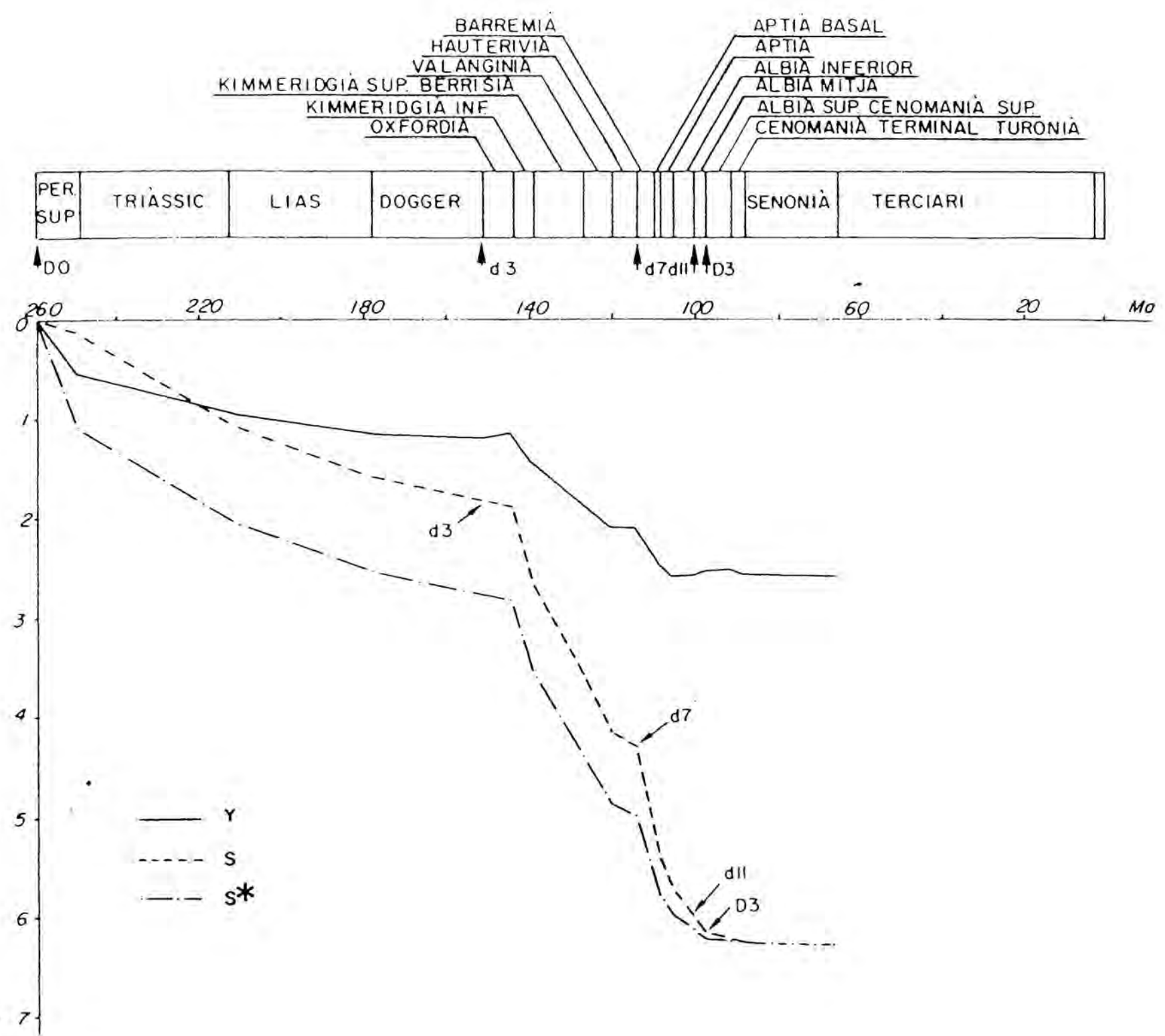


Fig. 6.3. Corbes de subsidència. Y, corba de subsidència tectònica; S*, corba de subsidència observada descompactada.

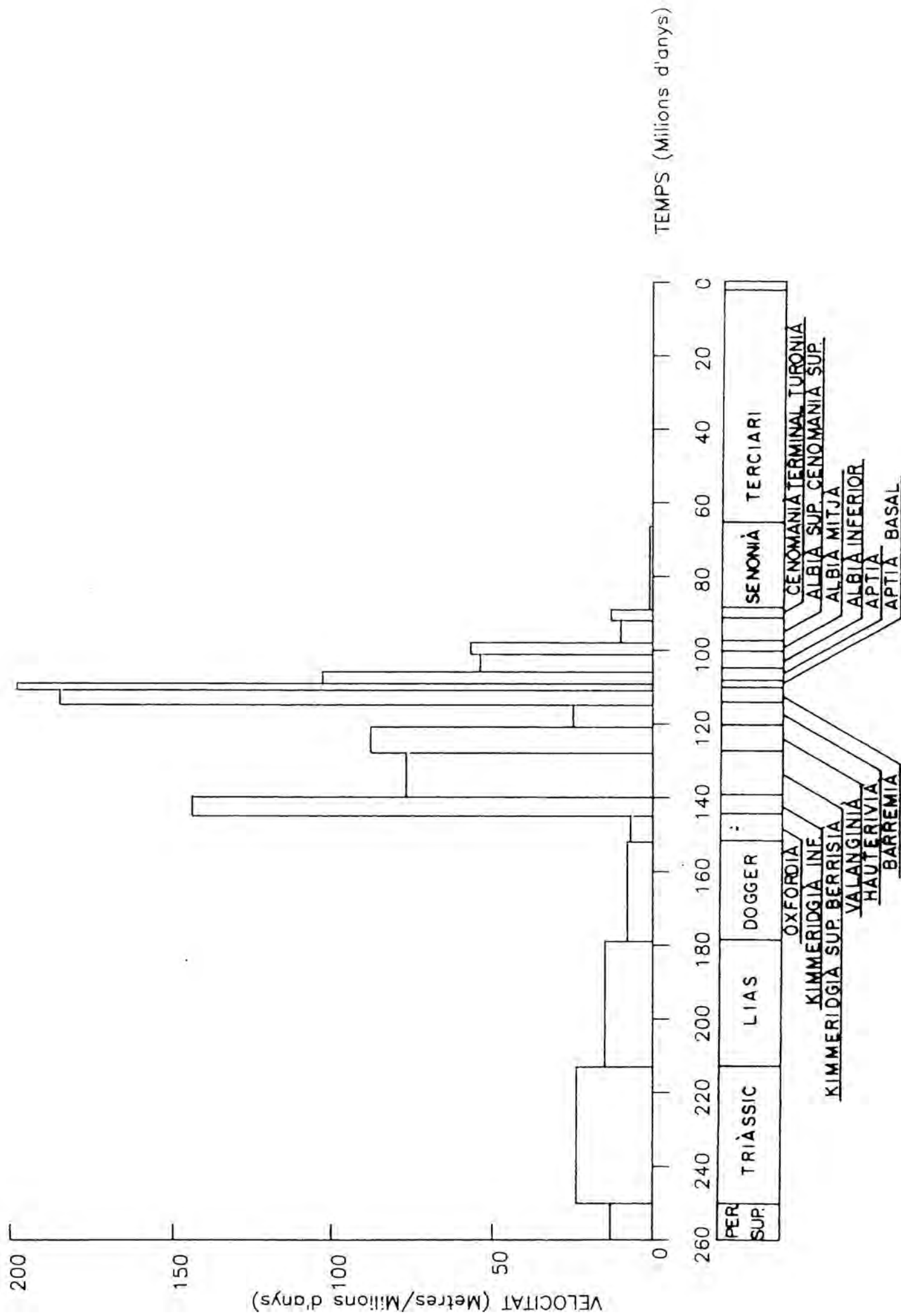


Fig. 6.4. Histograma de velocitats de subsidències observades.

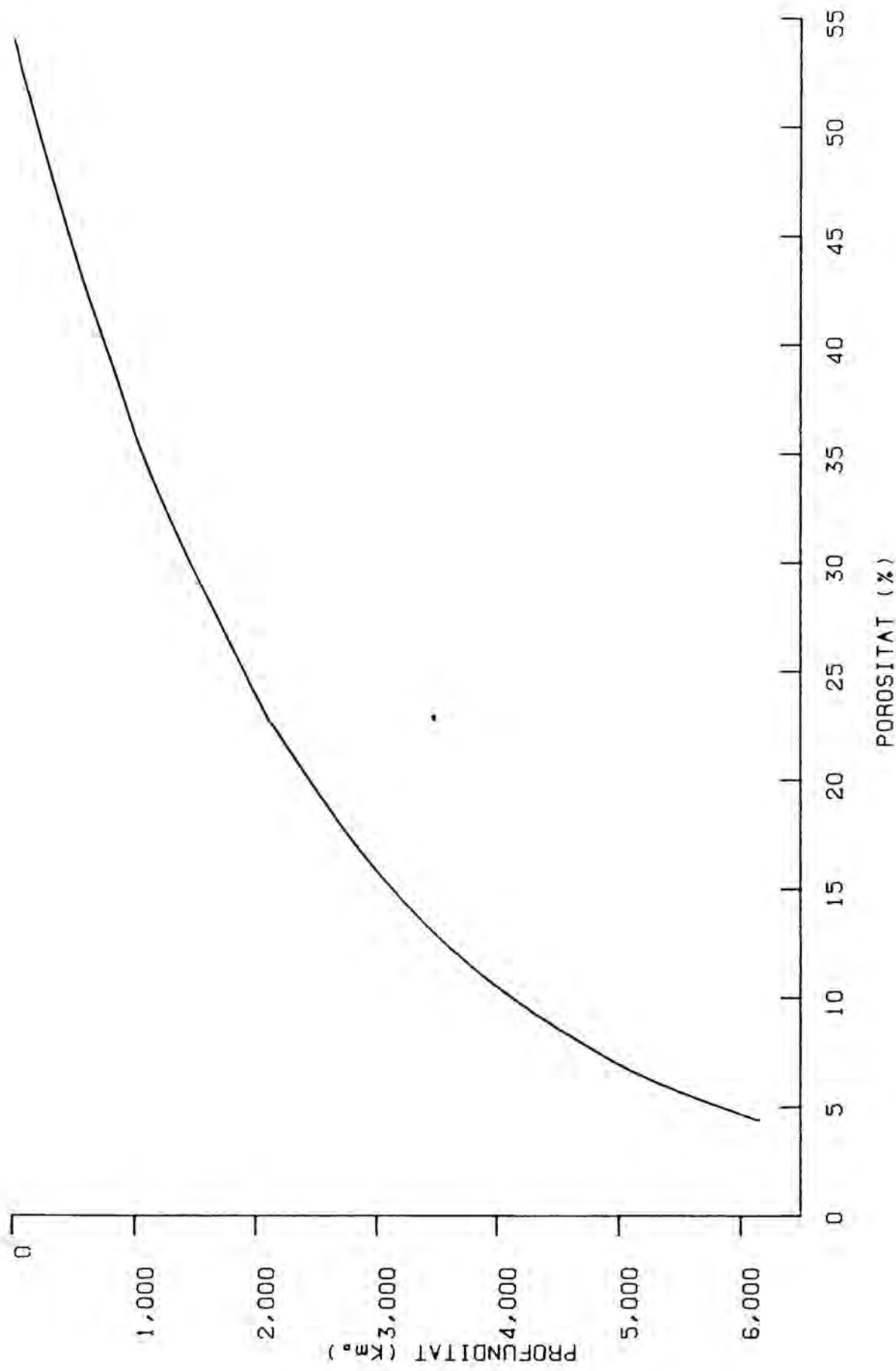


Fig. 6.5. Variació de la porositat en funció de la profunditat.

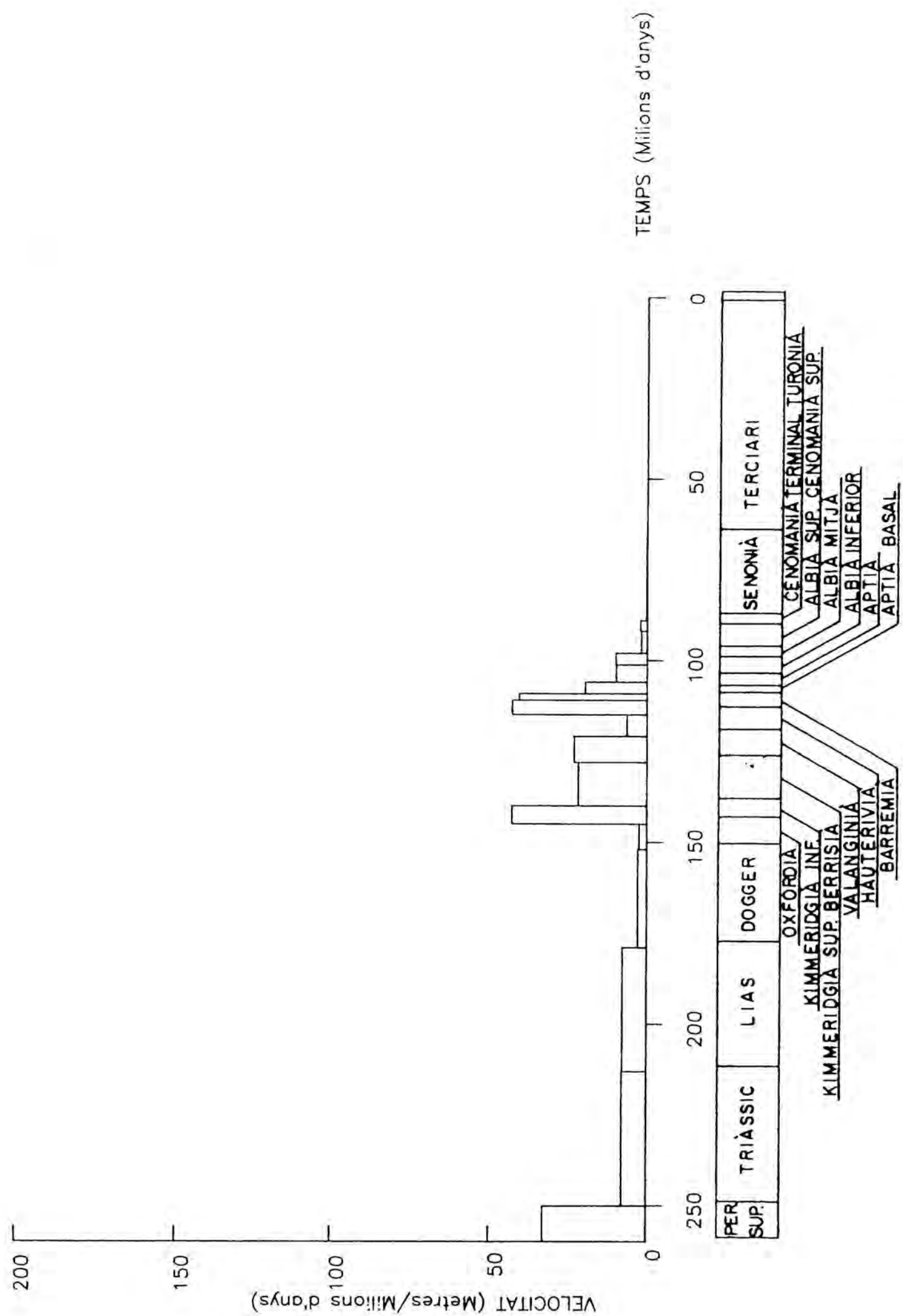


Fig. 6.6. Histograma de velocitats de subsidiència tectònica del sòcol a l'aire lliure.

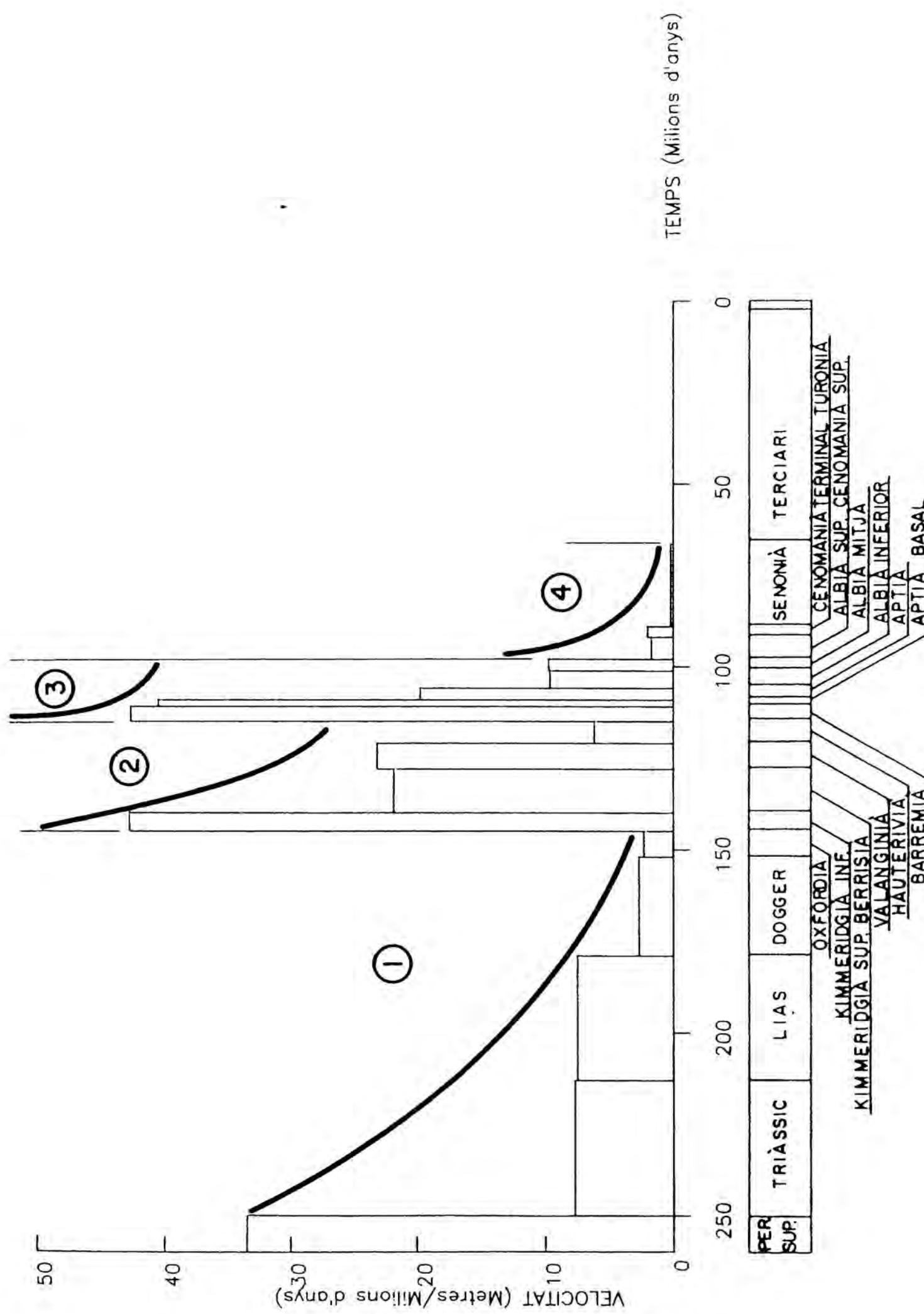


Fig. 6.7. Ètapes tectonosedimentàries reflectides en cicles de velocitat de subsidència tectònica del sòcol a l'aire lliure.

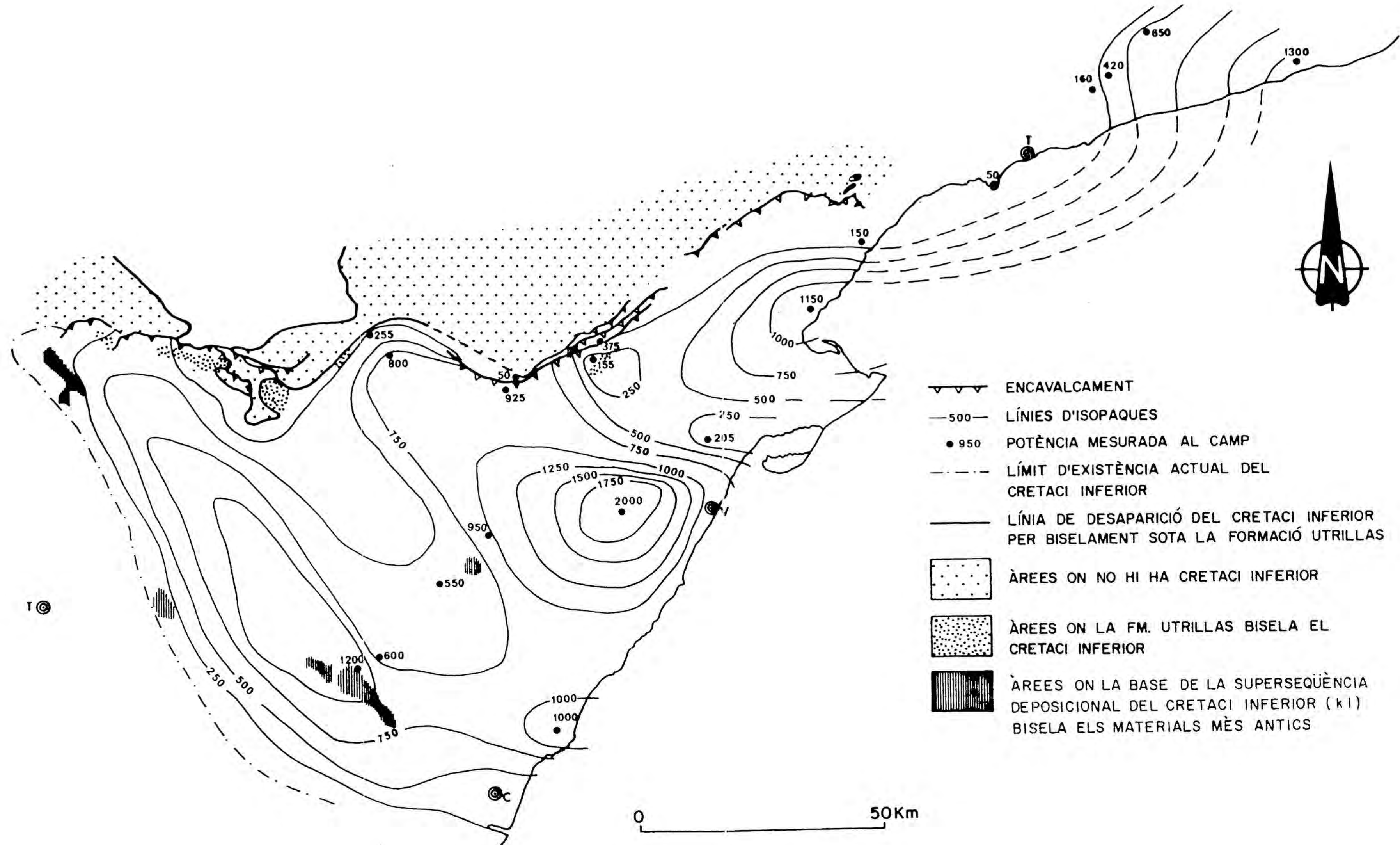


Fig. 6.8. Mapa d'isopaques per a la seqüència deposicional del Cretaci Inferior. Elaborat per J. Guimerà i R. Salas amb dades pròpies i d'altri.

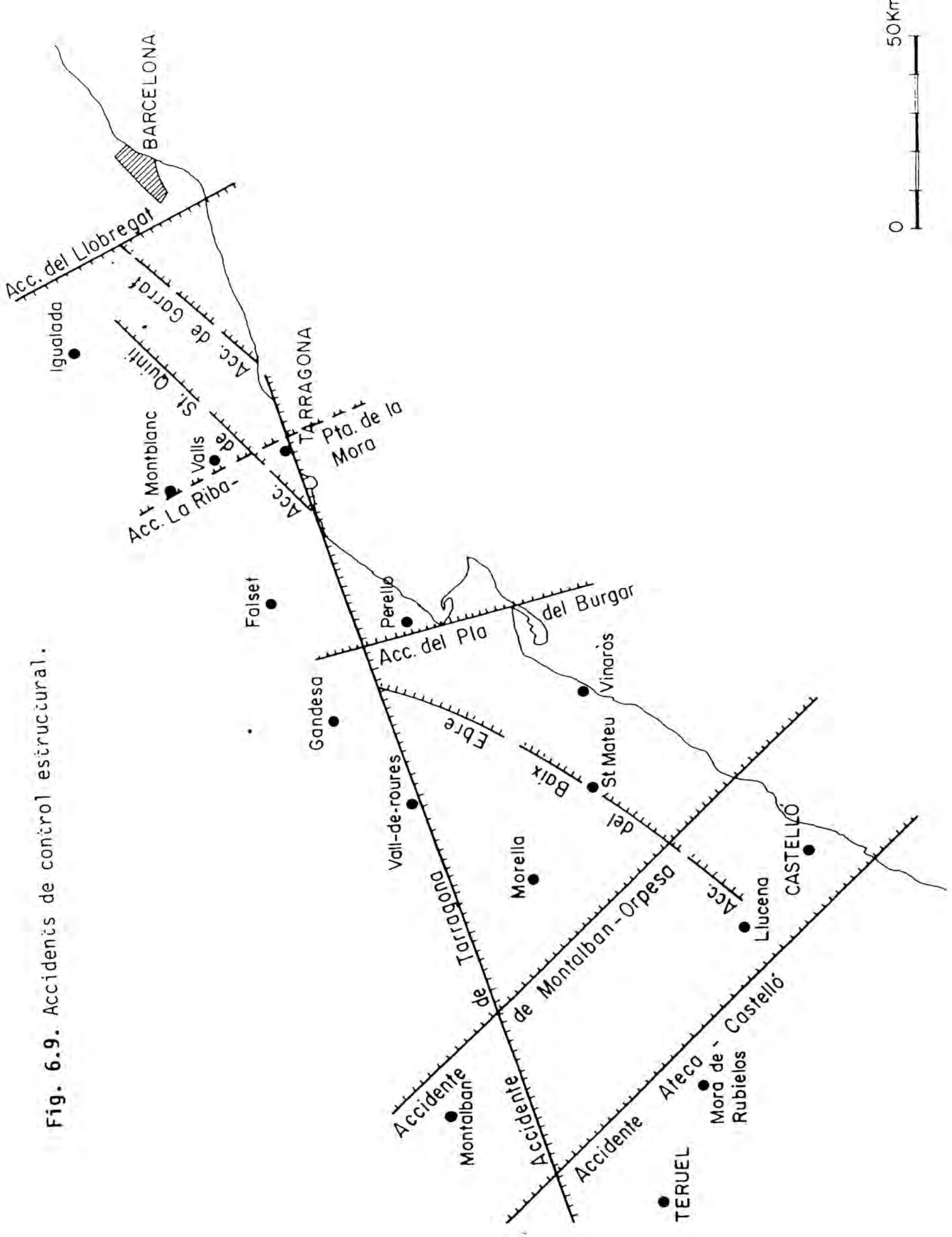
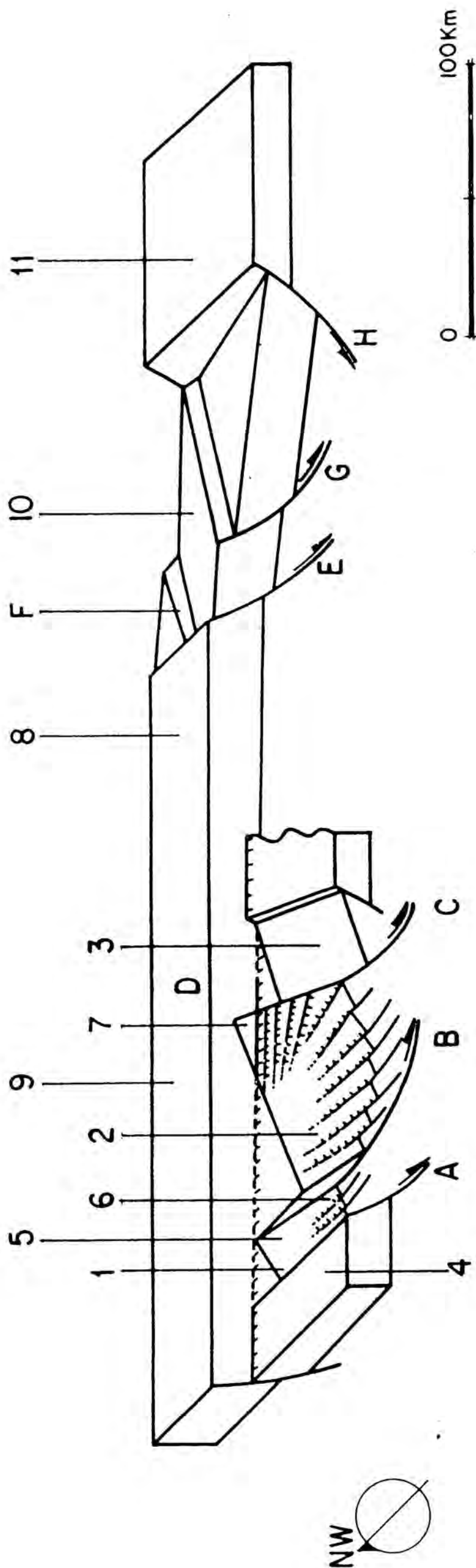


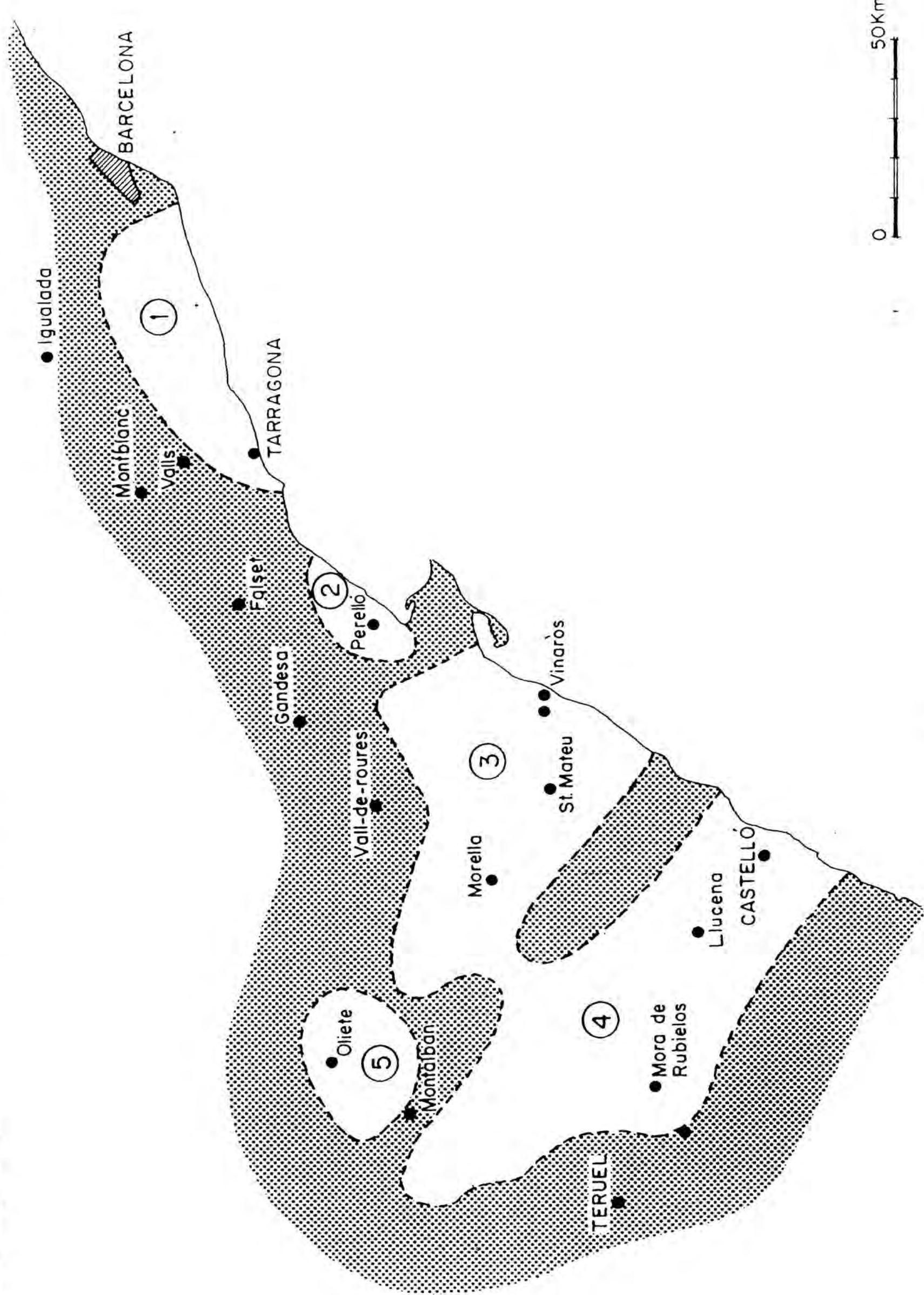
Fig. 6.9. Accidentes de control estructural.



- A. Accidente Ateca-Castelló
- B. Accidente Montalbán-Orpesa
- C. Accidente del Pla de Burgar
- D. Accidente de Tarragona
- E. Accidente La Riba-Punta de la Mora
- F. Accidente de Sant Quintí
- G. Accidente de Garraf
- H. Accidente del Llobregat
- 1. Cubeta de Aliaga-Penyagolosa
- 2. Cuenca del Maestrazgo
- 3. Cubeta de El Perelló
- 4. Alto de Valencia
- 5. Alto de Ejulve
- 6. Alto del Maestrazgo Meridional
- 7. Alto del Mont Caro
- 8. Alto de El Priorat-Prades
- 9. Macizo del Ebro
- 10. Cuenca Salou-Garraf
- 11. Alto de la Cordillera Litoral

Fig. 6.10 Les falles lístiques i les cubetes en semigraben són els principals dispositius de control de la sedimentació durant el Juràssic superior i el Cretaci inferior.

Fig. 6.11. Distribució de les àrees de sedimentació durant el Cretaci inferior. Llegenda igual que a la fig. 3.31.



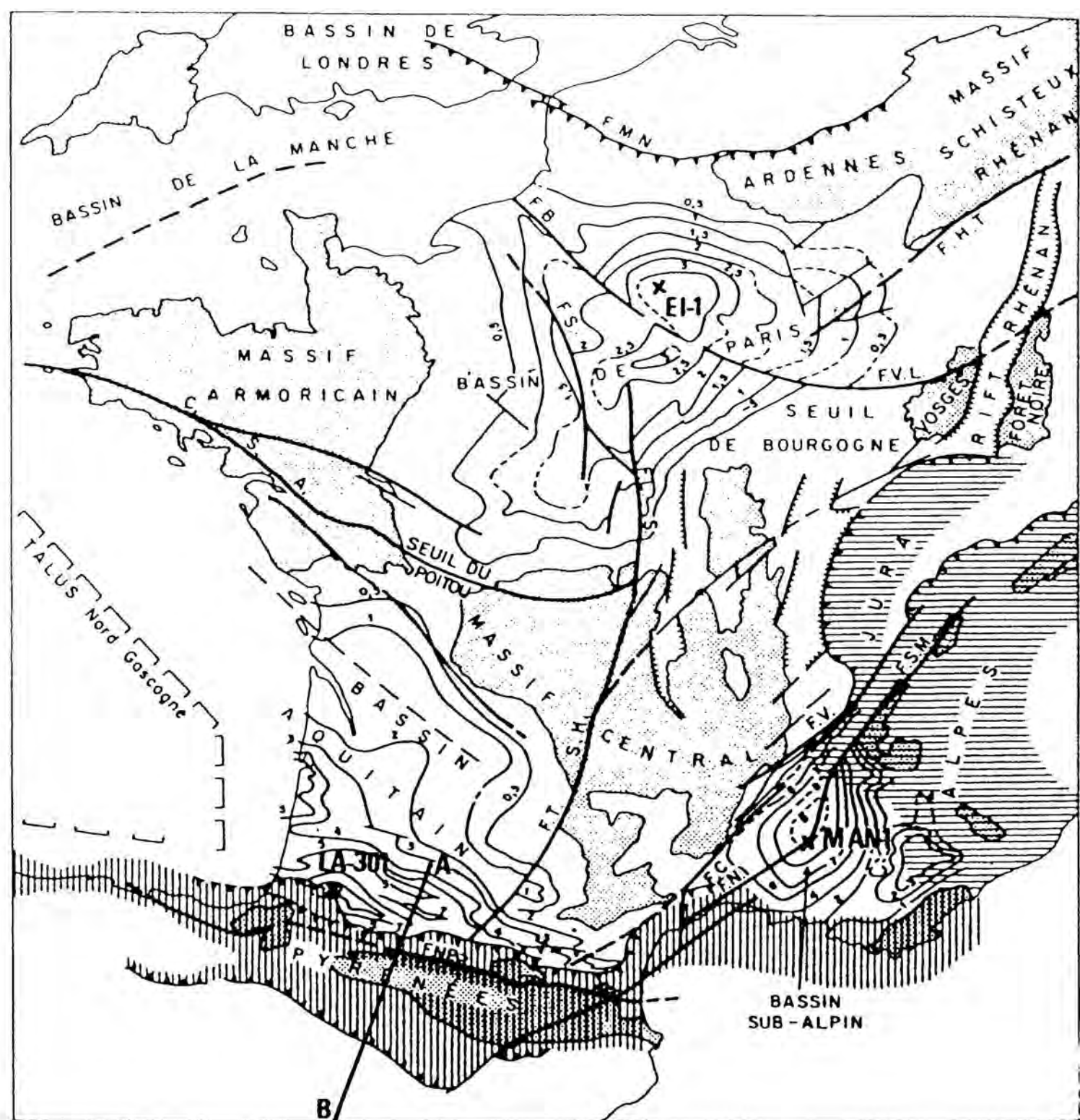


Fig. 6.12. Situació dels sondaçges a les tres grans conques sedimentàries mesozoiques de França.

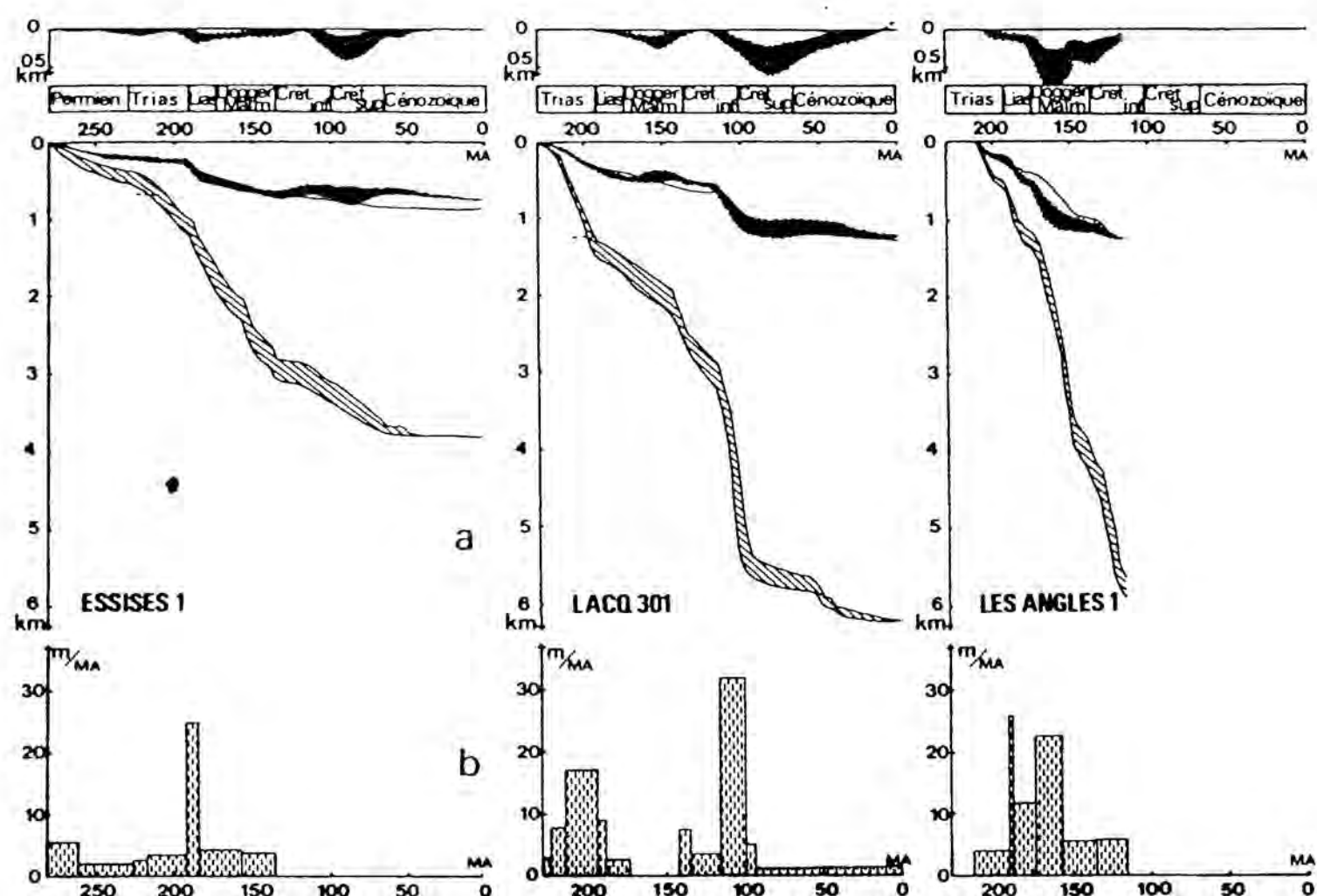
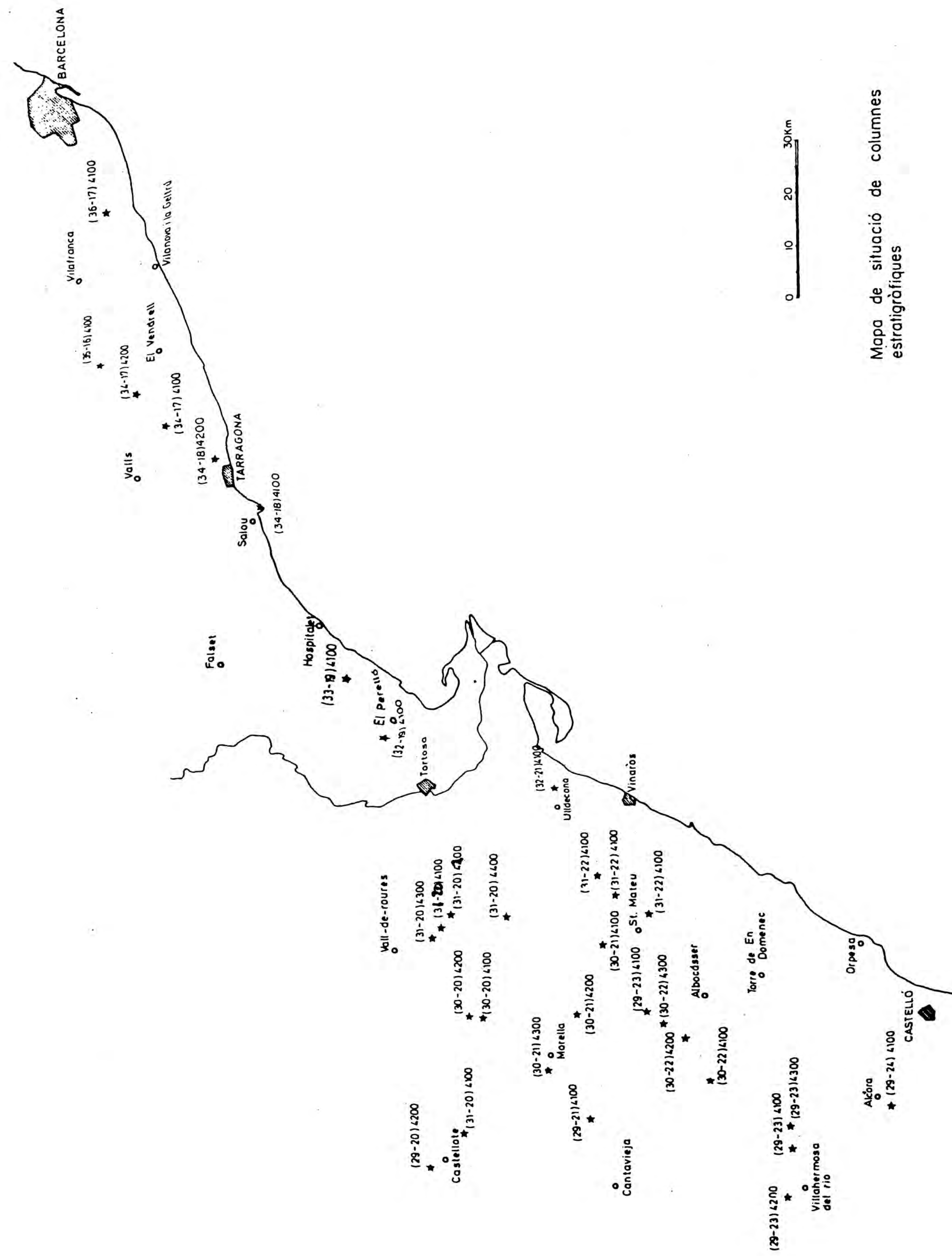
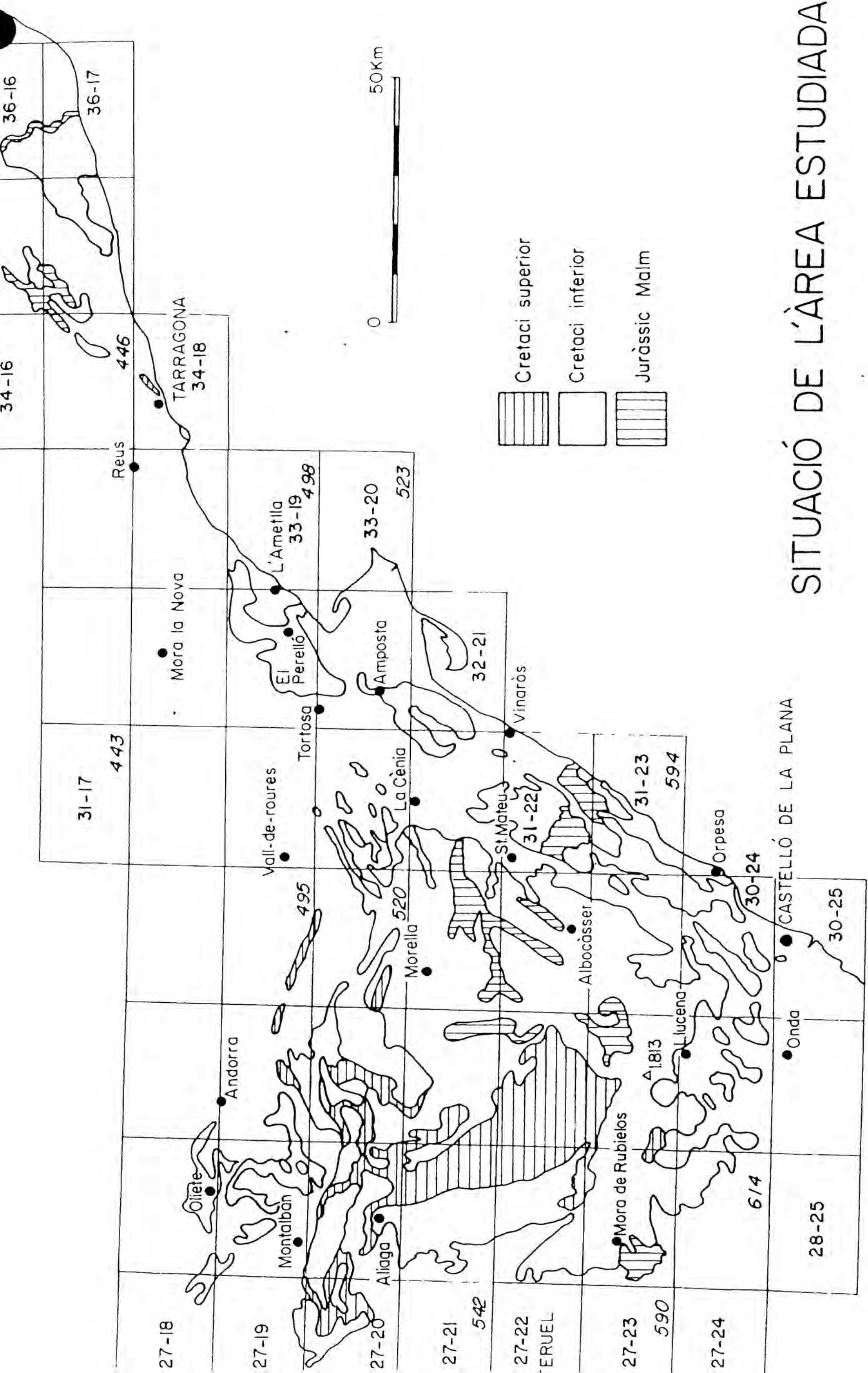


Fig. 6.13. a) Corbes de subsidència característiques de les tres grans conques mesozoiques de França. Essises 1, Conca de París; Lacq 301, conca d'Aquitània; Les Angles 1, conca del SE. b) diagrames de velocitats de subsidència tectònica del sòcol a l'aire lliure (segons Brunet, 1986).





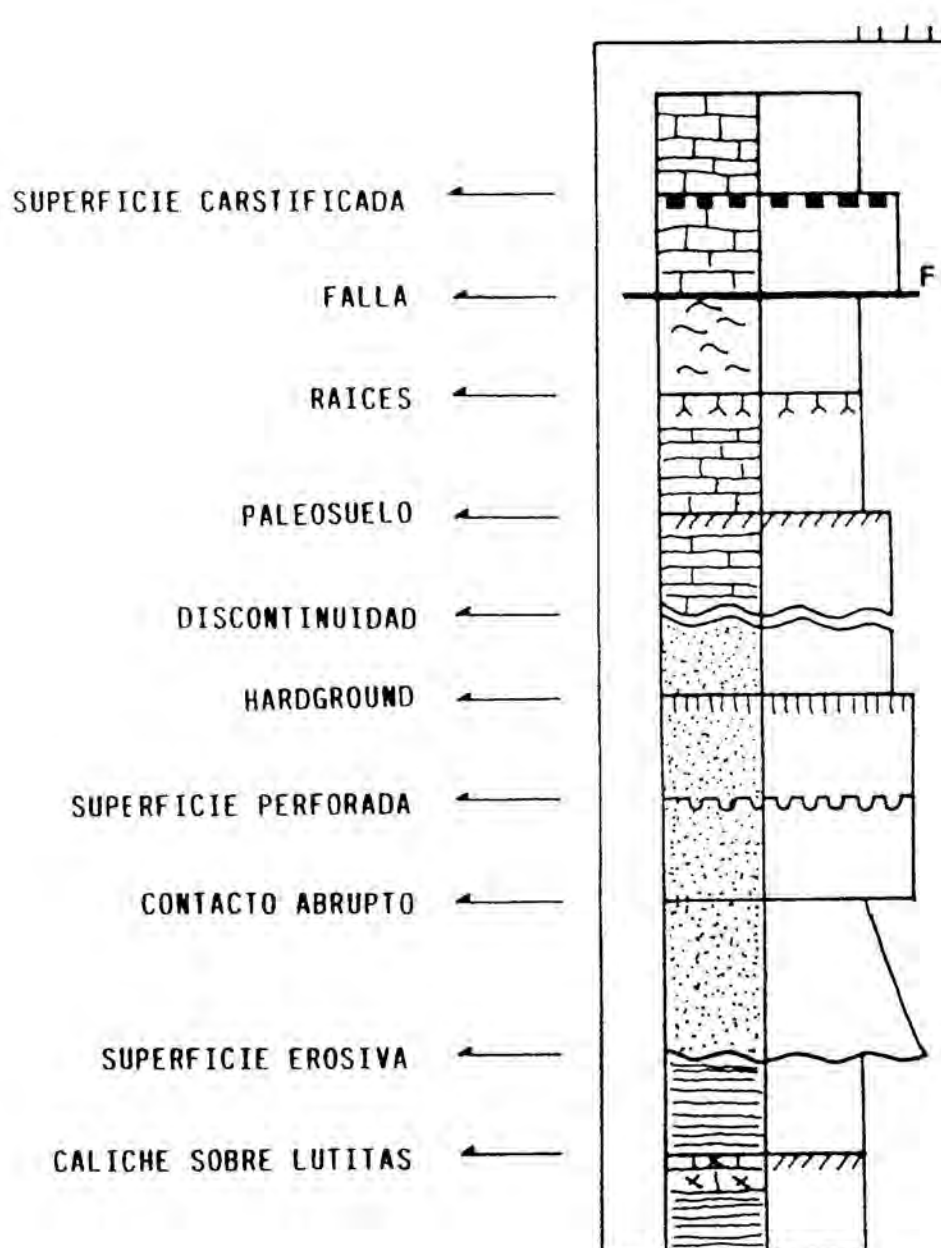
SITUACIÓ DE L'ÀREA ESTUDIADA

INDEX DE COLUMNES ESTRATIGRAFIQUES.

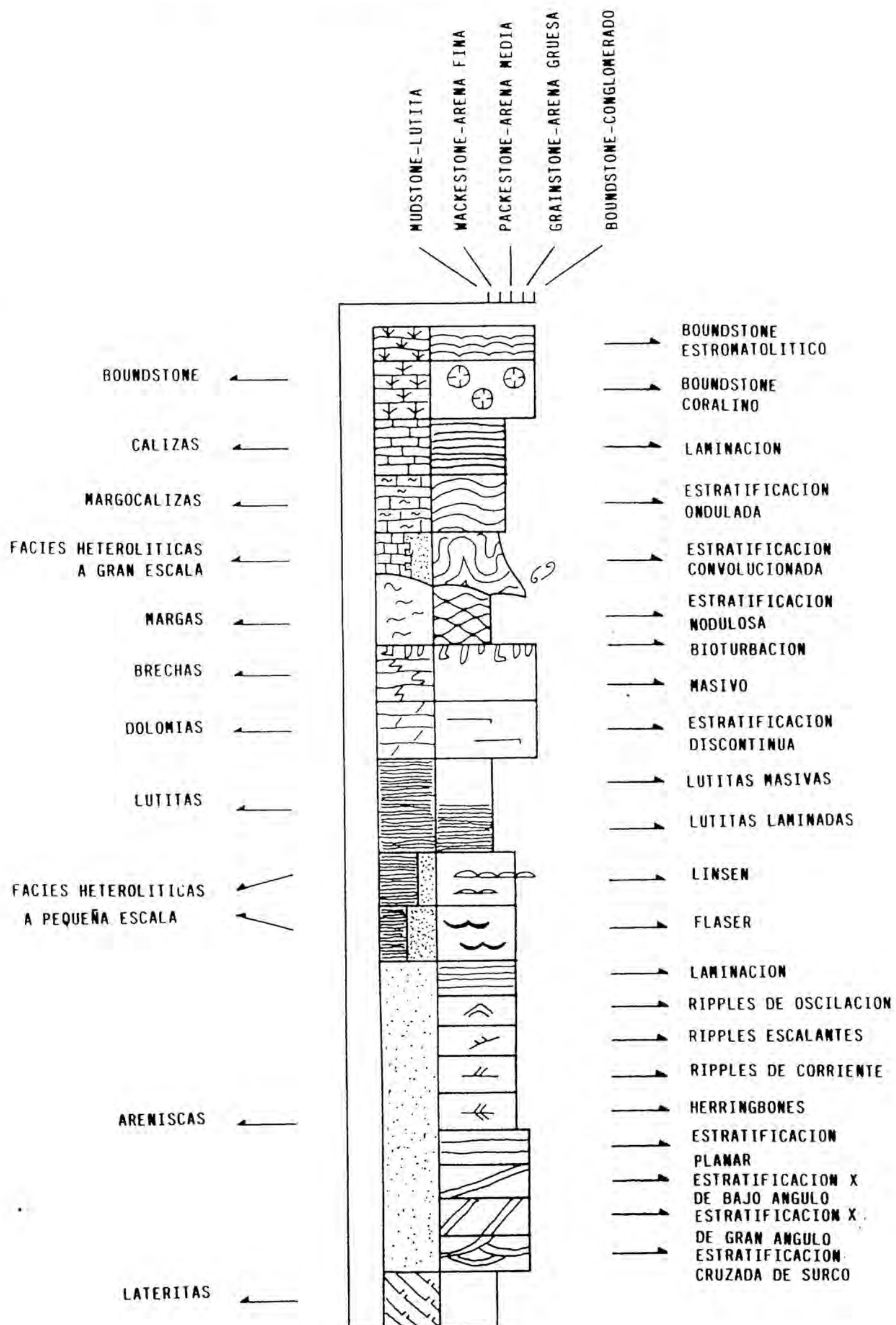
- (29-20) 4.100: BARRANCO DE LA MINA (JAGANTA).
(29-20) 4.200: SENO (CASTELLOTE).
(29-21) 4.100: BOVALAR.
(29-23) 4.200: LA PENYAGOLOSA.
(29-23) 4.200: VILLAHERMOSA DEL RIO.
(29-23) 4.200: XODOS.
(29-24) 4.100: TOSSAL D'ALCORNÀ.
(30-20) 4.100: HERBERS - ERMITA M.D. DEL SARGAR.
(30-20) 4.200: BARRANC DE L'ESCRESOLES.
(30-21) 4.100: MAS DEL REGALL.
(30-21) 4.200: COLL DE QUEROL - MORELLA.
(30-22) 4.100: BARRANC D'ESPINALBA (CULLA).
(30-22) 4.200: TOSSAL D'ORENGA.
(30-22) 4.300: BARRANC DE L'EMPRIU.
(30-22) 4.400: NEVERA DE CATI (BARRANC D'EN SIROLL).
(31-20) 4.100: MINA MARUJA (EL PARRISSAL).
(31-20) 4.200: LA FONT DEL TEIX.
(31-20) 4.300: MAS DE SANT MIQUEL.
(31-29) 4.400: ELS MANGRANERS.
(31-22) 4.100: SERIE TIPUS TRAM INFERIOR.
LA SALSADELLA-TRAIGUERA.
(31-22) 4.100: SERIE TIPUS TRAM SUPERIOR.
LA SALSADELLA-TRAIGUERA.
(32-19) 4.100: EL PERELLO.
(32-21) 4.100: EL MONTSIA.
(33-19) 4.100: BARRANC DE LLERIOLA + BARRANC DEL CAP DEL TERME.
(34-17) 4.100: SALOMO.
(34-17) 4.200: COLL DE STA. CRISTINA (LA RUBIOLA).
(35-16/
/35-17) 4.100: EL MARMELLAR.
(36-17) 4.100: GARRAF.

LEYENDA DE LAS COLUMNAS ESTRATIGRAFICAS

TIPOS DE CONTACTOS



LITOLOGIA Y ESTRUCTURAS SEDIMENTARIAS



FOSILES

- ❖ ALGAS EN GENERAL
- ❖ DASICLADACEAS
- ❖ CODIACEAS
- ❖ AMMONITES
- ❖ BELEMNITES
- ❖ BRAQUIOPODOS
- ❖ CAROFITAS
- ❖ CORALES
- ❖ CRINOIDES
- ❖ EQUINIDOS IRREGULARES
- ❖ EQUINIDOS REGULARES
- ❖ PUAS DE EQUINIDO
- ❖ RESTOS DE PECES
- ❖ FORAMINIFEROS BENTONICOS
- ❖ ORBITOLINIDOS
- ❖ GASTEROPODOS
- ❖ LAMELIBRANQUIOS
- ❖ LAMELIBRANQUIOS PELAGICOS
- ❖ OSTREIDOS
- ❖ OSTRACODOS
- ❖ RESTOS VEGETALES
- ❖ RUDISTAS EN GENERAL
- ❖ CAPROTINIDOS
- ❖ REQUIENIDOS
- ❖ SERPULIDOS
- ❖ VERTEBRADOS
- ❖ MADERA
- ❖ FILAMENTOS INDETERMINADOS
- ❖ BRIozoos
- ❖ BIOCLASTOS EN GENERAL
- ❖ BIOCLASTOS FRAGMENTADOS
- ❖ BIOCLASTOS ORIENTADOS
- ❖ BIOCLASTOS ESCASOS
- ❖ BIOCLASTOS FRECUENTES
- ❖ BIOCLASTOS ABUNDANTES

COMPONENTES INORGANICOS

- ❖ INTRACLASTOS
- ❖ FLAT PEBBLES
- ❖ CANTOS BLANDOS
- ❖ OOLITOS
- ❖ PISOLITOS
- ❖ PELOIDES
- ❖ ONCOLITOS
- ❖ ROMBOS DE DOLOMITA
- ❖ PIRITA

ESTRUCTURAS SED. Y DIAGENETICAS

- ❖ ESTRUCTURA DE ESCAPE DE AGUA
- ❖ MODULOS DE CARBONATO
- ❖ MODULOS DE HIERRO
- ❖ MARMORIZACION
- ❖ BIRD-EYE /FENESTRAL
- ❖ POROSIDAD VUG
- ❖ BIOTURBACION ESCASA
- ❖ BIOTURBACION FRECUENTE
- ❖ BIOTURBACION ABUNDANTE

DIRECCION DE TRANSPORTE

- ❖ DIRECCION DEL CANAL
- ❖ DIRECCION DE RIPPLES DE CORRIENTE DE GRAN ESCALA
- ❖ DIRECCION DE RIPPLES DE CORRIENTE DE PEQUEÑA ESCALA
- ❖ DIRECCIONES OPUESTAS DE CORRIENTE DE IGUAL IMPORTANCIA
- ❖ DIRECCIONES OPUESTAS CON UNA CORRIENTE DOMINANTE
- ❖ ORIENTACION DE RIPPLES DE OLEAJE
- ❖ ORIENTACION DE PARTING LINEATION
- ❖ ORIENTACION DE GROOVE CAST
- ❖ DIRECCION DEL SOLE MARKING
- ❖ CANTOS IMBRICADOS
- ❖ SOLE MARKING

Nº HOJA: 29-26

NOMBRE: AIGUAVIV

PROVINCIA: TERUEL

GRUPO DE TRABAJO

Ramon Salas

NOMBRE LOCAL: BARRANCO DE LA MINA
(JAGANTAI)

IDENTIFICACION DE MUESTRAS
X: 887,5
DESEÑADAS N: 750,7

* 88

SERIE N° 4

COORDENADAS y: 692,
z: 700

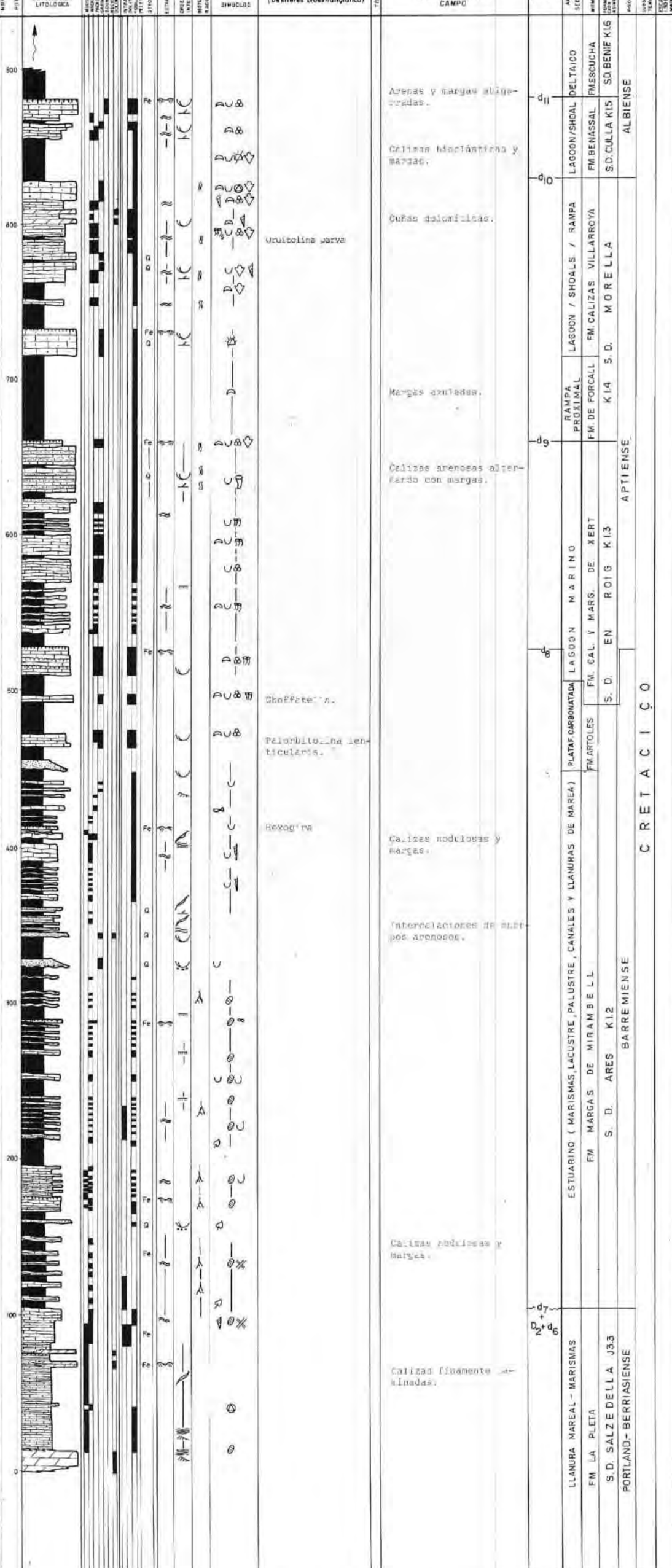
y: 692
z: 600

— 1 —

卷之三



ferred de la solanica.



NºHOJA: 29-20

NOMBRE: AIGUAVIVA

PROVINCIA: TERUEL

GRUPO DE TRABAJO:

Ramon Salas

NOMBRE LOCAL: SEÑO (CASTELLOTE)

IDENTIFICACION DE MUESTRAS:

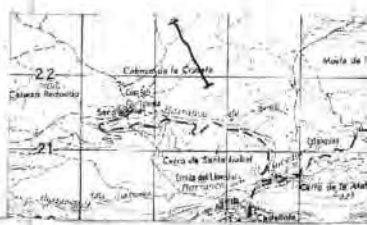
X: 883,2 X: 882,9
 COORDENADAS Y: 695,7 Y: 696,4
 Z: 770 Z: 790

SERIE N° 4200

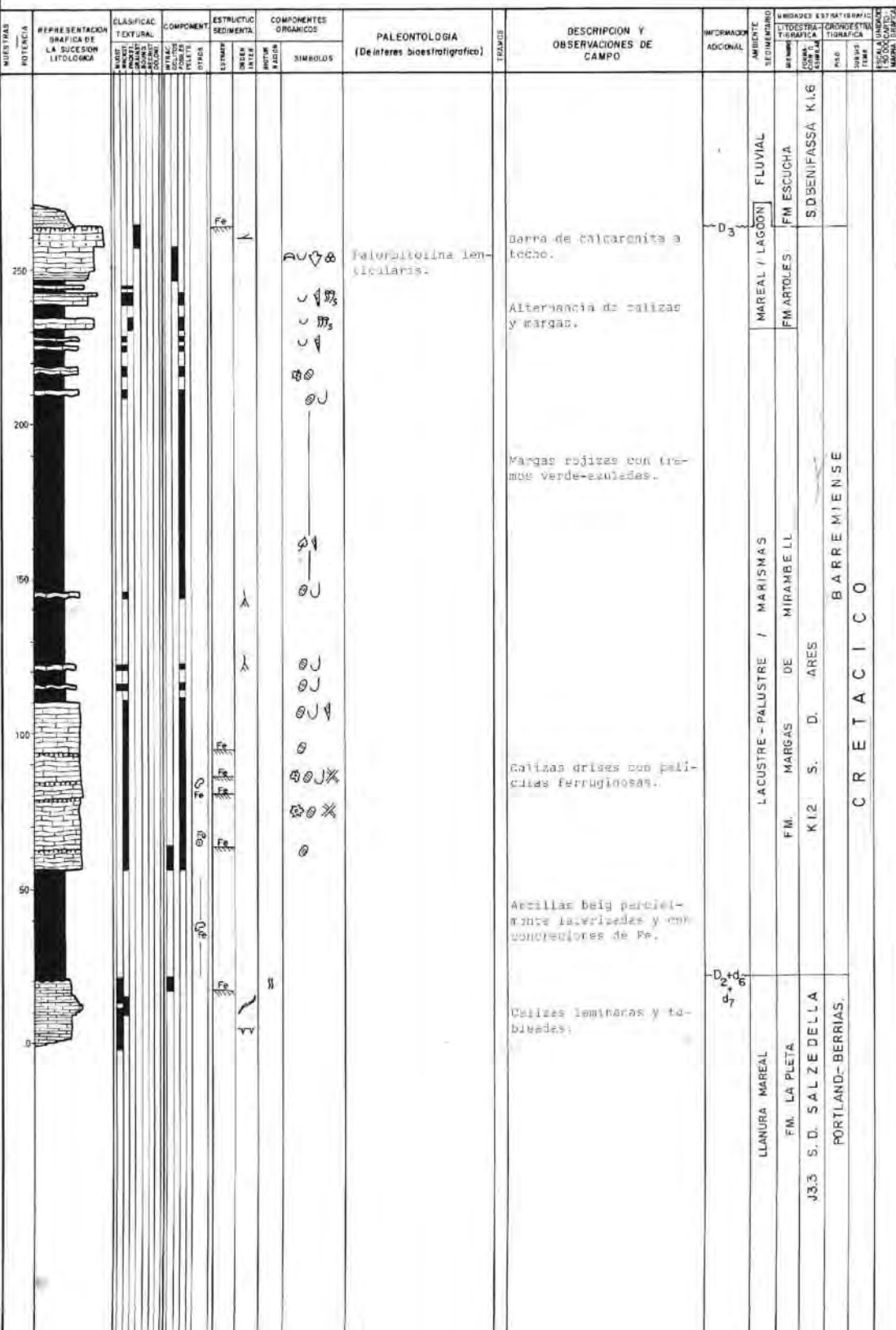
FECHA: 31-7-1983

CROQUIS

LOCALIZACION



Al NE de Seno, tomando el camino que va al Cerro de la Cruzeta. Desde allí se asciende por la vertiente Norte hacia el NW.



Nº HOJA: 29-21

NOMBRE: EL FORCAL

PROVINCIA: CASTELL

GRUPO DE TRABAJO: Ramon, Salas

NOMBRE LOCAL: BOVALA

IDENTIFICACION DE MUESTRAS

SERIE N° 41

COORDENADAS x: 892,2
y: 689,9
z: 1050

x : 892,
y : 570
z : 220

FECHA: 31 / 7 / 1980

CROQUIS

LOCALIZACI



Tra, a unos diez km. de la primera ciudad.

Nº HOJA: 29-23

NOMBRE: Villahermosa del Rio

PROVINCIA: CASTELLÓ

GRUPO DE TRABAJO:

Ramon Salas

NOMBRE LOCAL: Villahermosa del Rio

IDENTIFICACION DE MUESTRAS:

x: 887,3

y: 629,4

SERIE Nº: 4.200

z: 970

FECHA: 31-7-83

COORDENADAS

x: 887,2

y: 630,1

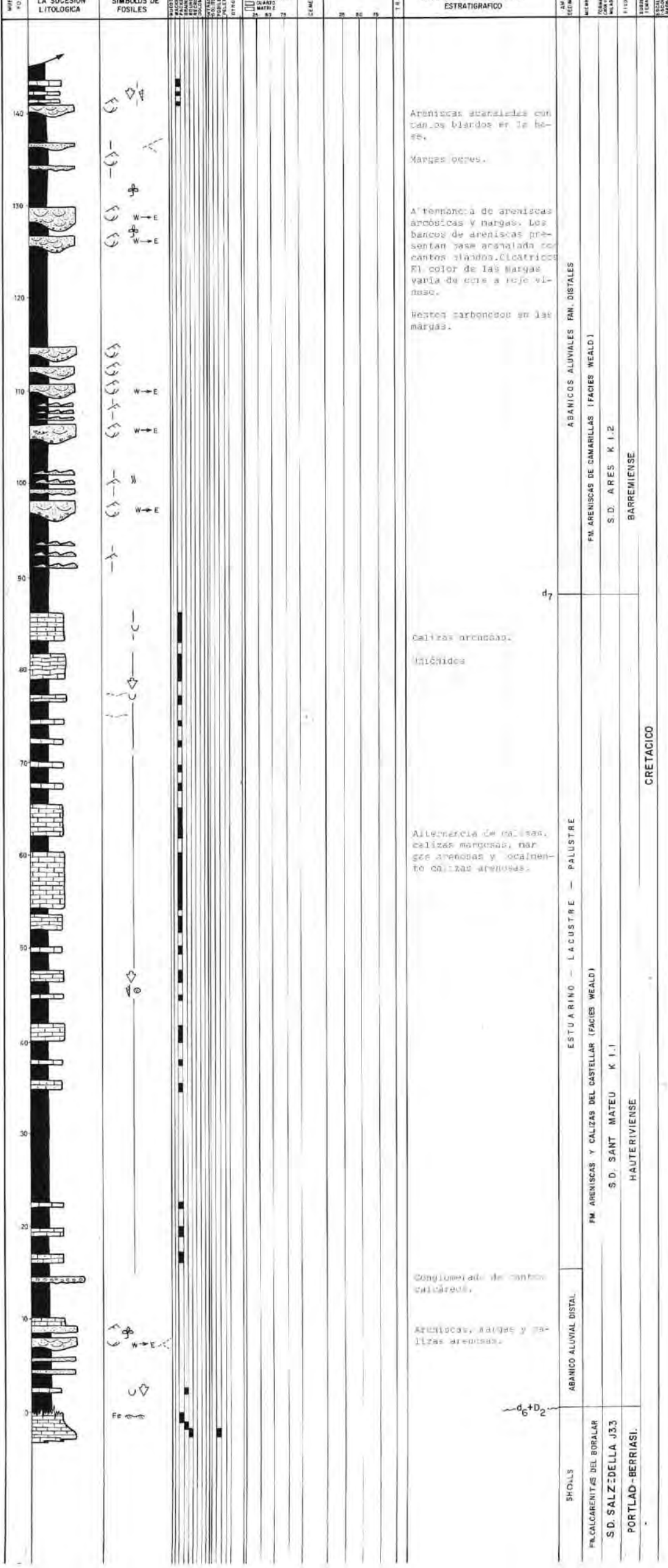
z: 970

CROQUIS



LOCALIZACION

Corretera de Villahermosa del Rio a Puerto mingalvo, Km. 4,4.



Nº HOJA : 29-2

NOMBRE: Villahermosa del Río

PROVINCIA DI CASTELLAMONTE

GRUPO DE TRABAJO

Ramon Salas

NUMERO LOCAL: LA PENTAGLÓS

IDENTIFICACION DE MUESTRAS

X:883
Y:630

SCHOLARSHIP IN THE CLASSROOM

COORDENADAS

y: 650
z: 1.813

— 1 —

CROQUIS

10 of 10

— 10 —

CROQUIS

- 174 -

Allochroa Panagiotidis

color

LOCALIZACION

Almada Pen



Nº HOJA: 29 - 23

NOMBRE: VILLAHERMOS
DEL RIO
(Ramon Salas)

PROVINCIA: CASTELL

GRUPO DE TRABAJO

(Ramon Salas)

NOMBRE LOCAL: XOD

IDENTIFICACION DE MUESTRAS

COORDENADAS y: 632,6
z:1040

SERIE N° 45

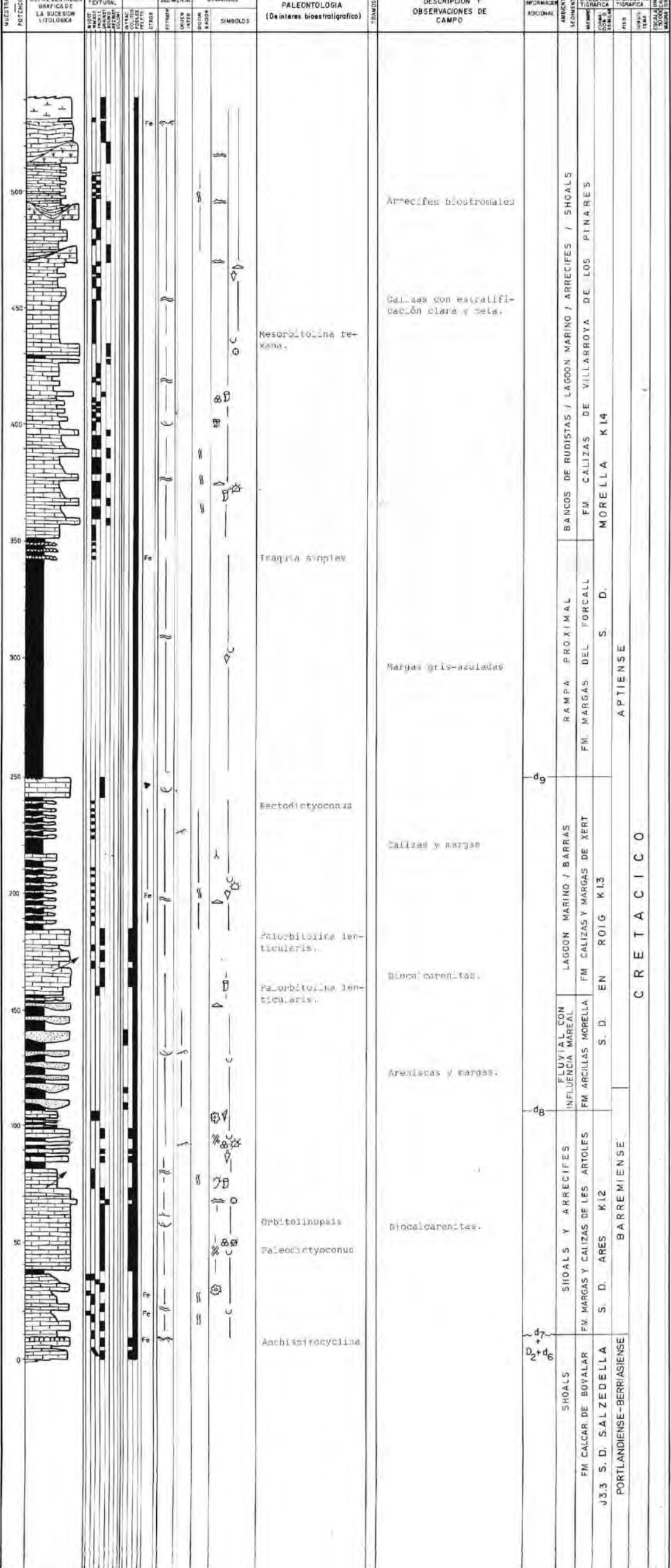
FLORIDA - 31-7-196

CROQUIS



LOCALIZACIÓ

de llegar al pueblo. Ioma del Cameretecio hasta la ermita de Sant Cristòfol.



Nº HOJA : 29-24

NOMBRE: Alcorcón

PROVINCIA : CASTELL

GRUPO DE TRABAJO:

Ramon Sala

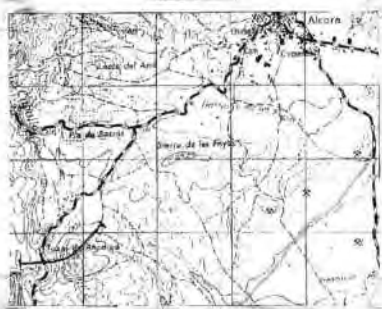
NOMBRE LOCAL : Tossal D'Alcorn

IDENTIFICACION DE MUESTRAS:

SERIE N° : 4.10

FECHA : 31 - 7 - 8

CROQUIS



LOCALIZACION

Carretera de A. para a Ribesaltes. Desde el W de la carretera, algo por debajo de ella, hasta la cima del Tossal (389 m.), siguiendo luego hacia el NE.

Nº HOJA: 30 - 20

NOMBRE: PENA-ROJA DE TASTAVINS

PROVINCIA: CASTELLÓ

GRUPO DE TRABAJO:

Ramon Salas

NOMBRE LOCAL: BARRANC DE L'ESCRSOLA

IDENTIFICACION DE MUESTRAS:

COORDENADAS x: 513,5 y: 687,4 z: 740

SERIE N° 4200

FECHA: 31-7-1983

CROQUIS



LOCALIZACION

Carretera de Hércules a Pera-roja de Tastavins, por la sierra que sale al lado del puente del Barranc de l'Esparola. Se inicia en el núcleo del pequeño anticlinal.

Nº HOJA: 30 - 20

NOMBRE: PEÑA-ROJA DE
TASTAVINS
Román Salas

PROVINCIA: CASTELLO

TASTAVINS
Román Sales

NOMBRE LOCAL: HERBERS-ERMITA M. D. DEL SARGAR

IDENTIFICACION DE MUESTRAS:

X: 910,3

COORDENADAS y: 685,2
z: 750

21-755 21-1566

卷之三

CROQUIS

SERIE N° 410

FECHA: 31 7 1983

CROQUIS



LOCALIZACION

Carretera de Herbers a Torre Mirá, en el núcleo del anticlinal de Herbers. El tramo superior desde el Mas de Puxí (lejerial hacia el NE).

Nº HOJA : 30-21

NOMBRE: MORELLA

PROVINCIA : CASTELLÓ

GRUPO DE TRABAJO:

Ramon Salas

NOMBRE LOCAL: MAS DEL REGALL

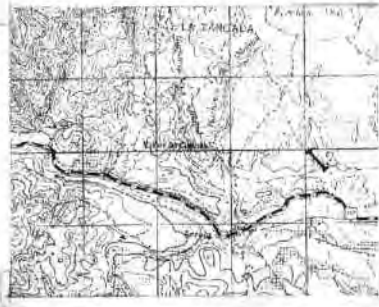
IDENTIFICACION DE MUESTRAS:

SERIE N° : 4100

COORDENADAS x: 923,5 x: 923,1
 y: 664,4 y: 664,7
 z: 480 z: 500

FECHA : 31-7-1983

CROQUIS



LOCALIZACION

Carretera N-232, km. 32,1, Barranc del Recal y masía del mismo nombre, al NW del Caserío de El Roig (Xert).

NºHOJA: 30-2

NOMBRE: MOREL

PROVINCIA: CASTEL

IDENTIFICACION DE M

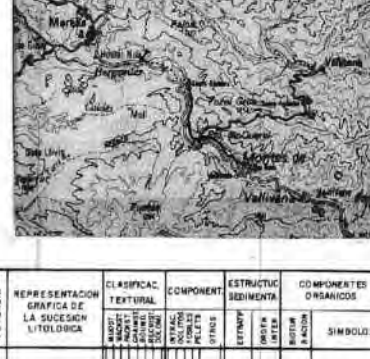
SERIE N° 4200

COORDENADAS x: 912
y: 667,9

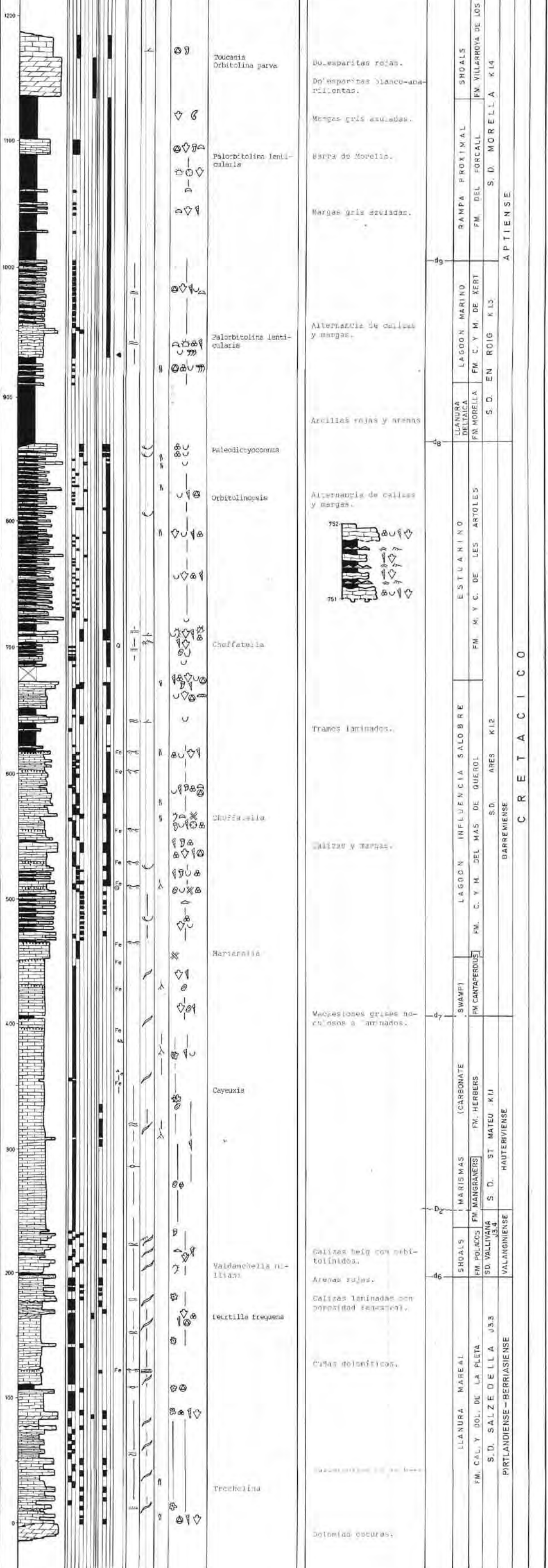
x: 912 x: 90
y: 567,9 y: 67

FECHA: 31/7/19

Digitized by srujanika@gmail.com



desde la armita



Nº HOJA: 30-22

NOMBRE: ALBOCAÑAS

PROVINCIA: CASTELLI

GRUPO DE TRABAJO

Ramon Sal

NOMBRE LOCAL: BARRANC D'ESPINALBA (CULLA)

IDENTIFICACION DE MUESTRAS

COORDENADAS y: 645,
z: 690

y: 645
z: 1100

LOCALIZACION

A small, faint illustration of a tree trunk or root system, possibly a magnified view of a plant structure.



mas se não conseguem ser substituídos
pelos mesmos.

The figure is a geological cross-section diagram spanning from the Cretaceous to the Tertiary. The vertical axis represents depth or time, with major ticks at 0, 50, 100, 150, 200, 250, 300, 350, 400, 450, 500, 550, and 600. The horizontal axis represents distance, with labels for various locations.

Stratigraphic Units:

- Cretaceous:**
 - 0-600 m: Shows alternating light and dark layers, likely representing different facies of the same depositional environment.
 - 600-700 m: Labeled "Cenozoico" (Cenozoic) with a thick black layer.
- Tertiary:**
 - 700-800 m: Labeled "Terciario" (Tertiary).
 - 800-900 m: Labeled "Quaternario" (Quaternary).

Fauna:

- Cretaceous:**
 - 0-100 m: *Argiope spiralis*, *Fabellina aveoxia*, *Siliindropsis lata*, *Kentrocomides*.
 - 100-200 m: *Chonetes (elegans)*, *Chonetes (cavifrons)*.
 - 200-300 m: *Hemimeda la Permiana*, *Dolichotubulina leucostictaria*.
 - 300-400 m: *Hexopora (Alveolina)*.
 - 400-500 m: *Calymene y others*.
 - 500-600 m: *Calymene y others*.
- Tertiary:**
 - 700-800 m: *Argiope spiralis cycloidea*, *Fabellina aveoxia*.
 - 800-900 m: *Bivalvia (arenaria) multiformis*.

Lithology:

- Arenas:** Labeled at the top right, corresponding to the uppermost light-colored layers.
- Calizadas:** Labeled in the middle section, corresponding to the dolomite layers.
- Marinas:** Labeled in the lower section, corresponding to the limestone layers.

Geological Units:

Unit	Age	Description
BANCOS MARGINALES (SHOALS)	SHOALS / ARRECIFES	LAGOON MARINE
EM CALCARENITAS DE BOVALAR	FM. CALCARENITAS DE LA LLACOVA	FM. XERICO
J3-3 S. D. SALZEDELLA	S.D. ST. MATEU K11	S.D. ENROIG
FORTLANDIENSE - BERRIASIENSE	HAUTERIVIENSE -	BARREMIENSE
	LAGOON MARINE / SHOALS / ARRECIFES	BANCOS MARGINALES (SHOALS)
	FM. CALIZADAS DE LOS PINARES	FM. VILLARROYA DE LOS PINARES
	S. D. MORELLA K14	S. D. CULLA K15
	APTENIENSE	ALBIENSE

Correlation: The diagram shows correlation between the Cretaceous and Tertiary sections, with specific layers labeled as matching (e.g., *Argiope spiralis* at ~100m and ~700m).

Nº HOJA: 30-22

NOMBRE: ALBOCÁSSE

PROVINCIA: CASTELL

GRUPO DE TRABAJO

Ramon Salas

SERIE N° 4300

COORDENADAS x: 908,5
y: 653,1

CROQUIS

LOCALIZACION

D E



Geological Cross-Section Diagram (d6, d7, d8) showing Lithology, Fossil Assemblages, and Environmental Interpretations:

Lithology:

- d6:** Alternancia de bioscalcarinitas y mudstones.
- d7:** Alternancia de bioscalcarinitas, radiones de algas, arrecifes tipo Flotatores y tramos margosos.
- d8:** Alternancia de bioscalcarinitas y mudstones.

Fossil Assemblages:

- d6:**
 - Archispirocyathus lissitacis
 - Efenderina cocorriensis
 - Gaudichelle milianii
 - Pseudocyathina
- d7:**
 - Cyathidopora ciliata
 - Sabellinae
 - Orbitolinae
 - Choffatella
 - Orbisulinae
 - Paleodictyonites
- d8:**
 - Calizas y margas
 - Choffatella
 - Orbisulinae
 - Paleodictyonites

Environmental Interpretations:

- d6:** Gorgonians alternating with mudstones.
- d7:** Alternation of bioscalcareous dolomites, radiolarian algae, floating reefs, and marginal zones.
- d8:** Alternation of bioscalcareous dolomites and mudstones.

Legend:

LAGOON MARIÑO / CARB. (MAR EMBAYMENT)	BANCOS MARGINALES (SHOALS) CON ARRECIFES ASOCIADOS / LAGOON MARIÑO / SHOALS	MAREAL / FM. ARENAL	FIN. MARGAS Y CALIZAS DE LAS AREAS / FIN. MARGAS Y CALIZAS DE LAS AREAS	K 1,2 SA. AREAS / BARREMIENSE
FM. CALCARENITAS DE BOVALAR	FM. CALCARENITAS POLACOS	FM. ARENAL AVELLÁ	DE LA LLACOVA	
J3.3 S. D. SALZEDELLA	S.D. VALLIVANA J3.4	KII	S. D. SANT	
PORTLANDIENSE - BERRIASENSE	VALANGINIENSE		HAUTERIVIENSE	

Nº HOJA: 30 - 22

NOMBRE: ALBOSCÁSSE

PROVINCIA: CASTELL

GRUPO DE TRABAJO

Raman - 58

D'ENSIROLL)
SERIE N° 4400

COORDENADAS x: 910,5
y: 656,9

CROQUIS

LOCALIZACION

三



The figure displays a geological cross-section with the following key features:

- Vertical Scale:** Depth in meters, ranging from 0 to 1100 m.
- Geological Units:**
 - Top Unit:** Alternancia de calcarenas, mangas y arrecifes.
 - Second Unit:** Siphonoporella
 - Third Unit:** Calcarenitas en bancos marítimos.
 - Fourth Unit:** Alternancia y mangas.
 - Fifth Unit:** Choffatella
 - Sixth Unit:** Calcarenitas en bancos marítimos a lecho.
 - Seventh Unit:** Cañas grises en bancos decimétricos a métricos.
 - Eighth Unit:** Packstone de Characea
 - Ninth Unit:** Alternancia de calcareas y wackestones.
 - Tenth Unit:** Arenas
 - Bottom Unit:** Alteración de granito y wackestones.
- Fossil Assemblages:**
 - Paleodictyonites ?
 - Paracalculus
 - Rotonites
 - Pfenderina globosa
 - Choffatella
 - Hexagira
 - Choffatella
 - Vandamella mazanensis; Choffatella
 - Pseudocyathina
 - Psuedodiscina
 - Pentameris
 - Nautiloulina
 - Anchispirocyclina
 - Lusitanites
- Stratigraphic Zonation:**
 - Top:** D₂
 - Middle:** D₆
 - Bottom:** D₆
- Legend:**

BANCOS MARGINALES / LAGOON		MUD - BANKS		SHOALS + ARRECIFES / LAGOON	
MIXED TIDAL FLAT	SHOALS / LAGOON	MUD	BANKS	SHOALS + ARRECIFES	LAGOON
FM. AR. SIROLL	FM. CALC. POLACOS	FM. CALIZAS DE LA BASTIDA	S. O. VALDIVIANA J.34	FM. EL AVELLÁ	FM. CALCARE NITAS DE LA
S. O. SALZEDELLA J.3			VALLADOLIDENSE	S. O. SANT MATEU KIL	LA
PORTLANDIENSE - BERRIASIENSE					

Nº HOJA: 31-20

NOMBRE: BESEIT

PROVINCIA : TARRAGONA-TERUEL

GRUPO DE TRABAJO

Ramon Salas

NOMBRE LOCAL: LA FONT DEL TEIX

IDENTIFICACION DE MUESTRAS: YP-GD (3.101 - 3.110)

IDENTIFICACION DE MATERIALES

x: 930

SERIE N° 4200

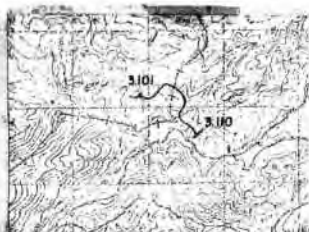
y : 691,5

CHIEF - WOOD

FECHA: 9.1.82

CROQUIS

LOCALIZACION



En la carretera Fredes-Tortosa, a unos 13 km de la primera localidad está el cruce de la carretera con el río Matarranya.

Abí, en el paraje de la Fuente Teis, se ha levantado la serie,

NHOJA: 31-20

NOMBRE: BESEIT

PROVINCIA: TERUEL

GRUPO DE TRABAJO:

R. Salas

NOMBRE LOCAL: MAS DE SANT MIQUEL

IDENTIFICACION DE MUESTRAS: YP-GD (3.201 - 3.214)

x: 928,2 x: 927,9
y: 696,7 y: 696,2

SERIE N° 4300

SERIE N° 4300

EEGMA1.Z1.B2

GROQUIS



LOCALIZACION

He llegado a la villa Maruja, pero cogiendo la pista que va por el Barranco de Las Marradas y de Guerra, se llega a la Rasilla de San Miguel. La serie se ha realizado en sus proximidades.

Nº HOJA: 31-20

NOMBRE: BESEIT

PROVINCIA: TARRAGONA

GRUPO DE TRABAJO:

Ramon Salas

NOMBRE LOCAL: ELS MANGRANERS

IDENTIFICACION DE MUESTRAS:

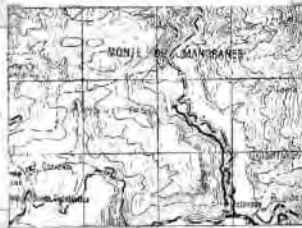
X: 980,8 X: 930,7
 COORDENADAS Y: 681,4 Y: 581,7
 Z: Z:

SERIE N° 4400

FECHA: 31-7-1983

CROQUIS

LOCALIZACION



Pantano de la Còria. Pista de Els Mangraners.

NÚMERO DE MUESTRAS	POTENCIA	REPRESENTACIÓN GRAFICA DE LA SUCESIÓN EOLÓGICA	CLASIFICACIÓ	TEXTURAL	COMPONENTE	ESTRUCTURA SEDIMENTARIA	COMPONENTES ORGÁNICOS	PALEONTOLOGÍA (De interés bioestratigráfico)	TRAMOS	DESCRIPCIÓN Y OBSERVACIONES DE CAMPO	INFORMACIÓN ADICIONAL	AMBIENTE SEDIMENTARIO		
												MICROFAUNA	MACROFAUNA	ROCA DURADERA
175										Calizas bien estratificadas.				
150										Calizas nodulosas.				
125										Bioalcarenitas.				
100										Laterita roja.				
75										Calizas pardas. Intercalaciones nódulosas ferrugininizadas.				
50										Calizas y margas.				
25										Arcillas más o menos laterizadas.				
0										Bioalcarenitas y aglomerados alternados.				

SHOALS - LAGOON	MARISMAS (CARBONATE SWAPS)	LAGOON	MARISMAS	LAGOON
FM CALCAR. DE LOS POLACOS	FM MAR Y CAL. MANGRANERS	FM CAL. Y MAR HERBERS	FM. CANTAPERDIUS	FM ARTOLES
J 3.4	S.D. VALLIVANA	S.D. ST. MATEU KLI	S.D. ARES K12	HAUTERIVIENSE
PORTLAND-VALANGINENSE				CRETACEO

Nº Full: 31-2

Localització: LA SALZELLA - SANT M^{ARTÍ}
LA JANA - TRAIGUERA

Nº Serie 4.1

x: 933.5

y: 659 z: 160

Autor Ramon Se

500

Situació

1



The figure is a geological log diagram spanning from the Jurassic Superior (top) to the Cretaceous Inferior (bottom). The vertical axis represents depth in meters, ranging from 0 to 2000 m.

Legend:

- Nº mostreig: Sample number
- Potència: Thickness
- Resistència: Resistence
- LITOLOG: Lithology
- Mudstone
- Wackestone
- Packstone
- Grainstone
- Boundstone
- P: P
- B: B
- C: C
- D: D
- E: E
- F: F
- G: G
- H: H
- I: I
- J: J
- K: K
- L: L
- M: M
- N: N
- O: O
- P: P
- SEI: SEI
- SEE: SEE
- CICLICIS: CYCLIC
- AMB: AMB
- AMBANKS: BANKS
- MARGINALS: MARGINALS
- LAGOON: LAGOON
- AMBANKS MARGINALS - LAGOON: AMBANKS MARGINALS - LAGOON
- AMBANKS MARGINALS (SHOALS) - LAGOON: AMBANKS MARGINALS (SHOALS) - LAGOON
- MARGUES D'EN CARRO: MARGUES D'EN CARRO
- Mb. CALCÀRIES DELS POLACOS: Mb. CALCÀRIES DELS POLACOS
- Mb. CALCÀRIES DELS MANGANERES: Mb. CALCÀRIES DELS MANGANERES
- FM. CALCÀRIES DE BASTIDA: FM. CALCÀRIES DE BASTIDA
- FM. MARGUES D'ASCLA: FM. MARGUES D'ASCLA
- PORTLANDIÀ: PORTLANDIÀ
- BERRIASSIÀ: BERRIASSIÀ
- VALLIVANA: VALLIVANA
- S. D.: S. D.
- J 3-4: J 3-4
- J 3-3: J 3-3
- J 3-2: J 3-2
- KIMMERIDGIÀ: KIMMERIDGIÀ
- VALLANGINIA: VALLANGINIA
- CRETAÇIC SUPERIOR: CRETACEOUS SUPERIOR
- CRETAÇIC INFERIOR: CRETACEOUS INFERIOR

Log Description:

- Top Section (Jurassic Superior):** Shows a thick sequence of alternating mudstone and wackestone layers, with some grainstone and boundstone interbeds. A prominent horizontal line at approximately 1800 m depth is labeled "SEE".
- Second Section (Cretaceous Inferior):** Shows a series of thin, alternating mudstone and wackestone layers. A prominent horizontal line at approximately 1600 m depth is labeled "SEE".
- Third Section (Cretaceous Inferior):** Shows a series of thin, alternating mudstone and wackestone layers. A prominent horizontal line at approximately 1400 m depth is labeled "SEE".
- Fourth Section (Cretaceous Inferior):** Shows a series of thin, alternating mudstone and wackestone layers. A prominent horizontal line at approximately 1200 m depth is labeled "SEE".
- Fifth Section (Cretaceous Inferior):** Shows a series of thin, alternating mudstone and wackestone layers. A prominent horizontal line at approximately 1000 m depth is labeled "SEE".
- Sixth Section (Cretaceous Inferior):** Shows a series of thin, alternating mudstone and wackestone layers. A prominent horizontal line at approximately 800 m depth is labeled "SEE".
- Seventh Section (Cretaceous Inferior):** Shows a series of thin, alternating mudstone and wackestone layers. A prominent horizontal line at approximately 600 m depth is labeled "SEE".
- Eighth Section (Cretaceous Inferior):** Shows a series of thin, alternating mudstone and wackestone layers. A prominent horizontal line at approximately 400 m depth is labeled "SEE".
- Ninth Section (Cretaceous Inferior):** Shows a series of thin, alternating mudstone and wackestone layers. A prominent horizontal line at approximately 200 m depth is labeled "SEE".
- Bottom Section (Cretaceous Inferior):** Shows a series of thin, alternating mudstone and wackestone layers. A prominent horizontal line at approximately 0 m depth is labeled "SEE".

Nº Full : 31-2

Localització LA SALZELLA - SANT M^A
LA JANA - TRINCHEIRA

Nº Serie 4

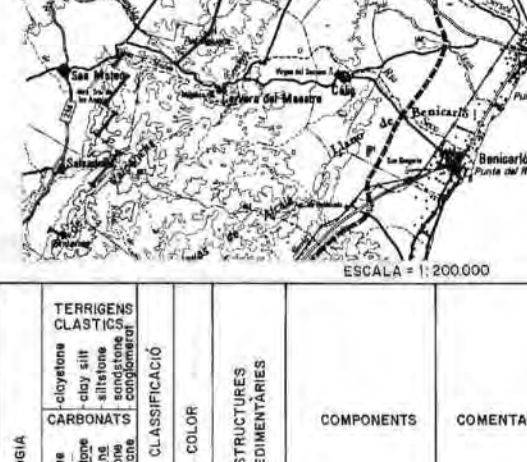
Coordenadas

Autor Ramon S

Data 1

y: 659
z: 160

Situació



1

This geological cross-section diagram illustrates the stratigraphy and biofacies of the Iberian Peninsula from the Cretaceous to the Recent. The vertical axis represents depth in meters (m), ranging from 2,000 to 4,300 m. The horizontal axis represents distance along the section.

Key Features:

- Stratigraphic Units:** The diagram shows various lithological units, including Lagoon + Mud-Banks, Plataforma-CONCA, BANCS MARGINALS (SHOALS), LAGOON SALOBRE (ESTUARI), BANCS MARGINALS - LAGOON - ESCULLS DE RUDISTES, and several Calcarenous Facies (FM. CALCARIES).
- Biofacies:** The biofacies are indicated by different symbols and patterns in the columns, such as LITOL, MUDSTONE, POCAS, GRES, and BOUNDARY.
- Geological Units:** Specific geological units are labeled along the sections, such as S.D. AREAS K 1.2, S.D. CULLA K 1.5, S.D. MORELLA K 1.4, S.D. LLABERIA K 2.1, and FM. MARGUERITA.
- Geographical Labels:** Labels include CRETETACI, INFERIOR, ALBIÀ, CENOMANIÀ, and MESSINIÀ.

Nº HOJA: 32-19

NOMBRE: EL PERELLÓ

PROVINCIA: TARRAGONA

GRUPO DE TRABAJO:

Ramon Salas

NOMBRE LOCAL: EL PERELLÓ

IDENTIFICACION DE MUESTRAS:

X: 968,1 X: 965,3
 COORDENADAS Y: 707,1 Y: 703,7
 Z: 210 Z: 480

SERIE N° 4100

FECHA: 31-7-1983

CROQUIS

LOCALIZACION

Carretera de El Perelló a Rasquera (km 2,5),
 Coll de la Cova del Pinedor-Coll de la Rosa,
 El tramo superior autopista A-7 (302-305 Km).



MUESTRAS POTENCIA	REPRESENTACION GRAFICA DE LA SUCESION LITOLOGICA	CLASIFICAC ON TEXTURAL	COMPONENTE MINERAL	ESTRUCTURA DE MUESTRAS	COMPONENTE ORGANICO	PALEONTOLOGIA (De interés bioestratigrafico)	DESCRIPCION Y OBSERVACIONES DE CAMPO	INFORMACION ADICIONAL	LOCALIZACION	
									ESTRUCTURA INTERNA	MICR OSCOPICA
1300			Fe				Grainstones: dolito- bioquisticos. Bancos m.			
1200			Fe				Alternancia de margas, margocalizadas, calizas con algún nivel de areniscas	d10		
1100			Fe			Bacinella	Calizas y dolomias gri- gas. Bancos métricos. Niveles bioconstruidos.			
1000			Fe			Tucanas Permeocalculus Bouea				
900			Fe				Margas sueladas			
800			Fe			Pianella Permeocalculus Paracoskinolina sunnilandensis Choffatella decipiens	Calizas biocasticas y oolíticas. Ocasional- mente wackestones de charas y filamentos. Estratificación métrica	d9		
700			Fe			Hoxogiras	Calizas perforadas Ciclos de wack. pack y grainstones. Palcosuelos.			
600			Fe			Permeocalculus inc- tinatus, Bruenia Cylindropora Shaffatella	Margas y margocalizadas. Bancos cm a m.	d8		
500			Fe				Margas grises con inter- calaciones decimétricas de areniscas rojas			
400			A				Margas, margocalizadas y calizas, principalmente wackestones. Bancos de- cimétricos a centimétricos.			
300			A			Coskinolina aff Orbitolinopsis Choffatella Neotrocholina				
200			A			Nauticoculina Pseudocyathina	Wackestones con interca- laciones oolíticas-bio- quísticas. Niveles mar- gosos. Bancos concim- étricos a decimétricos.	d7+d7		
100			A			Trocholina Nauticoculina	Suelos hidromorfos			
0			A							

CRETACICO

BARREMIENSE

APTENIENE

CALLOVIENSE

TITHONIENSE

MOScoviano

Kimmeridgiense

Oxfordiano

Bajociano

Aaleniano

Hettangiano

Sinemuriense

Pragianense

Caradociano

Ludlowiano

Wenlockiano

Llandoveryense

Siluriano

Devónico

Cámbrico

Precámbrico

NºHOJA: 32-21

NOMBRE: ALCANAR

PROVINCIA: TARRAGONA

GRUPO DE TRABAJO:

Ramon Salas

NOMBRE LOCAL: EL MONTSIÀ

IDENTIFICACION DE MUESTRAS:

COORDENADAS X: 956,4 Y: 68,5 Z: 300

X: 957 Y: 68,2 Z: 600

SERIE N° 4100

FECHA: 31-7-1983

CROQUIS

LOCALIZACION



Ladera del Mas de Mata-remona a la cota del mismo nombre (617). En tramo superior en la Sierra de Godall, en el sector de la Roca de la Peña, al W de Preginal.

MUESTRAS POTENCIA	REPRESENTACION GRAFICA DE LA SUCESION LITOLOGICA	CLASIFICACION TEXTURAL	COMPONENTE ROCK- FACIES	ESTRUCTURA SEMENTAL	COMPONENTES ORGANICOS	PALEONTOLOGIA (Dentro bioestratigrafico)	TAMBIEN	DESCRIPCION Y OBSERVACIONES DE CAMPO	INFORMACION ADICIONAL	UNIDADES ESTRATIGRAFICAS	
										ROCA ESTRATIGRAFICA	ROCA TIERRERA
300						Mesorbitalina parva; M. texana; Pseudochoffatella cuvieri.		Areniscas arcillo-margas con pequeños contos limolíticos y calizas ferruginizadas.		d ₁₁	
275						Mesorbitalina parva; M. texana; Pseudochoffatella cuvieri.		Alternancia de calizas arenosas,argas arenosas i calizas hidrotípicas.		d ₁₀	
250						Traquia simplex		Calizas macizas.			
225						Orbitolinopsis praeplex; Traquia simplex.		Relictritas.			
200						Orbitolinopsis praeplex; Traquia simplex.		Disfranze subarciforme.			
175						Orbitolinopsis praeplex; Traquia simplex.		Escrachamiento metálico.			
150						Paracrinocinclina sunni; Cyliindropora parallela rugosior; Collatella; Ps. hedbergi; Atrypetechara trivialis triplex; Bonnia.		Nivel masivo dolomítico irregulares.			
125						Thiotellula; Cyliindropora parallela rugosior; Collatella; Ps. hedbergi; Rectodictyonoides.		Mangas ricas en fósiles.			
100						Cylindrus; Pseudocyathina; Choff.		Incrustaciones arenosas.			
75						Obolus; Cyliindropora parallela rugosior; Ps. hedbergi; Gobea		Calizas y margas biogenéticas. Correnas marrón, negro y glaucofina.			
50						Obolus; Cyliindropora parallela rugosior; Ps. hedbergi; Gobea		Calizas rojas, posta ferruginosas.			
25						Valdarnichella milii; Foraminifera; Pendo- rac; Pseudocyathina; Thiotellula; Tracholites; Fenderites; Neogymnites.				D ₆ -D ₇	
0						Pseudocyathina; Choff.; Nautilicollina; Tracholites.					
						Choff.; Tracholites; Cylindrus jucunda; Nautilicollina.		Alcancamiento mangas y calizas linamentas esterilizadas.			
						Cylindrus jucunda.		Mangas blancas cristalizadas.			
								Mangas blancas cristalizadas.			

CRETACICO

BARRAMIENSE

APTENIENSE

VALANGINIENSE

L. NURIA MARTEL

FM. CAL. Y DOL. PLATA

FM. CAL. BASTIDA

FM. MARGAS Y CALIZAS DE LES ARTOLAS

S. D. AREAS K12

VALLLIVANA J34

S. D. SALZEDILLA J33

PARTIND.-BERRIAS

N#HOJA: 33-19

**NOMBRE: HOSPITALET DE
L'INFANT**

PROVINCIA: TARRAGONA

GRUPO DE TRABAJO:

Ramon Salas

NOMBRE LOCAL: BARRANC DE LLERIOLA + BARRANC
DEL CAP DEL TERME

IDENTIFICACION DE MUESTRAS

COORDENADAS x: 980,3 y: 714,5 z: 120

SERIE N° 410

DEL CAP DEL TERM

FECHA: 31-7-198

CROQUIS

LOCALIZACION



Antigua carretera de El Perelló, Barranc de l'Illa i la Ileriola (Km.236), Barranc de Cap de Terme (Km.235).

MUESTRAS

POTENCIA	REPRESENTACION GRAFICA DE LA SECCION LITOLOGICA	CLASIFICACION TEXTURAL	COMPONENTES	ESTRUCTURA SEDIMENTARIA	COMPONENTES ORGANICOS	PALEONTOLOGIA (De interes bioestratigrafico)	TRAMOS	DESCRIPCION Y OBSERVACIONES DE CAMPO	INFORMACION ADICIONAL
220								Calizas parcialmente dolomitizadas.	
209								Calizas en bancos decimétricos a métricos.	
180								Arcillas lateríticas y bauxitas con oolitos ferruginosos	
160								Hard ground	
140								Estructuras algales a techo(50 cm).	
120								Bancos decimétricos.	
100								Calizas y margas en bancos decimétricos a métricos.	
80								Calizas y margas en bancos decimétricos.	
60								Hard ground	
40								Arcillas lateríticas con intercalaciones margocálcareas.Bancos decimétricos a centimétricos.	
20								Bancos decimétricos a métricos.	
0								Packstone-gainstones de charas negras.	

CRETACICO

LLANURAS DE MAREA

MARISMAS	BANCOS MARGINALES	MUD-BANKS	MARISMAS (CARB. SWAMP)	LAGOON
F.M. MANGR	FM. POLACOS	F.M. BASTIDA	F.M. CANTAPERDIUS	FM. MAR. Y CAL. DE LES ARTOLAS
J 33 S.D. SALZIE DELLA	S. D. VALLIVANA	J 3,4	S. D. ARES	K 1,2
PORTLAND-BERRIAS.				BARRERMIENSE

AMBIENTES

DESEMOS	INTERFAZ	INTERFAZ	INTERFAZ
LAGUNA	LITORAL	MAR	TERRERA
FLUVIAL	FLUVIAL	FLUVIAL	FLUVIAL
TERRESTRE	TERRESTRE	TERRESTRE	TERRESTRE

Nº HOJA: 34-17

NOMBRE: VALLS

PROVINCIA: TARRAGONA

GRUPO DE TRABAJO

Ramon Sala

NOMBRE LOCAL: COLL DE STA. CRISTINA
(LA RUBIOLA)

IDENTIFICACION DE MUESTRAS

COORDENADAS x: 1029,3 y: 754,7
z: 260

SERIE N° 420

F

• 1000000

CRUCUTS



2004-05

Nº HOJA: 34-17

NOMBRE: VALLS

PROVINCIA: TARRAGONA

GRUPO DE TRABAJO:

Ramon Salas

NOMBRE LOCAL: SALOMÓ

SERIE N°

IDENTIFICACIÓN DE MUE
COORDENADAS

x : 1022
y : 749,3
z : 200

卷之三

FECHA: 31-7-1983

CROQUIS



LOCALIZACION

Proximidades de tunel largo de la vía Fámena Lleida-Barcelona por Jacimentaciones, cerca del puente del río Galà. El tren sigue por el camino real de Salomó a Vilabolla.

NºHOJA: 35-16 / 35-17

NOMBRE: VILAFRANCA DEL PENEDES

PROVINCIA: TARRAGONA

GRUPO DE TRABAJO

IDENTIFICACION DE MUESTRAS

COORDENADAS x: 1036,2
y: 759,1
z: 320

NOMBRE LOCAL: EL MARMELLA

SERIE N° 41

FECHA: 31-7-198

CROQUIS



LOCALIZACION

por la carretera de St. Jaume dels Domenys hacia el Pla de Manlleu.

Nº HOJA: 36-17

NOMBRE: El Prat de Llobregat. PROVINCIA: BARCELONA.

GRUPO DE TRABAJO

R.Solos, A.Barrachina y R.Caballé

NUMERO LOCAL: 6670
SERIE N° 1102

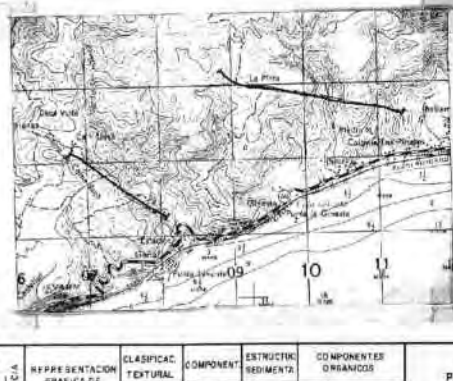
IDENTIFICACION DE MUESTRAS
x: 1069,2
COORDENADAS y: 355,4

COORDENADAS y: 755,4
z: 120

— 1 —

— 1 —

卷之三



en las inmediaciones de Can Llusa de Sarrià.

Geological Column Diagram (Cretaceous Barremian Stage)

The diagram illustrates the stratigraphy of the Barremian stage across several localities, showing the distribution of lithologies, faunas, and biostratigraphic zones.

Localities and Units:

- Port-Berriás:** Shows a thick sequence of dolomitic limestones (D) and marls (M). Fauna includes *Glyptina jurassica*.
- S.D. Salzedella:** Shows dolomites (D) and marls (M). Fauna includes *Valdanchellia militaris*, *Nautiloculina*, *Trocholina*, *Textulariella*, and *Cuneoculinina*.
- S.D. Vallivana J.3.4:** Shows dolomites (D) and marls (M). Fauna includes *Trocholina*, *Orbitolinidae*, *Nautiloculina*, *Paraceraskinolina*, *Orbitolinopora*, *Cayeuxia*, and *Choffatellina*.
- S.D. Ares K.2:** Shows dolomites (D) and marls (M). Fauna includes *Calymene*, *Choffatellina*, *Paleorbitolina lenticularis*, *Orbitolinopsis kiliensis*, *Sabaudia minuta*, and *Trocholina*.
- S.D. Roig K.3:** Shows dolomites (D) and marls (M). Fauna includes *Paranophilia*, *Choffatellina*, *Toxaster colleginoides*, *Heteraster oblongus*, *Paleorbitolina lenticularis*, and *Sabaudia minuta*.
- S.D. Morella K.4:** Shows dolomites (D) and marls (M). Fauna includes *Mesorbitolina texana*, *Nautiloculina*, *Sabaudia minuta*, *Pseudochoffatellina*, and *Toussisia*.

Biostratigraphic Zones:

The column is divided into several biostratigraphic zones, indicated by horizontal lines with symbols:

- Base:** *Glyptina jurassica*
- Zone 1:** *Valdanchellia militaris*, *Nautiloculina*, *Trocholina*, *Textulariella*, *Cuneoculinina*
- Zone 2:** *Trocholina*, *Orbitolinidae*, *Nautiloculina*, *Paraceraskinolina*, *Orbitolinopora*, *Cayeuxia*, *Choffatellina*
- Zone 3:** *Calymene*, *Choffatellina*, *Paleorbitolina lenticularis*, *Orbitolinopsis kiliensis*, *Sabaudia minuta*
- Zone 4:** *Paranophilia*, *Choffatellina*, *Toxaster colleginoides*, *Heteraster oblongus*, *Paleorbitolina lenticularis*
- Zone 5:** *Mesorbitolina texana*, *Nautiloculina*, *Sabaudia minuta*, *Pseudochoffatellina*, *Toussisia*

Geological Units:

The column is divided into several geological units, indicated by vertical lines:

- Base:** *Glyptina jurassica*
- Unit 1:** *Valdanchellia militaris*, *Nautiloculina*, *Trocholina*, *Textulariella*, *Cuneoculinina*
- Unit 2:** *Trocholina*, *Orbitolinidae*, *Nautiloculina*, *Paraceraskinolina*, *Orbitolinopora*, *Cayeuxia*, *Choffatellina*
- Unit 3:** *Calymene*, *Choffatellina*, *Paleorbitolina lenticularis*, *Orbitolinopsis kiliensis*, *Sabaudia minuta*
- Unit 4:** *Paranophilia*, *Choffatellina*, *Toxaster colleginoides*, *Heteraster oblongus*, *Paleorbitolina lenticularis*
- Unit 5:** *Mesorbitolina texana*, *Nautiloculina*, *Sabaudia minuta*, *Pseudochoffatellina*, *Toussisia*

Regional Units:

The column is grouped into regional units based on lithology and fauna:

- LAGOON:** S.D. Vallivana J.3.4, S.D. Salzedella, Port-Berriás.
- MARSHES (ESTUARINIO):** S.D. Ares K.2, S.D. Roig K.3.
- MARSHES AND MARGINS (DE LOS ARTÓLES):** S.D. Morella K.4.
- MARSHES AND MARGINS (CAL VILLARROSA DE LOS PINOS):** S.D. Morella K.4.

Time Scale:

The column spans the Barremian stage, corresponding to the Aptian-Cenomanian transition.

EL SISTEMA DEPOSICIONAL DELTAIC DE L'APTIA BASAL (S.D. K1.3)

